



Université Internationale
de Casablanca

UNIVERSITÉ RECONNUE PAR L'ÉTAT

3A Cycle *ingénieur GM*

Calcul des structures

Smail ZAKI

Professeur d'enseignement supérieure

Ing., phd. Arts et Métiers

Mobile : 06 67 95 38 67

Email : smail.zaki@gmail.com

AU: 2019/2020

PLAN DE COURS

CHAPITRE 1: RAPPELS ET PRÉREQUIS

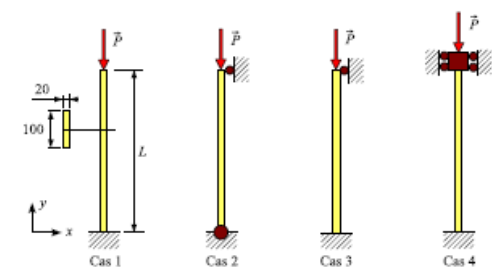
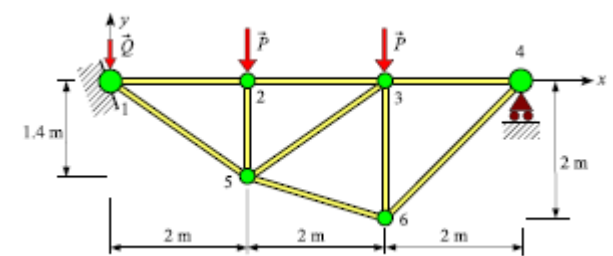
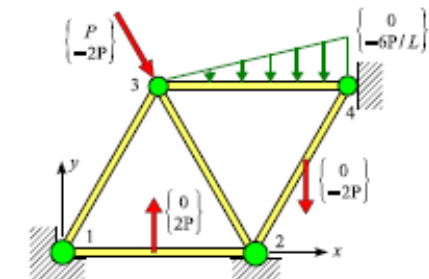
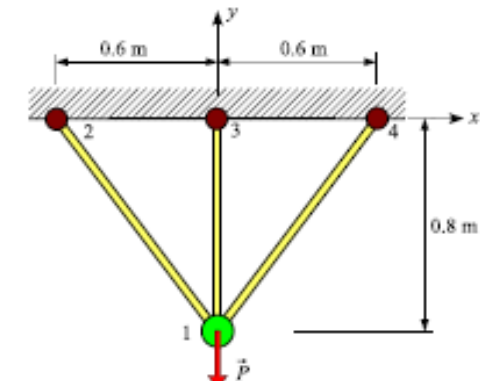
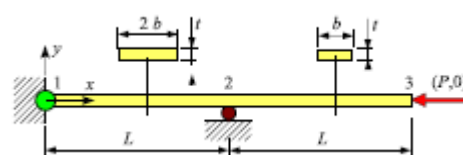
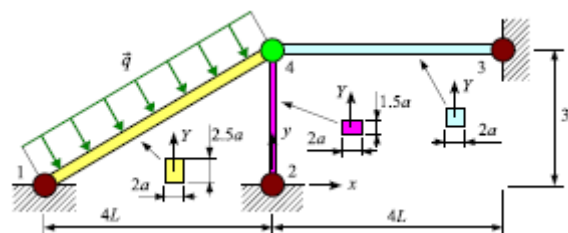
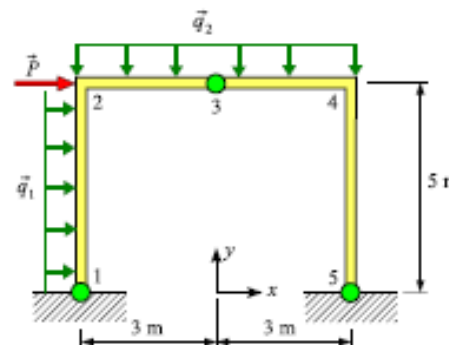
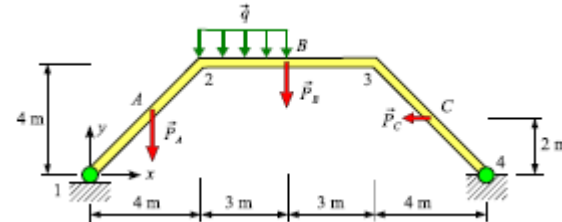
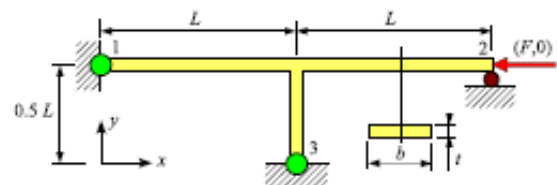
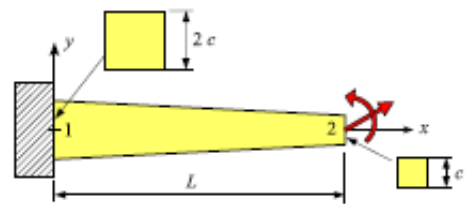
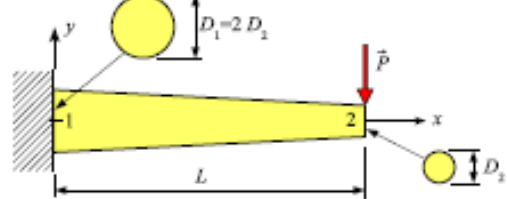
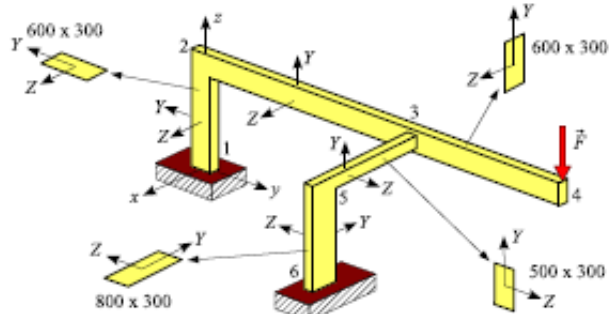
CHAPITRE 2: THÉORÈMES ÉNERGÉTIQUES

CHAPITRE 3: MÉTHODE DE FORCES

CHAPITRE 4: MÉTHODE DES TROIS MOMENTS

CHAPITRE 5: APPLICATIONS SUPPLÉMENTAIRES.

FORMULAIRES.





0983865 www.fotosearch.com



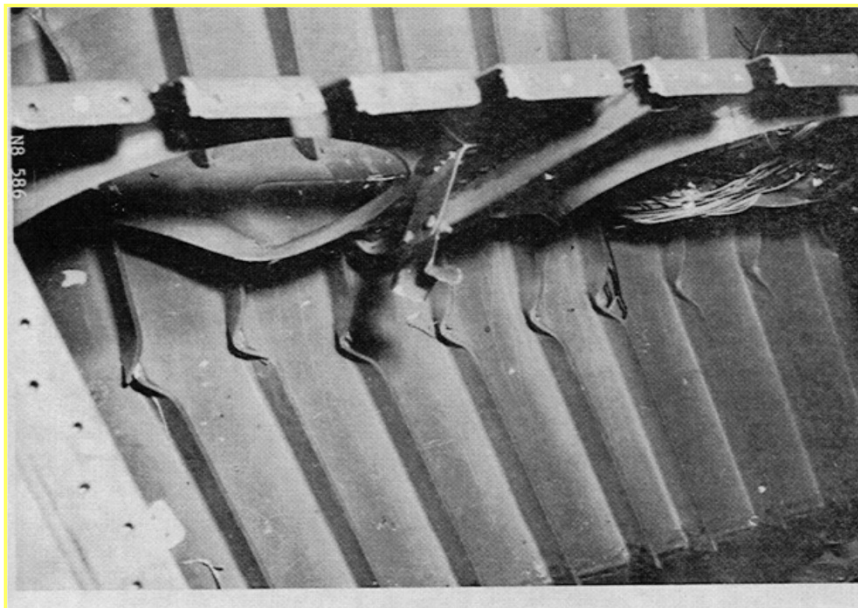
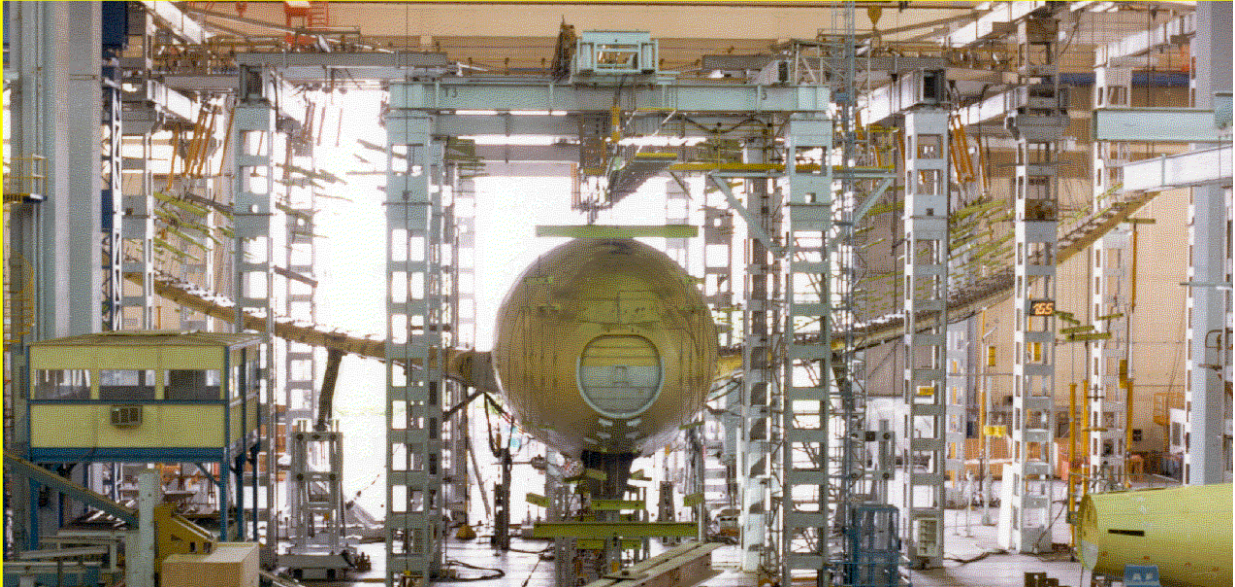
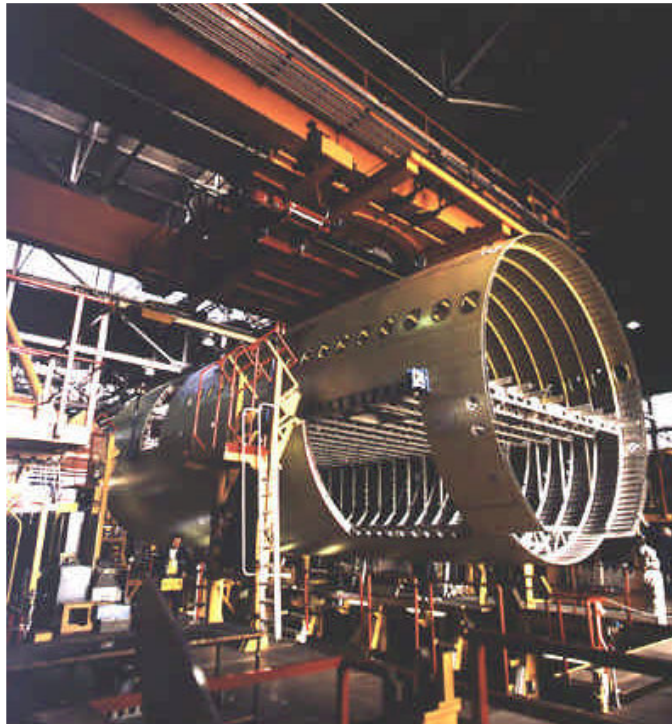
0906633 www.fotosearch.com



0732411 www.fotosearch.com



0779135 www.fotosearch.com



II.5 - Flambage d'un panneau d'extrados de voilure au voisinage
d'une nervure courante (vue de l'intérieur du caisson après ouverture).



Chap. 1:

Rappels et prérequis

Plan de Chapitre 1

I. Hypothèses générales

I. Les actions de liaison

II. Sollicitations Simples

III. Sollicitations Composées

IV. Systèmes hyperstatiques

V. Applications

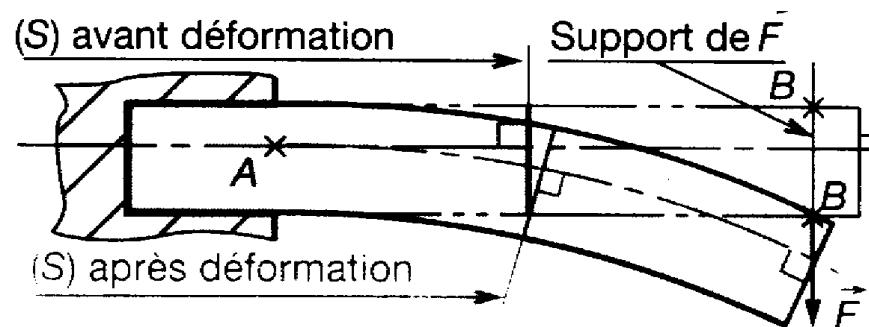
I. Hypothèses générales

Hypothèses générales

Sur les déformations

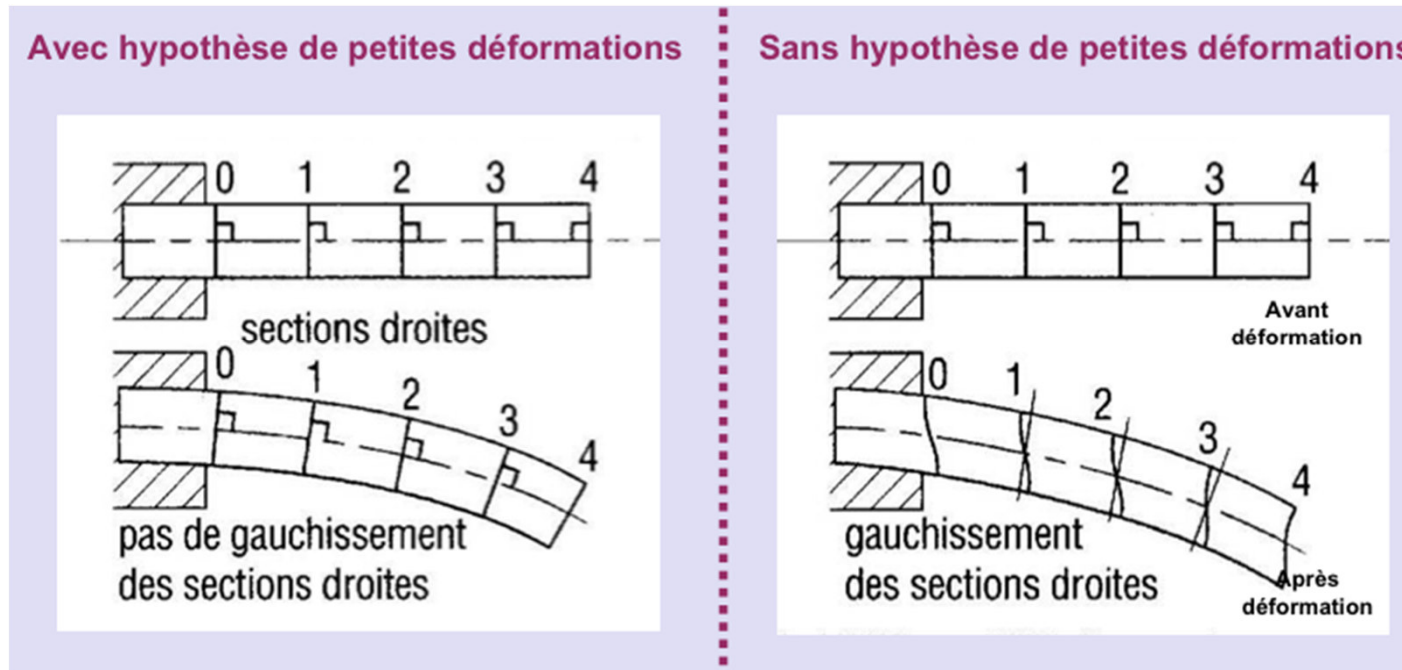
➤ Hypothèse de BERNOUILLI

Les sections droites planes et perpendiculaires à la ligne moyenne, restent planes et perpendiculaires à la ligne moyenne après déformation.



Hypothèses de Bernoulli

Toute section droite avant déformation reste plane et perpendiculaire à la ligne moyenne déformée.

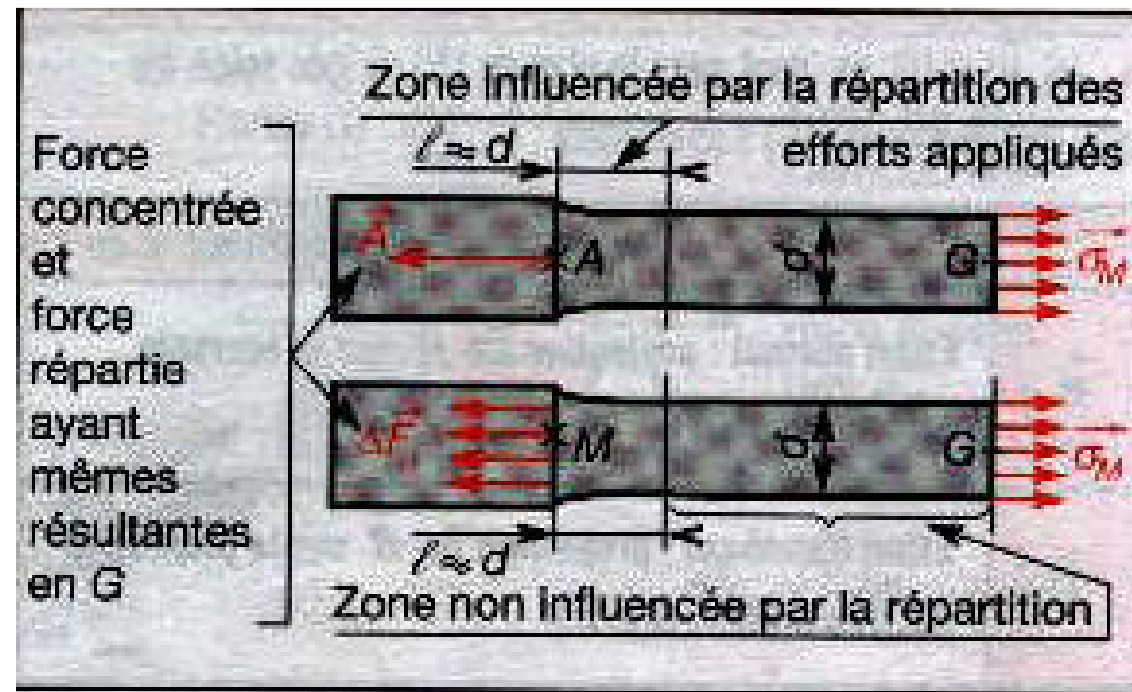


→ les sections droites restent planes selon Navier-Bernoulli (pas de gauchissement).

L'hypothèse de Bernoulli permet de négliger le cisaillement dans le cas de la flexion : le risque de rupture est alors dû à l'extension des fibres situées à l'extérieur de la flexion, et la flèche est due au moment fléchissant

Sur l'application des charges (principe de barre de saint-venant)

«Les contraintes et les déformations dans une région éloignée des points d'application d'un système de forces ne dépendent que de la résultante générale et du moment résultant de ce système de forces.»



II. Les actions de liaison

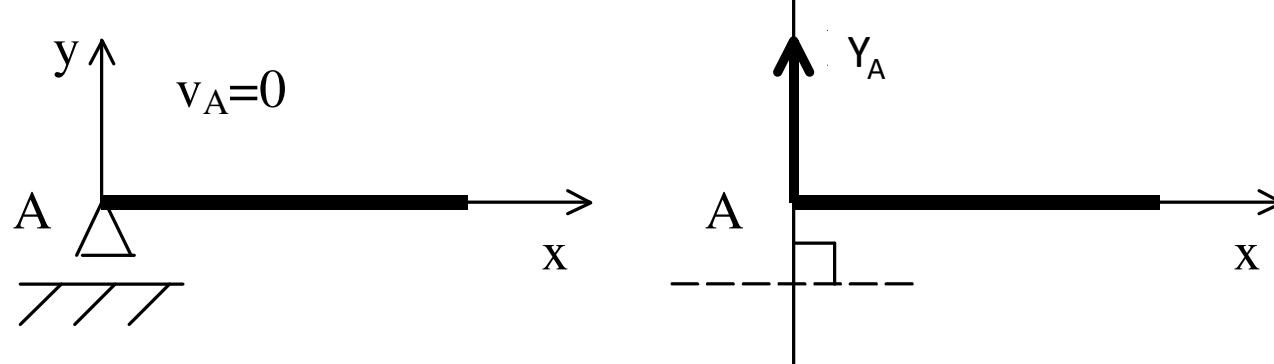
Les actions de liaison

1 L'appui simple

Un système matériel S_1 est en appui simple sur un système matériel S_2 si le contact peut être supposé ponctuel ou suivant une arête, et a lieu sans frottement.

L'appui simple impose un seul blocage en translation dans la direction normale à la surface d'appui. Il fait ainsi naître une force de liaison dans cette direction.

1 L'appui simple



La force de liaison a les caractéristiques suivantes :

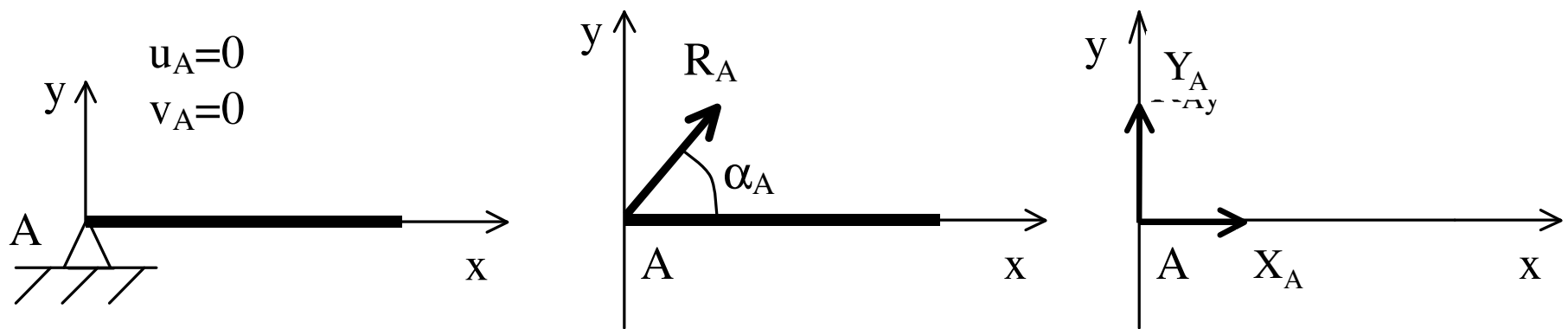
- Point d'application A,
- Droite d'action perpendiculaire à la surface d'appui,
- Composante Y_A inconnue.

L'appui simple introduit donc 1 inconnue.

2 L'articulation

Elle impose deux blocages en translation suivant les axes Ox et Oy, et la rotation reste libre. L'articulation fait donc naître les deux composantes de la force de liaison.

2 L'articulation



La force de liaison a les caractéristiques suivantes :

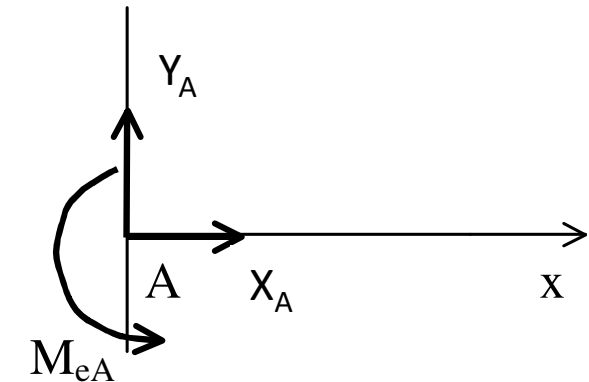
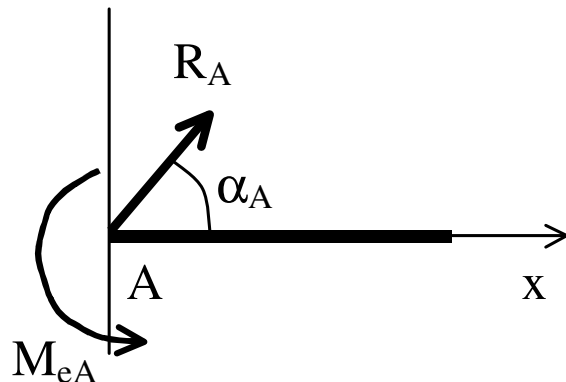
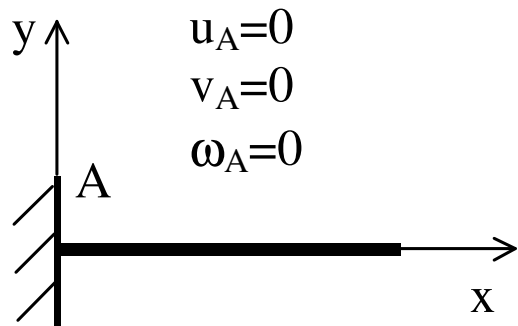
- Point d'application A,
- Composantes X_A et Y_A inconnues.

L'articulation introduit donc 2 inconnues (X_A et Y_A).

3 L'encastrement

Il impose trois blocages (les deux translations et la rotation). Les deux blocages en translation font naître les deux composantes de la force de liaison. Le blocage en rotation fait naître le moment d'encastrement.

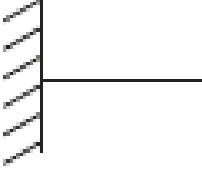
3 L'encastrement



Les actions de liaison ont les caractéristiques suivantes :

- Point d'application A,
- Composantes X_A et Y_A de la force de liaison inconnues,
- Moment d'encastrement M_{eA} inconnu.

L'encastrement introduit donc 3 inconnues (X_A , Y_A et M_{eA}).

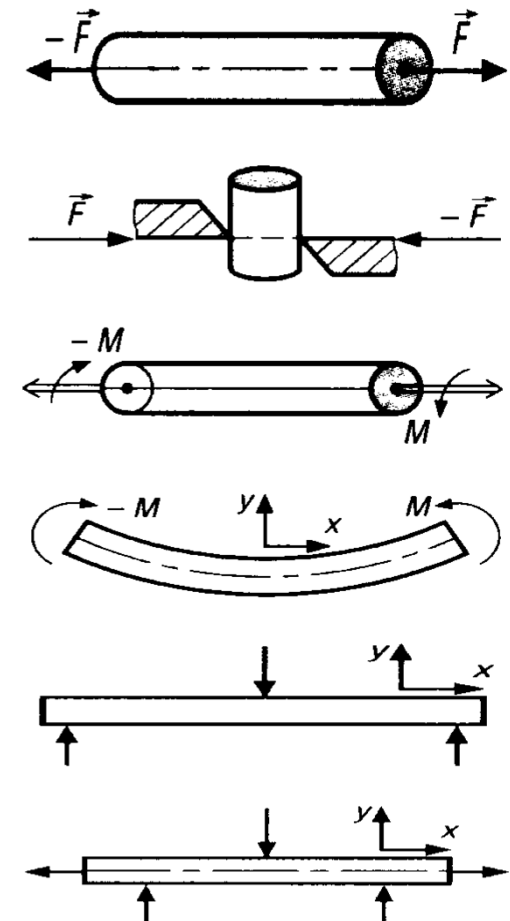
| Type de liaisons | Schémas | Réactions d'appuis | Degrés de liberté |
|------------------|--|-------------------------------------|----------------------------------|
| Rotule |  | $H \neq 0, V \neq 0,$ $M = 0$ | $u = 0, v = 0, \theta \neq 0$ |
| Appui simple |  | $V \neq 0, H = 0,$ $M = 0$ | $v = 0, u \neq 0, \theta \neq 0$ |
| Encastrement |  | $V \neq 0, H \neq 0,$ $M \neq 0$ | $v = 0, u = 0, \theta = 0$ |

III. Sollicitations Simples

III. Nature des sollicitations

Sollicitations simples

| Nature des sollicitations | Forces de cohésion |
|---------------------------|--------------------|
| Traction ou Compression | N |
| Cisaillement simple | T |
| Torsion simple | M_t |
| Flexion pure | M_f |
| Flexion simple | $T+M_f$ |
| Flexion composée | $N+T+M_f$ |



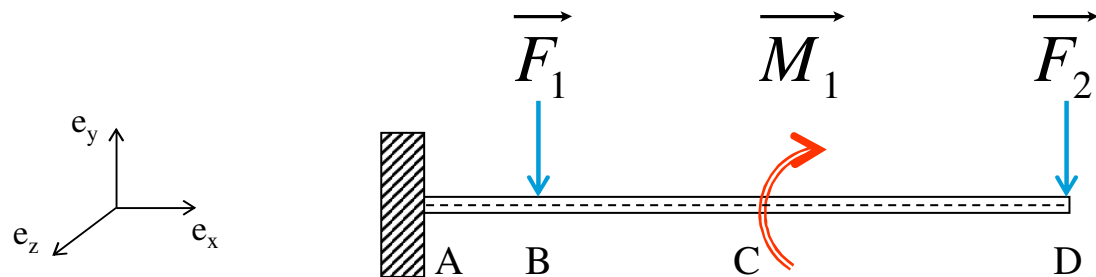
Nature des Sollicitations (simples)

| Nature des sollicitations | Effort Normal | Effort Tranchant | Moment de Torsion | Moment de Flexion | Torseur de cohésion |
|---|---------------|--------------------|-------------------|--------------------------|--|
| Traction (N>0) Compression (N<0) | N | $T_y=0$ $T_z=0$ | $M_t=0$ | $M_{fy}=0$ $M_{fz}=0$ | $\{\tau_{Coh}\} = \begin{pmatrix} N & 0 \\ 0 & 0 \\ G & 0 \end{pmatrix}$ |
| Cisaillement simple | $N=0$ | T_y ou T_z | $M_t=0$ | $M_{fy}=0$ $M_{fz}=0$ | $\{\tau_{Coh}\} = \begin{pmatrix} 0 & 0 \\ T_y & 0 \\ G & T_z \end{pmatrix}$ |
| Torsion simple | $N=0$ | $T_y=0$ $T_z=0$ | M_t | $M_{fy}=0$ $M_{fz}=0$ | $\{\tau_{Coh}\} = \begin{pmatrix} 0 & M_t \\ 0 & 0 \\ G & 0 \end{pmatrix}$ |
| Flexion pure | $N=0$ | $T_y=0$ $T_z=0$ | $M_t=0$ | M_{fy} ou M_{fz} | $\{\tau_{Coh}\} = \begin{pmatrix} 0 & 0 \\ 0 & M_{fy} \\ G & M_{fz} \end{pmatrix}$ |

| | |
|------------------------|---|
| Traction / compression | $\mathcal{T} = \begin{Bmatrix} N \vec{x}_1 \\ \vec{0} \end{Bmatrix}_G$ |
| Flexion pure | $\mathcal{T} = \begin{Bmatrix} \vec{0} \\ M_{\beta 2} \vec{x}_2 + M_{\beta 3} \vec{x}_3 \end{Bmatrix}_G$ |
| Flexion simple | $\mathcal{T} = \begin{Bmatrix} \vec{T}_3 \vec{x}_3 \\ M_{\beta 2} \vec{x}_2 \end{Bmatrix}_G + \begin{Bmatrix} \vec{T}_2 \vec{x}_2 \\ M_{\beta 3} \vec{x}_3 \end{Bmatrix}_G$ |
| Cisaillement pur | $\mathcal{T} = \begin{Bmatrix} T_2 \vec{x}_2 + T_3 \vec{x}_3 \\ \vec{0} \end{Bmatrix}_G$ |
| Torsion pure | $\mathcal{T} = \begin{Bmatrix} \vec{0} \\ M_t \vec{x}_1 \end{Bmatrix}_G$ |

$N > 0$ traction
 $N < 0$ compression

Équations d ' équilibre global



le Principe Fondamental de la Statique donne :

$$\sum \vec{F}_{ext} = \vec{0}$$

$$\sum \vec{M}(A, F_i) = \vec{0}$$

$$\underline{\vec{R}_A} + \vec{F}_1 + \vec{F}_2 = \vec{0}$$

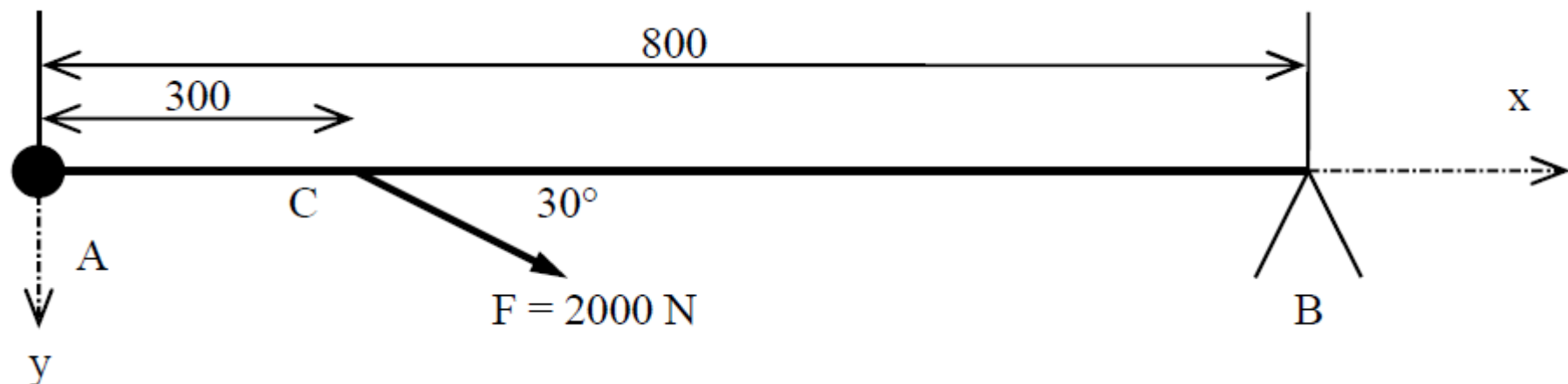
$$\underline{\vec{M}_A} + \vec{M}_1 + \vec{AB} \wedge \vec{F}_1 + \vec{AD} \wedge \vec{F}_2 = \vec{0}$$

IV. Sollicitations Composées

Sollicitations Composées

Exemple 1: Flexion + Extension.

On se propose d'étudier une poutre de section rectangulaire (12x36), sollicitée dans les conditions ci-dessous :



- On isole la poutre, bilan des actions extérieures, P.F.S., afin de connaître les actions extérieures, ici on a :

$$\begin{cases} A_x + P \cdot \cos 30 = 0 \\ A_y + B + P \cdot \sin 30 = 0 \\ 800 \cdot B + 300 \cdot P \cdot \sin 30 = 0 \end{cases}$$

$$\Leftrightarrow \begin{cases} A_x = -375N \\ A_y = -1732N \\ B = -625N \end{cases}$$

- On recherche le torseur de cohésion, à savoir :

* tronçon BC.

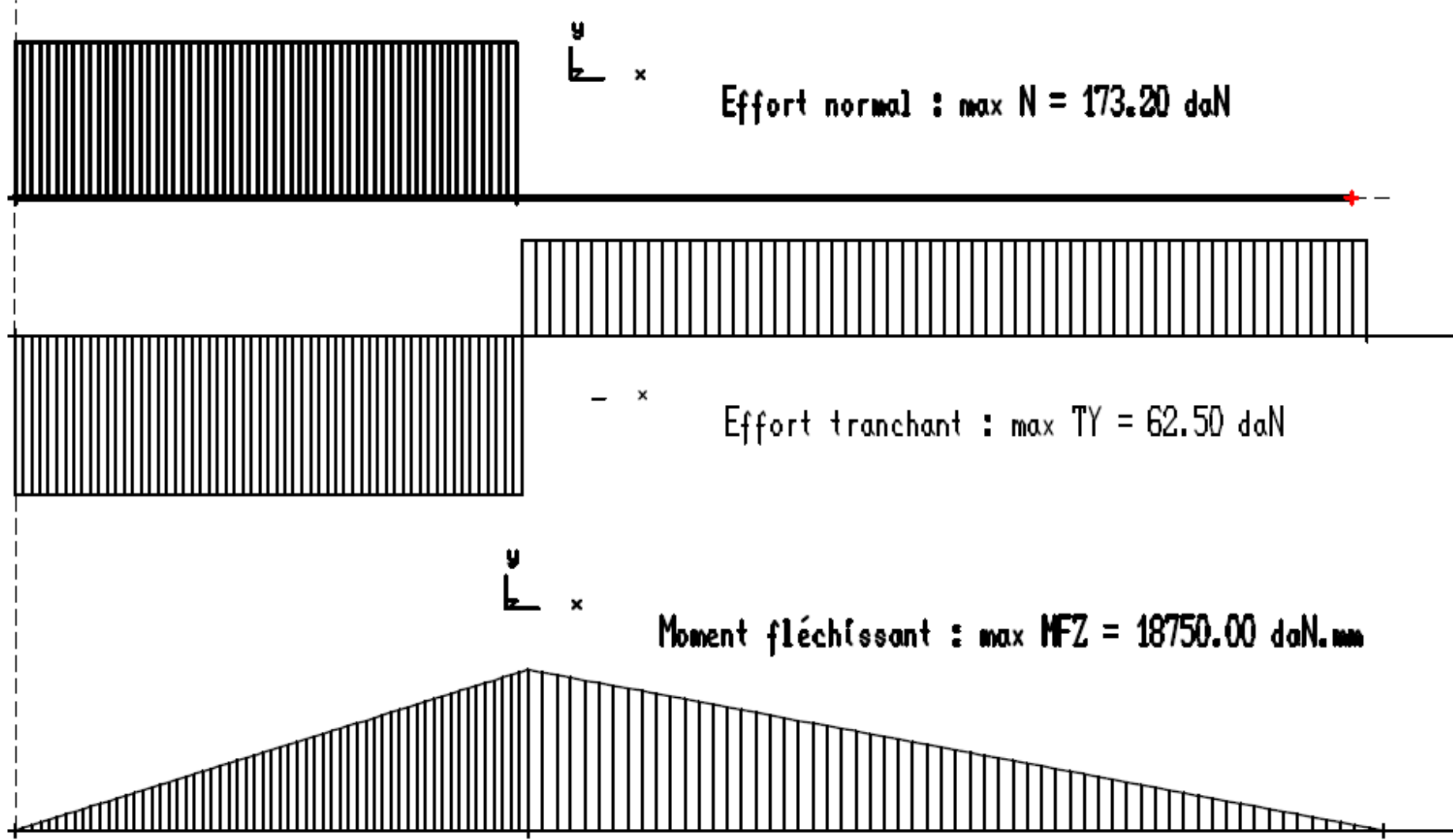
$$\{coh\}_G = \begin{Bmatrix} 0 & 0 \\ -375 & 0 \\ 0 & 375 \cdot (x - 800) \end{Bmatrix}_G$$

* tronçon AC.

$$\{coh\}_G = \begin{Bmatrix} 1732 & 0 \\ 625 & 0 \\ 0 & 625 \cdot x \end{Bmatrix}_G$$

On est bien en présence d'une sollicitation d'extension et de flexion simple.

On obtient les diagrammes suivants :



On trouve que la section la plus sollicitée se situe à l'abscisse $x = 300$.

- On recherche alors les contraintes séparément, à savoir :

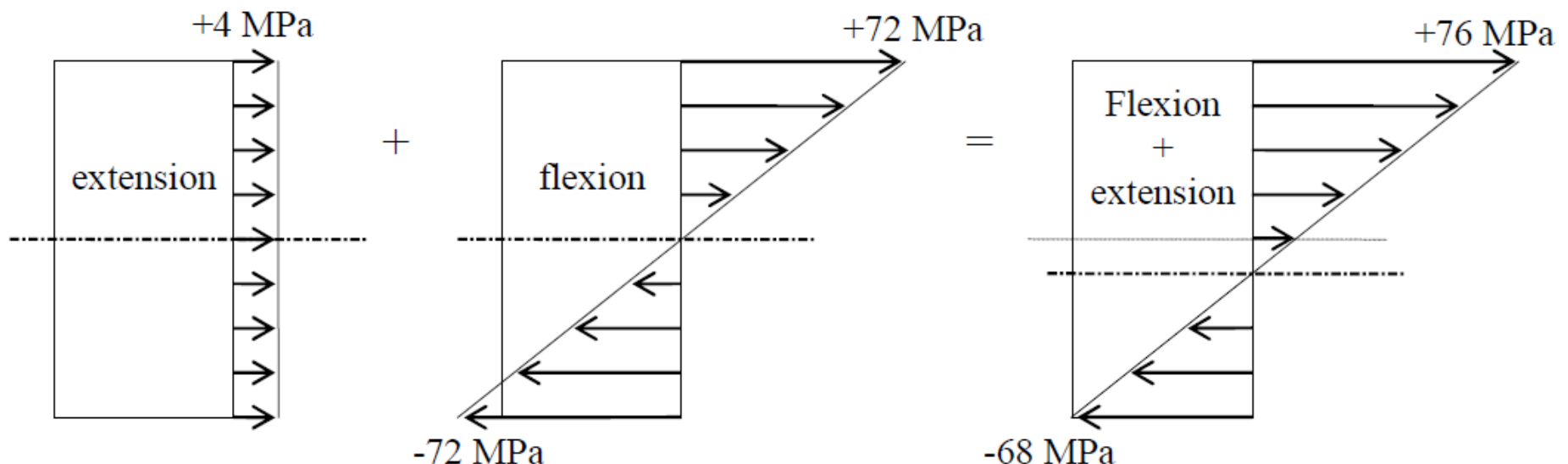
* contrainte d'extension.

$$\sigma_{ext} = \frac{N}{S} = 4. MPa$$

* contrainte de flexion.

$$\sigma_{flex} = \frac{Mf}{I_G} \cdot \rho = \frac{12. Mf}{b \cdot h^3} \cdot \frac{h}{2} = 72. MPa$$

On procède ensuite à la superposition en additionnant les contraintes.

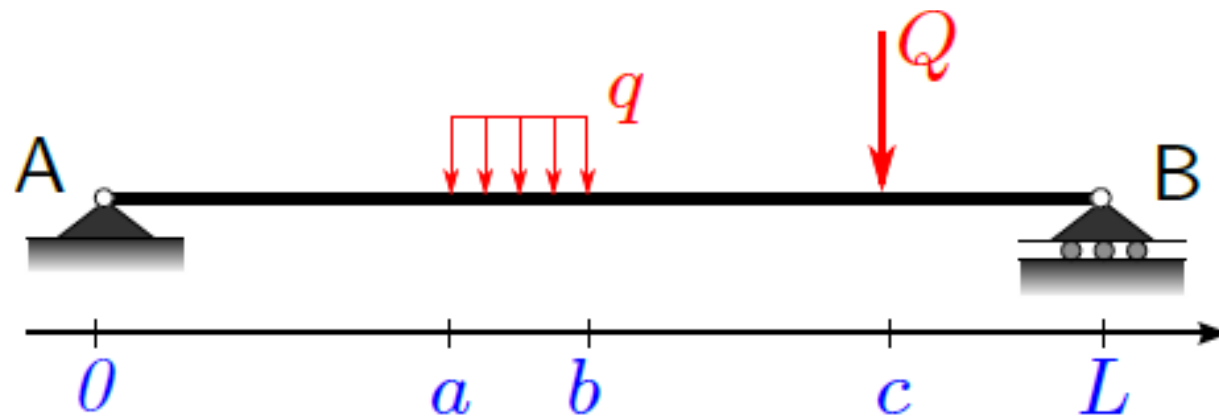


On observe dans la superposition un décalage de la fibre neutre.

Sollicitations Composées

Exemple 2

Soit une poutre droite de longueur L soumise à deux sollicitations : une charge répartie q et une charge ponctuelle telles qu'indiqué à la figure 6.9. Soit une poutre droite de longueur L soumise à deux sollicitations : une charge répartie q et une charge ponctuelle telles qu'indiqué à la figure ci-dessous



1. Écriture de l'équilibre global Le système est isostatique. Les réactions de liaisons sont notées et représentées sur la figure 6.10.

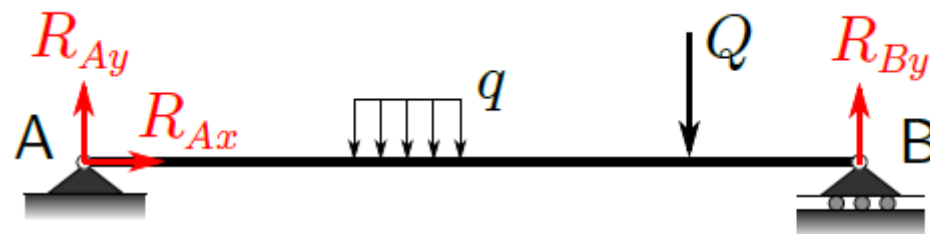


FIGURE 6.10 – Réactions d'appui

Les équations d'équilibre fournissent (le moment est écrit en A) :

$$\begin{cases} R_{Ax} &= 0 \\ R_{Ay} - q(b-a) - Q + R_{By} &= 0 \\ - \int_a^b q x dx - Qc + R_{By}L &= 0 \end{cases} \quad (6.18)$$

Notons que $\int_a^b qx \, dx$ peut-être évaluée directement en considérant l'ensemble de la charge $q(b-a)$ concentrée sur le bras de levier moyen $(a+b)/2$ ce qui donne un moment $q(b-a)(a+b)/2 = q(b^2 - a^2)/2 = \int_a^b qx \, dx$.

Au final, les réactions aux appuis sont données par :

$$\left\{ \begin{array}{lcl} R_{Ax} & = & 0 \\ R_{Ay} = Q(1 - \frac{c}{L}) + q(b-a)\left(1 - \frac{b+a}{2L}\right) & = & 0 \\ R_{By} = \frac{Qc}{L} + q(b-a)\frac{b+a}{2L} & = & 0 \end{array} \right. \quad (6.19)$$

2. Écriture des équilibres locaux Il faut distinguer les équilibres des différents tronçons : $[0, a]$, $[a, b]$, $[b, c]$ et $[c, L]$.

$s \in [0, a]$ (figure 6.11) :

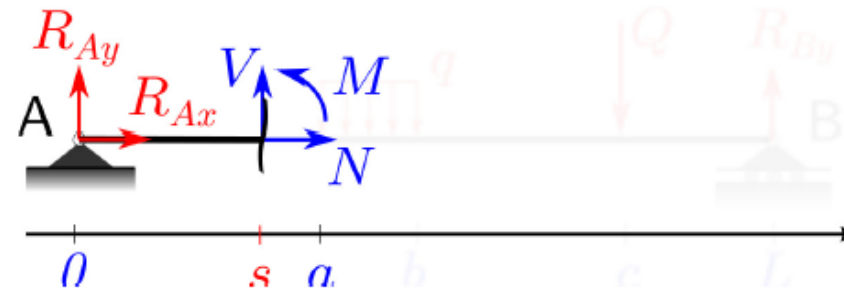


FIGURE 6.11 – Équilibre d'un tronçon de $[0, a]$

$$\begin{cases} N &= 0 \\ -R_{Ay} + V &= 0 \\ M + Vs &= 0 \end{cases} \quad (6.20)$$

ou encore :

pour $x \in [0, a]$,

$$\begin{cases} N(s) &= 0 \\ V(s) &= -Q\left(1 - \frac{c}{L}\right) - q(b-a)\left(1 - \frac{b+a}{2L}\right) \\ M(s) &= Q\left(1 - \frac{c}{L}\right)s + q(b-a)\left(1 - \frac{b+a}{2L}\right)s \end{cases} \quad (6.21)$$

$s \in [a, b]$ (figure 6.12) :

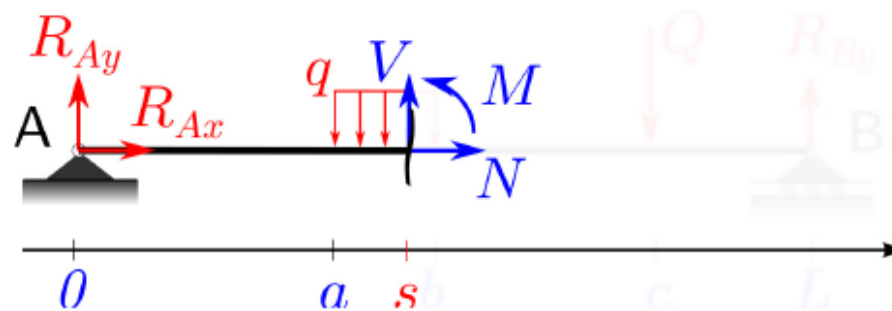


FIGURE 6.12 – Équilibre d'un tronçon de $[a, b]$

$$\begin{cases} N &= 0 \\ R_{Ay} - q(s-a) + V &= 0 \\ -\int_a^s qxdx + Vs + M &= 0 \end{cases} \quad (6.22)$$

ou encore :

pour $x \in [a, b]$,

$$\begin{cases} N(s) &= 0 \\ V(s) &= -R_{Ay} + q(s-a) \\ M(s) &= R_{Ay}s - q(s-a)s + q(s^2 - a^2)/2 \end{cases} \quad (6.23)$$

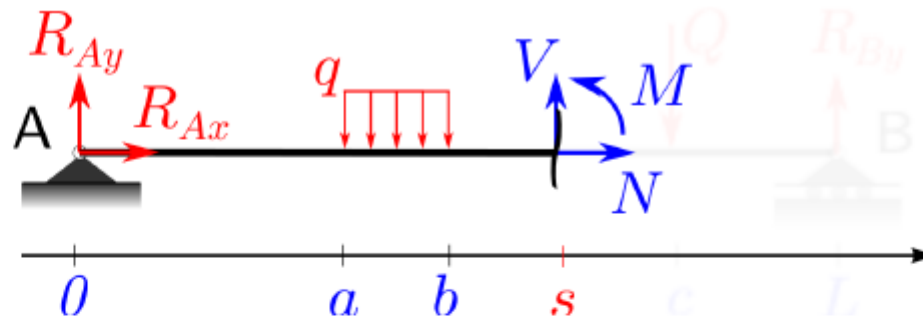


FIGURE 6.13 – Équilibre d'un tronçon de $[b, c]$

$s \in [b, c]$ (figure 6.13) :

$$\begin{cases} N &= 0 \\ R_{Ay} - q(b-a) + V &= 0 \\ -q(b^2 - a^2)/2 + Vs + M &= 0 \end{cases} \quad (6.24)$$

ou encore :

Pour $s \in [b, c]$,

$$\begin{cases} N(s) &= 0 \\ V(s) &= -R_{Ay} + q(b-a) \\ M(s) &= q(b^2 - a^2)/2 + R_{Ay}s - q(b-a)s \end{cases} \quad (6.25)$$

$s \in [c, L]$ (figure 6.14) :

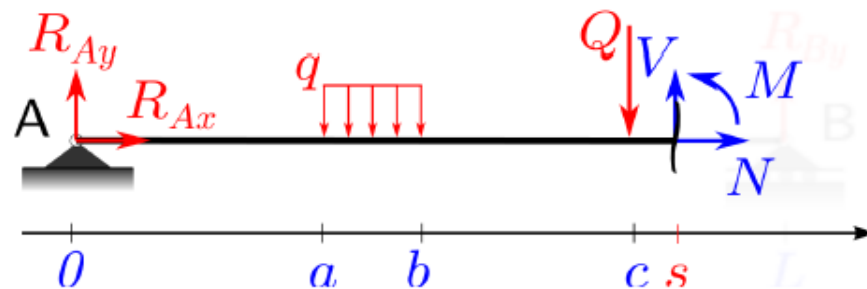


FIGURE 6.14 – Équilibre d'un tronçon de $[c, L]$

$$\begin{cases} N &= 0 \\ R_{Ay} - q(b-a) - Q + V &= 0 \\ -q(b^2 - a^2)/2 - Qc + Vs + M &= 0 \end{cases} \quad (6.26)$$

ou encore :

Pour $x \in [c, L]$,

$$\begin{cases} N(s) &= 0 \\ V(s) &= -R_{Ay} + q(b-a) + Q \\ M(s) &= q(b^2 - a^2)/2 - Q(s-c) + R_{Ay}s - q(b-a)s \end{cases} \quad (6.27)$$

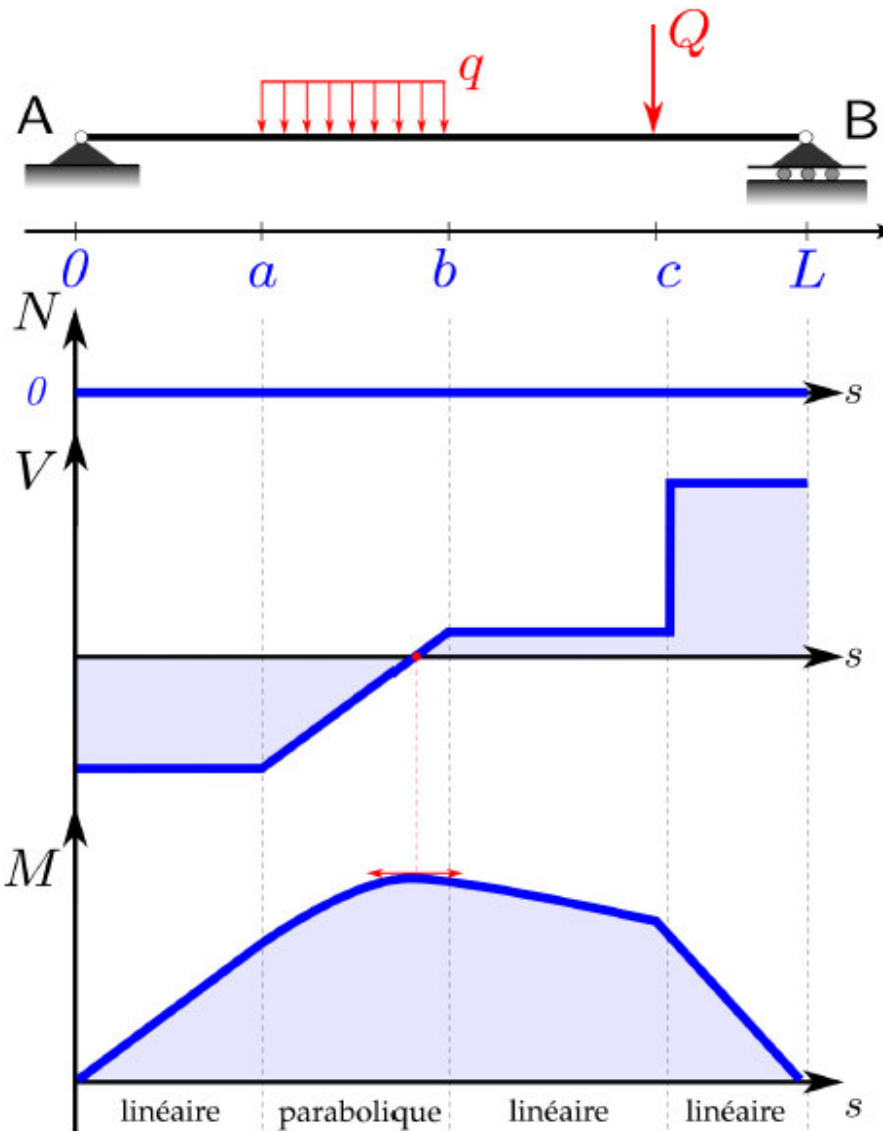


FIGURE 6.15 – Exemple de diagramme des efforts intérieurs pour des valeurs de chargement données q et Q

V. Systèmes hyperstatiques

Voici trois poutres qui ne diffèrent que par leurs appuis.
Elles sont de longueur L et chargées à une distance l de leur encastrement.



Principe fondamental de la dynamique :

$$\begin{cases} R_{Ax} = 0 \\ R_{Ay} - F = 0 \\ M_{Az} - Fl = 0 \end{cases} \quad (3.1)$$

3 équations indépendantes linéaires, 3 inconnues :
les réactions d'appui peuvent être calculés.



Principe fondamental de la dynamique :

$$\begin{cases} R_{Ax} = 0 \\ R_{Ay} + R_{By} - F = 0 \\ M_{Az} + R_{By}L - Fl = 0 \end{cases} \quad (3.2)$$

3 équations indépendantes linéaires, 4 inconnues :

il manque une équation pour calculer les réactions d'appuis.



Principe fondamental de la dynamique :

$$\begin{cases} R_{Ax} + R_{Bx} = 0 \\ R_{Ay} + R_{By} - F = 0 \\ M_{Az} + R_{By}L - Fl = 0 \end{cases} \quad (3.3)$$

3 équations indépendantes linéaires, 5 inconnues :

il manque deux équations pour calculer les réactions d'appuis.

Isostaticité – hyperstatique

Dans le cas plan, on a au plus trois équations d'équilibre.

1. Si les actions de liaison introduisent 3 inconnues, le problème est statiquement déterminé (possible, n'admettant qu'une solution) ou **isostatique**.
2. Si les actions de liaison introduisent plus de 3 inconnues, le problème est statiquement indéterminé ou **hyperstatique**. Il faudra introduire de nouvelles équations issues de la RDM.
3. Si les actions de liaison introduisent moins de 3 inconnues, le problème est **hypostatique**. La structure est alors appelée **mécanisme** et n'est pas stable.

Le degrés d'hyperstatisme d'un système est une grandeur qui traduit la redondance mécanique de ce système. Cette grandeur influe non seulement sur le comportement structurel, mais aussi sur son calcul comme cela apparaît clairement dans la définition d'isostatisme :

Un système est dit isostatique si le principe fondamental de la dynamique suffit à déterminer toutes les inconnues de liaison du mécanisme.

Degré d'hyperstatique

n inconnues de réaction



(p - n) est le degré d ' hyperstatique

p équations d ' équilibre

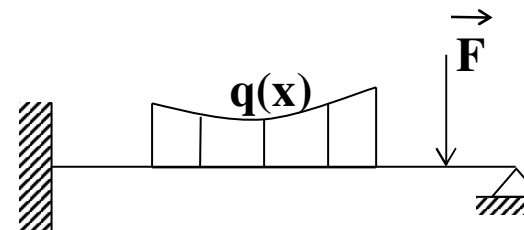


{
 (p - n) > 0 : hypostatique
 (p - n) = 0 : isostatique
 (p - n) < 0 : hyperstatique

Exemples



Structure isostatique

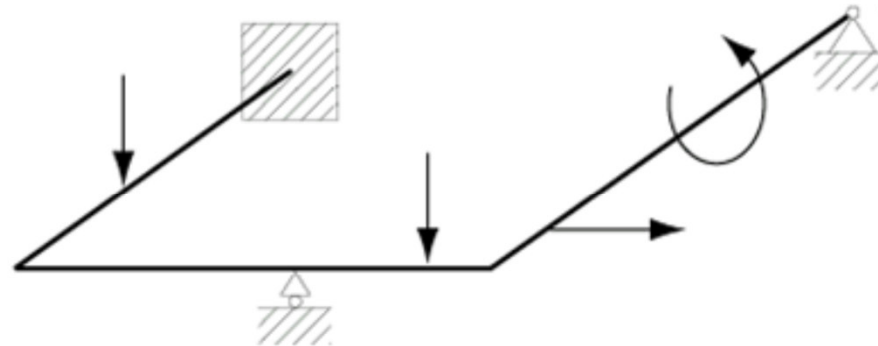


Structure hyperstatique

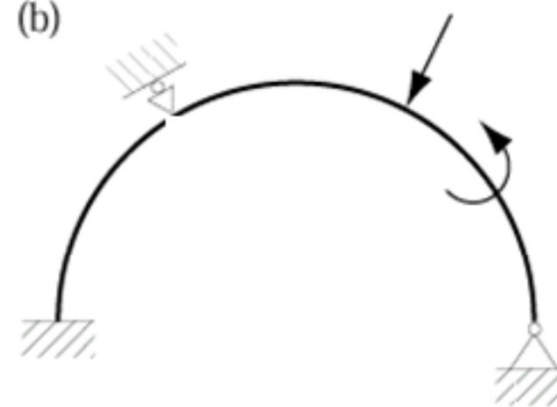
A chaque discontinuité: coupe pas assez
d'eq pour résoudre → Théorèmes
énergétiques

Exemples: système *hyperstatique extérieurement*

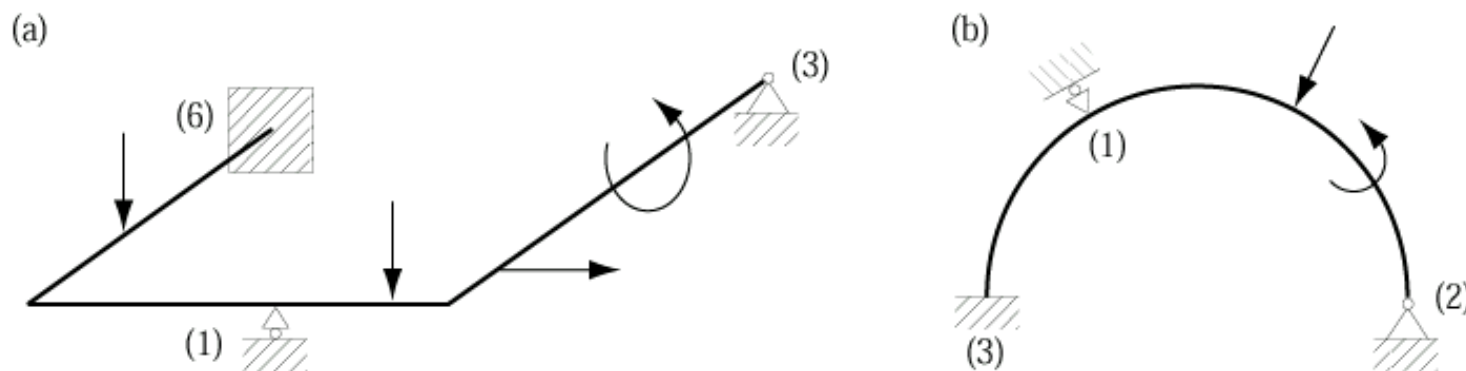
(a)



(b)



Exemples: système *hyperstatique extérieurement*



$$k = p - 6 = 4$$

$$(p = 6+1+3)$$

$$k = p - 3 = 3$$

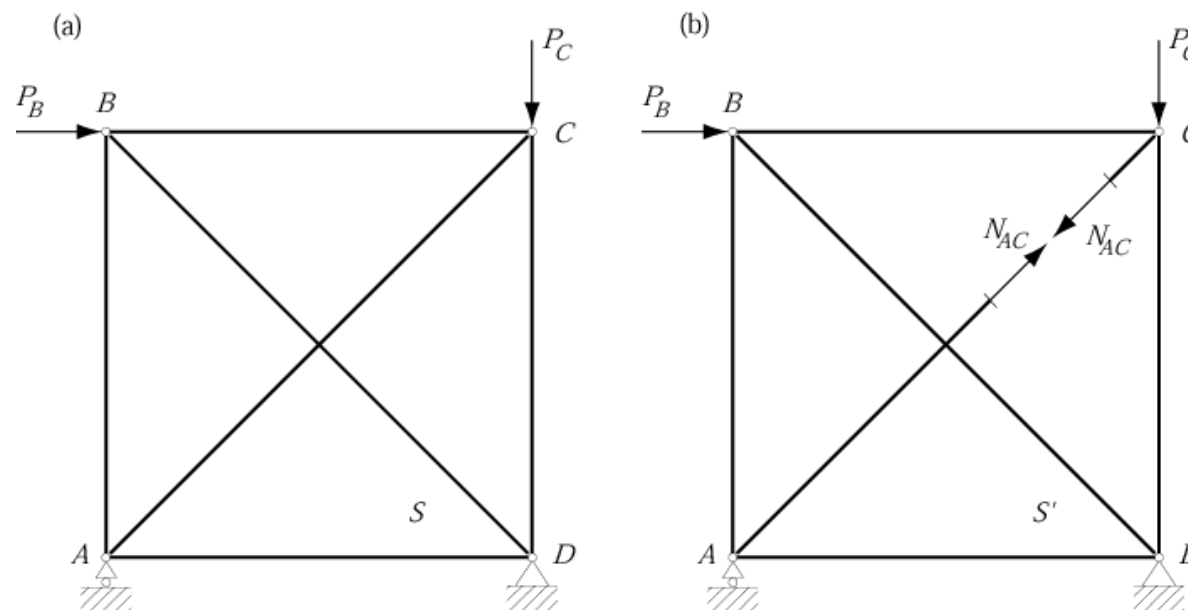
$$(p = 3+1+2)$$

système *hyperstatique intérieurement*

un système est *hyperstatique intérieurement* quand
la connaissance de toutes les réactions extérieures n'est pas suffisante
pour calculer les *efforts intérieurs*.

système *hyperstatique intérieurement*

système plan de barres articulées en treillis

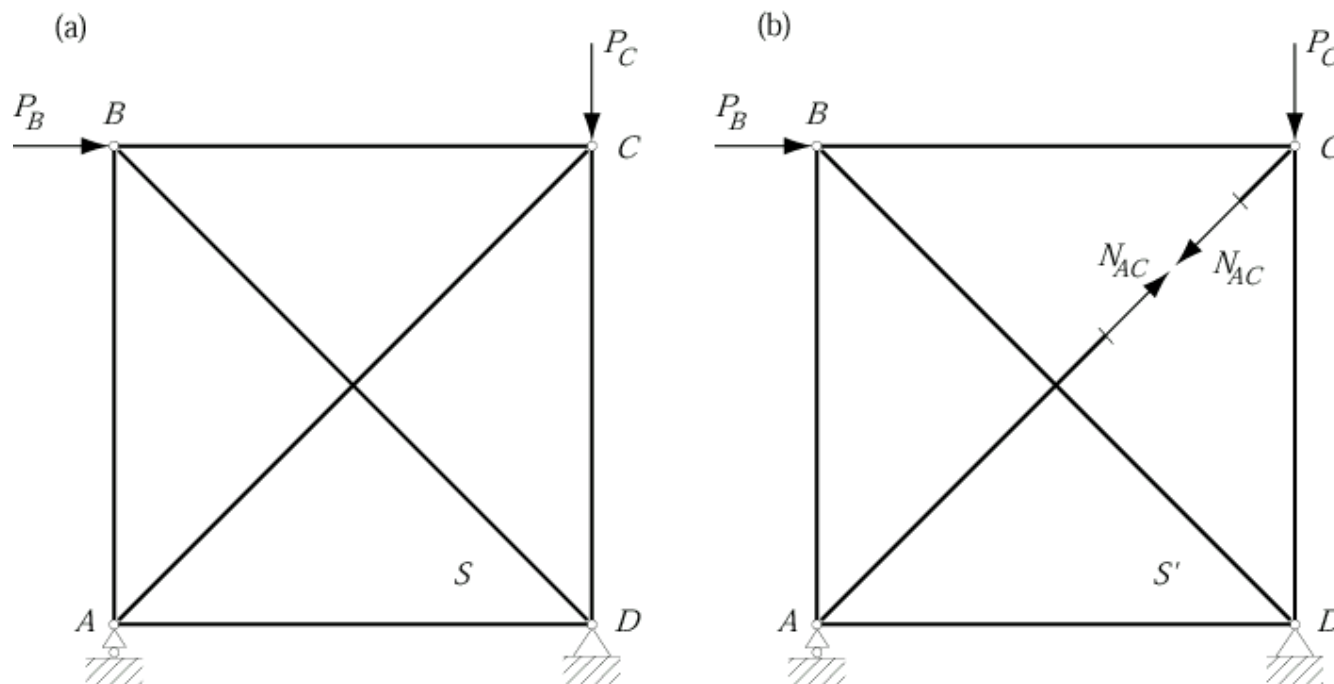


Un telle structure est hyperstatique intérieurement d'ordre

$$k = m + p - 2n,$$

- m désigne le nombre de barres,
- p est le nombre de liaisons extérieures
- n dénote le nombre total de noeuds.

système plan de barres articulées en treillis : on obtient un système isostatique fondamental S' du système donné S , en remplaçant les ***k liaisons intérieures*** surabondantes par des forces hyperstatiques inconnues R_1, R_2, \dots, R_k choisies parmi les efforts intérieurs.



Exemple : $\text{ordre } k = 6 + 3 - 2(4) = 1$

VI. Applications

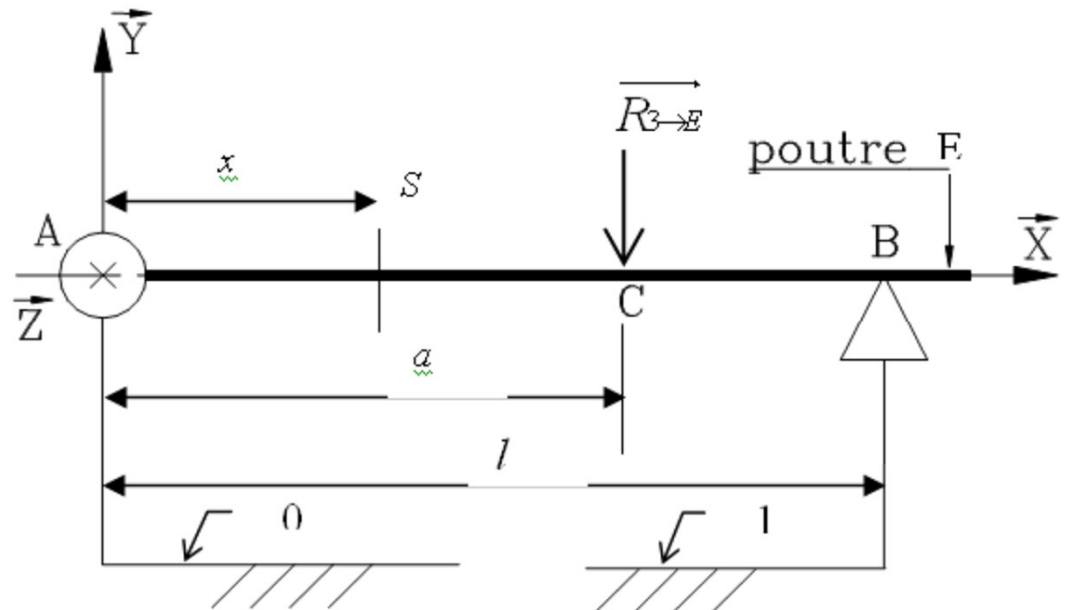
Torseur de cohésion - application

Exemple 1

Soit une poutre cylindrique, de 200 mm de long et de 5 mm de diamètre, soumise à une action mécanique modélisable par un glisseur avec :
 $\overrightarrow{R_{3 \rightarrow E}}$ d'intensité 100daN.

$$\overrightarrow{AC} = a \vec{x}; a = 150 \text{ mm}$$

$$\overrightarrow{AB} = l \vec{x}; l = 200 \text{ mm}$$



L'étude s'effectuera dans le plan de symétrie (x,y)

Détermination des actions en A et B

Isolement de la poutre (E)

(E) est soumis à 3 actions mécaniques : $\{T_{0 \rightarrow E}\} \{T_{1 \rightarrow E}\} \{T_{3 \rightarrow E}\}$

$$\{T_{0 \rightarrow E}\}_A \begin{Bmatrix} \overrightarrow{R_{0 \rightarrow E}} \\ M_{A0 \rightarrow E} \end{Bmatrix} = \begin{Bmatrix} X_{0 \rightarrow E} & 0 \\ Y_{0 \rightarrow E} & 0 \\ 0 & 0 \end{Bmatrix}_{(\vec{x}, \vec{y}, \vec{z})} \quad \{T_{1 \rightarrow E}\}_B \begin{Bmatrix} \overrightarrow{R_{1 \rightarrow E}} \\ M_{B1 \rightarrow E} \end{Bmatrix} = \begin{Bmatrix} 0 & 0 \\ Y_{1 \rightarrow E} & 0 \\ 0 & 0 \end{Bmatrix}_{(\vec{x}, \vec{y}, \vec{z})} \quad \{T_{3 \rightarrow E}\}_C \begin{Bmatrix} \overrightarrow{R_{3 \rightarrow E}} \\ M_{C3 \rightarrow E} \end{Bmatrix} = \begin{Bmatrix} 0 & 0 \\ -100 & 0 \\ 0 & 0 \end{Bmatrix}_{(\vec{x}, \vec{y}, \vec{z})}$$

Écriture des torseurs au point A

$$\begin{aligned} \{T_{0 \rightarrow E}\}_A \begin{Bmatrix} \overrightarrow{R_{0 \rightarrow E}} \\ M_{A0 \rightarrow E} \end{Bmatrix} &= \begin{Bmatrix} X_{0 \rightarrow E} & 0 \\ Y_{0 \rightarrow E} & 0 \\ 0 & 0 \end{Bmatrix}_{(\vec{x}, \vec{y}, \vec{z})} & \{T_{1 \rightarrow E}\}_A \begin{Bmatrix} \overrightarrow{R_{1 \rightarrow E}} \\ M_{A1 \rightarrow E} \end{Bmatrix} &= \begin{Bmatrix} 0 & 0 \\ Y_{1 \rightarrow E} & 0 \\ 0 & I.Y_{1 \rightarrow E} \end{Bmatrix}_{(\vec{x}, \vec{y}, \vec{z})} \\ \{T_{3 \rightarrow E}\}_A \begin{Bmatrix} \overrightarrow{R_{3 \rightarrow E}} \\ M_{A3 \rightarrow E} \end{Bmatrix} &= \begin{Bmatrix} 0 & 0 \\ -100 & 0 \\ 0 & -a.100 \end{Bmatrix}_{(\vec{x}, \vec{y}, \vec{z})} \end{aligned}$$

Il faut étudier chaque portion de poutre comprise entre deux charges.

Pour $0 < x < c$

$$\text{Équilibre de E1} \quad {}_G\{\overrightarrow{T_{coh}}\} = {}_G\left\{ \begin{matrix} \bar{R} \\ M_G \end{matrix} \right\} = {}_G\left\{ \begin{matrix} -\overrightarrow{R_{\bar{E} \rightarrow E1}} \\ -M_{G\bar{E} \rightarrow E1} \end{matrix} \right\} = - {}_G\left\{ \begin{matrix} \overrightarrow{R_{0 \rightarrow E}} \\ M_{G0 \rightarrow E} \end{matrix} \right\} = - {}_G\left\{ \begin{matrix} 0 & 0 \\ 25 & 0 \\ 0 & -25x \end{matrix} \right\}_{(\vec{x}, \vec{y}, \vec{z})} = {}_G\left\{ \begin{matrix} 0 & 0 \\ -25 & 0 \\ 0 & 25x \end{matrix} \right\}_{(\vec{x}, \vec{y}, \vec{z})}$$

$$\text{avec } \overrightarrow{M_{G0 \rightarrow E}} = \overrightarrow{M_{A0 \rightarrow E}} + \overrightarrow{GA} \wedge \overrightarrow{R_{0 \rightarrow E}} = 0 + \begin{vmatrix} -x & 0 \\ 0 & 25 \\ 0 & 0 \end{vmatrix} = 0$$

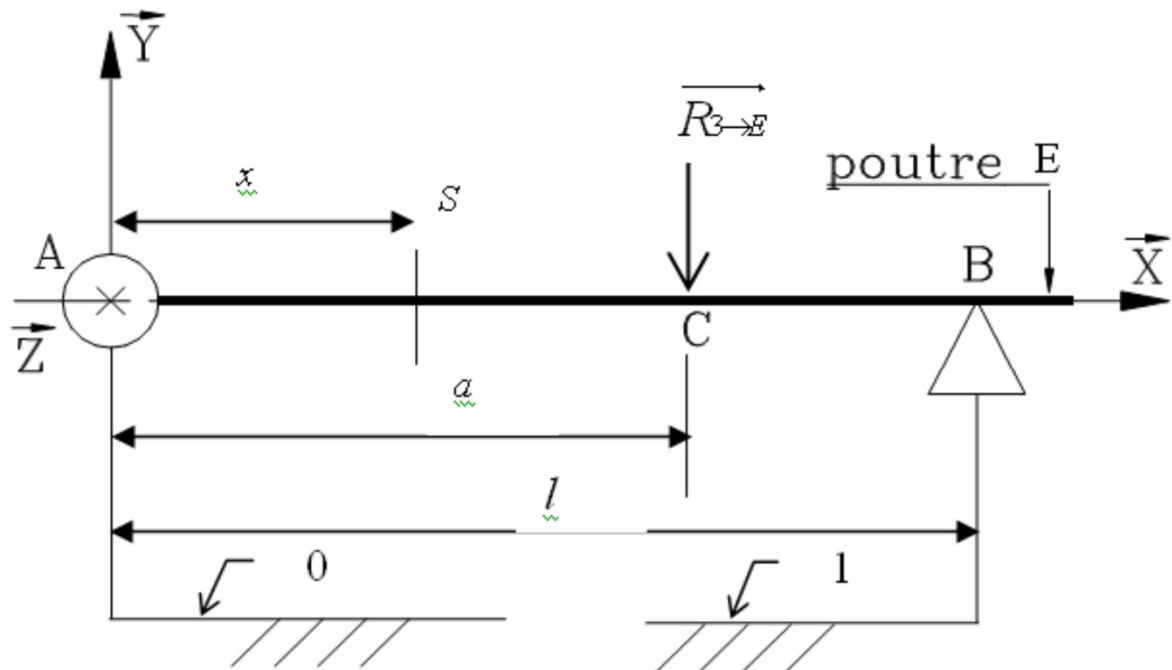
Pour $c < x < b$

$$\text{Équilibre de E2} \quad {}_G\{\overrightarrow{T_{coh}}\} = {}_G\left\{ \begin{matrix} \bar{R} \\ M_G \end{matrix} \right\} = {}_G\left\{ \begin{matrix} \overrightarrow{R_{\bar{E} \rightarrow E2}} \\ M_{G\bar{E} \rightarrow E2} \end{matrix} \right\} = {}_G\left\{ \begin{matrix} \overrightarrow{R_{l \rightarrow E}} \\ M_{G1 \rightarrow E} \end{matrix} \right\} = {}_G\left\{ \begin{matrix} 0 & 0 \\ 75 & 0 \\ 0 & 75.(l-x) \end{matrix} \right\}_{(\vec{x}, \vec{y}, \vec{z})}$$

$$\text{avec } \overrightarrow{M_{G1 \rightarrow E}} = \overrightarrow{M_{B1 \rightarrow E}} + \overrightarrow{GB} \wedge \overrightarrow{R_{l \rightarrow E}} = 0 + \begin{vmatrix} l-x & 0 \\ 0 & 75 \\ 0 & 0 \end{vmatrix} = 75.(l-x)$$

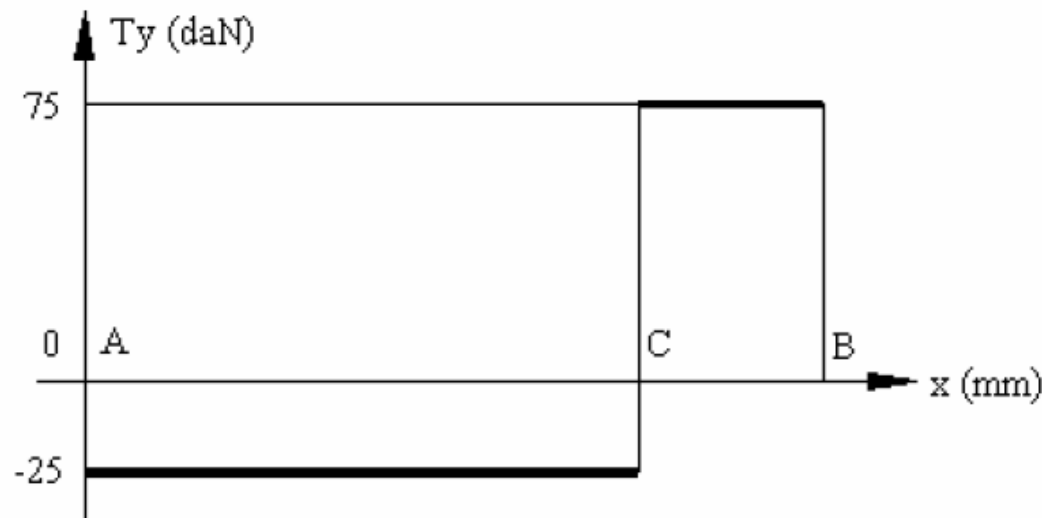
Courbes des efforts intérieurs

On représente la variation des efforts intérieurs à l'aide de courbes qui visualisent immédiatement les zones dangereuses de la poutre.

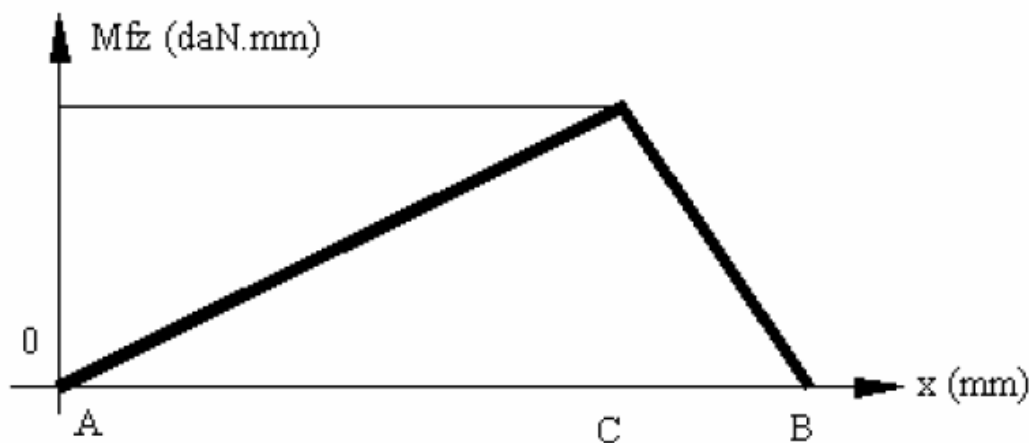


| Sollicitation | $A < x < C$ | $C < x < B$ |
|---------------|-------------|-------------|
| N | 0 | 0 |
| T_y | -25 | 75 |
| T_z | 0 | 0 |
| M_t | 0 | 0 |
| M_{f_y} | 0 | 0 |
| M_{f_z} | $25x$ | $75(l-x)$ |

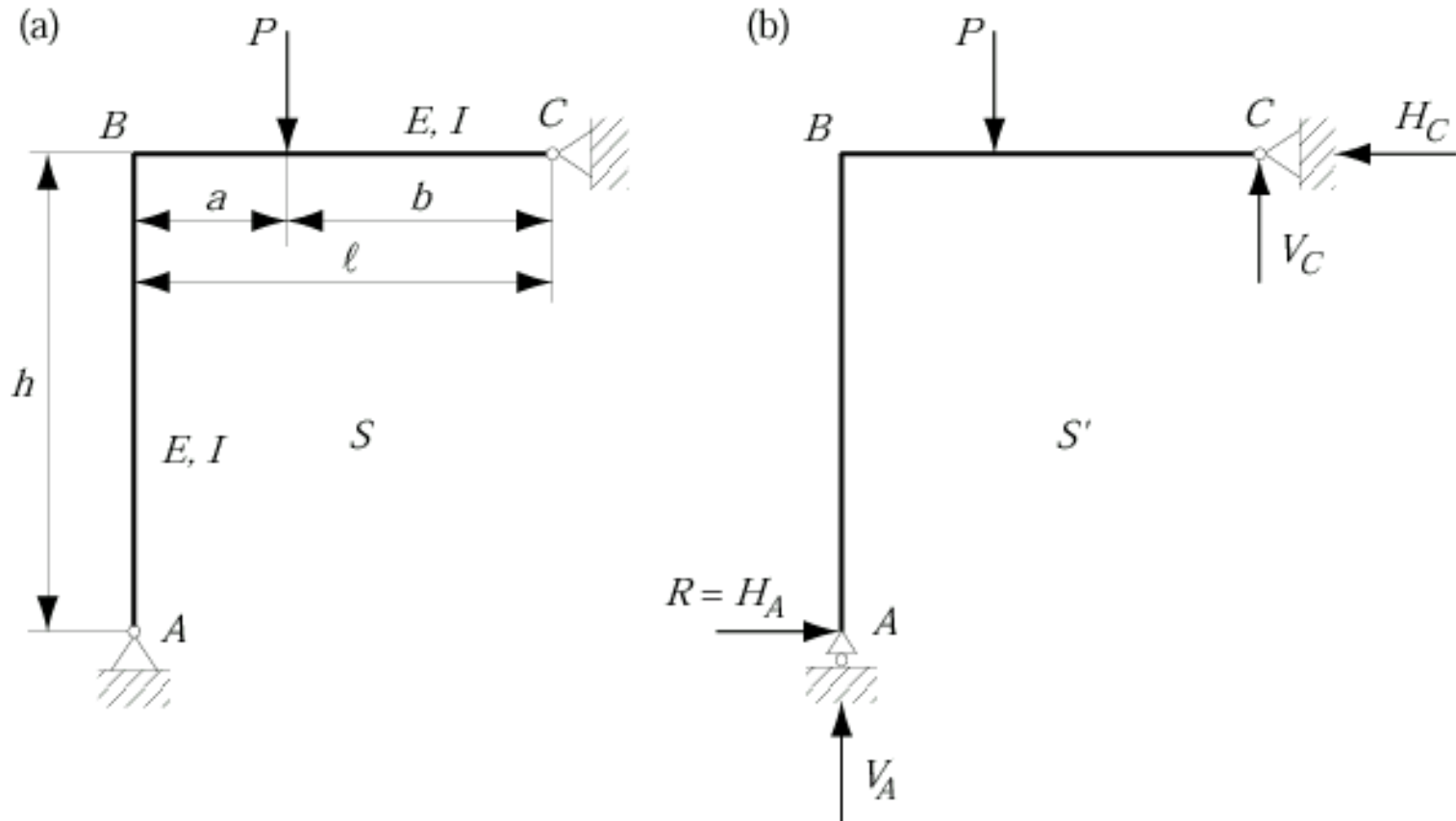
Effort tranchant



Moment de flexion



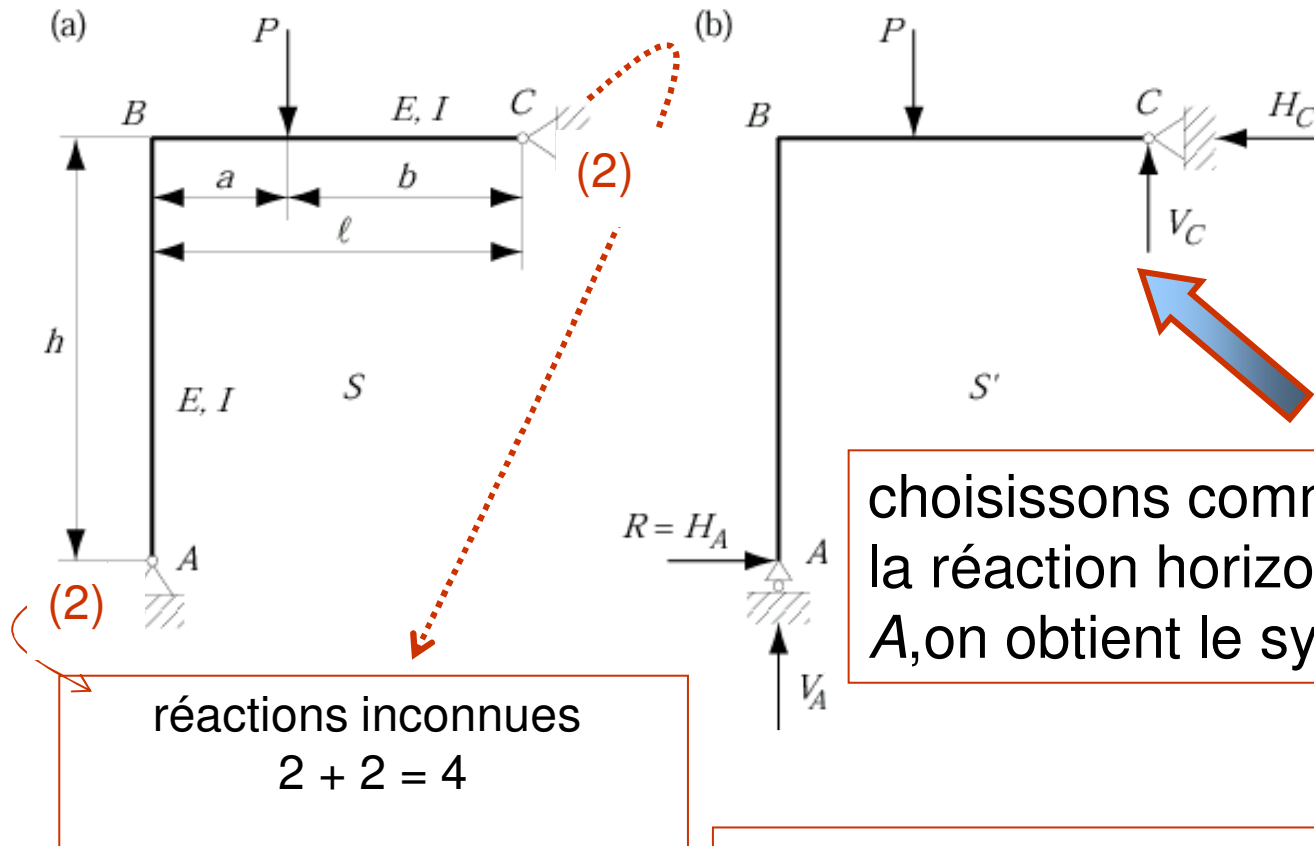
systèmes hyperstatiques - application



Calculer

1. Les réactions aux points A et C du système S
2. Déformation du système

Calculer les réactions aux points A et C du système S

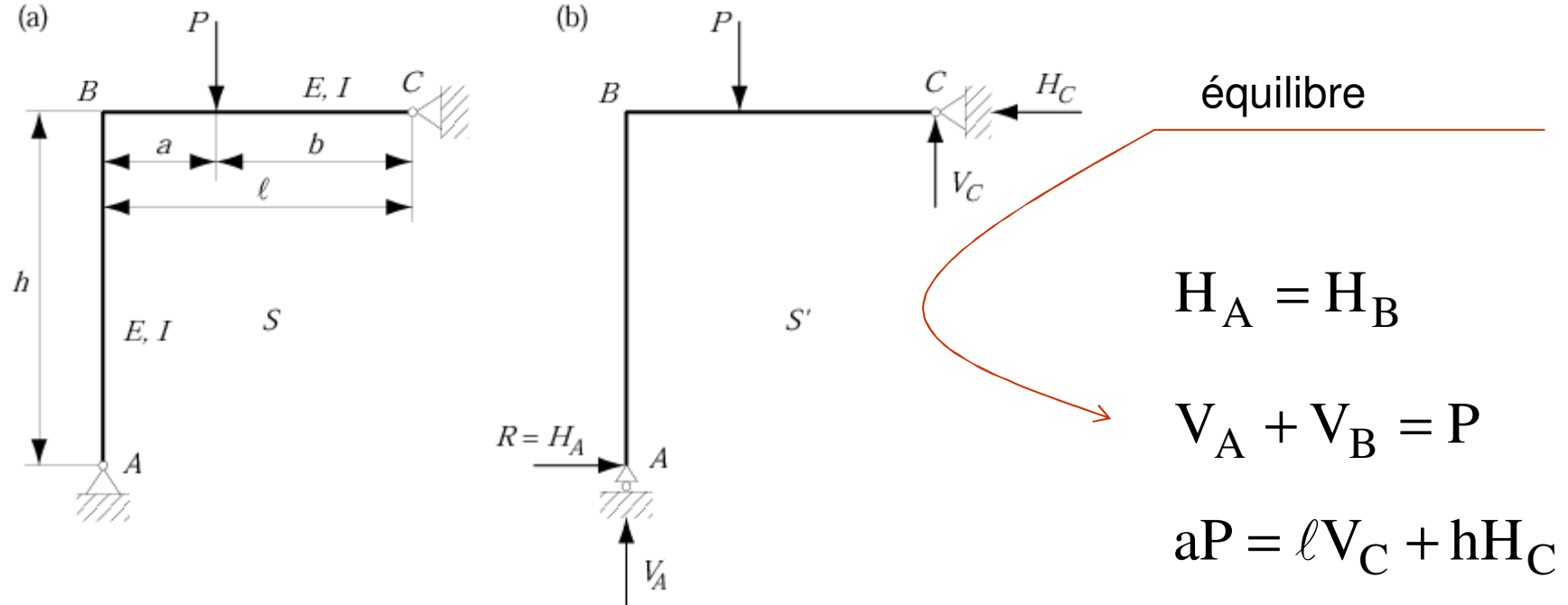


choisissons comme hyperstatique R la réaction horizontale H_A au point A, on obtient le système isostatique S'

le système S est hyperstatique extérieurement d'ordre
 $4 - 3 = 1$

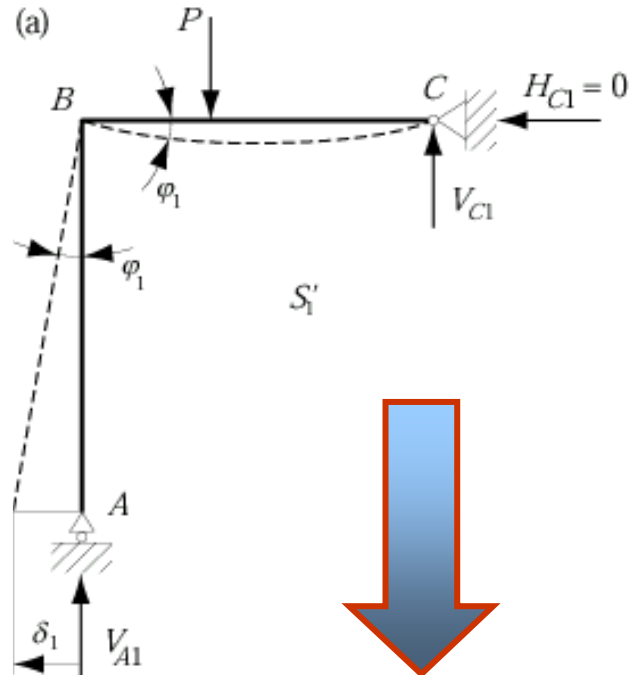
$$k = p - 3$$

Calculer les réactions aux points A et C du système S



La quatrième équation nécessaire pour déterminer les réactions est donnée par la condition que le déplacement horizontal d du point A est nul dans le système S' .

Déformation du système : deux étapes

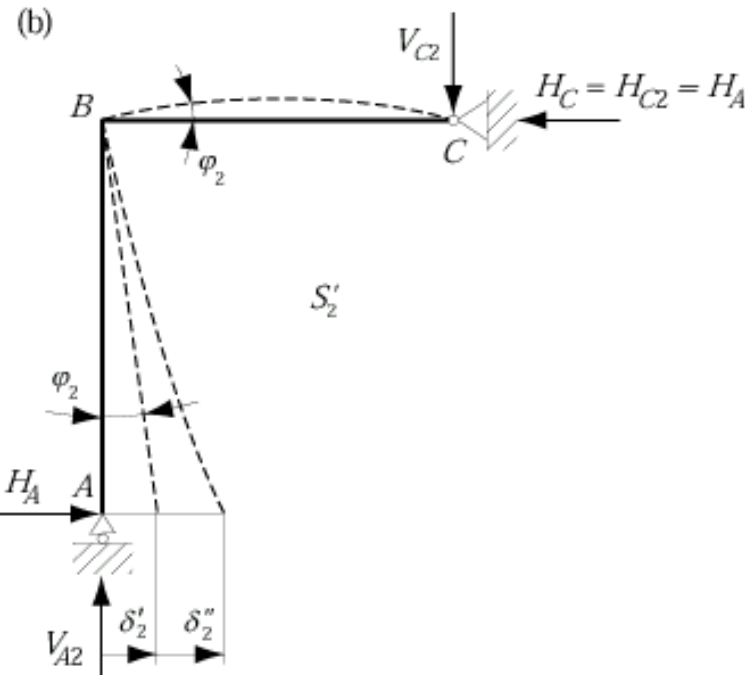


équilibre

$$V_{A1} = P \frac{b}{\ell}$$

$$V_{C1} = P \frac{a}{\ell}$$

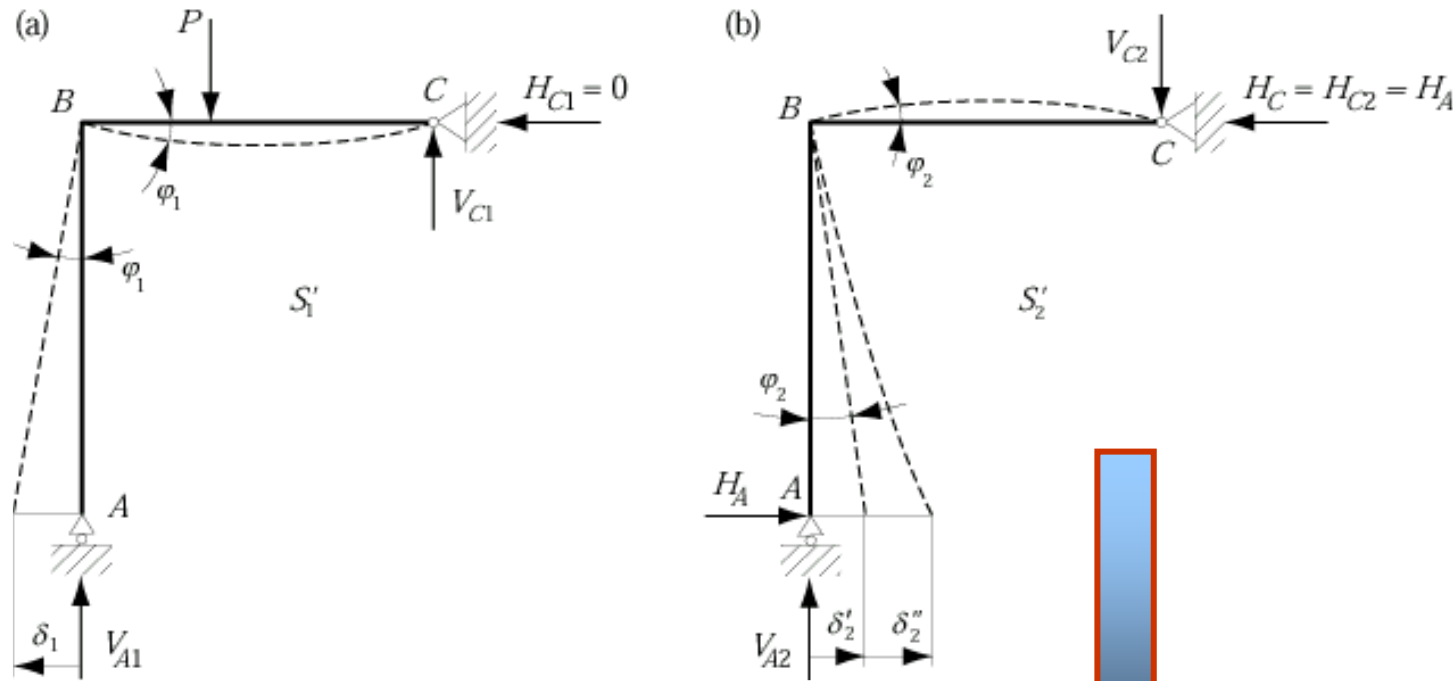
$$H_{C1} = 0$$



déplacement

$$\delta_1 = h\varphi_1 = h \frac{ab(\ell + b)}{6\ell EI} P$$

Déformation du système : deux étapes



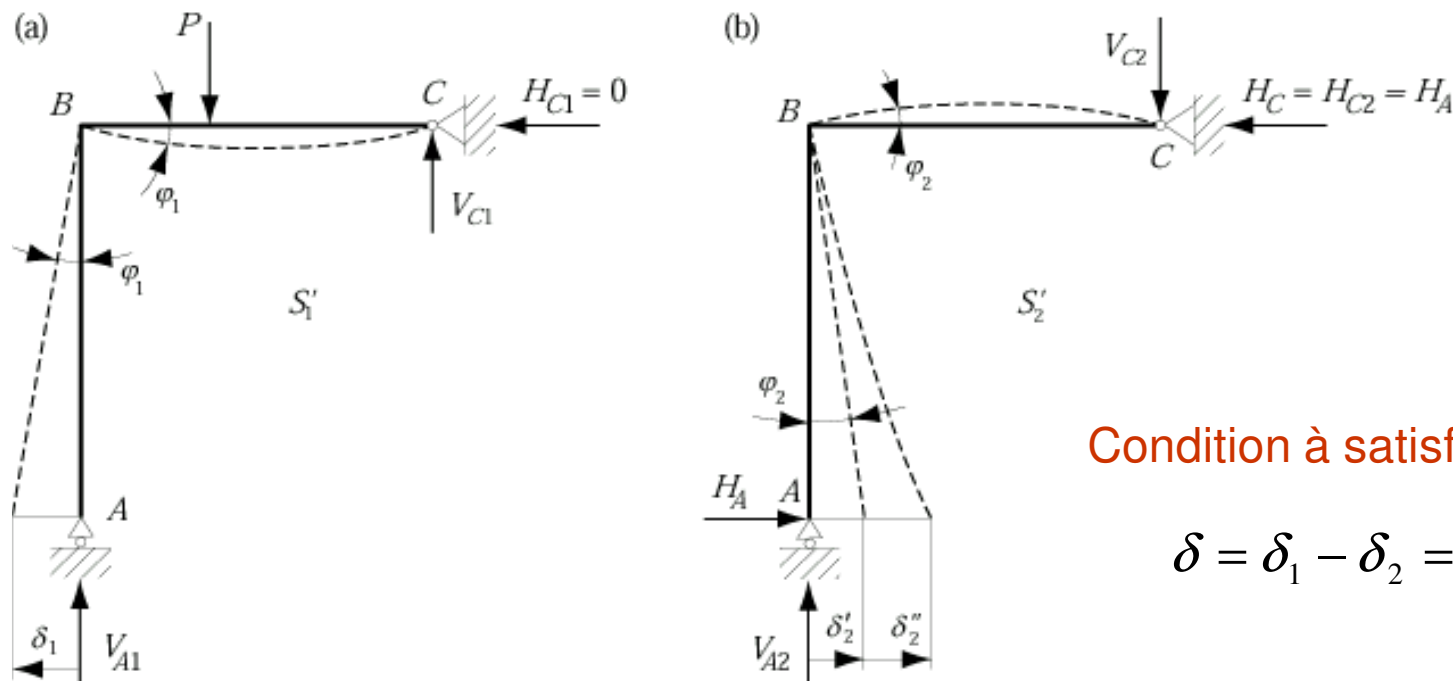
équilibre

$$\left\{ \begin{array}{l} V_{A2} = V_{C2} = H_A \frac{h}{\ell} \\ H_{C2} = H_C = H_A \end{array} \right.$$

déplacement

$$\delta_2 = \delta_2' + \delta_2'' = h\varphi_2 + \delta_2'' = \frac{h^2\ell}{3EI}H_A + \frac{h^3}{3EI}H_A = \frac{H_A h^2}{3EI}(\ell + h)$$

Déformation du système : compatibilité



Condition à satisfaire

$$\delta = \delta_1 - \delta_2 = 0$$

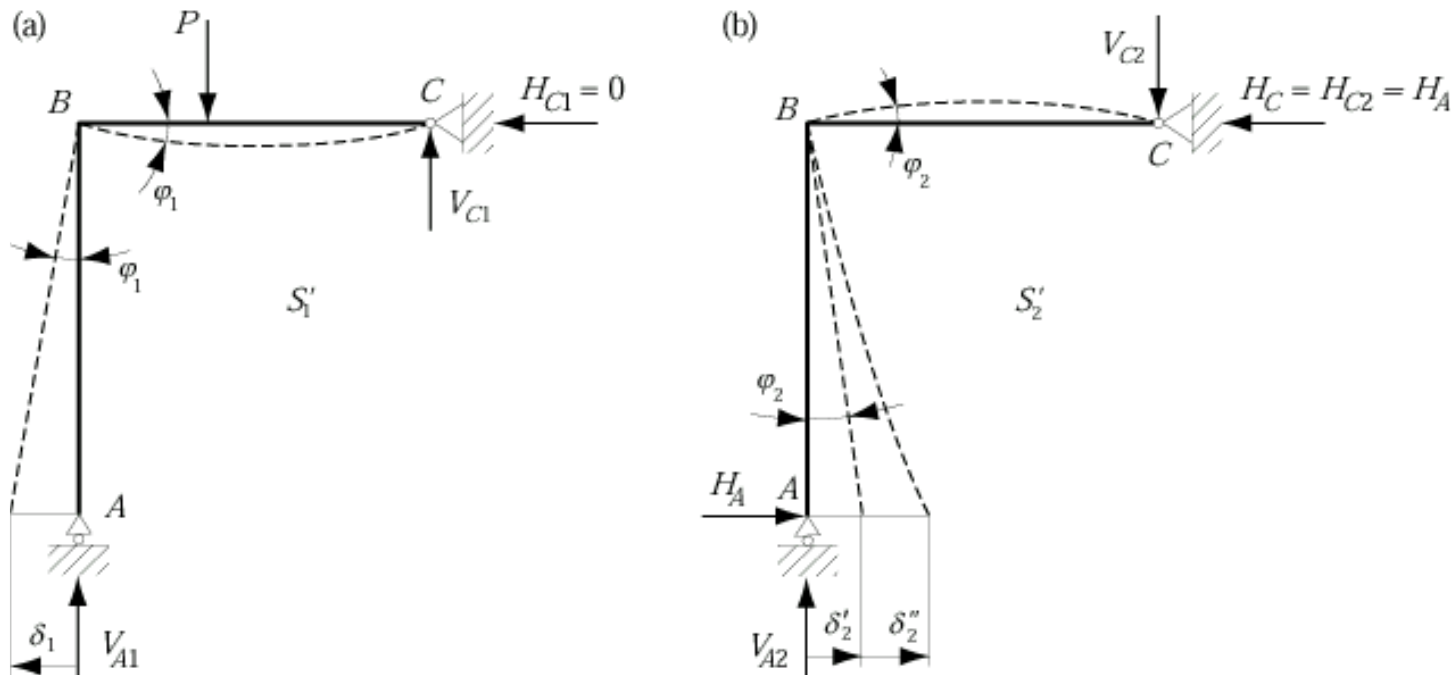
$$H_A = \frac{\alpha\beta(1+\beta)}{2\xi(1+\xi)} P$$

$$\delta_1 = h\varphi_1 = h \frac{ab(\ell+b)}{6EI} P$$

$$\delta_2 = \delta_2' + \delta_2'' = h\varphi_2 + \delta_2'' = \frac{h^2\ell}{3EI} H_A + \frac{h^3}{3EI} H_A = \frac{H_A h^2}{3EI} (\ell+h)$$

avec $\alpha = a/\ell$
 $\beta = b/\ell$
 $\xi = h/\ell$

Déformation du système : compatibilité



$$V_A + V_B = P$$

$$H_A = H_B$$

$$H_A = \frac{\alpha\beta(1+\beta)}{2\xi(1+\xi)} P$$

$$aP = \ell V_A + h H_C$$

$$H_A = H_B = \frac{\alpha\beta(1+\beta)}{2\xi(1+\xi)} P$$

$$V_C = P \frac{a}{\ell} - H_C \frac{h}{\ell} = \alpha \left(1 - \frac{\beta(1+\beta)}{2(1+\xi)} \right) P$$

$$V_A = P - V_C = \left((1-\alpha) + \frac{\alpha\beta(1+\beta)}{2(1+\xi)} \right) P$$

Chap. 2:

THÉORÈMES ÉNERGÉTIQUES

Théorèmes Énergétiques

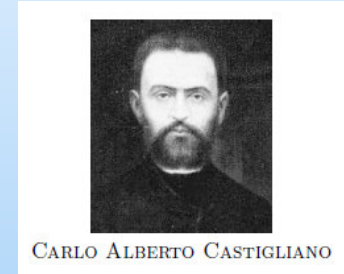
I. DÉFINITION

II. ÉNERGIE DE DÉFORMATION

III. THÉORÈMES ÉNERGÉTIQUES

- 1 *RÉCIPROCITÉ DES CHARGEMENTS*
- 2 *FORMULE DE MAXWELL - BETTI*
- 3 *THÉORÈME DE CASTIGLIANO*
- 4 *FORMULE DE MÉNABRÉA*

IV. APPLICATIONS



CARLO ALBERTO CASTIGLIANO

8/11/1847 – 25/10/1884



LUIGI FEDERICO MENABREA

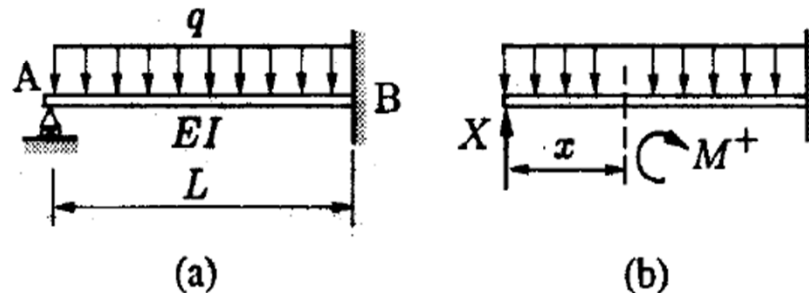
4/09/1809 – 25/05/1896

Théorèmes Énergétiques

Démarches

Intro aux systèmes hyperstatiques

■ illustration sur un système 1x hyperstatique



[Frey, 2000, Vol. 2]

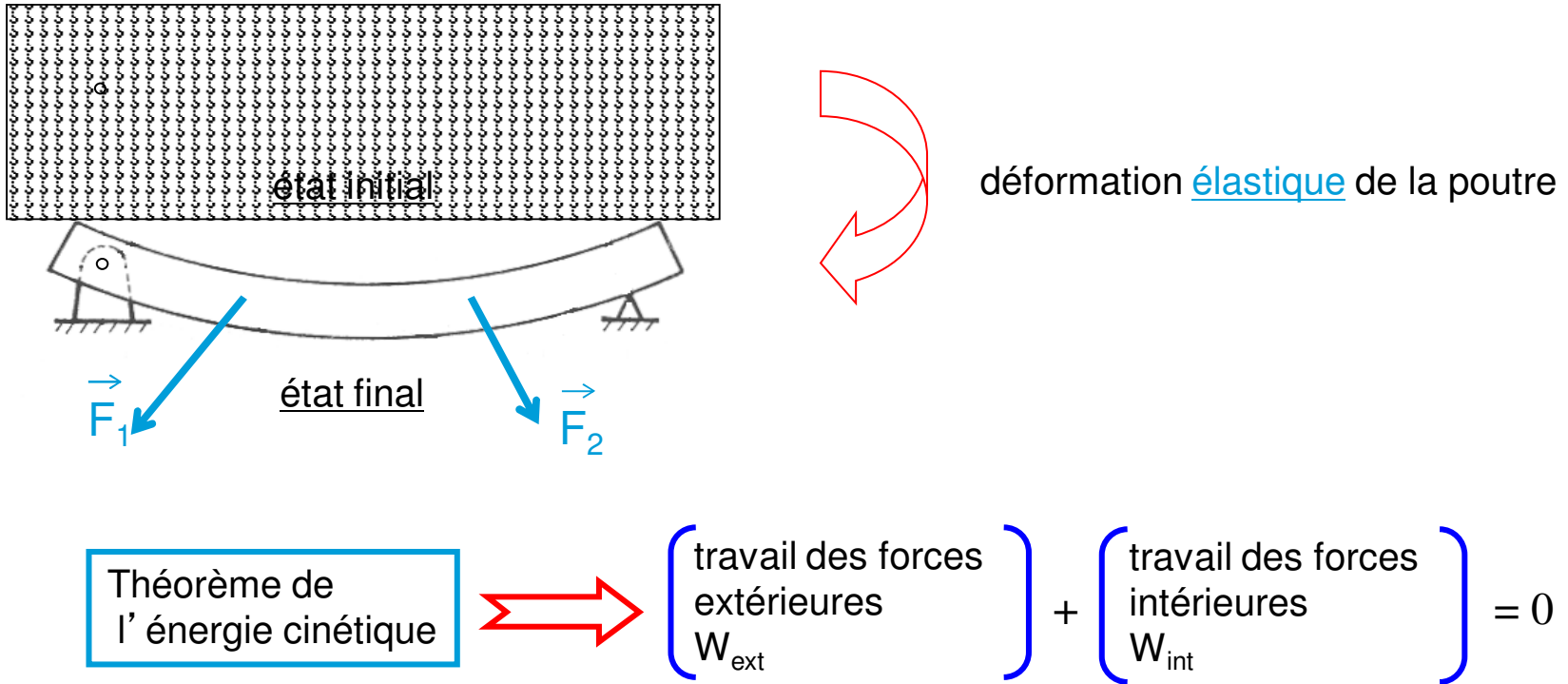
- (a) \equiv (b)
- (b) = superposition charge répartie + réaction

flèche due à q $\delta_A = \frac{L}{4EI} \frac{qL^3}{2}$

flèche due à X_A $\delta_A = -\frac{L}{3EI} X_A L^2$

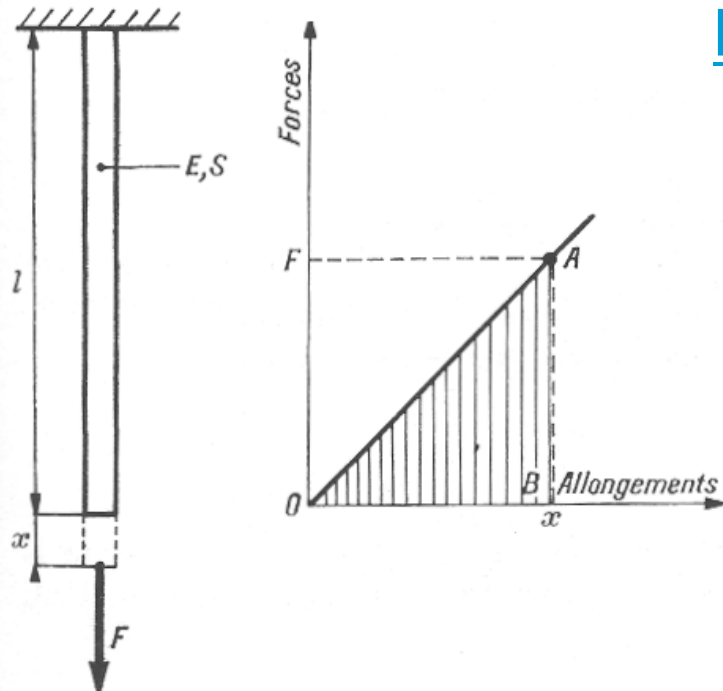
$$X_A = 3 \frac{qL}{8}$$

I. Définition



Énergie de déformation : $W_d = -W_{\text{int}} = W_{\text{ext}}$

App : cas d' une sollicitation de traction



Hypothèses :

- effort de traction variable
- proportionnalité entre l' effort et l' allongement

Aire du
triangle OAB

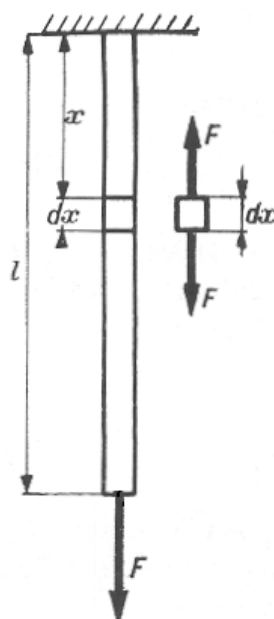


$$W_{ext} = \frac{1}{2} F \cdot x$$



Travail de
l' effort
de traction

- Équilibre d'un tronçon de longueur dx



Soit $\Delta(dx)$, allongement du tronçon dx

Loi de HOOKE

$$\Delta(dx) = \frac{Fdx}{ES}$$

Énergie de déformation élémentaire

$$dW_d = \frac{1}{2} F \times \Delta(dx)$$



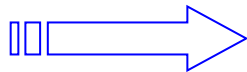
$$dW_d = \frac{1}{2} \cdot \frac{F^2}{ES} dx \quad \text{soit}$$

$$W_d = \frac{1}{2} \int_0^l \frac{F^2}{ES} dx$$

$$W_d = \frac{1}{2} \int_0^l \frac{F}{S} \cdot \frac{F}{ES} \cdot S dx$$

II. Énergie de déformation

D ' une manière générale



$$W_d = \frac{1}{2} \int_V \sigma_{ij} \varepsilon_{ij} dV = \frac{1}{2} \int_{struct} \sigma_{ij} \varepsilon_{ij} S dx$$

Effort normal : traction/compression

$$W_d = \frac{1}{2} \int_{struct} \frac{N^2}{ES} dx$$

Effort tranchant : T_y ou T_z

$$W_d = \frac{1}{2} \int_{struct} \frac{T_y^2}{\mu S} dx$$

Moment de torsion : M_x

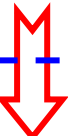
$$W_d = \frac{1}{2} \int_{struct} \frac{M_x^2}{\mu I_0} dx$$

Moment fléchissant : M_y ou M_z

$$W_d = \frac{1}{2} \int_{struct} \frac{M_z^2}{EI_z} dx$$

effort normal + effort tranchant + moment fléchissant + moment de torsion

$$W_d = \frac{1}{2E} \int \frac{N^2}{S} dx + \frac{1}{2\mu} \int \frac{T_y^2}{S} dx + \frac{1}{2E} \int \frac{M_z^2}{I_z} dx + \frac{1}{2\mu} \int \frac{M_x^2}{I_0} dx$$



L'énergie potentielle élastique est l'opposée du travail des efforts intérieurs.

Elle correspond en statique au travail des forces extérieures agissant sur la structure.

$$E_{def}(\text{structure}) = \int_{\text{ligne moyenne}} dE_{def}$$



Remarque : le caractère extensif de l'énergie de déformation associé à l'indépendance des sollicitations due au choix du centre de surface G et des directions principales permet d'additionner les contributions de chaque sollicitation.

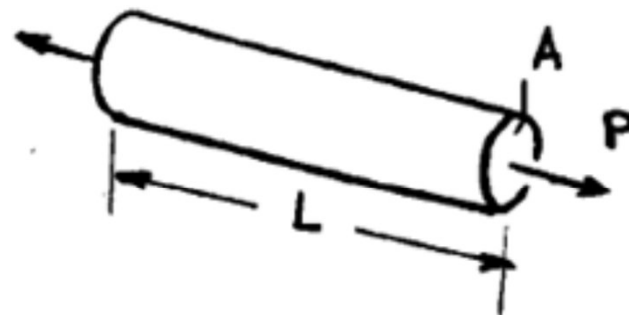
$$E_d(\text{structure}) = E_d(\text{traction}) + E_d(\text{cisaillage}) + E_d(\text{torsion}) + E_d(\text{flexion})$$

Cas pratiques

Barreau en traction

$$U = \int_V \frac{\sigma^2}{2E} dV = \int_0^L \frac{1}{2E} \left(\frac{P}{A} \right)^2 A dx$$

$$U = \int_0^L \frac{P^2}{2EA} dx$$



Si la section est constante $U = \frac{P^2 L}{2AE}$

Torsion d'un arbre circulaire

$$U = \int_V \frac{\tau^2}{2G} dV = \int_V \frac{(T r/J)^2}{2G} dV$$

$$U = \int_0^L \left[\frac{T^2}{2GJ^2} \int_A r^2 dA \right] dx = \int_0^L \frac{T^2}{2GJ} dx$$



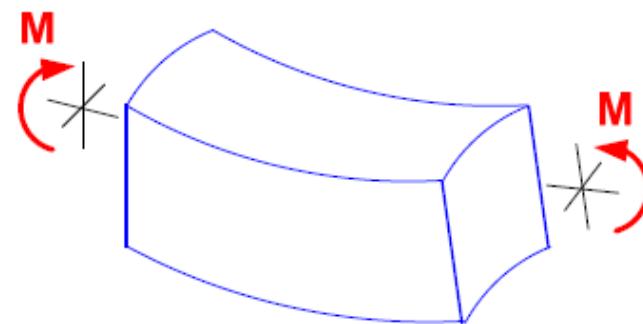
Si la section est constante $U = \frac{T^2 L}{2GJ}$

Cas pratiques (suite)

Flexion

$$U = \int_V \frac{\sigma^2}{2E} dV = \int_V \frac{(M y/I)^2}{2E} dV$$

$$U = \int_0^L \left[\frac{M^2}{2EI^2} \int_A y^2 dA \right] dx = \int_0^L \frac{M^2}{2EI} dx$$

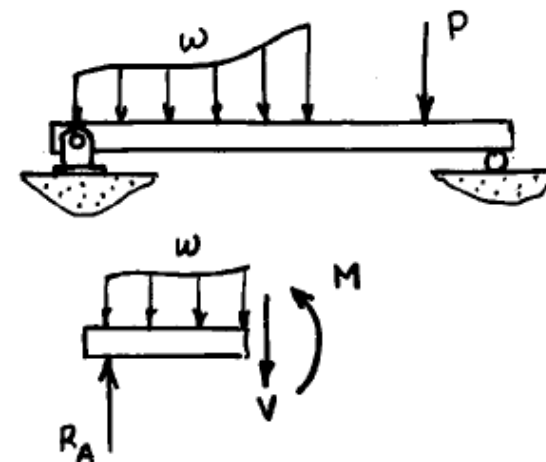


Effort tranchant

$$U = \int_V \frac{\tau^2}{2G} dV = \int_V \frac{(VQ/It)^2}{2G} dV$$

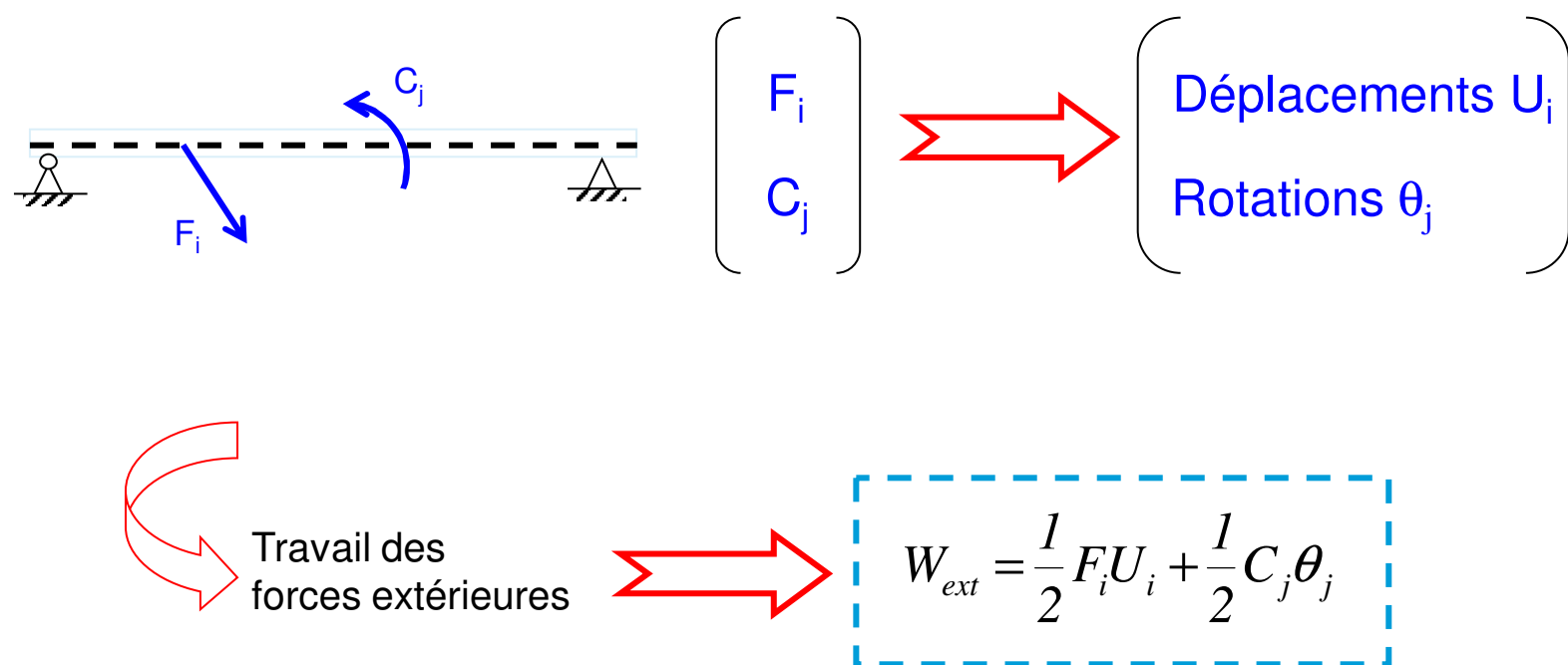
$$U = \int_0^L \left[\frac{V^2}{2GI^2} \left(\int_A \frac{Q^2}{t^2} dA \right) \right] dx = \int_0^L \frac{fV^2}{2GA} dx$$

$$f = \frac{A}{I^2} \int_A \frac{Q^2}{t^2} dA \quad \text{est appelé facteur de forme}$$

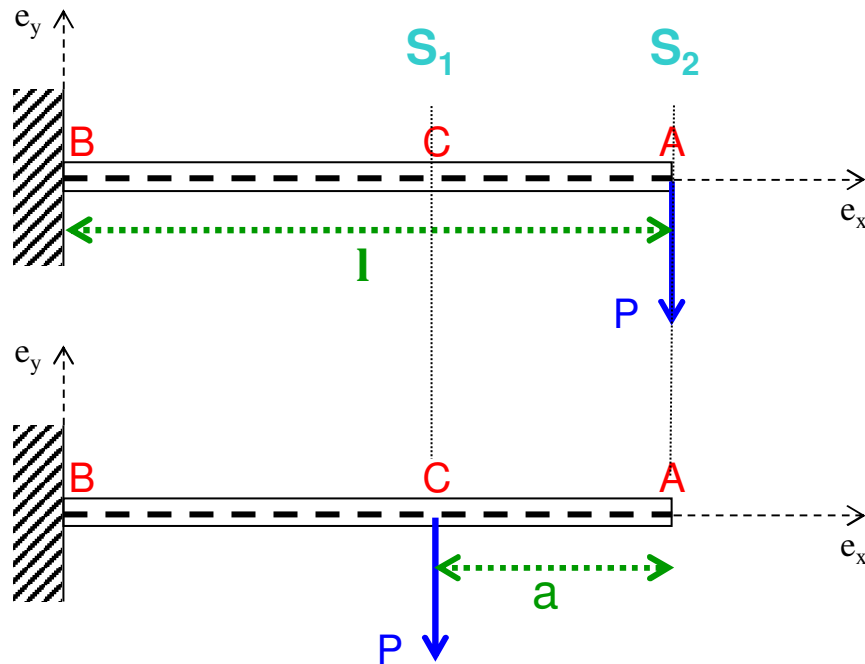


III. Théorèmes énergétiques

1. Théorème de Clapeyron



2. Théorème de réciprocité de Maxwell - Betti



$$y_C = \frac{P}{6EI} (2l + a)(l - a)^2$$

↔

$$y_A = \frac{P}{6EI} (2l + a)(l - a)^2$$

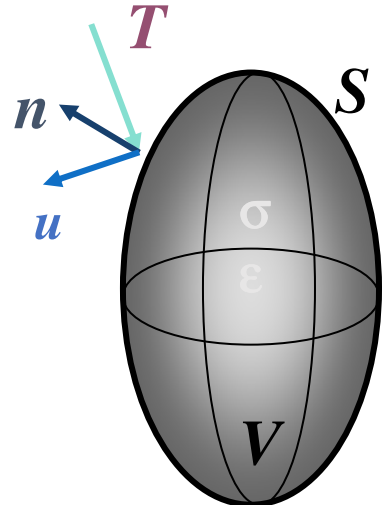
Flèche dans la
section S_1
due à la charge P
en S_2

=

Flèche dans la
section S_2
due à la charge P
en S_1

2. Théorème de réciprocité de Maxwell - Betti

Statique et Forces de Volume négligeables $\vec{\gamma} = 0$ et $\vec{X} = 0$



$$W = \frac{1}{2} \int \text{Tr}(\bar{\sigma} \bar{\epsilon}) dV = \frac{1}{2} \int \vec{T} \cdot \vec{u} dS$$

$$\bar{\epsilon} = \frac{\partial W}{\partial \bar{\sigma}} \quad \Rightarrow \quad \vec{u} = \frac{\partial W}{\partial \vec{T}}$$

$$\bar{\sigma} = \frac{\partial W}{\partial \bar{\epsilon}} \quad \Rightarrow \quad \vec{T} = \frac{\partial W}{\partial \vec{u}}$$

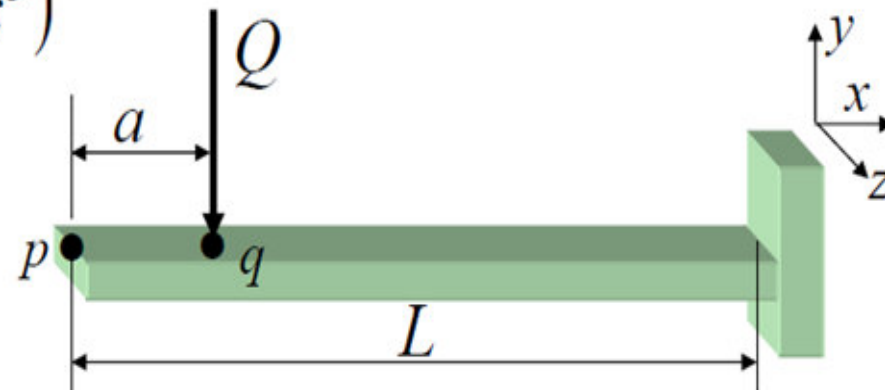
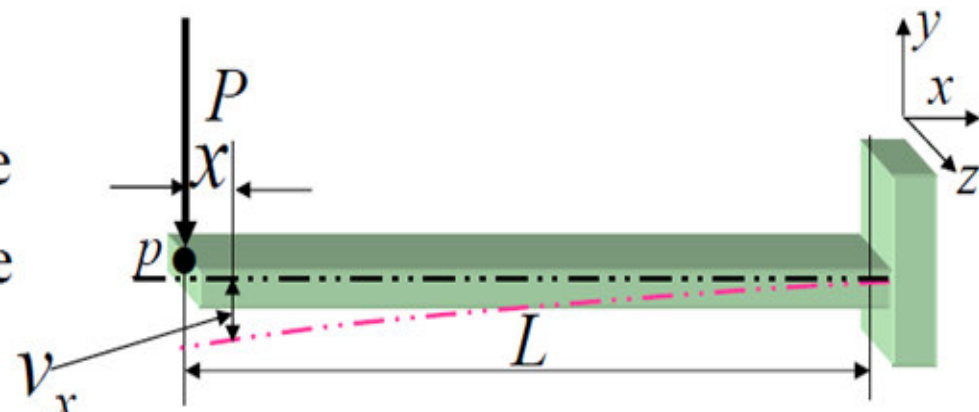
Réciprocité $\vec{T}_1 \cdot \vec{u}_2 = \vec{T}_2 \cdot \vec{u}_1$

App1: application de Maxwell - Betti

L 'expression v_x de la déformée de cette poutre lorsqu'une force P agit à une distance L de l 'encastrement est :

$$v_x = \frac{-P}{6 \cdot E \cdot I} (2 \cdot L^3 - 3 \cdot L^2 \cdot x + x^3)$$

On demande de trouver l 'expression du déplacement du point p lorsqu'une force Q agit en q



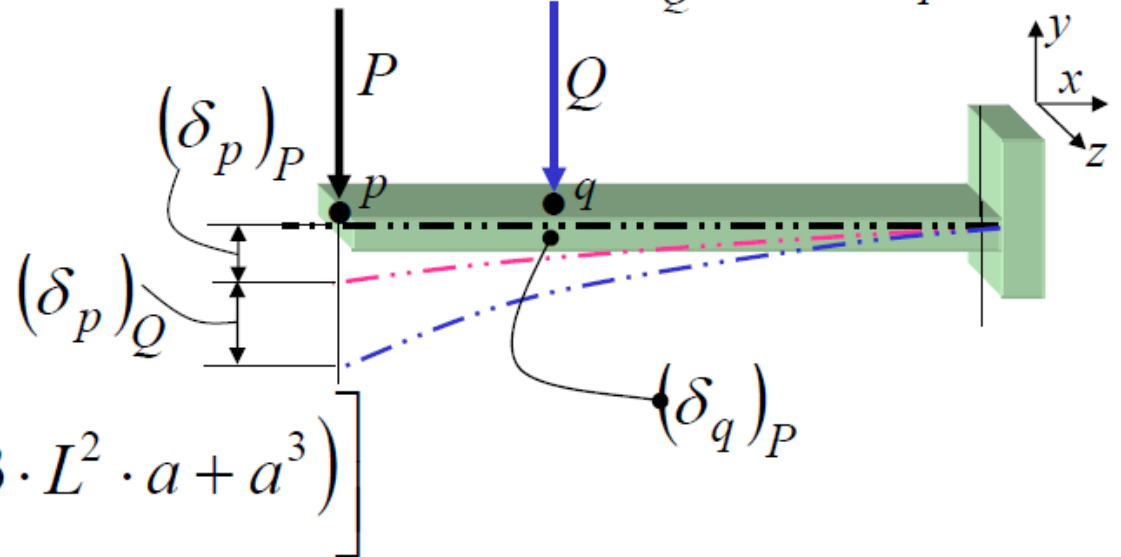
Solution :

On connaît $(\delta_p)_P$ et $(\delta_q)_P$; on cherche $(\delta_p)_Q$

Du théorème de *Maxwell-Betti*, on peut écrire : $P(\delta_p)_Q = Q(\delta_q)_P$

$$\text{D'où : } (\delta_p)_Q = \frac{Q}{P} (\delta_q)_P$$

à $x=a$ $v_x = (\delta_q)_P$, et :



$$(\delta_p)_Q = \frac{Q}{P} \left[\frac{-P}{6 \cdot E \cdot I} (2 \cdot L^3 - 3 \cdot L^2 \cdot a + a^3) \right]$$

$$(\delta_p)_Q = \frac{-Q}{6 \cdot E \cdot I} (2 \cdot L^3 - 3 \cdot L^2 \cdot a + a^3)$$

et

App2: application de Maxwell - Betti

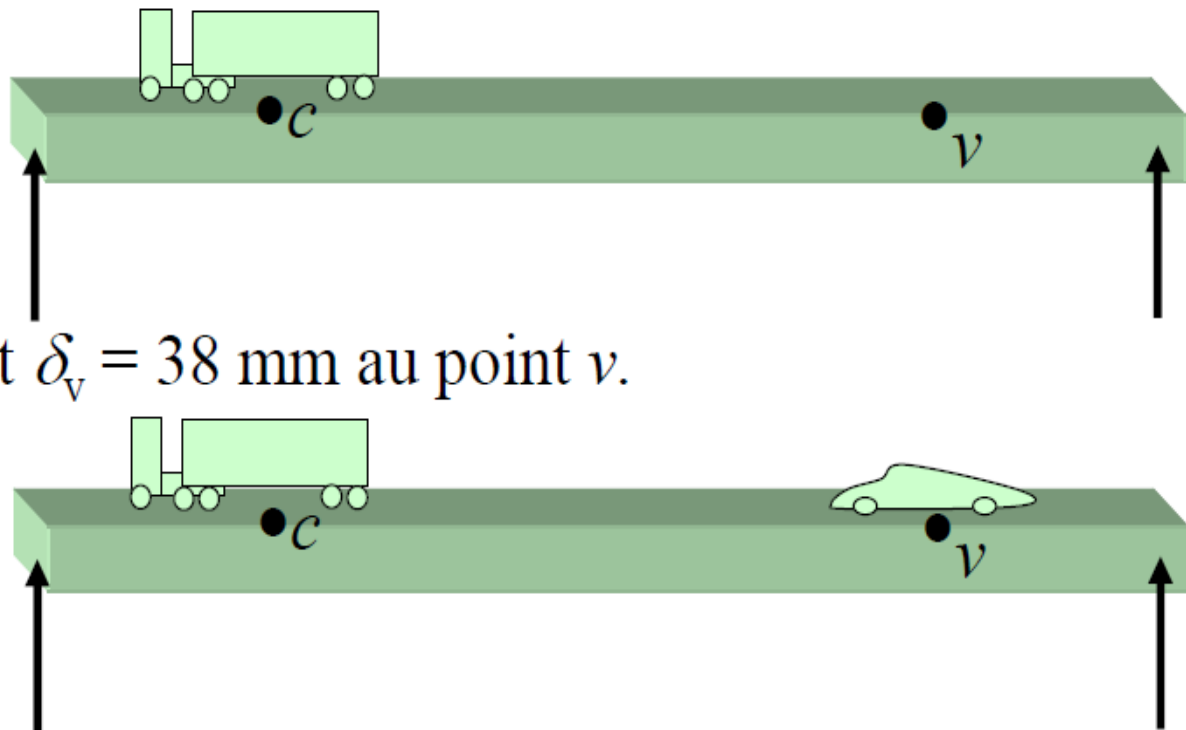
Un camion stationné
en un point c d 'un pont
cause une flèche

de $\delta_c = 52\text{mm}$ au point c et $\delta_v = 38 \text{ mm}$ au point v .

Par la suite, une voiture
de 1000kg s 'amène
au point v du pont.

On mesure les flèches à nouveau et on trouve $\delta_c = 53\text{mm}$ et $\delta_v = 40 \text{ mm}$.

On demande quelle est la masse du camion?



Solution :

Du théorème de *Maxwell-Betti*, on peut écrire si C est la masse du camion et V est celle de la voiture :

$$C(\delta_c)_V = V(\delta_v)_C$$

On connaît :

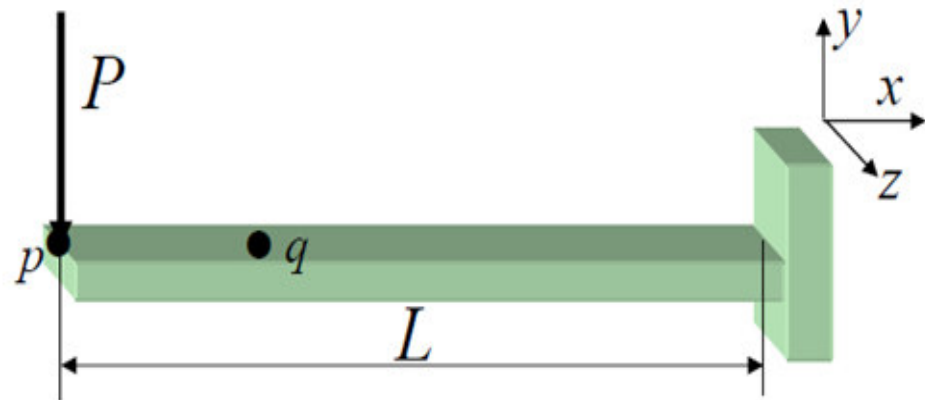
$$(\delta_c)_C = 52\text{mm} \quad ; \quad (\delta_v)_C = 38\text{mm}$$

$$(\delta_c)_C + (\delta_c)_V = 53\text{mm} \quad ; \quad (\delta_v)_C + (\delta_v)_V = 40\text{mm}$$

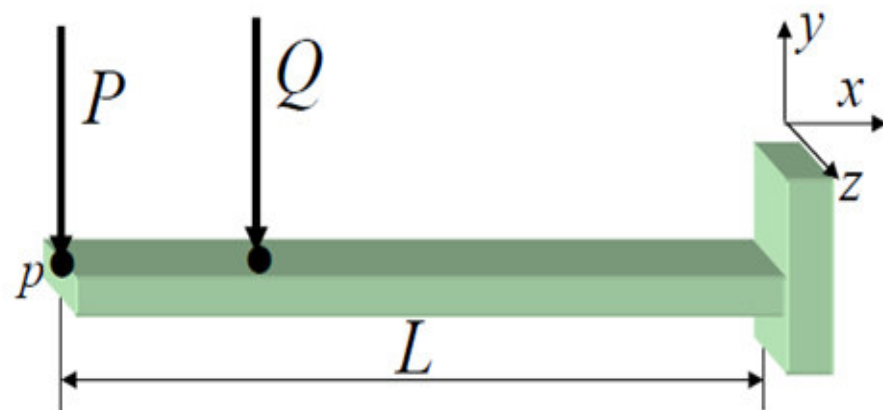
$$C = V \frac{(\delta_v)_C}{(\delta_c)_V} = 1000 \cdot \frac{38}{53 - 52} = 38000\text{kg}$$

App3: application de Maxwell - Betti

Sur la poutre suivante, lorsque $P = 10\text{kN}$ on mesure le déplacement au point p , $(\delta_p)_P = 12\text{mm}$ et le déplacement au point q , $(\delta_q)_P = 9\text{mm}$.



Si, par la suite, on ajoute une force $Q = 5\text{kN}$ en q , sans rien mesurer à nouveau. On demande de trouver $(\delta_p)_{\text{total}}$



Solution :

$$(\delta_p)_{total} = (\delta_p)_P + (\delta_p)_Q \quad \text{où } (\delta_p)_P = 12\text{mm}$$

$$(\delta_p)_Q = ?$$

De *Maxwell-Betti*:

$$P(\delta_p)_Q = Q(\delta_q)_P \quad \text{où } (\delta_q)_P = 9\text{mm}$$

$$P = 10\text{kN} \text{ et } Q = 5\text{kN}$$

$$(\delta_p)_Q = \frac{Q}{P}(\delta_q)_P = \frac{5}{10} \cdot 9 = 4,5 \text{ mm}$$

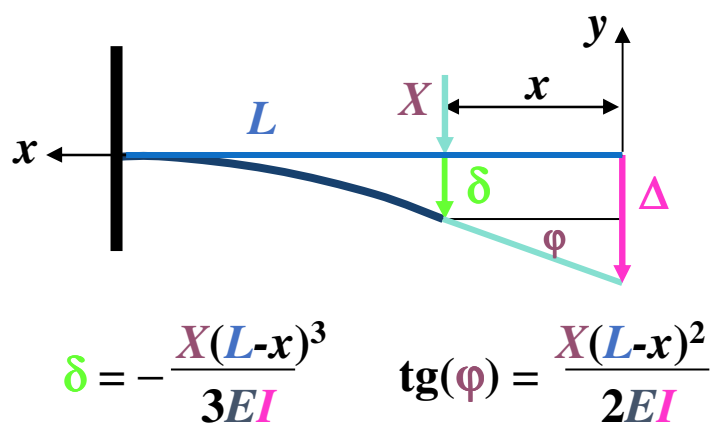
et

$$(\delta_p)_{total} = 12 + 4,5 = 16,5 \text{ mm}$$

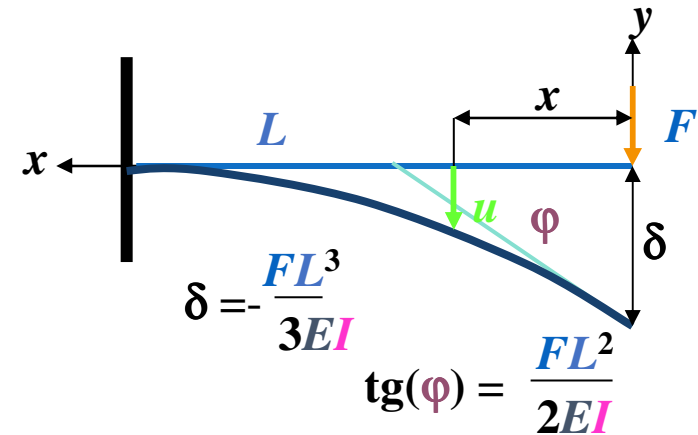
App4: application de Maxwell - Betti



Poutre Console



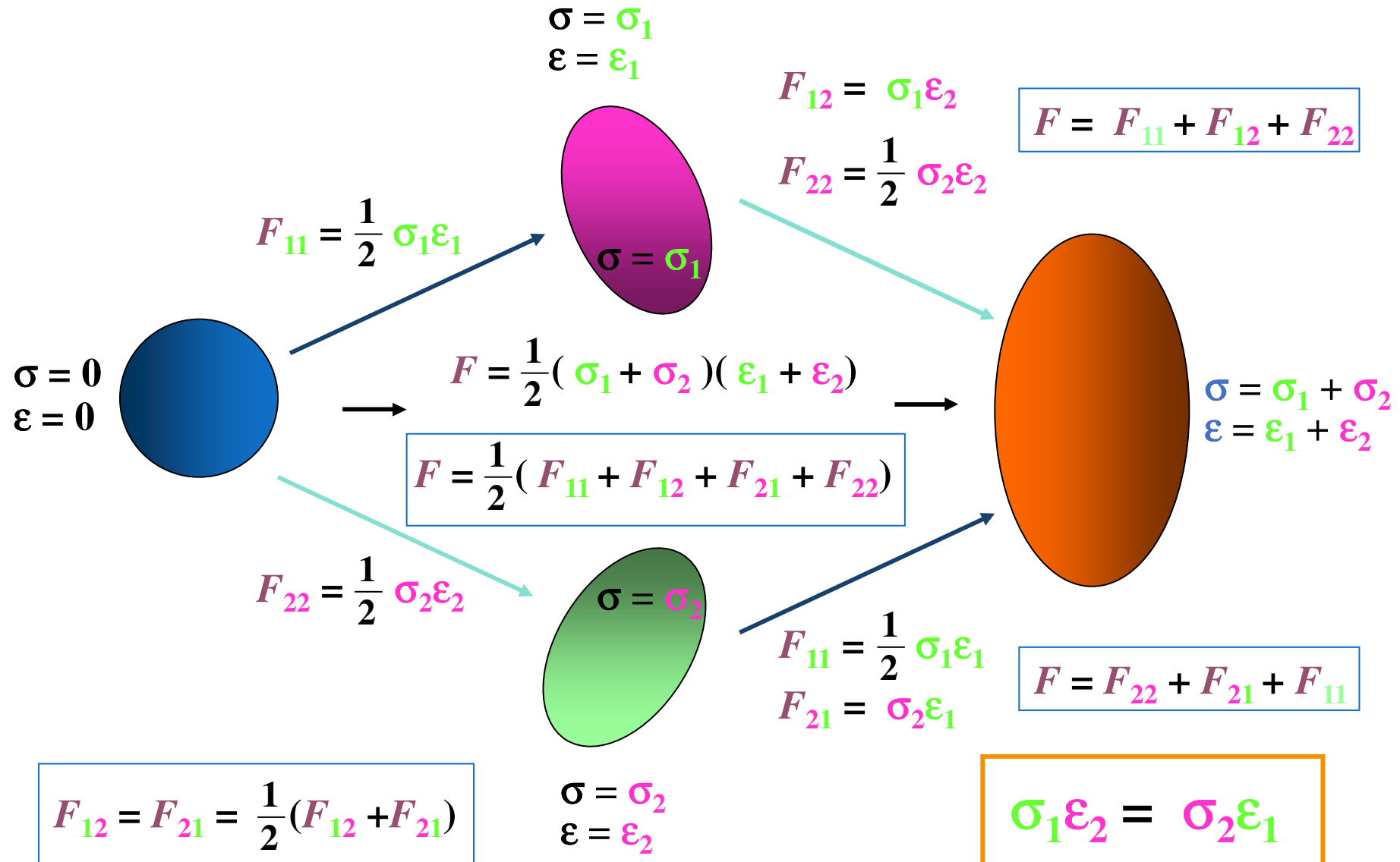
$$Xu = F\Delta$$



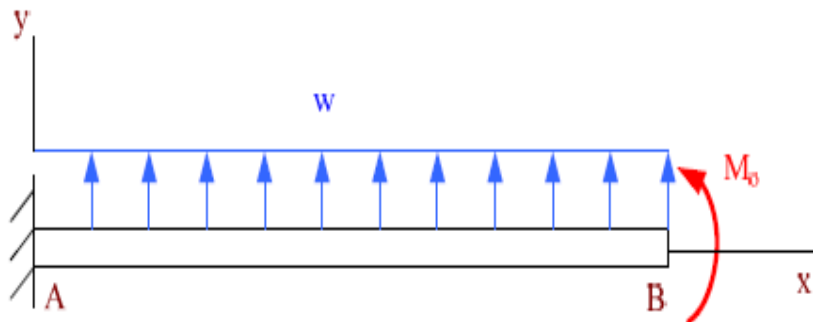
$$\Delta = \delta - \operatorname{tg}(\varphi)x = \frac{X}{6EI}(-x^3 + 3Lx^2 - 2L^3)$$

$$u = \frac{F\Delta}{X} = \frac{F}{6EI}(-x^3 + 3Lx^2 - 2L^3)$$

2. Réciprocité des Chargements



Exemple sur le théorème de réciprocité



Connaissant la flèche due à M_o trouvez la rotation au point B due à w

$$v_{M_o} = \frac{M_o x^2}{2EI}$$

Travail fourni par une force élémentaire wdx
lorsque le moment M_o est appliqué

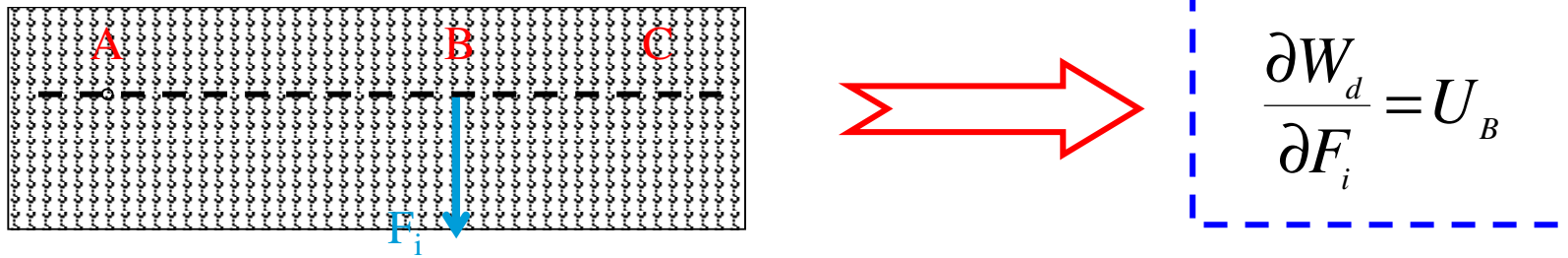
$$du = v_{M_o} (wdx)$$

En appliquant le théorème de réciprocité

$$M_o \theta_{Bw} = \int_0^L v_{M_o} (wdx) = \int_0^L \frac{M_o x^2}{2EI} wdx = \frac{M_o w L^3}{6EI} \quad \rightarrow \quad \theta_{Bw} = \frac{w L^3}{6EI}$$

3. Théorème de Castigiano

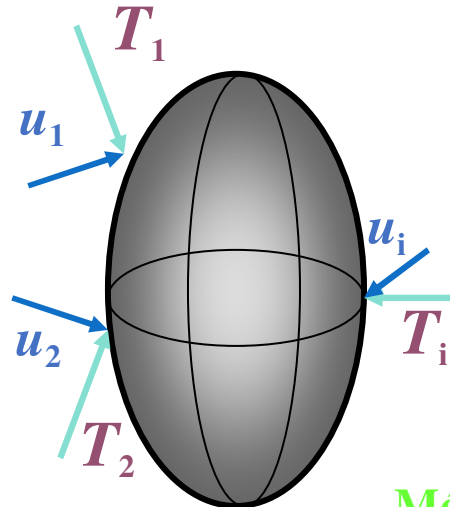
Théorème : le déplacement du point d'application d'une force dans sa direction (ou la rotation d'un couple) est égale à la dérivée partielle de l'énergie de déformation par rapport à cette force (ou à ce couple) :



Le théorème de Castigiano permet de calculer directement un déplacement seulement lorsque sa direction est connue. Dans un cas général, il donne seulement la projection du vecteur déplacement sur la droite d'action de l'effort F appliquée au point A .

3 .Théorème de Castigliano

Statique et Forces de Volume négligeables $\vec{g} = 0$ et $\vec{X} = 0$



$$W(\vec{T}_1, \vec{T}_2, \dots, \vec{T}_i, \dots) = \frac{1}{2} S_i \vec{T}_i \vec{u}_i \quad \vec{u}_i = \frac{\partial W}{\partial \vec{T}_i}$$

Méthode des charges fictives

$$\vec{u}_k(\vec{T}_i) = \left. \frac{\partial W(\vec{T}_1, \dots, \vec{T}_j, \dots, \vec{T}_i, \dots)}{\partial \vec{T}_k} \right|_{\vec{T}_j = 0 \forall j \neq i}$$

Déplacement \vec{u}_k de la charge fictive \vec{T}_k sous l'action de la **seule** force réelle \vec{T}_i

Exemple sur le théorème de Castigliano

Déterminer la flèche au point B

En ajoutant une force P au point B et en appliquant Castigliano

$$R = wL + P$$

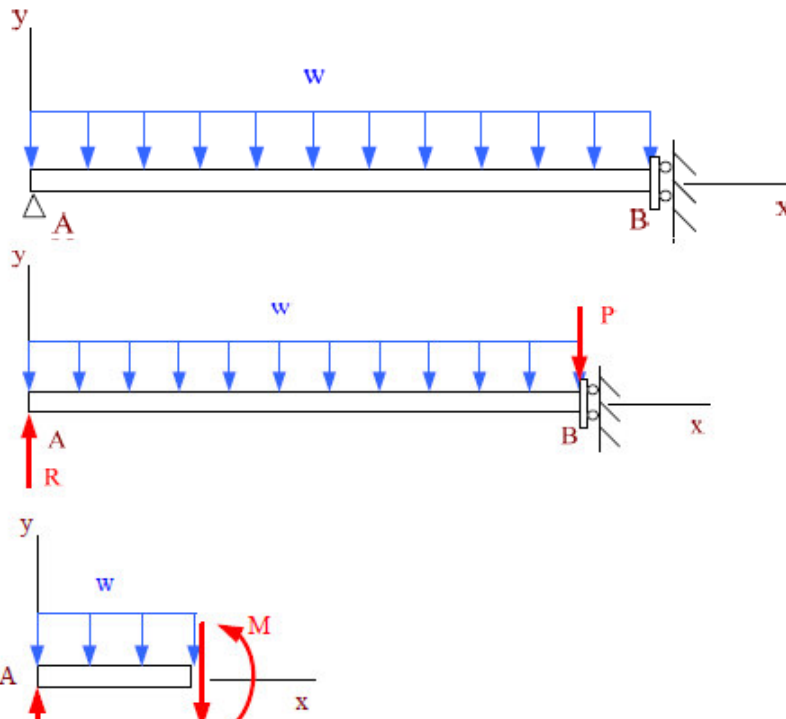
$$M = Rx - \frac{wx^2}{2} = (wL + P)x - \frac{wx^2}{2}$$

$$v_B = \frac{\partial U}{\partial P} = \frac{\partial}{\partial P} \int_0^L \frac{M^2}{2EI} dx = \int_0^L \frac{M}{EI} \frac{\partial M}{\partial P} dx = \frac{1}{EI} \int_0^L \left[(wL + P)x^2 - \frac{wx^3}{2} \right] dx$$

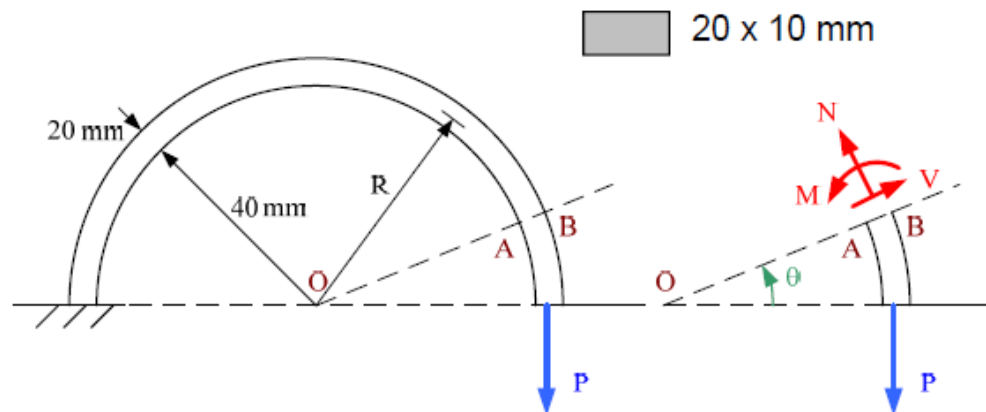
$$v_B = \frac{\partial U}{\partial P} = \frac{1}{EI} \left[(wL + P) \frac{L^3}{3} - \frac{wL^4}{8} \right]$$

En mettant $P=0$

$$\left\{ \begin{array}{l} v_B = \frac{5wL^4}{24EI} \end{array} \right.$$



Exemple sur le théorème de Castigliano



DCL et équilibre

$$N = P \cos \theta$$

$$V = P \sin \theta$$

$$M = PR(1 - \cos \theta)$$

Déterminer le déplacement vertical au point d'application de la charge $P=5 \text{ kN}$

En appliquant Castigliano

$$\nu_B = \frac{\partial U}{\partial P} = \frac{\partial}{\partial P} \int_0^L \frac{M^2}{2EI} dx + \frac{\partial}{\partial P} \int_0^L \frac{N^2}{2EA} dx + \frac{\partial}{\partial P} \int_0^L \frac{fV^2}{2GA} dx$$

$$\nu_B = \frac{\partial U}{\partial P} = \int_0^L \frac{M}{EI} \frac{\partial M}{\partial P} dx + \int_0^L \frac{N}{EA} \frac{\partial N}{\partial P} dx + \int_0^L \frac{fV}{GA} \frac{\partial V}{\partial P} dx \quad \left(\text{avec } f = \frac{6}{5} \right)$$

En remplaçant dx par $Rd\theta$

$$\nu_B = \frac{\partial U}{\partial P} = \frac{PR^3}{EI} \int_0^\pi (1 - \cos \theta)^2 d\theta + \frac{PR}{EA} \int_0^\pi \sin^2 \theta d\theta + \frac{6PR}{5GA} \int_0^\pi \cos^2 \theta d\theta$$

$$\nu_B = \frac{3\pi PR^3}{2EI} + \frac{\pi PR}{2EA} + \frac{3\pi PR}{5GA} \rightarrow \left\{ \begin{array}{l} \text{Pour l'acier } E=210 \text{ GPa, } \nu=0.3 \\ I=6667 \text{ mm}^4, A=200 \text{ mm}^2 \end{array} \right\} \begin{array}{l} \nu_B=2,25 \text{ mm} \\ \nu_B=2,21 \text{ mm sans } V \end{array}$$

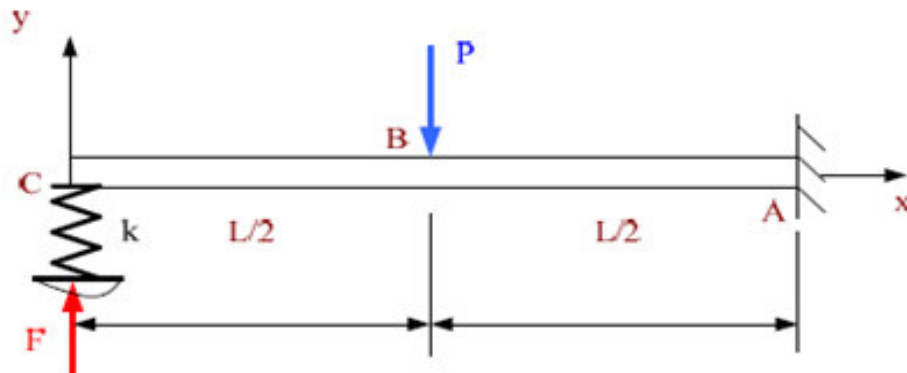
Structures Hyperstatique (Théorème de Castigliano)

On peut appliquer le théorème de Castigliano aux structures hyperstatiques telles que

$$\frac{\partial U}{\partial P_i} = \delta_i (= 0)$$

Et par analogie

$$\frac{\partial U}{\partial M_i} = \theta_i (= 0)$$



Déterminer la force dans le ressort

DCL et équilibre

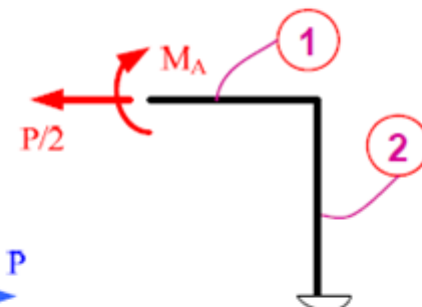
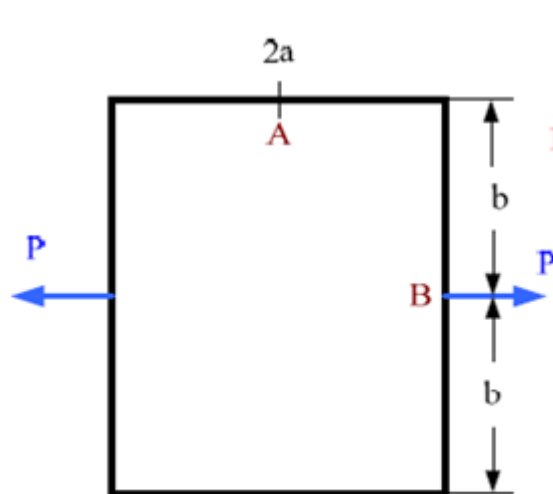
$$\begin{cases} M_1 = Fx & 0 \leq x \leq L/2 \\ M_2 = Fx - P(x - L/2) & L/2 \leq x \leq L \end{cases}$$

$$v_c = \frac{\partial U}{\partial F} = \int_0^L \frac{M}{EI} \frac{\partial M}{\partial F} dx = \frac{1}{EI} \int_0^{L/2} (Fx)x dx + \frac{1}{EI} \int_{L/2}^L (Fx - P(x - L/2))x dx = -\frac{F}{k} \quad \left. \right\}$$

→ $F = \frac{5P}{16(1 + 3EI/kL^3)}$

Structures Hyperstatique (Théorème de Castigliano)

Déterminer le déplacement horizontal au point B



DCL et équilibre

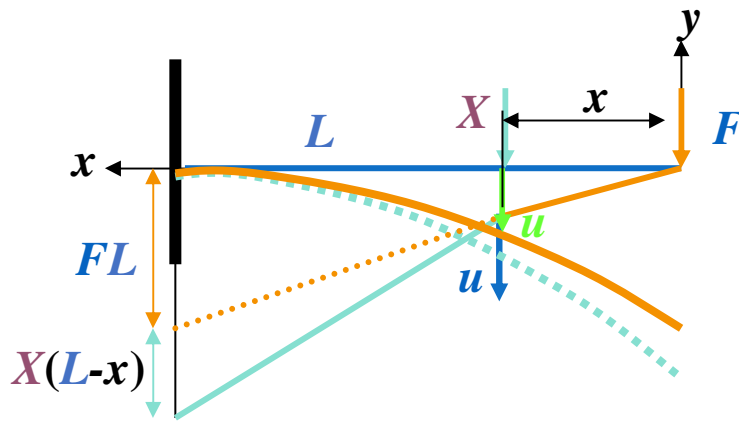
$$\left\{ \begin{array}{ll} M_1 = -M_A & 0 \leq x \leq a \\ M_2 = -M_A + Px/2 & 0 \leq x \leq b \end{array} \right.$$

$$\theta_A = \frac{\partial U}{\partial M_A} = \int_0^L \frac{M}{EI} \frac{\partial M}{\partial M_A} dx = \frac{1}{EI} \int_0^a M_A dx + \frac{1}{EI} \int_0^b (M_A - Px/2) dx$$

$$\theta_A = 0 \quad \rightarrow \quad M_A = Pb^2/4(a+b)$$

$$\delta_A = \frac{\partial U}{\partial P/2} = \int_0^L \frac{M}{EI} \frac{\partial M}{\partial P/2} dx = \frac{1}{EI} \int_0^b (M_A - Px/2) x dx \quad \rightarrow \quad \delta_A = Pb^3(4a+b)/12EI(a+b)$$

App : Poutre Console



$$W = \frac{1}{2} \int \frac{M^2}{EI} dx = \frac{1}{2EI} \int_0^x F^2 x^2 dx + \frac{1}{2EI} \int_x^L (Fx + X(L-x))^2 dx$$

$$u = \frac{1}{2EI} \frac{\partial W}{\partial X} \Big|_{X=0} = \frac{-2}{EI} \int_x^L (Fx + X(L-x))(L-x) dx$$

$$u = \frac{1}{2EI} \frac{\partial W}{\partial X} \Big|_{X=0} = \frac{F}{6EI} (-x^3 + 3Lx^2 - 2L^3)$$

4. Théorème de Menabrea

Théorème : la dérivée partielle de l' énergie de déformation par rapport à chacune des inconnues surabondantes est nulle, à condition que les points d' application des forces ne bougent pas ($U_i = 0$) ou que les sections ne tournent pas ($q_i = 0$)

Structure hyperstatique
d 'inconnues surabondantes R_i



Il y a autant d'équations que d'inconnues hyperstatiques.



$$W_d = f(R_i)$$

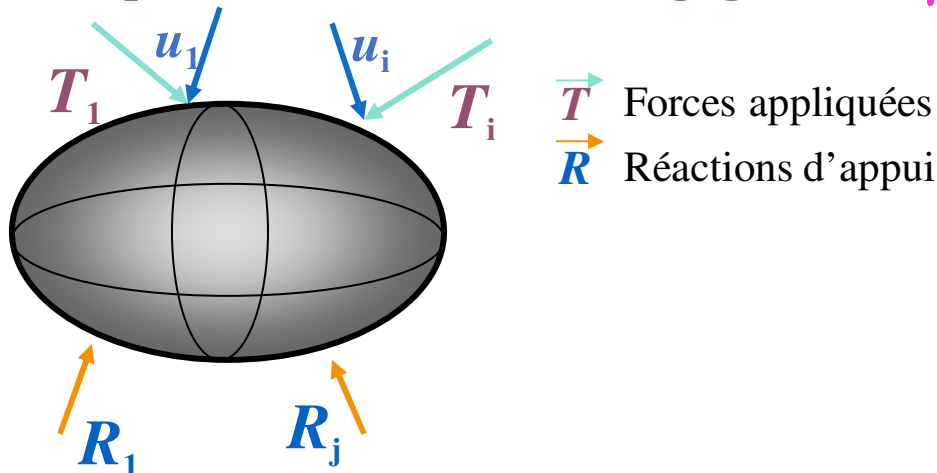


$$\frac{\partial W_d}{\partial R_i} = 0$$

| Hyperstatique | Isostatique associé | Inconnue hyperstatique | condition cinématique | Ménabréa |
|---------------|---------------------|------------------------|-----------------------|-------------------------------------|
| | | C | $\omega_A = 0$ | $\frac{\partial W}{\partial C} = 0$ |
| | | F | $u_A = 0$ | $\frac{\partial W}{\partial F} = 0$ |
| | | N | $u_A^+ = u_A^-$ | $\frac{\partial W}{\partial N} = 0$ |

4. Théorème de Menabrea

Statique et Forces de Volume négligeables $\vec{\gamma} = 0$ et $\vec{X} = 0$



Système Hyperstatique

$\Sigma(\text{forces})=0$ et $\Sigma(\text{moments})=0$ ne suffisent pas
à exprimer tous les \vec{R} en fonction des \vec{T}

$$W = f(\vec{T}_1, \dots, \vec{T}_i, \dots, \vec{R}_1, \dots, \vec{R}_j) \quad \vec{u}_i = \frac{\partial W}{\partial \vec{T}_i} \quad \vec{o} = \frac{\partial W}{\partial \vec{R}_j}$$

App : Suspension articulée

$$X + 2R \cos \alpha = P$$

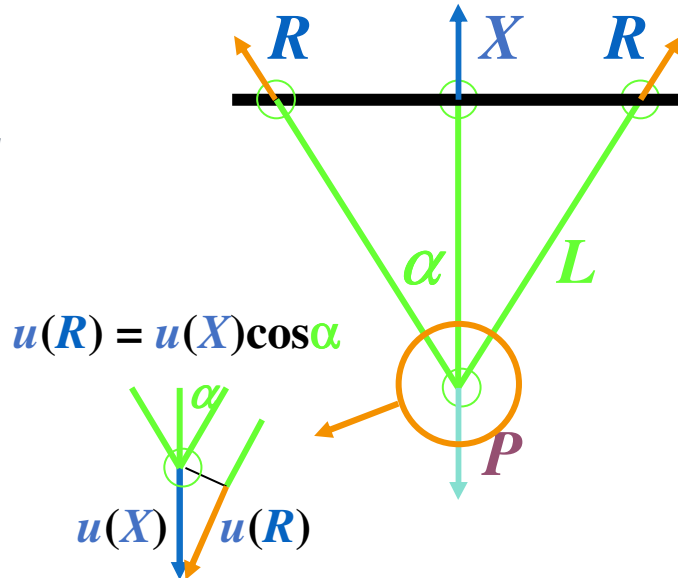
$$\sigma = \frac{F}{S}$$

$$u = \varepsilon L = \frac{FL}{ES}$$

$$u(X) = \frac{L}{ES} X \cos \alpha$$

$$u(R) = \frac{L}{ES} \frac{P-X}{2 \cos \alpha}$$

$$X = \frac{P}{1+2\cos^3 \alpha}$$



Symétrie

$\Sigma(\text{forces horizontales})=0$ et $\Sigma(\text{moments})=0$

$$W = \frac{1}{2} \sum_i \vec{F}_i \vec{u}_i$$

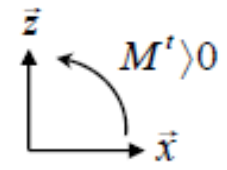
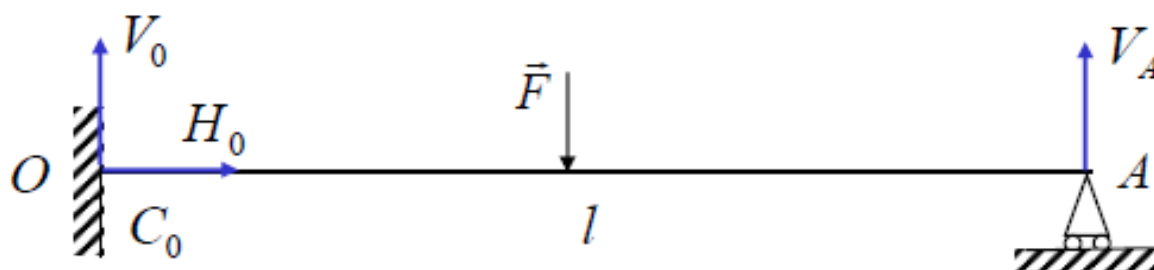
$$2W = Xu(X) + 2Ru(R)$$

$$2W = \frac{L}{ES} (X^2 \cos \alpha + 2 \frac{(P-X)^2}{4 \cos^2 \alpha})$$

$$\frac{\partial W}{\partial X} = 0 \quad \Rightarrow \quad X = \frac{P}{1+2\cos^3 \alpha}$$

App1: Théorème de Castigliano/Ménabréa

Exemple



1) Degrés d 'hyperstaticité h

Il y a 4 inconnues : V_0 , V_A , H_0 et C_0 .

$$3 \text{ équations d 'équilibre : } \sum \vec{F}_x = \vec{0} \quad \sum \vec{F}_z = \vec{0} \quad \sum \vec{M} / O = 0$$

\Rightarrow Degrés d 'hyperstatisme : $h=4-3=1$

\Rightarrow 1 seule liaison surabondante.

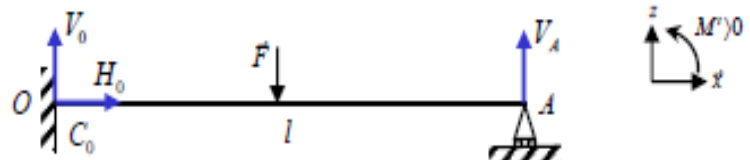
2) Equations d 'équilibre

$$\left\{ \begin{array}{l} \sum \vec{F}_x = \vec{0} \Rightarrow H_O = 0 \\ \sum \vec{F}_y = \vec{0} \Rightarrow V_O + F + V_A = 0 \\ \sum M^t / O = 0 \Rightarrow -\frac{Fl}{2} - V_A l + C_O = 0 \end{array} \right\}$$

3) Choix de l 'inconnue hyperstatique

On choisit V_A comme inconnue hyperstatique \Rightarrow On exprimera tout (M , N , T) en fonction des efforts extérieurs et de V_A

Exemple (suite)



4) Expression de M(x) en fonction des efforts extérieurs et des inconnues hyperstatiques

$$\begin{cases} 0 \leq x \leq \frac{l}{2} \\ \frac{l}{2} \leq x \leq l \end{cases}$$

$$\begin{cases} T(x) = V_1 + F \\ T(x) = V_1 \end{cases}$$

$$\begin{cases} M(x) = -V_1(l-x) - F(\frac{l}{2}-x) \\ M(x) = -V_1(l-x) \end{cases}$$

- On recherche une 4^{ème} équation en appliquant le théorème de Castigliano : $\frac{\partial U}{\partial V_1} = 0 \Rightarrow \frac{1}{2} \int_0^l \frac{M}{EI} \frac{\partial M}{\partial V_1} dx$

Donc, $\frac{\partial M}{\partial V_1} = -(l-x) \quad \forall x$

- La 4^{ème} équation s'écrit : $\int_0^{\frac{l}{2}} [V_1(l-x) + F(\frac{l}{2}-x)](l-x)dx + \int_{\frac{l}{2}}^l V_1(l-x)(l-x)dx = 0$

- Équation du 1^{er} degré en V_1 . On trouve :

$$V_1 = \frac{-5}{16}F$$

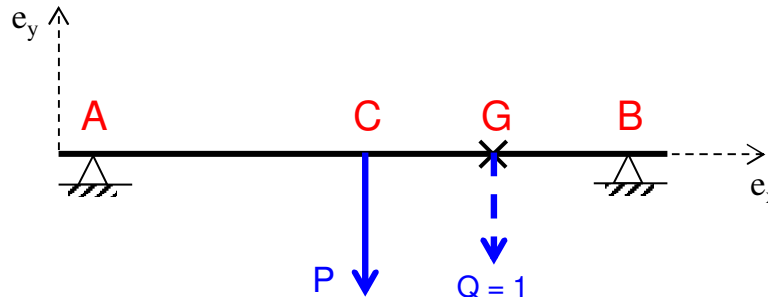
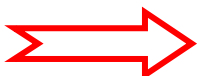
- En remplaçant dans les équations d'équilibre, il vient :

$$V_0 = \frac{-11}{16}F$$

$$C_0 = \frac{3}{16}F$$

5. Calcul du déplacement d'un point non chargé

Poutre sur 2 appuis



Flèche en G ?

- détermination de l'équation de la déformée
- charge fictive unitaire Q travaillant dans le déplacement $U_y(G)$



Théorème de
CASTIGLIANO

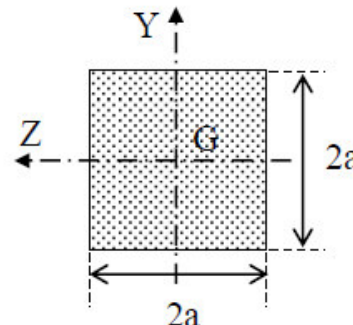
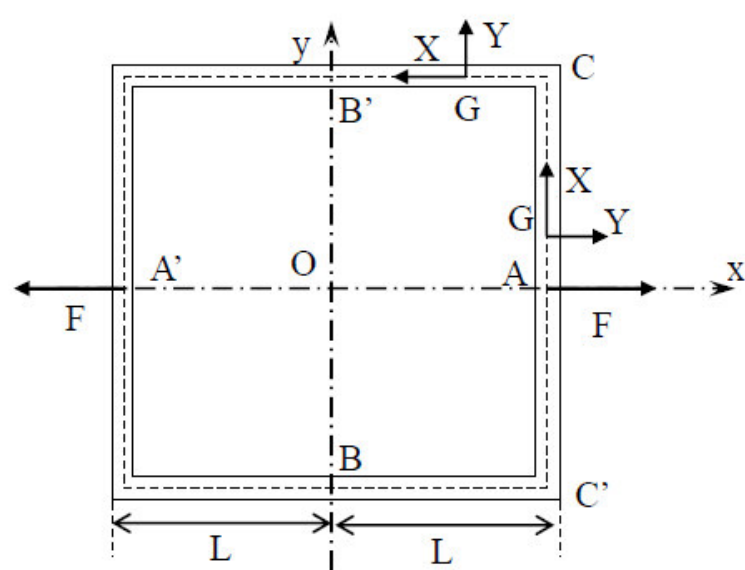
$$\left(\frac{\partial W_d}{\partial Q} \right)_{Q=0} = U_y(G)$$

Théorèmes Énergétiques

Applications

Méthode générale de calcul des assemblages de poutres

App1 : calcul d 'un cadre carré



- ligne moyenne: carré de côté $2L$
- section droite: carré de côté $2a$ ($a \ll L$)
- chargement: forces F et $-F$, appliquées en A et A'
- oxy: plan de symétrie

Calculer:

- Les composantes N , T_Y , M_Z du visseur sur la section droite courante.
- Les déplacements de A et de A' .

Solution:

- L'équilibre du demi-cadre donne:

. Équilibre des forces:

$$N_B = N_{B'} = \frac{F}{2}$$

. Équilibre des moments

$$M_B = M_{B'}$$

- La symétrie par rapport à l'axe ox implique la nullité de T_B et $T_{B'}$.

La structure est hyperstatique d'ordre 1. Prenons M_B comme inconnue hyperstatique.

- Expression du visseur:

Sur B'C'

$$\begin{cases} N = \frac{F}{2} \\ T = 0 \\ M = M_B \end{cases}$$

Sur C'A

$$\begin{cases} N = 0 \\ T = -\frac{F}{2} \\ M = \frac{F}{2}(L + y) + M_B \end{cases}$$

$$\begin{array}{ll} \text{Sur AC} & \left\{ \begin{array}{l} N = 0 \\ T = \frac{F}{2} \\ M = \frac{F}{2}(L - y) + M_B \end{array} \right. \\ & \text{Sur CB} \quad \left\{ \begin{array}{l} N = \frac{F}{2} \\ T = 0 \\ M = M_B \end{array} \right. \end{array}$$

Par raison de symétrie, les sections S_A et S_B ne peuvent pas tourner. D'où (théorème de Ménabréa):

$$\omega_B = \frac{\partial W}{\partial M_B} = 0$$

- Energie potentielle élastique emmagasinée dans la demi structure:

$$W = \frac{1}{2} \int_{SB}^{SB} \left[\frac{N^2}{ES} + \frac{M^2}{EI} + k \frac{T^2}{GS} \right] ds$$

$$\frac{\partial N}{\partial M_B} = 0$$

$$\frac{\partial T}{\partial M_B} = 0$$

$$\frac{\partial T}{\partial M_B} = 1$$

$$\frac{\partial W}{\partial M_B} = \int_{SB}^{SB} \left[\frac{N}{ES} \cdot \frac{\partial N}{\partial M_B} + \frac{M}{EI} \cdot \frac{\partial M}{\partial M_B} + \frac{T}{GS} \cdot \frac{\partial T}{\partial M_B} \right] ds$$

$$\frac{\partial W}{\partial M_B} = \int_{SB}^{SB} \frac{M}{EI} ds$$

$$M_B = -\frac{FL}{4}$$

D'où le visseur

Calcul du déplacement en A:

Théorème de Castigliano:

$$u_A = \frac{\partial W}{\partial F}$$

Energie potentielle:

$$W = \frac{F^2 L}{4ES} + k \frac{F^2 L}{4GS} + \frac{5}{96} \frac{F^2 L^3}{EI}$$

On en déduit u_A :

$$u_A = \frac{\partial W}{\partial F} = \frac{FL}{2ES} + k \frac{FL}{2GS} + \frac{5}{48} \frac{FL^3}{EI}$$

Comparaison du poids des différents termes de l'énergie potentielle de déformation.

Application numérique: $E = 70\,000 \text{ MPa}$ $E = 27\,000 \text{ MPa}$ $L = 1 \text{ m}$ $a = 5 \text{ mm}$

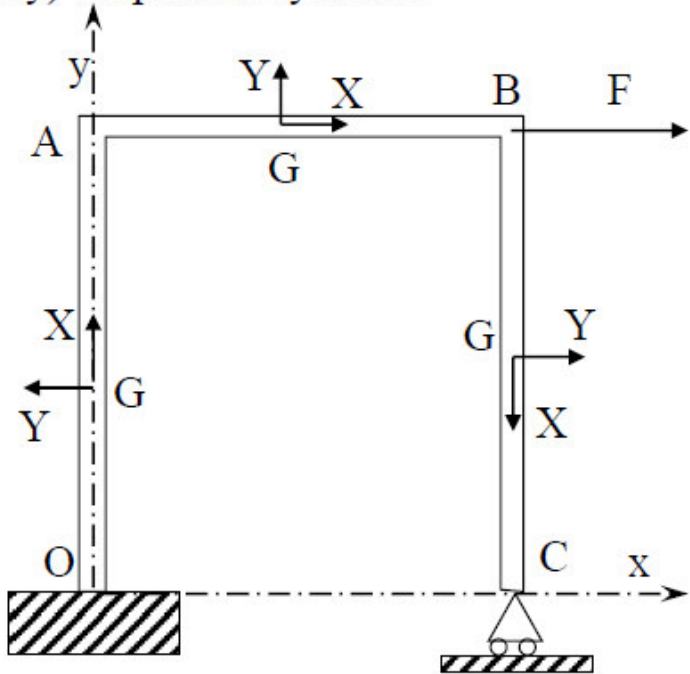
pour un carré plein, on a: $k \sim 6/5$

- Energie potentielle due à l'effort normal: $\frac{L}{4ES} = 3.57 E^{-5}$
- Energie potentielle due à l'effort tranchant: $k \frac{L}{4GS} = 1.109 E^{-4}$
- Energie potentielle due au moment de flexion: $\frac{5}{96} \frac{L^3}{EI} = 2.976$

Le terme dû au moment fléchissant est très largement prépondérant.

App2 : Calcul d 'un portique:

On considère un portique constitué de trois poutres prismatiques identiques de longueur a , soudées entre elles. Le portique est encastré au niveau de l'une de ses bases et appuyé simplement au niveau de l'autre. (xoy) est plan de symétrie.



- calculer les composantes du visseur sur les section droites

L'équilibre global du portique s'écrit:

$$X_0 = -F$$

$$Y_0 + Y_C = 0$$

$$M_0 - aF + aY_C = 0$$

Le problème est hyperstatique d'ordre 1; on choisit la réaction Y_C comme inconnue

Les composantes du visseur ont pour expression:

$$\text{sur } OA : \begin{cases} N = Y_C \\ T = -F \\ M = aY_C - (a - y)F \end{cases} \quad \text{sur } AB : \begin{cases} N = F \\ T = Y_C \\ M = (a - x)F \end{cases} \quad \text{sur } BC : \begin{cases} N = -Y_C \\ T = 0 \\ M = 0 \end{cases}$$

Energie potentielle de déformation:

$$W = \frac{1}{2} \int_{S_0}^{SC} \left[\frac{N^2}{ES} + \frac{M^2}{EI} + k \frac{T^2}{GS} \right] ds$$

L'hyperstaticité est levée par l'équation (théorème de ménabréa):

$$v_D = \frac{\partial W}{\partial Y_C} = 0$$

$$\text{sur } OA : \frac{\partial N}{\partial Y_C} = 1 \quad \frac{\partial T}{\partial Y_C} = 0 \quad \frac{\partial M}{\partial Y_C} = a$$

$$\text{sur } AB : \frac{\partial N}{\partial Y_C} = 0 \quad \frac{\partial T}{\partial Y_C} = 1 \quad \frac{\partial M}{\partial Y_C} = a - x$$

$$\text{sur } BC : \frac{\partial N}{\partial Y_C} = -1 \quad \frac{\partial T}{\partial Y_C} = 0 \quad \frac{\partial M}{\partial Y_C} = 0$$

$$\frac{\partial W}{\partial Y_C} = \int_0^a \left[\frac{N}{ES} + a \frac{M}{EI} \right] dy + \int_0^a \left[k \frac{T}{GS} + (a - x) \frac{M}{EI} \right] dy + \int_0^a \left[-\frac{N}{ES} \right] dy$$

.

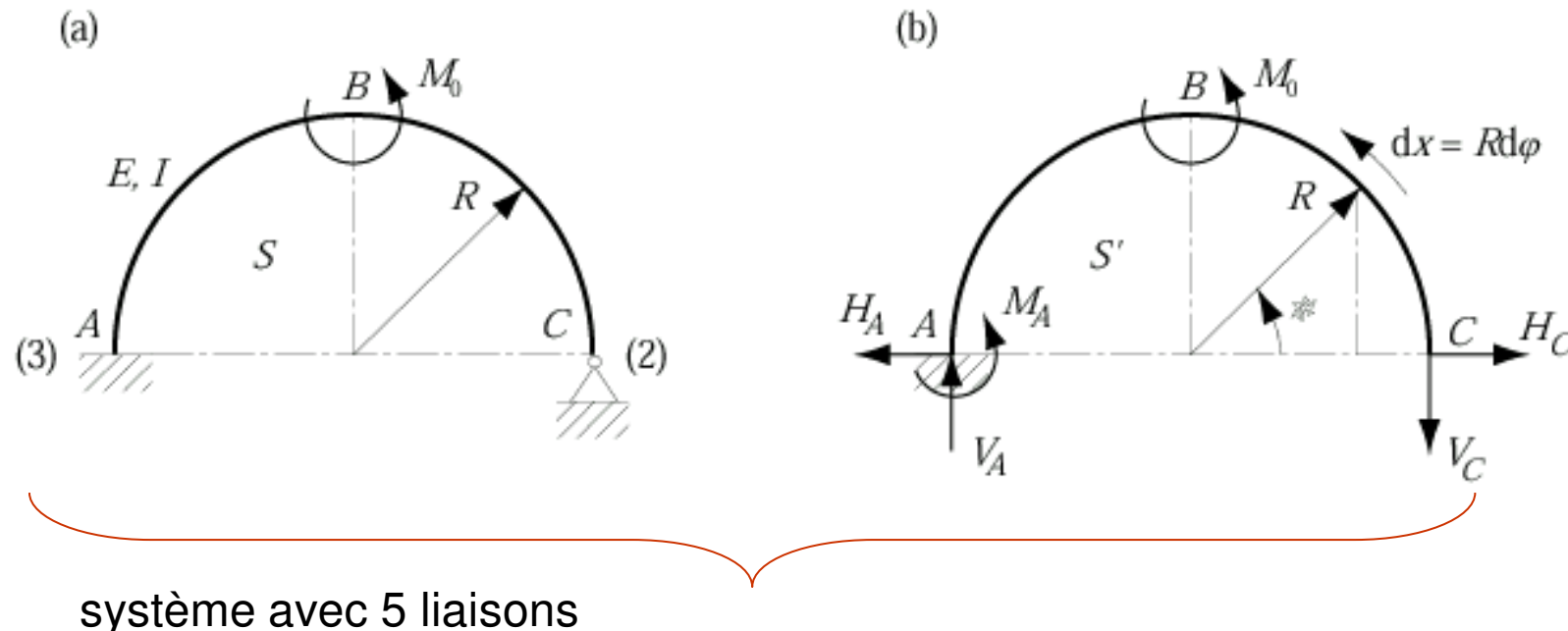
d'où :

$$Y_c = \frac{3}{8} F \frac{1}{1 + \frac{3}{4} \frac{EI}{a^2 S} \left(\frac{2}{E} + \frac{k}{G} \right)}$$

.

App3 : systèmes hyperstatiques

En ne considérant que l'énergie de flexion, déterminer par le théorème de Menabrea les réactions aux points A et C de l'arc sur lequel s'applique un moment M_0 au B .

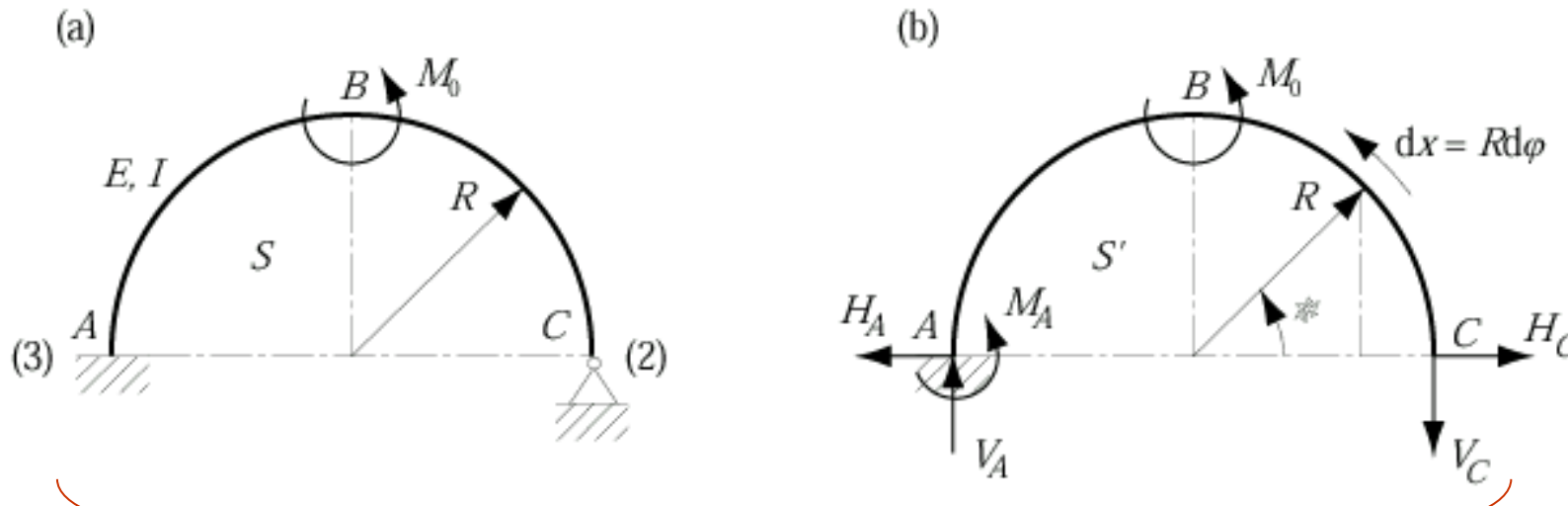


système avec 5 liaisons

Il est hyperstatique extérieurement d'ordre
 $k = 5 - 3 = 2$

App3 : systèmes hyperstatiques

Choisissons comme hyperstatiques les réactions



équilibre

$$H_A = H_C \quad V_A = V_C \quad M_A = 2RV_C - M_0$$

conditions de déformation

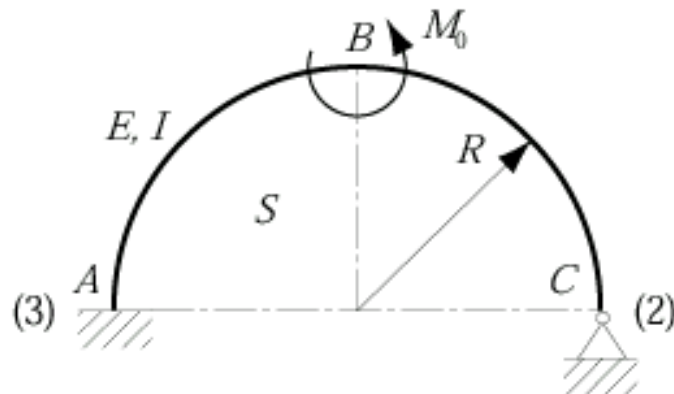
$$\frac{\partial U}{\partial H_C} = 0 \quad \frac{\partial U}{\partial V_C} = 0$$

App3 : systèmes hyperstatiques

Pour l'énergie de déformation on recourt à l'expression

$$U = \int_0^L \frac{N^2}{2EF} dx + \int_0^L \frac{M_t^2}{2GI_p} dx + \int_0^L \frac{M_f^2}{2EI} dx + \int_0^L \frac{\eta T^2}{2GF} dx$$

(a) (b)

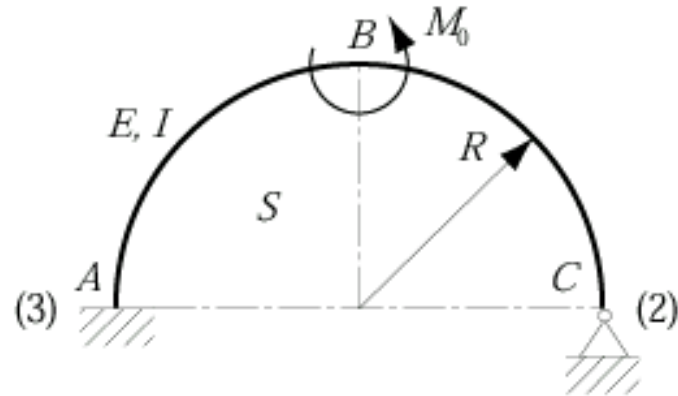


$$\frac{\partial U}{\partial H_C} = 0 \quad \xrightarrow{\text{Red Arrow}} \quad 0 = \frac{1}{EI} \int_C M \frac{\partial M}{\partial H_C} R d\varphi$$

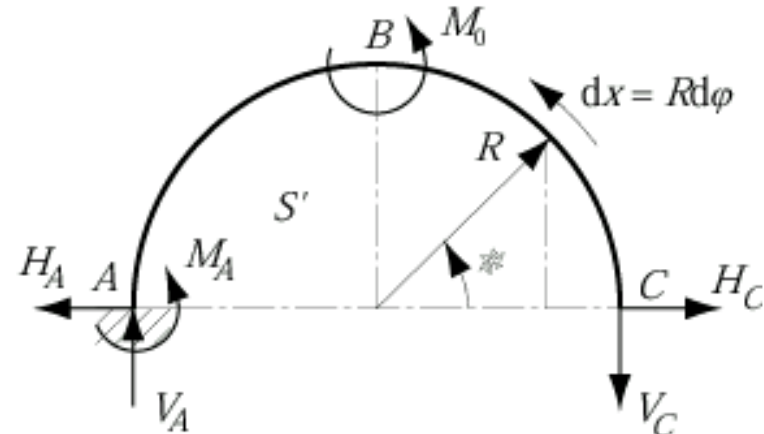
$$\frac{\partial U}{\partial V_C} = 0 \quad \xrightarrow{\text{Red arrow}} \quad 0 = \frac{1}{EI} \int_C^A M \frac{\partial M}{\partial V_C} R d\varphi$$

App3 : systèmes hyperstatiques

(a)



(b)



Sur le tronçon CB de l'arc,

$$M = H_C R \sin \varphi \quad \frac{\partial M}{\partial V_C} = -R(1 - \cos \varphi) \quad V_C R(1 - \cos \varphi)$$

$$\left. \begin{aligned} \frac{\partial M}{\partial V_C} &= -R(1 - \cos \varphi) \\ \frac{\partial M}{\partial H_C} &= R \sin \varphi \end{aligned} \right\}$$

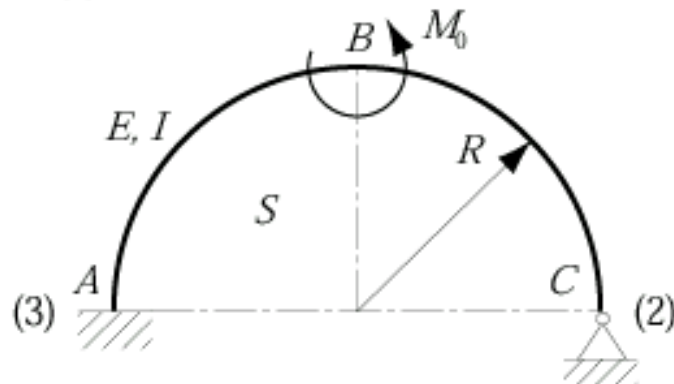
Sur le tronçon BA de l'arc,

$$M = H_C R \sin \varphi - V_C R(1 - \cos \varphi) + M_0$$

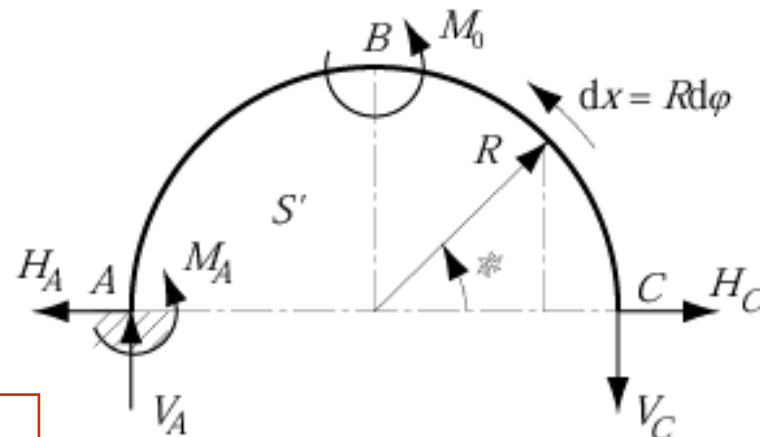
$$\left. \frac{\partial M}{\partial H_C} = R \sin \varphi \right\}$$

App3 : systèmes hyperstatiques

(a)



(b)



$$\frac{\partial M}{\partial V_C} = -R(1 - \cos \varphi)$$

$$\frac{\partial M}{\partial H_C} = R \sin \varphi$$

$$\frac{\partial M}{\partial V_C} = -R(1 - \cos \varphi)$$

$$\frac{\partial M}{\partial H_C} = R \sin \varphi$$

$$0 = \frac{1}{EI} \int_C^A M \frac{\partial M}{\partial H_C} R d\varphi$$

$$0 = \frac{1}{EI} \int_C^A M \frac{\partial M}{\partial V_C} R d\varphi$$

$$0 = \frac{R^3}{EI} \int_0^\pi [H_C \sin \varphi - V_C (1 - \cos \varphi)] \sin \varphi d\varphi$$

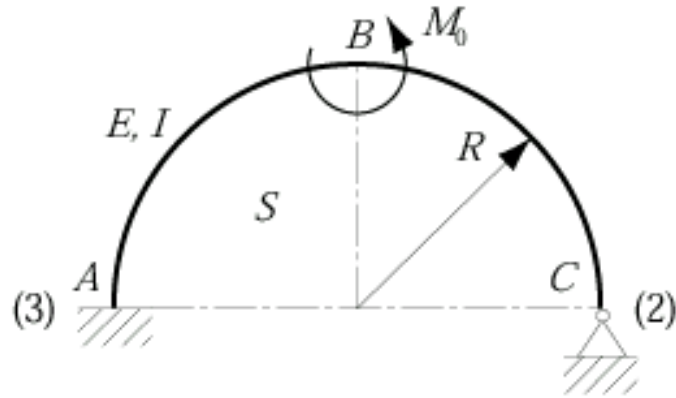
$$+ \frac{R^2 M_0}{EI} \int_{\pi/2}^\pi \sin \varphi d\varphi$$

$$0 = \frac{-R^3}{EI} \int_0^\pi [H_C \sin \varphi - V_C (1 - \cos \varphi)] (1 - \cos \varphi) d\varphi$$

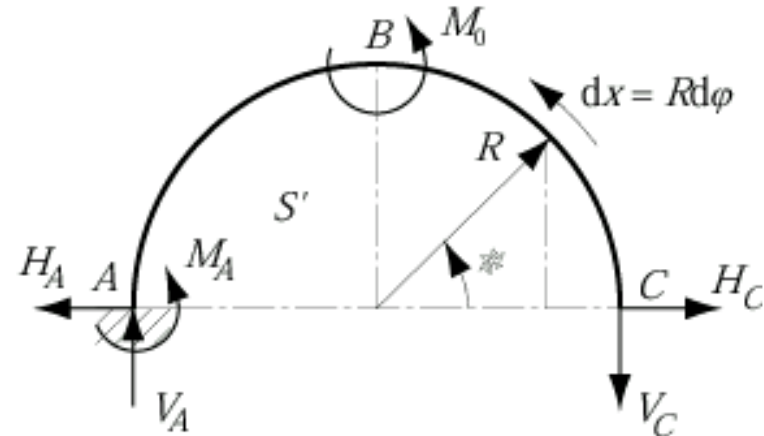
$$- \frac{R^2 M_0}{EI} \int_{\pi/2}^\pi (1 - \cos \varphi) d\varphi$$

App3 : systèmes hyperstatiques

(a)



(b)



$$0 = \frac{R^3}{EI} \int_0^\pi [H_C \sin \varphi - V_C (1 - \cos \varphi)] \sin \varphi d\varphi$$



$$\frac{\pi}{2} H_C - 2V_C = -\frac{M_0}{R}$$

$$+ \frac{R^2 M_0}{EI} \int_{\pi/2}^\pi \sin \varphi d\varphi$$

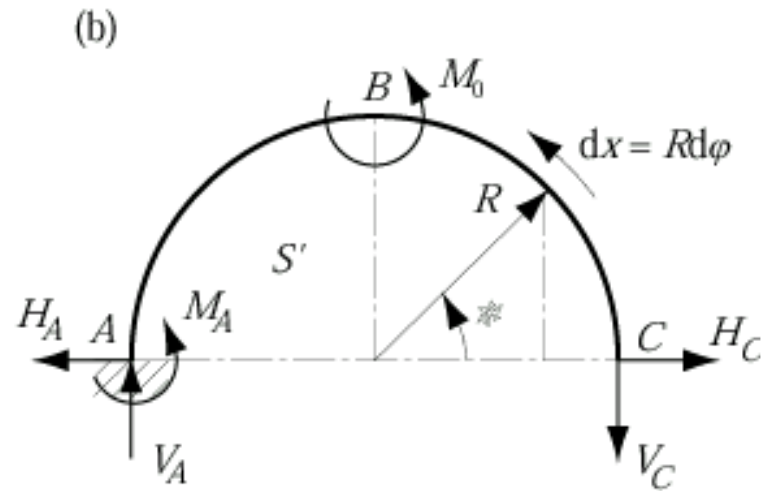
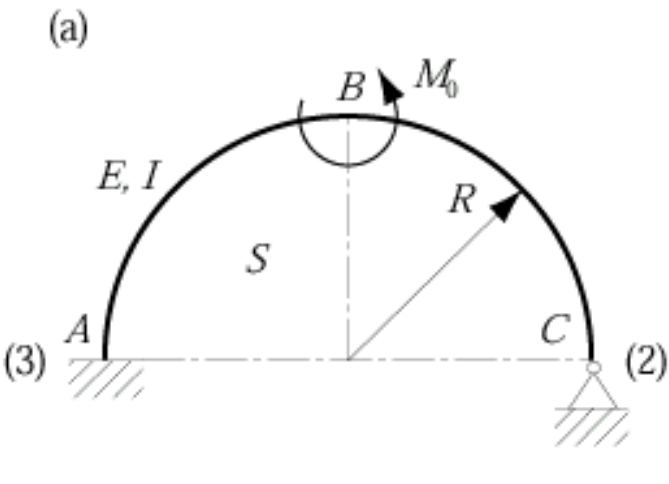
$$0 = \frac{-R^3}{EI} \int_0^\pi [H_C \sin \varphi - V_C (1 - \cos \varphi)] (1 - \cos \varphi) d\varphi$$



$$-2H_C - \frac{3\pi}{2} V_C = -\frac{2 + \pi}{2} \frac{M_0}{R}$$

$$- \frac{R^2 M_0}{EI} \int_{\pi/2}^\pi (1 - \cos \varphi) d\varphi$$

App3 : systèmes hyperstatiques



$$H_A = H_C$$

$$V_A = V_C$$

$$M_A = 2RV_C - M_0$$

$$\frac{\pi}{2}H_C - 2V_C = -\frac{M_0}{R}$$

$$-2H_C - \frac{3\pi}{2}V_C = -\frac{2+\pi}{2}\frac{M_0}{R}$$

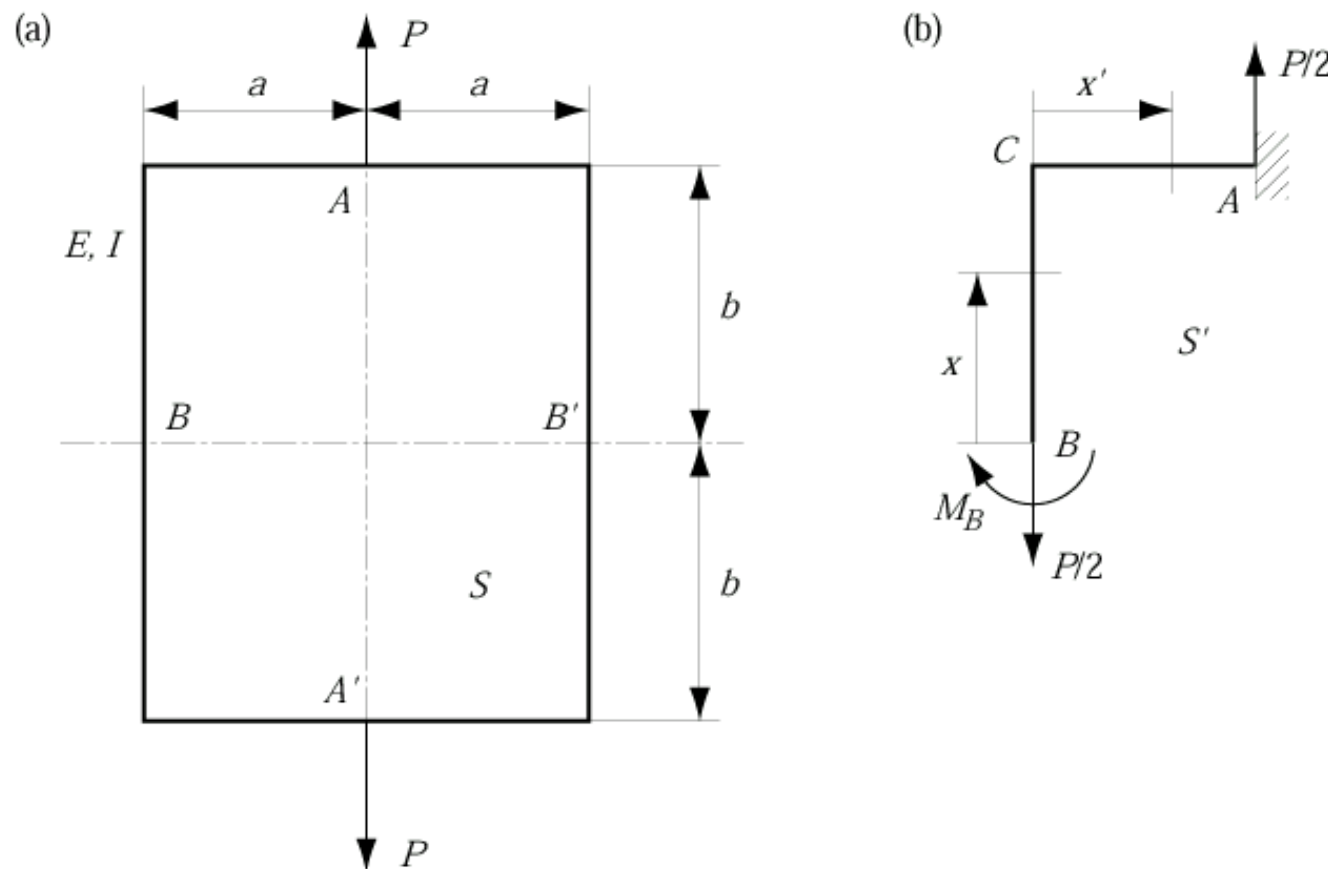
$$H_A = H_C = \frac{M_0}{R} \frac{8-2\pi}{3\pi^2-16}$$

$$V_A = V_C = \frac{M_0}{R} \frac{\pi^2 + 2\pi - 8}{3\pi^2 - 16}$$

$$M_A = M_0 \frac{4\pi - \pi^2}{3\pi^2 - 16}$$

App4 : Portique

Par le théorème de Menabrea, trouver le moment hyperstatique intérieur au point B du cadre, puis calculer le déplacement relatif des points A et A' . *On ne considérera que l'énergie de flexion.*

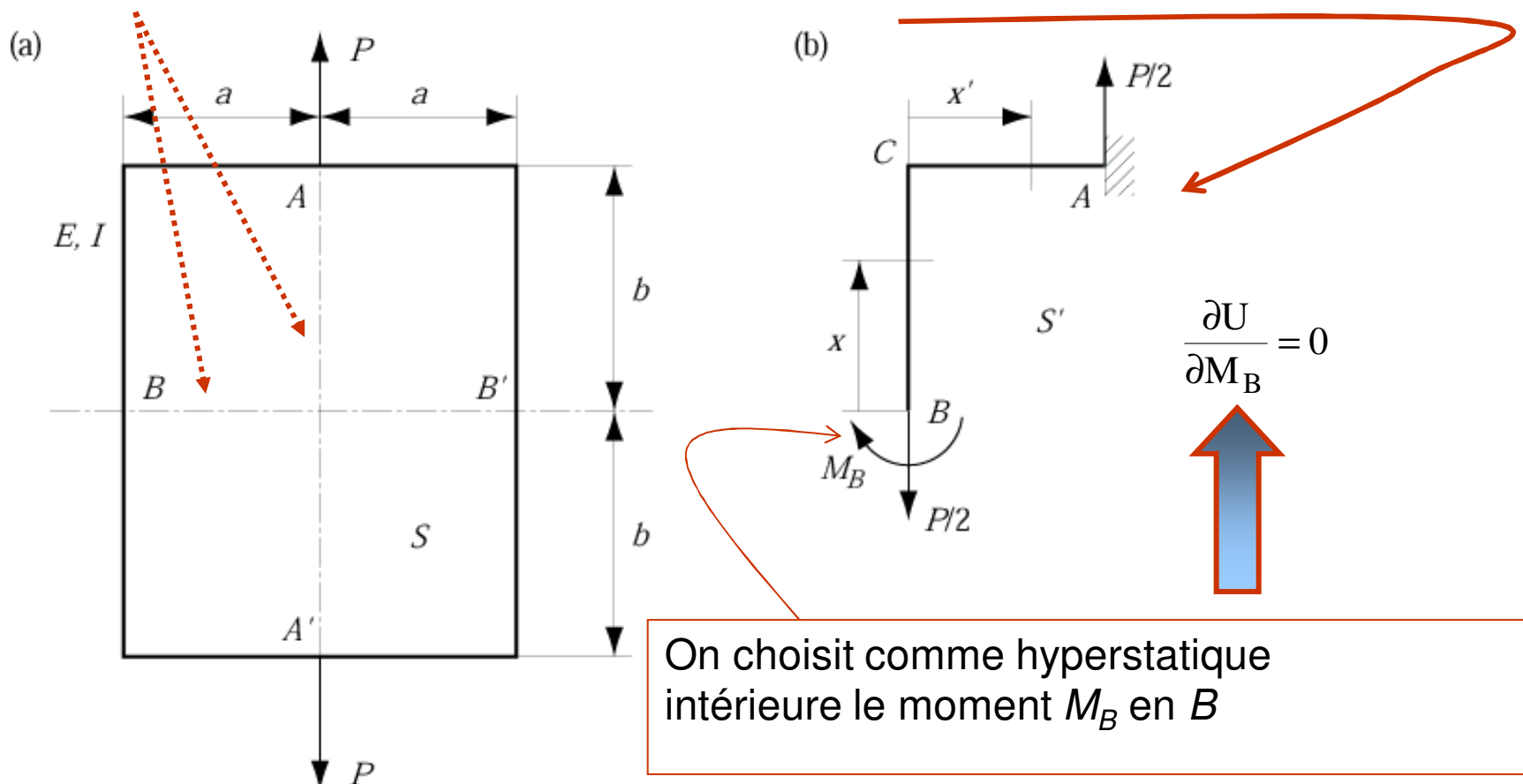


App4 : Portique

Le système est plan, mais possède deux axes de symétrie, de sorte que son degré d'hyperstatique intérieure est ramené à

$$k = 3 - 2 = 1.$$

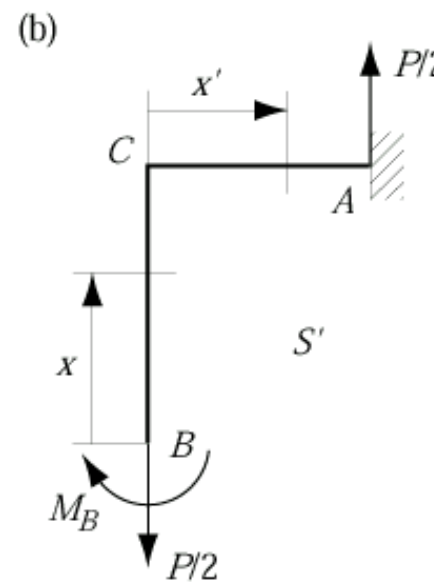
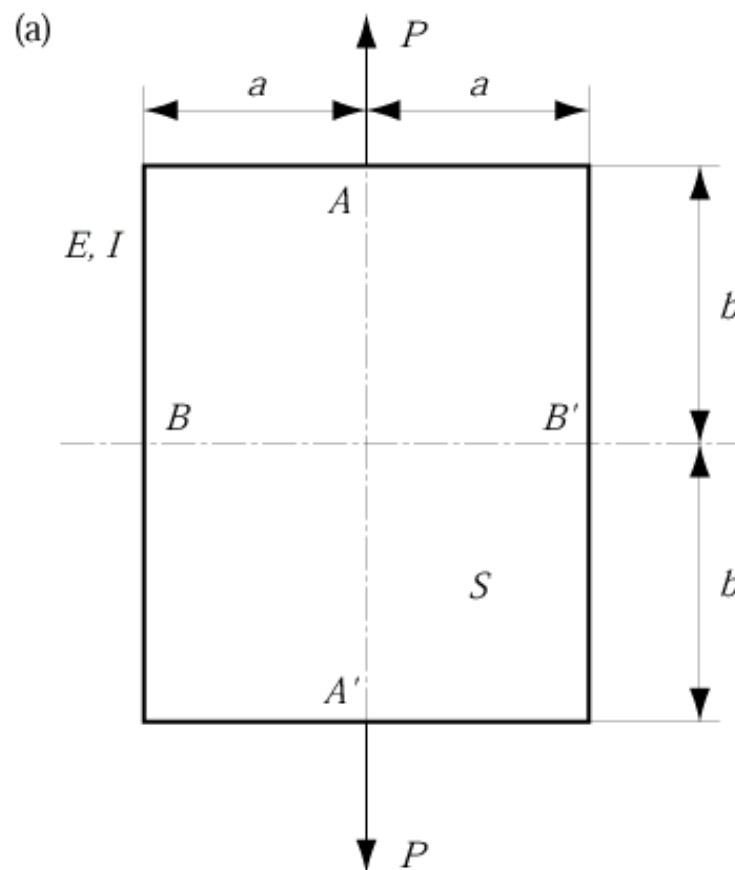
La double symétrie permet de ne considérer que le quart du cadre.



App4 : Portique

Pour l'énergie de déformation on recourt à l'expression
(seule l'énergie de flexion est prise en compte)

$$U = \int_0^{\ell} \frac{M_f^2}{2EI} dx$$

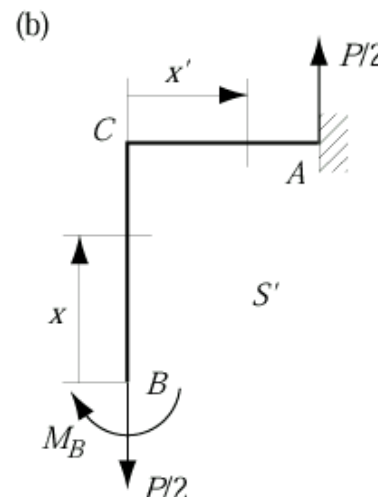
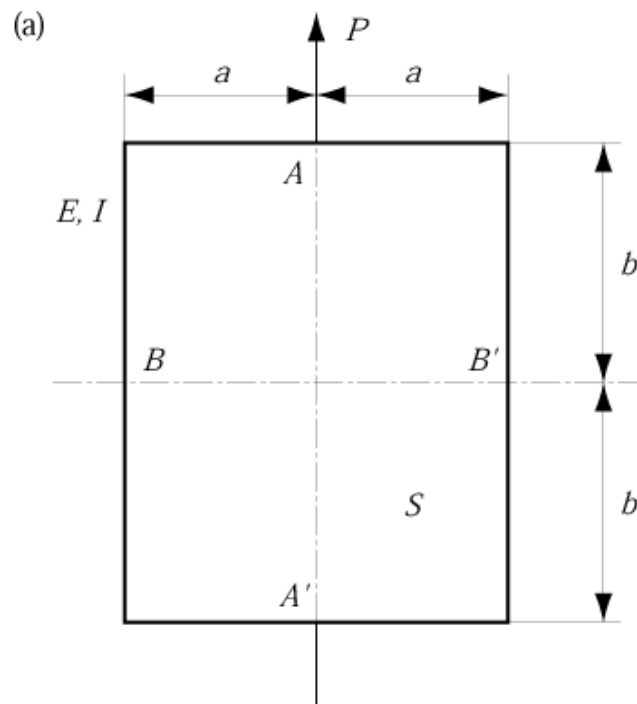


$$0 = \frac{4}{EI} \int_B^A M \frac{\partial M}{\partial M_B} dx$$

$$\delta = \frac{4}{EI} \int_B^A M \frac{\partial M}{\partial P} dx$$

App4 : Portique

moment de flexion et ses dérivées



$M(x) = M_B \quad (0 \leq x \leq b)$

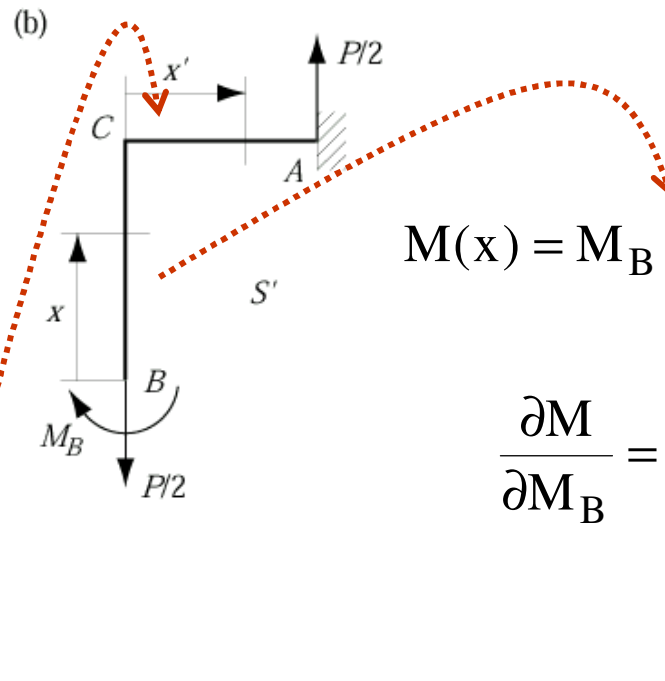
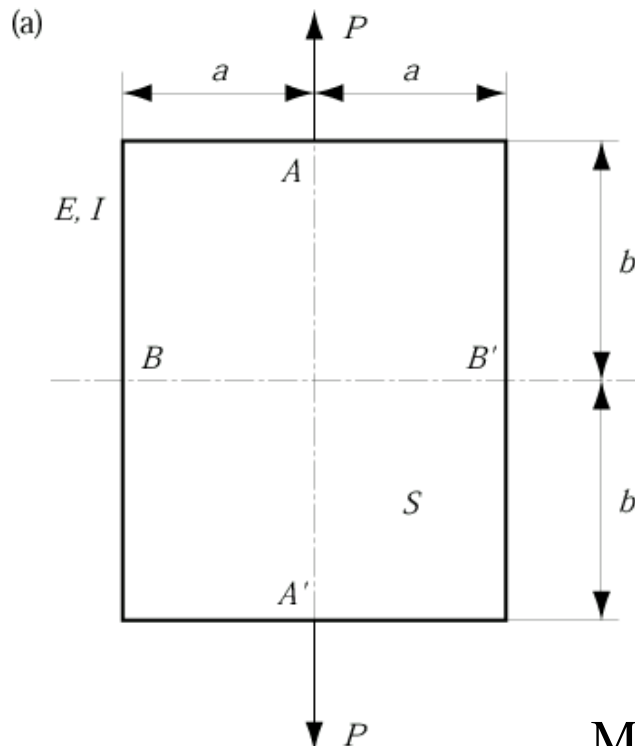
$$\frac{\partial M}{\partial M_B} = 1, \quad \frac{\partial M}{\partial P} = 0$$

$M(x') = M_B - \frac{P}{2}x' \quad (0 \leq x' \leq a)$

$$\frac{\partial M}{\partial M_B} = 1, \quad \frac{\partial M}{\partial P} = -\frac{x'}{2}$$

App4 : Portique

moment de flexion et ses dérivées



$$M(x) = M_B \quad (0 \leq x \leq b)$$

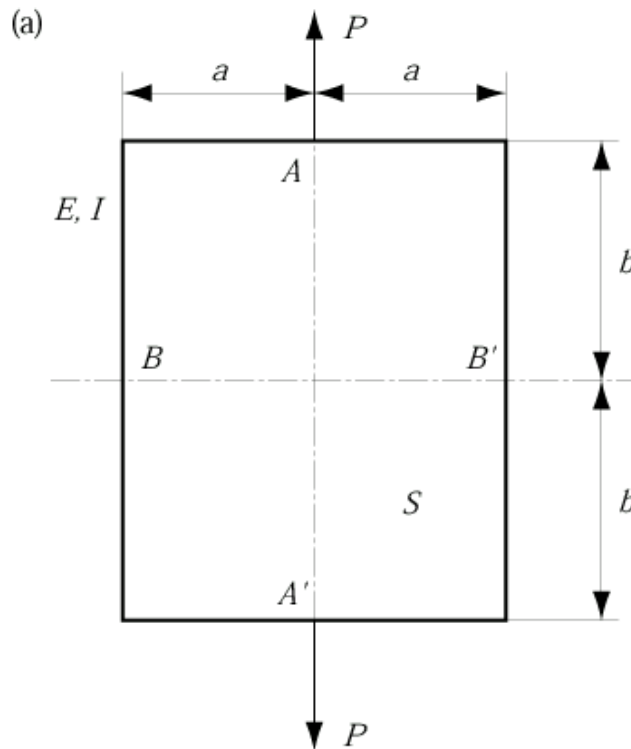
$$\frac{\partial M}{\partial M_B} = 1, \quad \frac{\partial M}{\partial P} = 0$$

$$M(x') = M_B - \frac{P}{2}x' \quad (0 \leq x' \leq a)$$

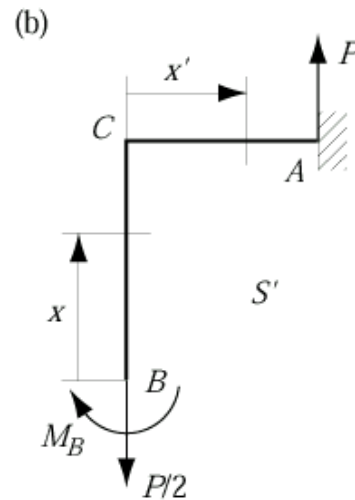
$$\frac{\partial M}{\partial M_B} = 1, \quad \frac{\partial M}{\partial P} = -\frac{x'}{2}$$

App4 : Portique

déformation



$$\delta = -\frac{4}{EI} \int_0^a \left(M_B - \frac{P}{2} x' \right) \frac{x'}{2} dx'$$



$$0 = \int_0^b M_B dx + \int_0^a \left(M_B - \frac{P}{2} x' \right) dx'$$

$$= M_B b + \left(M_B a - \frac{Pa^2}{2} \right)$$

$$M_B = \frac{Pa^2}{4(a+b)}$$

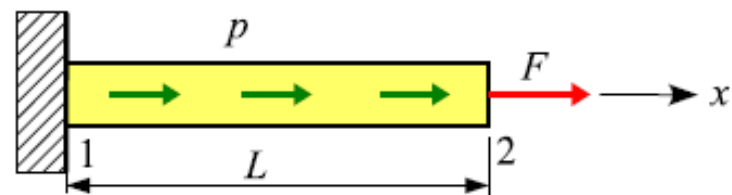
$$\delta = \frac{Pa^3}{12EI} \frac{a+4b}{a+b}$$

Autres Applications

1. Poutre soumise à un effort normal

1.1 Énoncé

La poutre (1 – 2) de longueur L , de section droite constante est encastrée en 1. Soient A l'aire de la section droite et E le module d'Young du matériau.



La poutre porte en 2 une force de composantes $(F, 0, 0)$ et sur toute sa longueur, une force uniformément répartie d'intensité linéique p .

1. Calculer le déplacement du nœud 2.
2. Calculer le déplacement de la section d'abscisse x .

1.2 Solution

1. L'énergie de déformation est égale à :

$$E_{def} = \int_0^L \frac{N^2}{2EA} dx \quad \text{avec} \quad N(x) = F + p(L - x)$$

Le déplacement horizontal du point 2 est donné par le théorème de Castigliano :

$$u_2 \models \frac{\partial E_{def}}{\partial F}$$

2. Introduisons une force auxiliaire Q dans la section d'abscisse x :

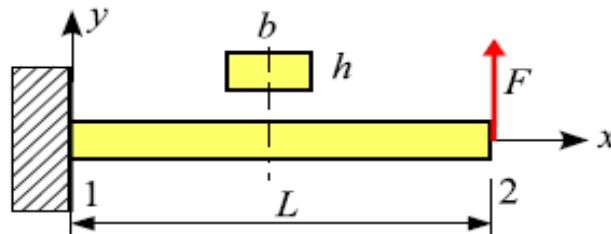
$$E_{def} = \int_0^L \frac{N^2}{2EA} ds \quad \text{avec} \quad \begin{cases} N(s) = F + p(L - s) + Q & \text{si } 0 \leq s < x \\ N(s) = F + p(L - s) & \text{si } x < s \leq L \end{cases}$$

$$u(x) = \left. \frac{\partial E_{def}(Q)}{\partial Q} \right|_{Q=0}$$

2 Poutre console sollicitée en flexion simple : influence de l'effort tranchant

2.1 Énoncé

La poutre (1 – 2) de longueur L et de section droite constante est encastrée en 1.



Soient A , I_z et k_y les caractéristiques de la section droite.

E et ν sont respectivement le module d'Young et le coefficient de Poisson du matériau.

Elle porte en 2 une force de composantes $(0, F, 0)$.

1. Calculer la flèche en 2.
2. La section droite est rectangulaire :

$$A = b h \quad , \quad I_z = \frac{b h^3}{12} \quad , \quad k_y = \frac{10(1 + \nu)}{12 + 11\nu}$$

Étudier l'influence de l'effort tranchant en fonction de $\frac{L}{h}$ pour plusieurs valeurs du coefficient de Poisson.

2.2 Solution

L'énergie de déformation est égale à :

$$E_{def} = \int_0^L dE_{def} = E_{def}(T_y) + E_{def}(Mf_z)$$

avec :

$$E_{def}(T_y) = \int_0^L \frac{T_y^2}{2GAk_y} dx , \quad T_y = F$$

$$E_{def}(Mf_z) = \int_0^L \frac{Mf_z^2}{2EI_z} dx , \quad Mf_z = F(L-x)$$

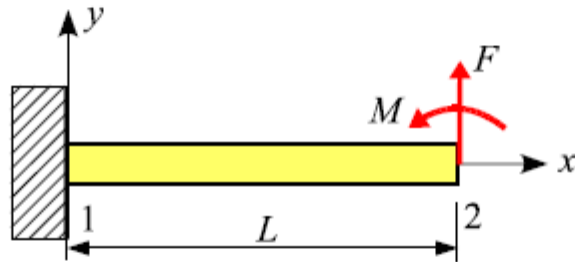
Le déplacement suivant y du nœud 2 est donné par le théorème de Castigliano :

$$v_2 = \frac{\partial E_{def}}{\partial F} = v_2(T_y) + v_2(Mf_z)$$

3 Poutre console sollicitée en flexion simple : matrice de rigidité

3.1 Énoncé

Soit la poutre (1 – 2) de longueur L et de section droite constante. Soient A et I_z les caractéristiques de la section droite. E et ν sont respectivement le module d'Young et le coefficient de Poisson du matériau.



La poutre est encastrée en 1.

Elle porte en 2 une force de composantes $(0, F, 0)$ et un couple de composantes $(0, 0, M)$.

1. Calculer les déplacements du nœud 2.
2. En déduire l'expression de la matrice de souplesse et de la matrice de rigidité de la structure.

3.2 Solution

Les efforts dans la section d'abscisse x sont :

$$T_y(x) = F$$

$$Mf_z(x) = M + F(L - x)$$

Les déplacements du noeud 2 sont donnés par le théorème de Castigliano :

$$v_2 = \frac{\partial E_{def}}{\partial F} \quad , \quad \theta_{z2} = \frac{\partial E_{def}}{\partial M}$$

avec

$$E_{def} = \int_0^L dE_{def} \quad , \quad dE_{def} = \frac{T_y^2}{2GAk_y} dx + \frac{Mf_z^2}{2EI_z} dx$$

On en déduit :

$$\begin{Bmatrix} v_2 \\ \theta_{z2} \end{Bmatrix} = [C] \begin{Bmatrix} F \\ M \end{Bmatrix}$$

où $[C]$ est la matrice de souplesse,

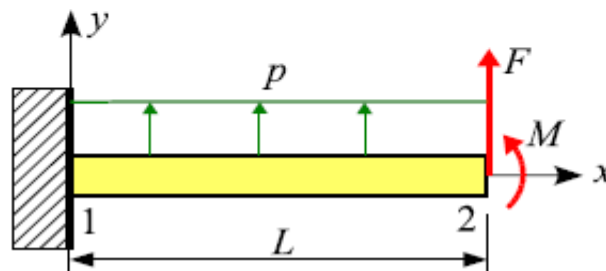
$$\begin{Bmatrix} F \\ M \end{Bmatrix} = [K] \begin{Bmatrix} v_2 \\ \theta_{z2} \end{Bmatrix}$$

où $[K] = [C]^{-1}$ est la matrice de rigidité.

4 Poutre console sollicitée en flexion simple

4.1 Énoncé

Soit la poutre (1 – 2) de longueur L et de section droite constante. Soient A et I_z les caractéristiques de la section droite. E et ν sont respectivement le module d'Young et le coefficient de Poisson du matériau.



La poutre est encastrée en 1.

Elle porte sur toute sa longueur une force uniformément répartie dont l'intensité linéique est $(0, p, 0)$.

1. Calculer les déplacements du nœud 2.
2. La section droite est rectangulaire :

$$A = b h \quad , \quad I_z = \frac{b h^3}{12} \quad , \quad k_y = \frac{10(1 + \nu)}{12 + 11\nu}$$

Étudier l'influence de l'effort tranchant en fonction de $\frac{L}{h}$ pour plusieurs valeurs du coefficient de Poisson.

4.2 Solution

Introduisons en 2 une force et un couple auxiliaires F et M .

Les efforts dans la section d'abscisse x sont :

$$T_y(x) = F + p(L - x)$$

$$Mf_z(x) = M + F(L - x) + p \frac{(L - x)^2}{2}$$

Les déplacements du nœud 2 sont donnés par le théorème de Castigliano :

$$v_2 = \left. \frac{\partial E_{def}}{\partial F} \right|_{F=0, M=0}, \quad \theta_{z2} = \left. \frac{\partial E_{def}}{\partial M} \right|_{F=0, M=0}$$

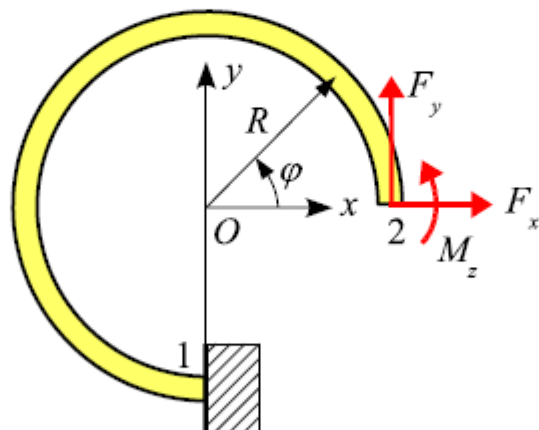
avec

$$E_{def} = \int_0^L dE_{def} \quad , \quad dE_{def} = \frac{T_y^2}{2GAk_y} dx + \frac{Mf_z^2}{2EI_z} dx$$

5 Étude d'un arc plan

5.1 Énoncé

L'arc (1 – 2) de centre O et de rayon moyen R est encastré en 1. Il a une section droite constante. Soient A , I_z et k les caractéristiques de la section droite. E et ν sont respectivement le module d'Young et le coefficient de Poisson du matériau.



L'arc est soumis en 2 à une force horizontale de composantes $(F_x, F_y, 0)$ et à un couple $(0, 0, M_z)$.

Calculer les déplacements du nœud 2.

5.2 Solution

Les efforts dans la section φ sont :

$$N(\varphi) = F_x \sin \varphi - F_y \cos \varphi$$

$$T(\varphi) = F_x \cos \varphi + F_y \sin \varphi$$

$$Mf_z(\varphi) = F_x R \sin \varphi + F_y R (1 - \cos \varphi) + M_z$$

L'énergie de déformation est égale à :

$$E_{def} = \int_0^{3\pi/2} dE_{def} \quad \text{avec} \quad dE_{def} = \left(\frac{N^2}{2EA} + \frac{T^2}{2GAk} + \frac{Mf_z^2}{2EI_z} \right) R d\varphi$$

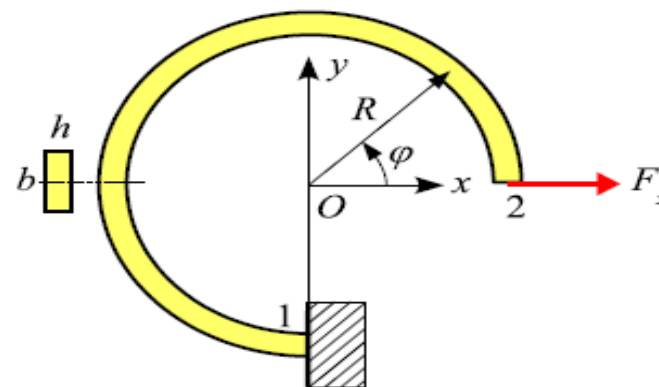
Les déplacements du nœud 2 sont donnés par le théorème de Castigliano :

$$u_2 = \frac{\partial E_{def}}{\partial F_x} \quad , \quad v_2 = \frac{\partial E_{def}}{\partial F_y} \quad , \quad \theta_{z2} = \frac{\partial E_{def}}{\partial M_z}$$

6 Étude d'un arc plan : influence de l'effort normal et de l'effort tranchant

6.1 Énoncé

L'arc (1 – 2) de centre O et de rayon moyen R est encastré en 1. Il a une section droite constante. Soient A , I_z et k les caractéristiques de la section droite. E et ν sont respectivement le module d'Young et le coefficient de Poisson du matériau.



L'arc est soumis en 2 à une force horizontale de composantes $(F_x, 0, 0)$.

1. Calculer le déplacement horizontal du nœud 2.
2. La section droite est rectangulaire :

$$A = b h \quad , \quad I_z = \frac{b h^3}{12} \quad , \quad k = \frac{10(1 + \nu)}{12 + 11\nu}$$

Étudier l'influence de l'effort tranchant en fonction de $\frac{R}{h}$ pour plusieurs valeurs du coefficient de Poisson.

3. Étudier l'influence de l'effort tranchant et de l'effort normal en fonction de $\frac{R}{h}$ pour $\nu = 0.25$

6.2 Solution

Les efforts dans la section φ sont :

$$N(\varphi) = F_x \sin \varphi , \quad T(\varphi) = F_x \cos \varphi , \quad Mf_z(\varphi) = F_x R \sin \varphi$$

L'énergie de déformation est égale à :

$$E_{def} = \int_0^{3\pi/2} dE_{def} \quad \text{avec} \quad dE_{def} = \left(\frac{N^2}{2EA} + \frac{T^2}{2GAk} + \frac{Mf_z^2}{2EI_z} \right) R d\varphi$$

Le déplacement horizontal du nœud 2 est donné par le théorème de Castigliano :

$$u_2 = \frac{\partial E_{def}}{\partial F_x}$$

Chap. 3:

MÉTHODE DE FORCES

Méthode des forces

Démarche

Introduction

La méthode des forces est basée sur le théorème de Castiglano et s'applique aux structures hyperstatiques lorsque les liaisons sont rigides et parfaites.

On obtient un système d'équations dont la dimension est le degré d'hyperstatique du problème étudié.

Démarche de la méthode des forces :

- Déterminer le degré d'hyperstaticité $d = n$
- Ecrire les n équations canoniques.
- Choisir le système de base (système isostatique le plus simple)
- Tracer le diagramme des moments fléchissants M_0 du système isostatique due aux charges extérieures ($X_1 = X_2 = \dots = X_n = 0$)
- Tracer les diagrammes ou épures unitaires m_i ($i = 1, \dots, n$) correspondant au système isostatique sans charges extérieures et avec $X_i=1$ et les autres inconnus nuls.
- On calcul tous les coefficients δ_{ij} et δ_{i0} à l'aide des diagrammes.

Récapitulatif de la méthode



Démarche de la méthode des forces :



- Résolution du système d'équations canoniques

$$\left\{ \begin{array}{l} \delta_{11}X_1 + \delta_{12}X_2 + \cdots + \delta_{1n}X_n + \delta_{10} = 0 \\ \delta_{21}X_1 + \delta_{22}X_2 + \cdots + \delta_{2n}X_n + \delta_{20} = 0 \\ \cdots \cdots \cdots \cdots \\ \cdots \cdots \cdots \cdots \\ \cdots \cdots \cdots \cdots \\ \delta_{n1}X_1 + \delta_{n2}X_2 + \cdots + \delta_{nn}X_n + \delta_{n0} = 0 \end{array} \right.$$

- Correction des épures unitaires $m_i^* = m_i X_i$ ($i = 1, \dots, n$).
 $m_1^* = m_1 X_1 ; m_2^* = m_2 X_2 ; \dots ; m_n^* = m_n X_n$
- On fait la somme des épures unitaires corrigées $\sum m_i^* = m_1^* + m_2^* + \cdots + m_n^*$
- En dernier, on obtient le diagramme des moments fléchissants final du système hyperstatique réel en faisant la somme des moments suivants
 $M_{final} = M_0 + \sum m_i^*$

Décomposition du problème :

Soit une structure hyperstatique d'ordre N, sollicitée par un chargement extérieur.

Le problème hyperstatique, noté Pb, peut se décomposer en :

1. Un problème isostatique obtenu à partir du problème initial, en enlevant les liaisons qui rendent le problème hyperstatique et en conservant le chargement extérieur. Ce problème sera noté : Pb_0
2. N problèmes correspondant aux inconnues hyperstatiques X_i ($i = 1; n$) obtenus à partir du problème isostatique chargé uniquement avec les inconnues hyperstatiques. Ces problèmes seront notés Pb_i ($i = 1; n$). Les X_i peuvent être des forces ou des moments.

Décomposition du problème :

On peut noter :

$$Pb = Pb_0 + \sum_{i=1}^n Pb_i$$

ou encore

$$Pb = Pb_0 + \sum_{i=1}^n X_i \overline{Pb_i}$$

où le problème $\overline{Pb_i}$ est le problème correspondant au Pb_i mais avec une charge (ou un moment) unitaire.

Pour toute variable Δ , on notera Δ_0 la valeur de cette variable dans le problème Pb_0 et $\overline{\Delta_i}$, sa valeur dans le problème $\overline{Pb_i}$ et on a donc :

$$\Delta = \Delta_0 + \sum_{i=1}^n X_i \overline{\Delta_i}$$

Δ peut être une réaction d'appui, un moment fléchissant, etc ...

Calcul de l'énergie interne :

L'expression de l'énergie interne peut être plus ou moins complexe en fonction de la dimension de l'espace et des hypothèses sur l'énergie.

Cas général : On ne néglige pas l'énergie due à l'effort normal ni à l'effort tranchant, on se place dans l'espace à 3 dimensions :

$$W_e = \frac{1}{2} \int_{\Gamma} \left(\frac{N^2}{EA} + \frac{V_y^2}{GA'_y} + \frac{V_z^2}{GA'_z} + \frac{M_x^2}{GI_0} + \frac{M_y^2}{EI_{Gy}} + \frac{M_z^2}{EI_{Gz}} \right) ds$$

où s désigne l'abscisse curviligne de la poutre.

Cas bidimensionnel : On se place dans un espace à 2 dimensions mais on ne négligé aucune énergie.

$$W_e = \frac{1}{2} \int_{\Gamma} \left(\frac{N^2}{EA} + \frac{V_y^2}{GA'_y} + \frac{M_z^2}{EI_{Gz}} \right) ds$$

Cas bidimensionnel à flexion dominante : On néglige les énergies dues aux efforts tranchant et normal, seul le terme en moment fléchissant subsiste.

$$W_e = \frac{1}{2} \int_{\Gamma} \frac{M_z^2}{EI_{Gz}} ds$$

Calcul des inconnues hyperstatiques.

- 1. Résolution des problèmes associés :** Il faut premièrement résoudre le problème isostatique associé ainsi que les problèmes associés à chaque inconnue hyperstatique. Il faudra notamment, tracer les diagrammes des projections locales du torseur des efforts intérieurs à prendre en compte dans l'énergie.
- 2. Application du théorème de Castigliano.** Si les liaisons sont rigides, alors les déplacements associés à chaque projection des actions hyperstatiques sont nuls.

Suivant les hypothèses faites et la dimension de l'espace considéré, l'énergie est la somme de m termes provenant des types de sollicitations Δ_j affectés des caractéristiques de raideur λ_j correspondantes.

$$\begin{array}{ll} \Delta_1 = N & \lambda_1 = EA \\ \Delta_2 = V_y & \lambda_2 = GA'_y \\ \Delta_3 = V_z & \lambda_3 = GA'_z \\ \Delta_4 = M_x & \lambda_4 = EI_0 \\ \Delta_5 = M_y & \lambda_5 = EI_{Gy} \\ \Delta_6 = M_z & \lambda_6 = EI_{GZ} \end{array}$$

Dans le cas général, on a : $m = 6$,

$$W_e = \int_{\Gamma} \sum_{j=1}^m \frac{\Delta_j^2}{2\lambda_j} ds$$

avec

$$\Delta_j = \Delta_{j0} + \sum_{i=1}^n X_i \overline{\Delta_{ji}}$$

Les intégrales pouvant être calculées séparément et on peut poser :

$$S_{ik} = \int_{\Gamma} \sum_{j=1}^m \frac{\overline{\Delta_{ji}}}{\lambda_j} \overline{\Delta_{jk}} ds$$

et

$$U_k = - \int_{\Gamma} \sum_{j=1}^m \frac{\Delta_{j0} \Delta_{jk}}{\lambda_j} ds$$

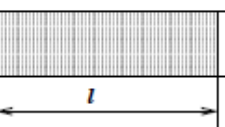
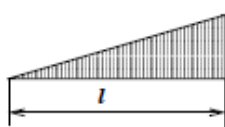
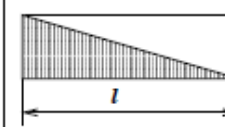
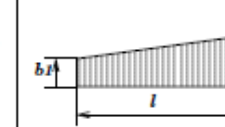
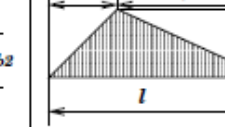
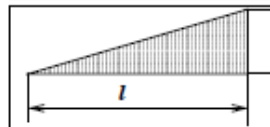
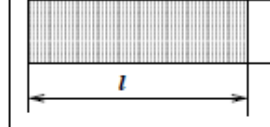
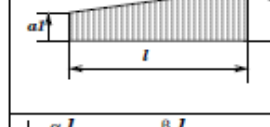
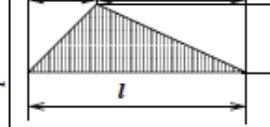
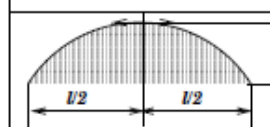
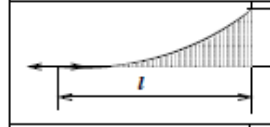
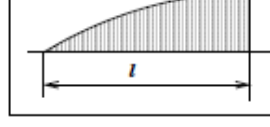
U_k est homogène à un déplacement si X_k est un effort et à une rotation si X_k est un moment. S_{ik} est une souplesse

on a donc :

$$\begin{bmatrix} S_{11} & S_{12} & \dots etc... & S_{1n} \\ S_{12} & S_{22} & \dots etc... & S_{2n} \\ & & \dots etc... & \\ S_{1n} & S_{2n} & \dots etc... & S_{nn} \end{bmatrix} \begin{bmatrix} X_1 \\ X_2 \\ \dots etc... \\ X_n \end{bmatrix} = \begin{bmatrix} U_1 \\ U_2 \\ \dots etc... \\ U_n \end{bmatrix}$$

TABLE 1. Valeurs de $\int_0^l M_a M_b dx$

TABLE 1. Valeurs de $\int_0^l M_a M_b dx$

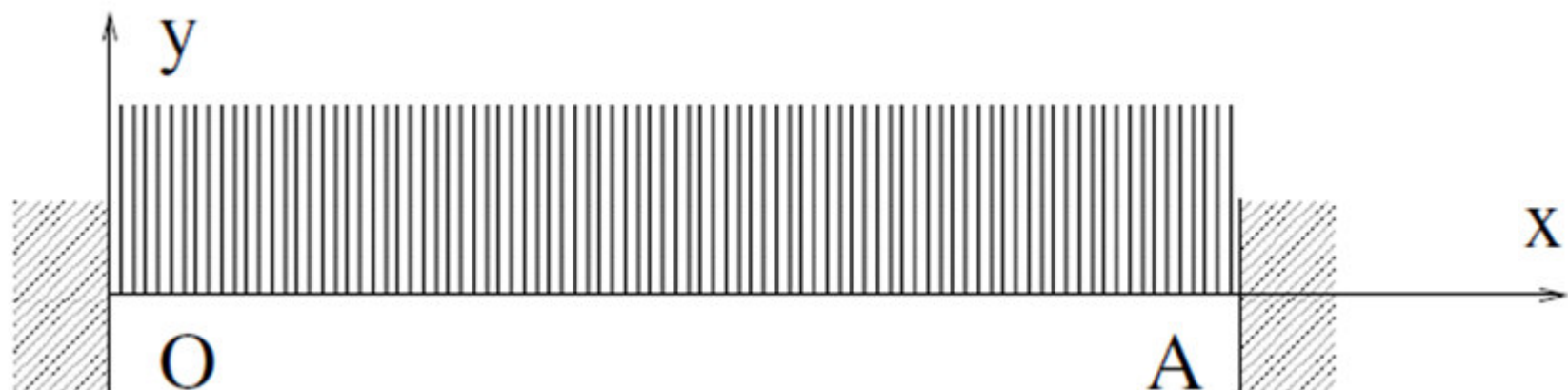
| X |  |  |  |  |  |
|---|---|--|---|---|---|
|  | $\frac{abl}{2}$ | $\frac{abl}{3}$ | $\frac{abl}{6}$ | $\frac{al}{6} (b_1 + 2b_2)$ | $\frac{abl}{6} (1 + \alpha)$ |
|  | abl | $\frac{abl}{2}$ | $\frac{abl}{2}$ | $\frac{al}{2} (b_1 + b_2)$ | $\frac{abl}{2}$ |
|  | $\frac{bl}{2} (a_1 + a_2)$ | $\frac{bl}{6} (a_1 + 2a_2)$ | $\frac{bl}{6} (2a_1 + a_2)$ | $\frac{l}{6} \frac{[2a_1b_1 + a_1b_2 + a_2b_1 + 2a_2b_2]}{a_2b_1 + 2a_2b_2}$ | $\frac{bl}{6} [(1 + \beta)a_1 + (1 + \alpha)a_2]$ |
|  | $\frac{abl}{2}$ | $\frac{abl}{6}(1 + \alpha)$ | $\frac{abl}{6}(1 + \beta)$ | $\frac{al}{6} [(1 + \beta)b_1 + (1 + \alpha)b_2]$ | $\frac{abl}{3}$ |
|  | $\frac{2abl}{3}$ | $\frac{abl}{3}$ | $\frac{abl}{3}$ | $\frac{al}{3} (b_1 + b_2)$ | $\frac{abl}{3} (1 + \alpha\beta)$ |
|  | $\frac{abl}{3}$ | $\frac{abl}{4}$ | $\frac{abl}{12}$ | $\frac{al}{12} (b_1 + 3b_2)$ | $\frac{abl}{12} (1 + \alpha + \alpha^2)$ |
|  | $\frac{2abl}{3}$ | $\frac{5abl}{12}$ | $\frac{abl}{4}$ | $\frac{al}{12} (3b_1 + 5b_2)$ | $\frac{abl}{12} (5 - \beta - \beta^2)$ |

Méthode des forces

Applications

App1: Poutre bi-encastree

C'est le cas d'une poutre bi-encastree de longueur L sollicitée par une charge uniformément répartie q. On fera l'hypothèse d'un calcul plan, et on négligera l'énergie due à l'effort tranchant. $L = 4\text{m}$ $q = -50\text{kN/m}$. Le problème est hyperstatique d'ordre 3.



1. Décomposition :

Le choix du problème isostatique associé est libre, il est néanmoins conseillé de choisir une décomposition qui facilitera la suite des calculs. Ici on fait le choix de garder un encastrement et de décomposer le second en inconnues hyperstatiques (tableau 1).

| Problème | Représentation |
|---------------------------------|----------------|
| Complet: Pb | |
| Isostatique Pb_0 | |
| Associé à Xa: \overline{Pb}_1 | |
| Associé à Ya: \overline{Pb}_2 | |
| Associé à Ma: \overline{Pb}_3 | |

TABLE 1. Exemple de décomposition d'un problème hyperstatique

2. Résolution des problèmes isostatiques :

Les problèmes sont classiques et ne posent aucune difficulté. Comme l'énergie de cisaillement est négligée, il suffit de calculer le moment fléchissant et l'effort normal.

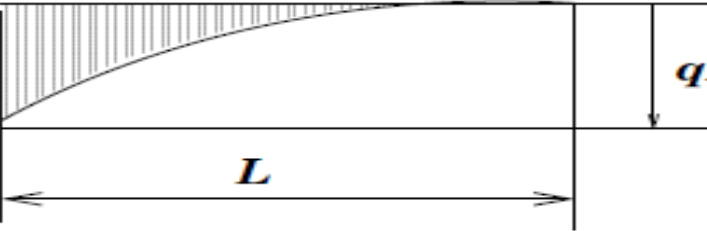
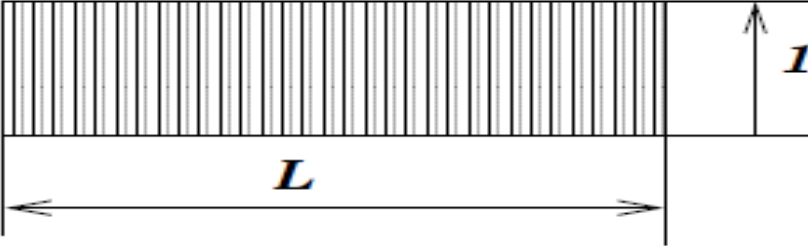
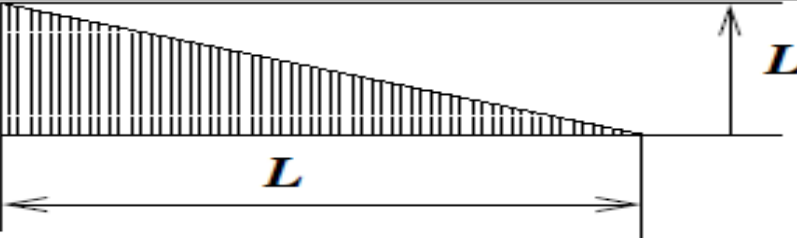
| | Moment Fléchissant | Effort Normal |
|--------|---|--|
| Pb_0 |  $M_0 = \frac{q(L-X)^2}{2}$ | $N_0 = 0$ |
| Pb_1 | $\overline{M_1} = 0$ |  $\overline{N_1} = 1$ |
| Pb_2 |  $\overline{M_2} = L - X$ | $\overline{N_2} = 0$ |
| Pb_3 |  $\overline{M_3} = 1$ | $\overline{N_3} = 0$ |

TABLE 2. Calcul des sollicitations.

3. Calcul des intégrales.

EI_{Gz} est constant sur la poutre et peut être sorti de toutes les intégrales qui peuvent être calculées à l'aide du tableau 1

$$\int_{\Gamma} M_0 \overline{M_1} ds = 0$$

$$\int_{\Gamma} M_0 \overline{M_2} ds = \frac{qL^4}{8}$$

$$\int_{\Gamma} M_0 \overline{M_3} ds = \frac{qL^3}{6}$$

$$\int_{\Gamma} \overline{M_2 M_2} ds = \frac{L^3}{3^2}$$

$$\int_{\Gamma} \overline{M_2 M_3} ds = \frac{L^2}{2}$$

$$\int_{\Gamma} \overline{M_3 M_3} ds = L$$

$$\int_{\Gamma} \overline{N_1 N_1} ds = L$$

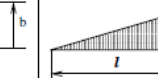
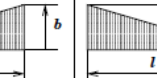
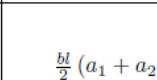
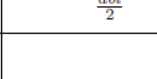
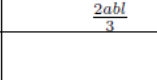
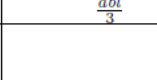
| | | | |
|---|---|---|---|
| X |  |  |  |
|  | $\frac{abl}{2}$ | $\frac{abl}{3}$ | $\frac{abl}{6}$ |
|  | abl | $\frac{abl}{2}$ | $\frac{abl}{2}$ |
|  | $\frac{bl}{2} (a_1 + a_2)$ | $\frac{bl}{6} (a_1 + 2a_2)$ | $\frac{bl}{6} (2a_1 + a_2)$ |
|  | $\frac{abl}{2}$ | $\frac{abl}{6} (1 + \alpha)$ | $\frac{abl}{6} (1 + \beta)$ |
|  | $\frac{2abl}{3}$ | $\frac{abl}{3}$ | $\frac{abl}{3}$ |
|  | $\frac{abl}{3}$ | $\frac{abl}{4}$ | $\frac{abl}{12}$ |
|  | $\frac{2abl}{3}$ | $\frac{5abl}{12}$ | $\frac{abl}{4}$ |

TABLE 1. Valeurs de $\int_0^l M_a M_b dx$

4. Calcul des inconnues hyperstatiques.

Les termes de la matrice de souplesse sont calculés à partir des expressions des moments et des efforts normaux.

$$S_{11} = \frac{1}{EA} \int_{\Gamma} \overline{N_1 N_1} ds + \frac{1}{EI_{Gz}} \int_{\Gamma} \overline{M_1 M_1} ds = \frac{L}{EA}$$

$$S_{22} = \frac{1}{EA} \int_{\Gamma} \overline{N_2 N_2} ds + \frac{1}{EI_{Gz}} \int_{\Gamma} \overline{M_2 M_2} ds = \frac{L^3}{3EI_{Gz}}$$

Les autres termes de la matrice ne comportent que des moments. Comme $N_0 = 0$, le second membre ne comporte que des termes en moment.

Les intégrales peuvent être calculées à l'aide du tableau 1

$$\begin{bmatrix} \frac{L}{EA} & 0 & 0 \\ 0 & \frac{L^3}{3EI_{Gz}} & \frac{L^2}{2EI_{Gz}} \\ 0 & \frac{L^2}{2EI_{Gz}} & \frac{L}{EI_{Gz}} \end{bmatrix} \begin{bmatrix} X_A \\ Y_A \\ M_A \end{bmatrix} = \begin{bmatrix} 0 \\ -\frac{qL^4}{8EI_{Gz}} \\ -\frac{qL^3}{6EI_{Gz}} \end{bmatrix}$$

$$\begin{cases} X_A = 0 \\ (1) : 2L^3Y_A + 3L^2M_A = -\frac{3qL^4}{4} \\ (2) : L^2Y_A + 2LM_A = -\frac{qL^3}{3} \end{cases}$$

$$\begin{cases} 2 * (1) - 3L * (2) \rightarrow: L^3Y_A = -\frac{qL^4}{2} \\ 3 * (1) - 2L * (2) \rightarrow: -L^2M_A = -\frac{qL^4}{12} \end{cases} \text{ soit : } \begin{cases} Y_A = -\frac{qL}{2} \\ M_A = \frac{qL^2}{12} \end{cases}$$

Solution du problème hyperstatique.

Pour toute variable Δ du problème hyperstatique on a :

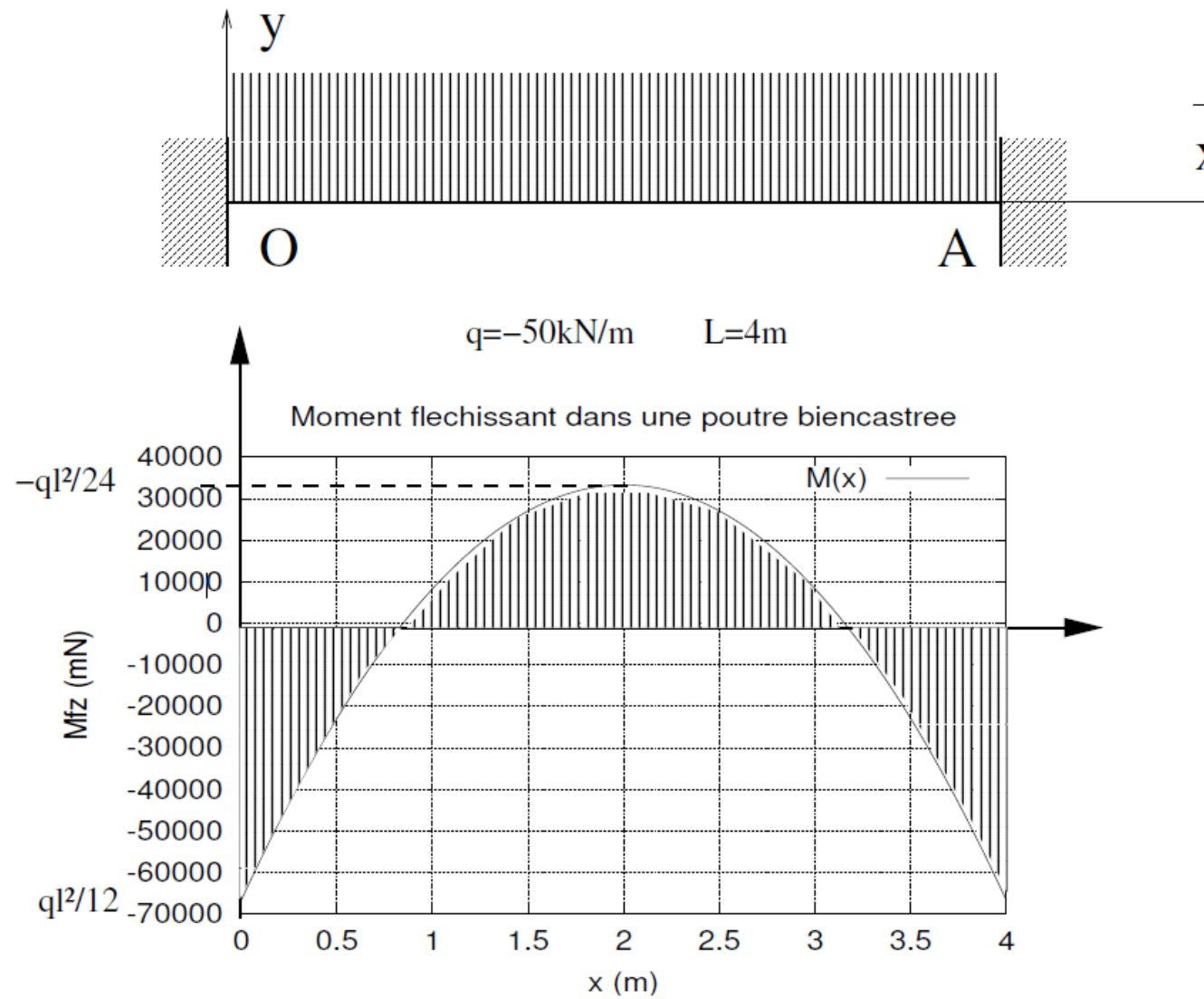
$$\Delta = \Delta_0 + X_A \overline{\Delta_1} + Y_A \overline{\Delta_1} + M_A \overline{\Delta_3}$$

$$N = 0$$

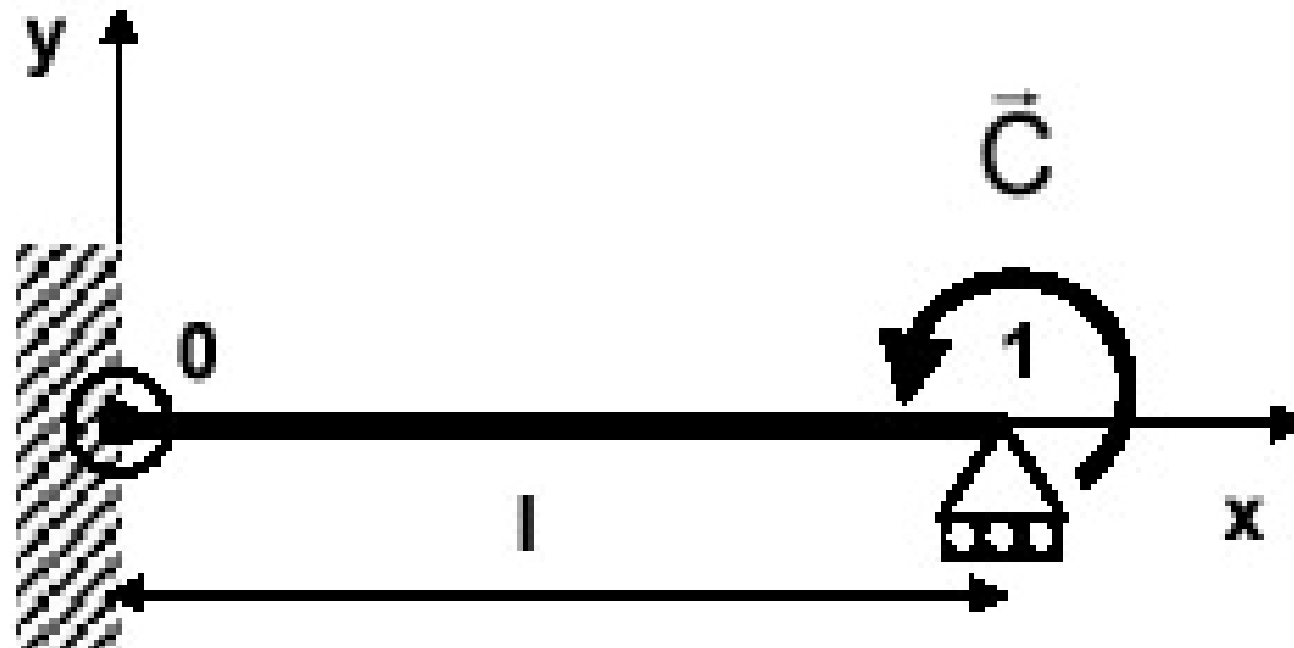
$$M = \frac{q(L-x)^2}{2} - \frac{qL}{2} (L-x) + \frac{qL^2}{12}$$

$$M = -\frac{qx(L-x)}{2} + \frac{qL^2}{12}$$

Figure. moment fléchissant



App2: méthode des forces

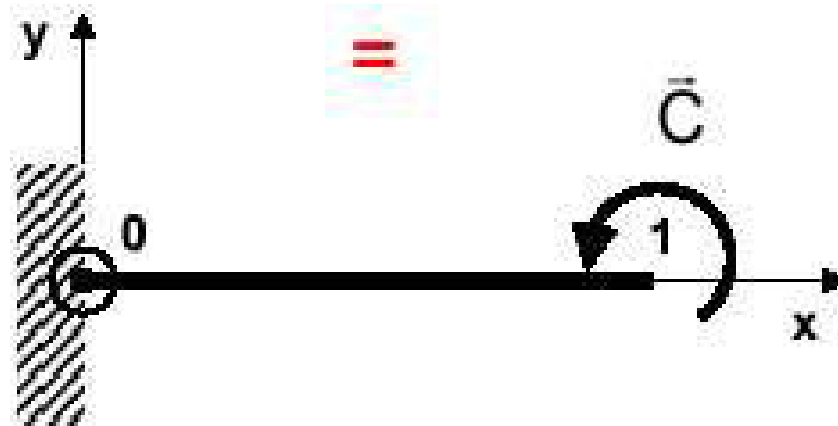


Problème réel (hyperstatique)

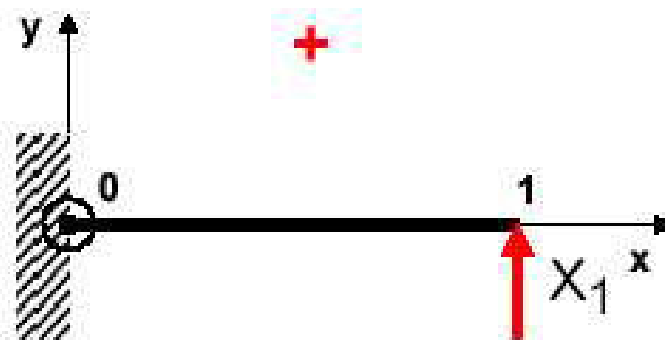
Problème isostatique associé : structure soumise à la charge extérieure réelle.

Problème

« 0 »



Problème isostatique associé : Structure soumise à l'effort hyperstatique X_1 . Problème « 1 »



Condition de la liaison en 1:

$$\Delta_1 = 0$$

$$\Delta_1 = \Delta_{10} + \Delta_{11}$$

Δ_{10} : déplacement en 1 dans le sens de X, dû à la charge extérieure réelle
(Problème « 0 »)

Δ_{11} : déplacement en 1 dans le sens de X, dû à la charge X_1 (Problème « 1 »).

On peut écrire:

$$\Delta_{11} = X_1 \delta_{11}$$

δ_{11} : déplacement en 1 dans le sens de X, dû à la charge unitaire $X_1=1$
(Problème « 1 »).

$$X_1 = \frac{\Delta_{10}}{\delta_{11}}$$

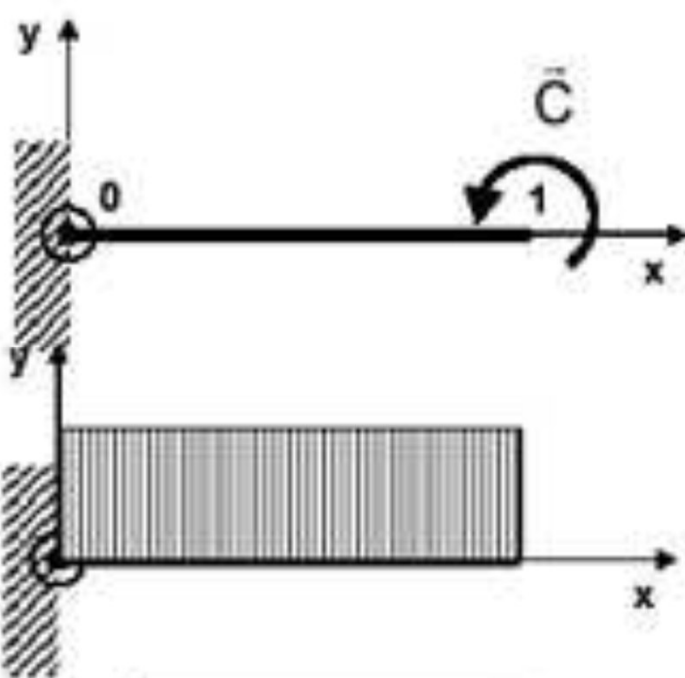
Pour calculer Δ_{10} et δ_{11} on peut utiliser le théorème de la charge unitaire.

$$\Delta_{10} = \int_0^l \frac{M_0 M_1}{EI} dx$$

$$\delta_{11} = \int_0^l \frac{M_1 M_1}{EI} dx$$

M_0 : Moment fléchissant dû au chargement extérieur
(Problème 0).

M_1 : Moment fléchissant dû à $X_i=1$
(Problème 1).



$M_0 :$

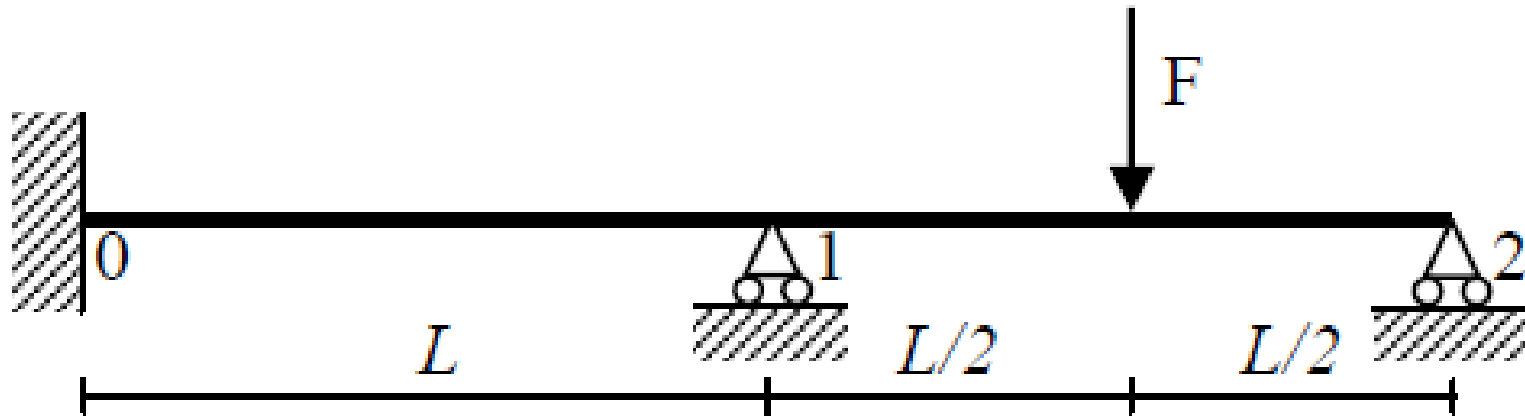
$$\Delta_{10} = \frac{C l^2}{2 E I}$$

$M_1 :$

$$\delta_{11} = \frac{l^3}{3 E I}$$

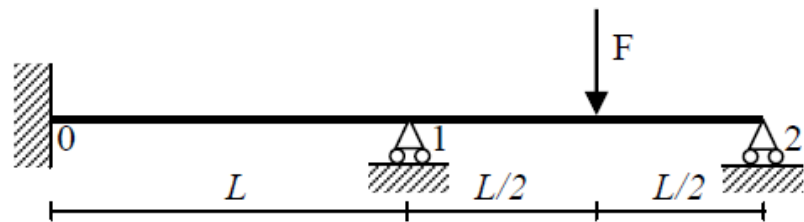
$$x_1 = -\frac{3C}{2l}$$

App3: méthode des forces

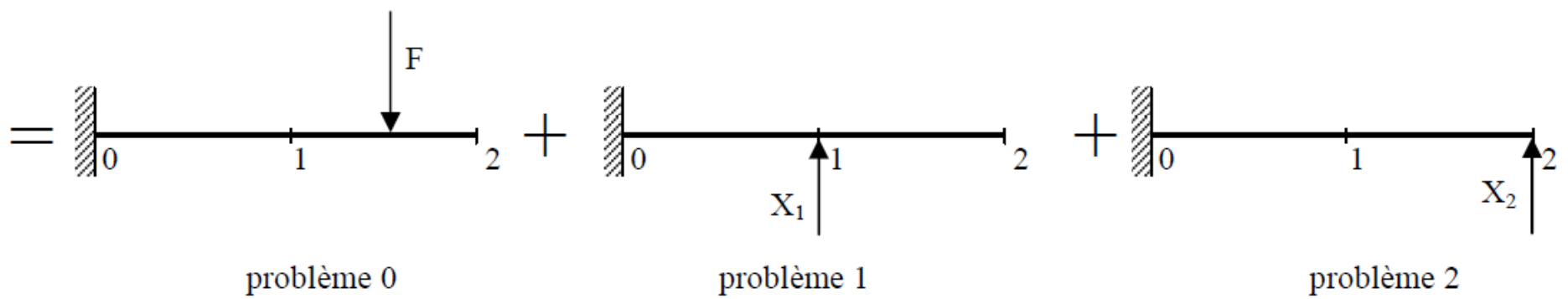


Ce problème est équivalent à la superposition de $(h+1)$ problèmes isostatiques associés à h conditions cinématiques.

Soient X_1 et X_2 les réactions aux appuis en 1 et 2.



=



Conditions cinématiques

$$\Delta_1 = \Delta_{10} + X_1 \delta_{11} + X_2 \delta_{12} = 0$$

$$\Delta_2 = \Delta_{20} + X_1 \delta_{21} + X_2 \delta_{22} = 0$$

Δ_{i0} flèche en i ($i=1,2$) dans le pb 0

δ_{ij} flèche en i ($i=1,2$) dans le pb j pour une force $X_i=1$

Après calculs ou par utilisation d'un formulaire :

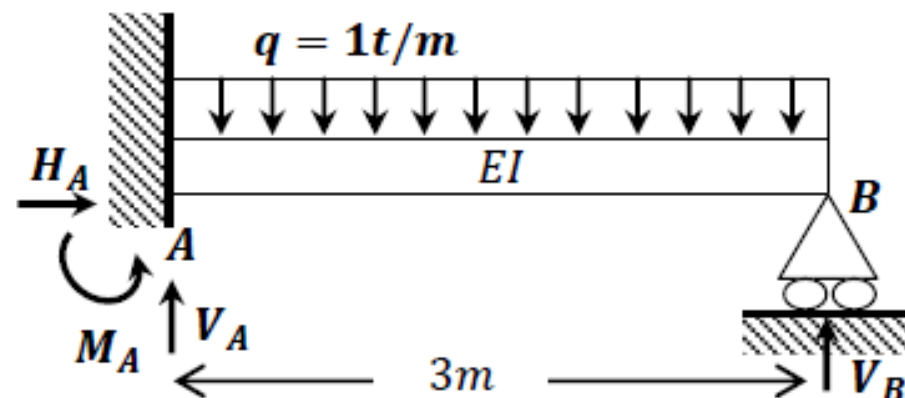
$$\Delta_{10} = \frac{-7FL^3}{12EI}, \quad \Delta_{20} = \frac{-27FL^3}{16EI}, \quad \delta_{11} = \frac{L^3}{3EI}, \quad \delta_{22} = \frac{8L^3}{3EI},$$

$$\delta_{21} = \delta_{12} = \frac{5L^3}{6EI} \text{ d'où} \quad X_1 = \frac{43}{56} F \text{ et } X_2 = \frac{11}{28} F$$

App4: méthode des forces

On étudie la poutre représentée sur la figure suivante. Celle-ci est encastrée en A, repose sur un appui simple en B et soumise à une charge uniformément répartie sur toute la longueur de la poutre. La rigidité EI est constante.

On demande de tracer le diagramme des moments fléchissants.

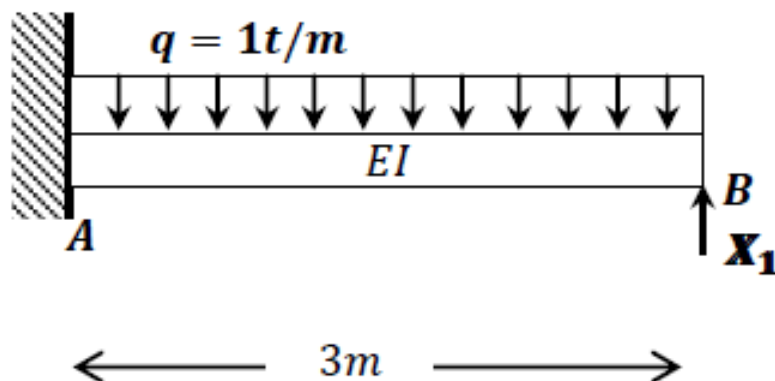


On détermine le degré d'hyperstatique (le nombre d'inconnus) : 1

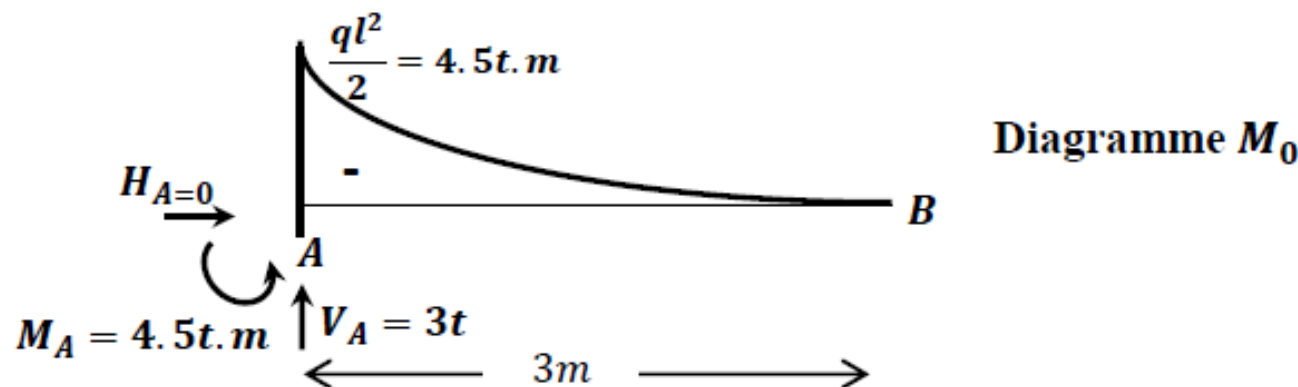
- On écrit le système d'équations canoniques :

$$\delta_{11}X_1 + \delta_{10} = 0$$

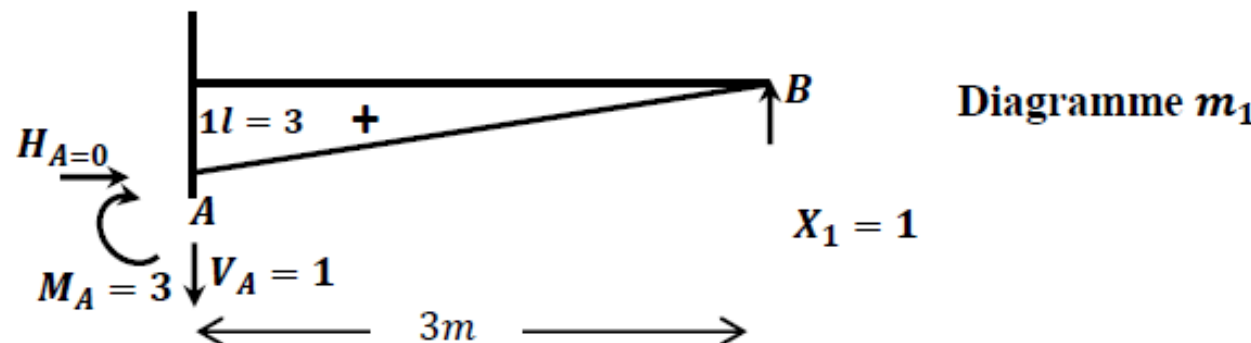
- Choix du système de base (fondamental)



- On Trace l'épure unitaire (diagramme) (m_1) et celui des charges extérieures (M_0)
 - Etat 0 : Charges extérieures $\neq 0$ et $X_1 = 0$



- Etat 1 : Charges extérieures =0 et $X_1 = 1$



- Calculer les déplacements δ_{ij} .

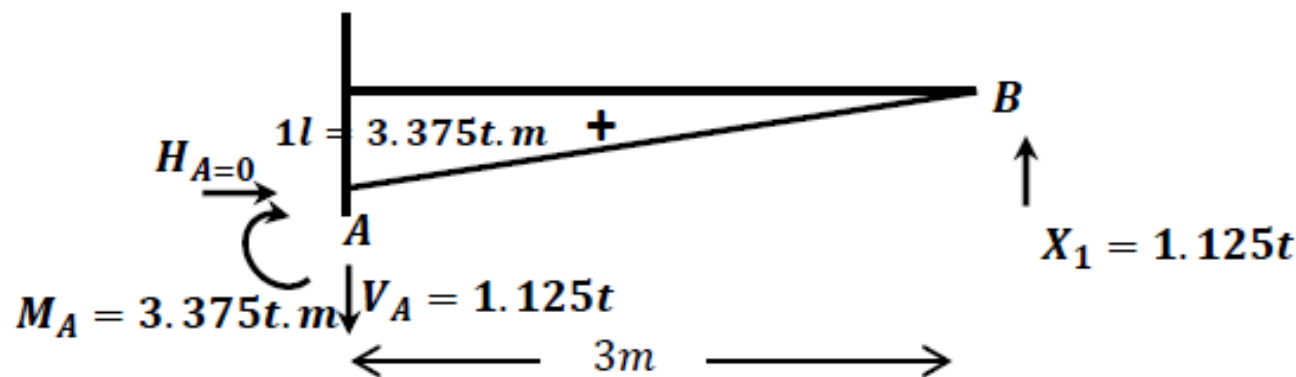
$$\delta_{11} = \frac{l^3}{3EI} = \frac{9}{EI}, \quad \delta_{10} = -\frac{ql^4}{8EI} = -\frac{10.125}{EI}$$

$$\frac{9}{EI}X_1 - \frac{10.125}{EI} = 0$$

A partir de cette équation, on tire : $X_1 = 1.125t$

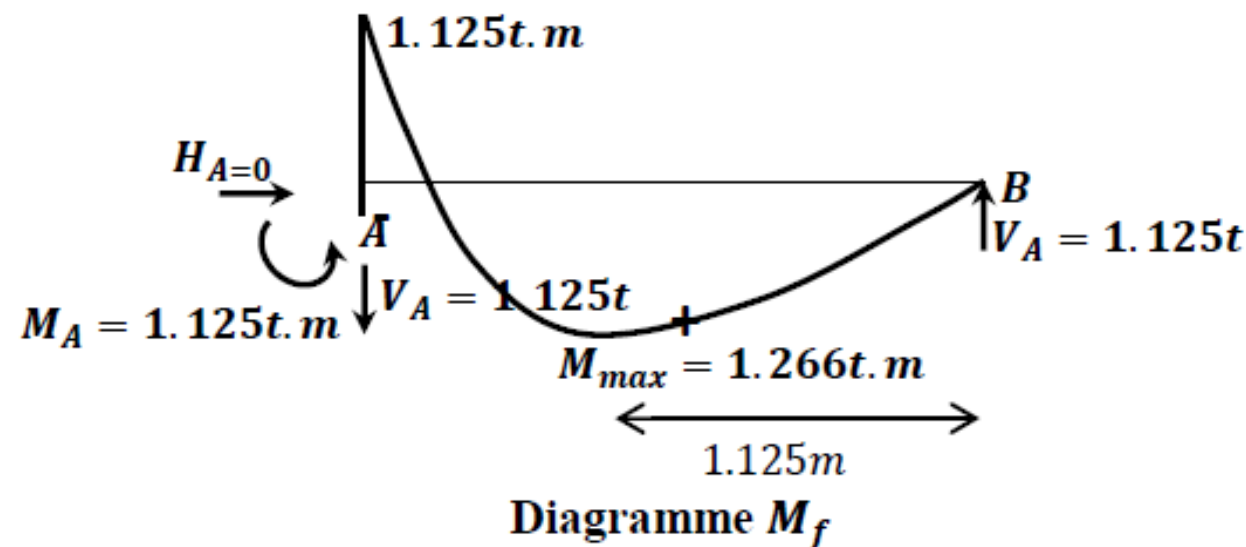
- Correction de l'épure unitaire :

Le diagramme corrigé $m_1^* = m_1 X_1$



- On Trace le diagramme final des moments fléchissants de l'état réel par superposition de l'épure unitaire m_1^* avec le diagramme M_0 .

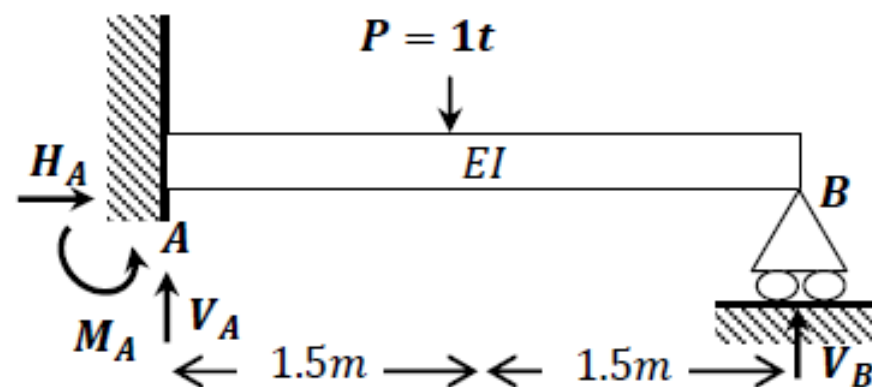
$$M_f = M_0 + m_1^*$$



App5: méthode des forces

On étudie la poutre représentée sur la figure suivante. Celle-ci est encastrée en A, repose sur un appui simple en B, est soumise à une charge constante de 1t. EI est constante.

On demande de tracer le diagramme des moments fléchissants et de l'effort tranchant.

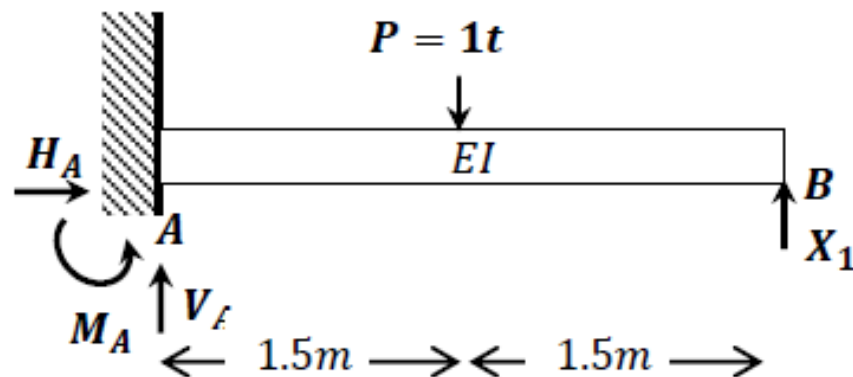


- On détermine le degré d'hyperstatique (le nombre d'inconnus) : 1

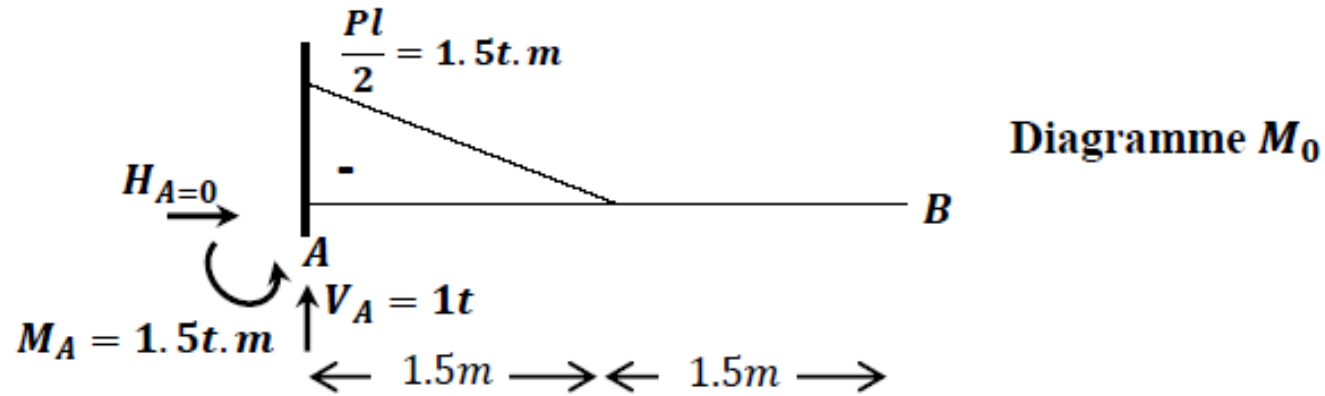
- On écrit le système d'équations canoniques :

$$\delta_{11}^u X_1 + \delta_{10} = 0$$

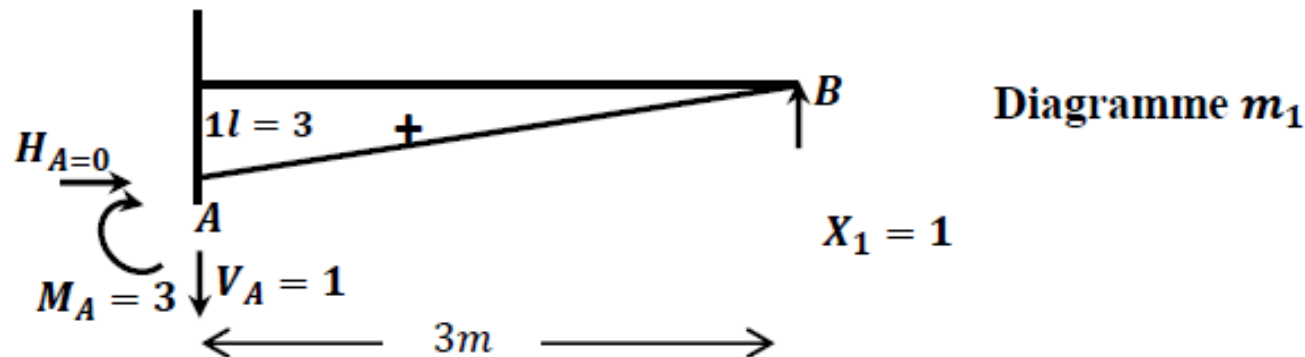
- Choix du système de base (fondamental)



- On Trace le diagramme unitaire (m_1) et celui des charges extérieures (M_0)
 - Etat 0 : Charges extérieures $\neq 0$ et $X_1 = 0$



- Etat 1 : Charges extérieures =0 et $X_1 = 1$



- Calculer les déplacements δ_{ij} .

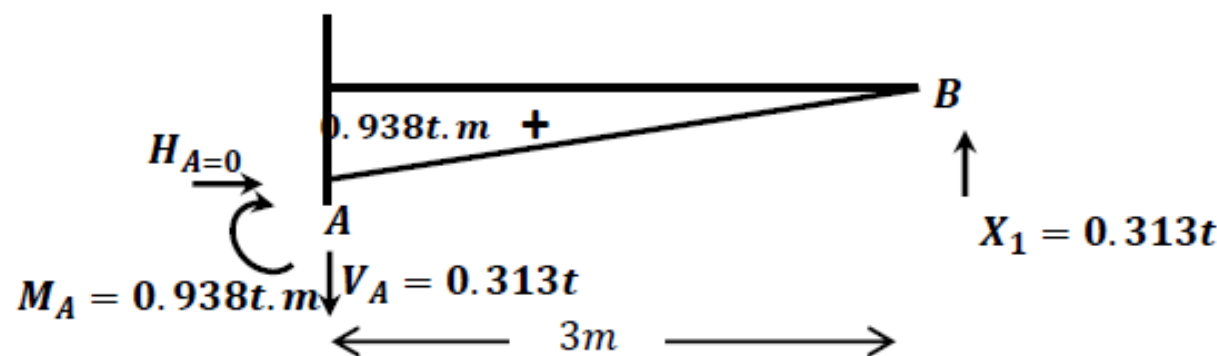
$$\delta_{11} = \frac{l^3}{3EI} = \frac{9}{EI}, \quad \delta_{10} = -\frac{5Pl^3}{48EI} = -\frac{2.813}{EI}$$

$$\frac{9}{EI}X_1 - \frac{2.813}{EI} = 0$$

A partir de cette équation, on tire : $X_1 = 0.313t$

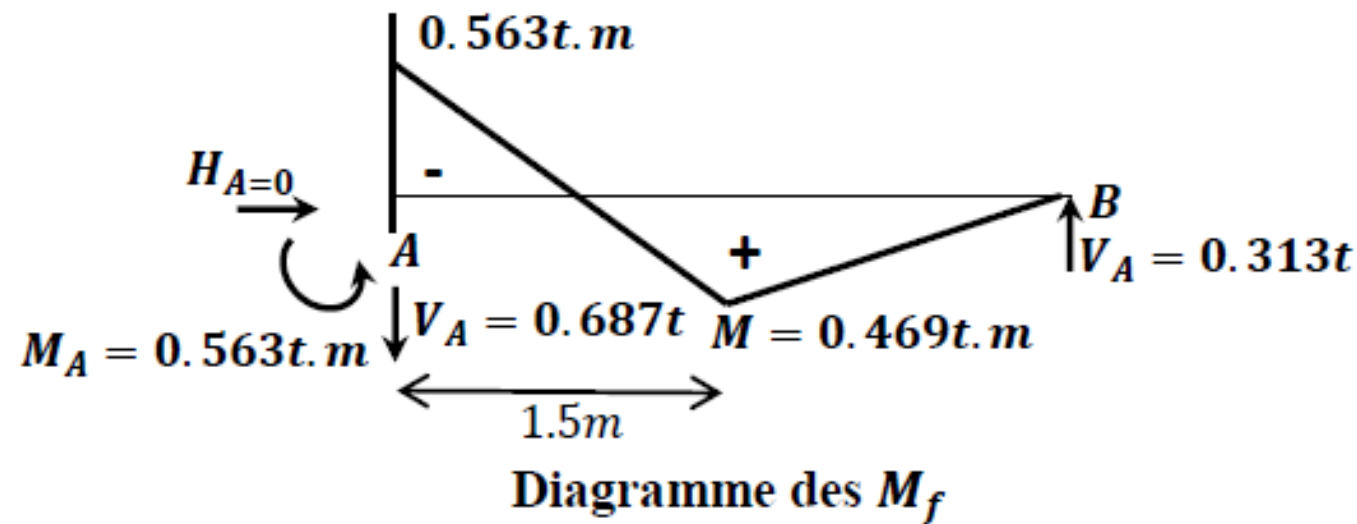
- Correction de diagramme unitaire :

Le diagramme corrigé $m_1^* = m_1 X_1$



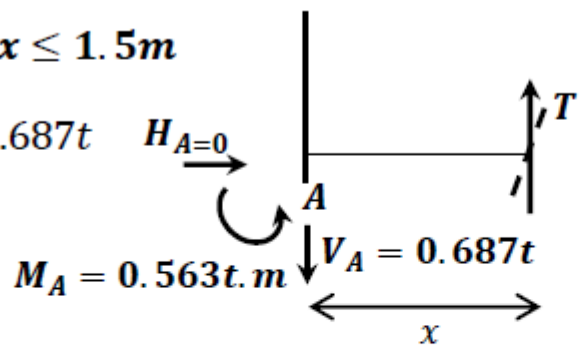
- On Trace le diagramme final des moments fléchissants :

$$M_f = M_0 + m_1^*$$



Section 1-1 $0 \leq x \leq 1.5m$

$$\sum F_V = 0 \Rightarrow T = 0.687t$$



Section 1-1 $1.5 \leq x \leq 3m$

$$\sum F_V = 0 \Rightarrow T = 0.687 - 1 = 0.313t$$

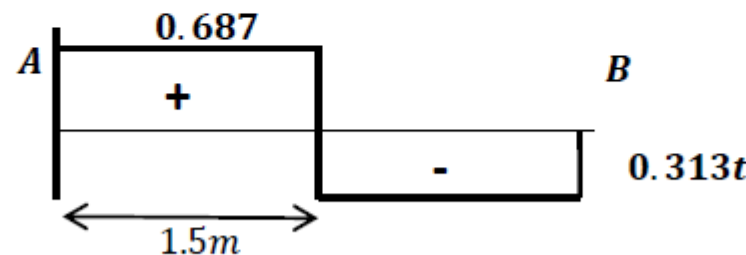
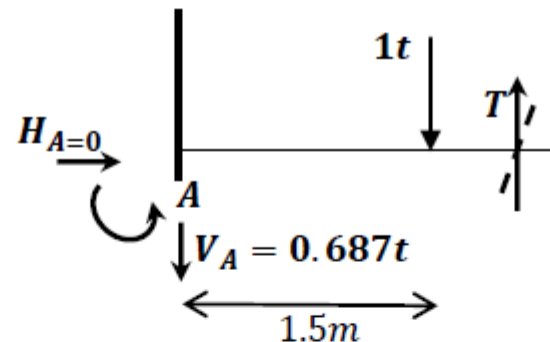
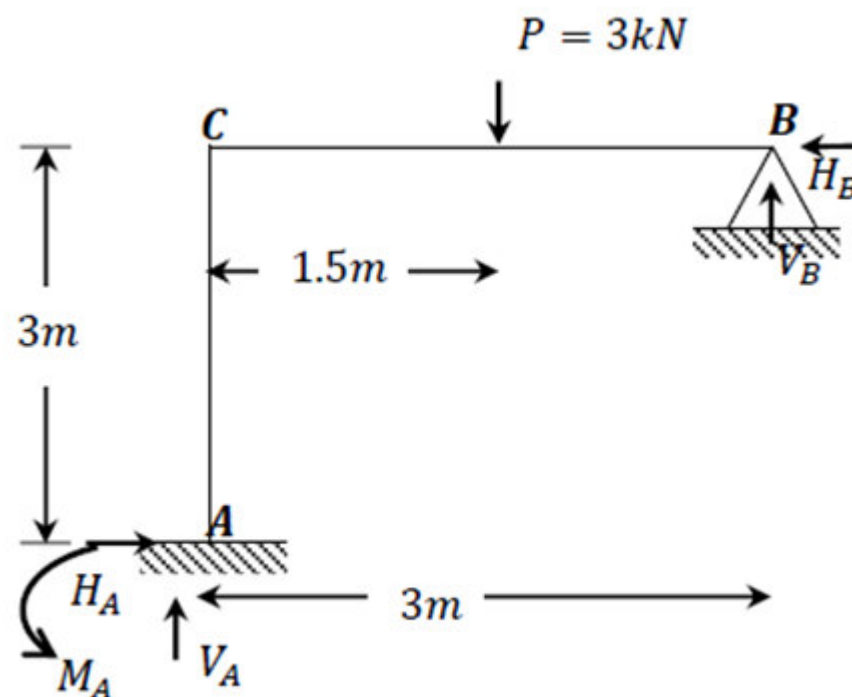


Diagramme de T

App6: méthode des forces

Un portique ACB constitué de poutre et de poteau de rigidité EI en flexion. Tracer les diagrammes des moments fléchissants M_f , des efforts tranchants T et des efforts normaux N .



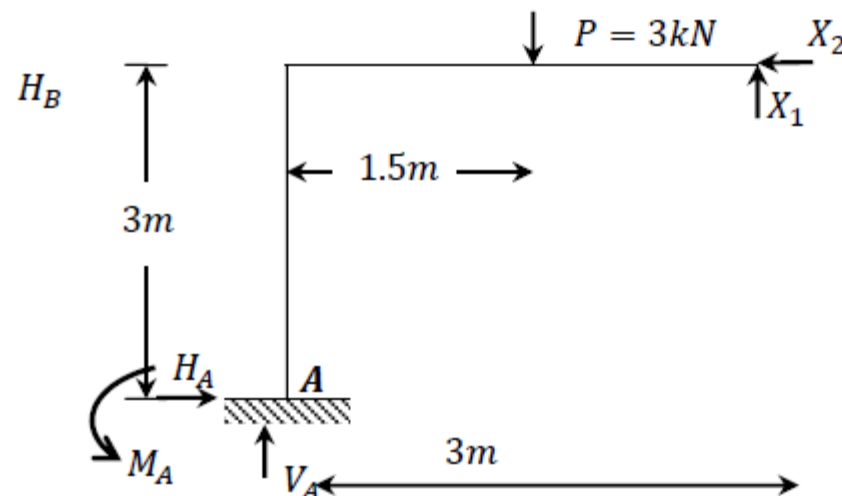
On détermine le degré d'hyperstatique (le nombre d'inconnus) : 2

On écrit le système d'équations canoniques :

$$\begin{cases} \delta_{11}X_1 + \delta_{12}X_2 + \delta_{10} = 0 \\ \delta_{21}X_1 + \delta_{22}X_2 + \delta_{20} = 0 \end{cases}$$

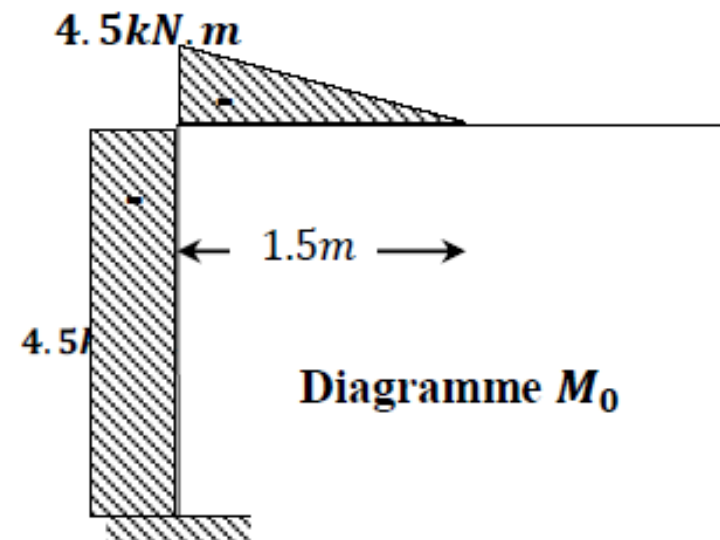
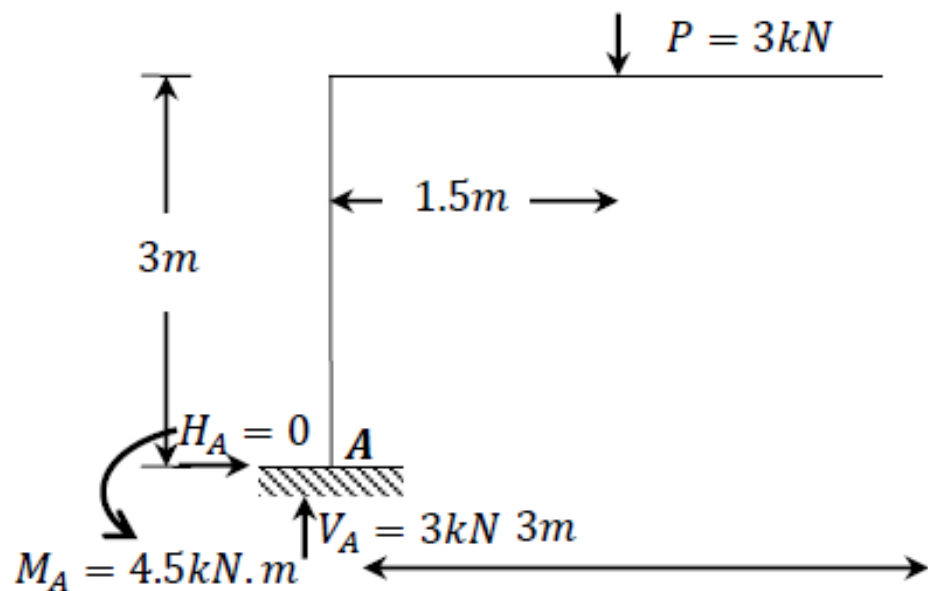
Choix du système de base (fondamental)

La structure initiale (hyperstatique) est transformée en une structure isostatique soumise aux charges extérieures de départ ($P=3kN$) et aux deux forces inconnues (X_1 et X_2)

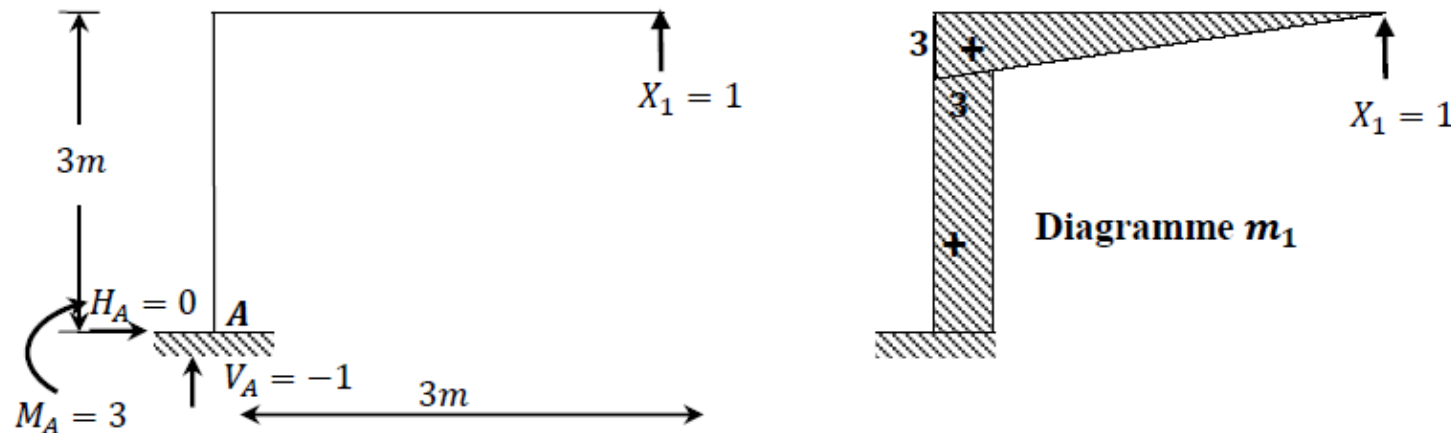


On Trace les diagrammes unitaires (m_1 , m_2) et celui des charges extérieures (M_0)

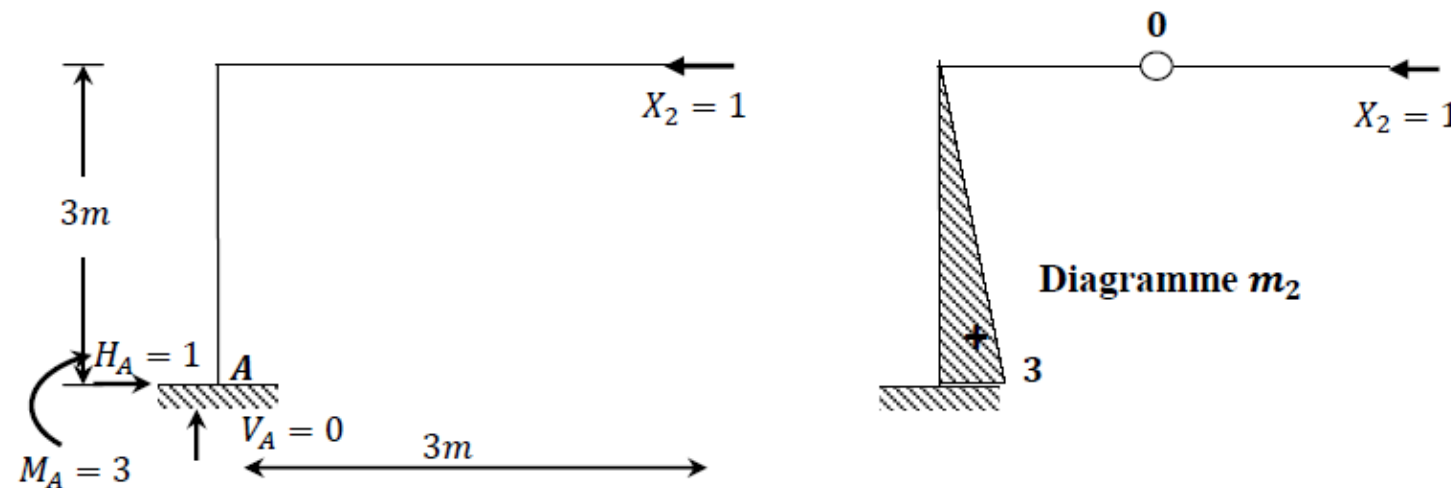
- Etat 0 : Charges extérieures $\neq 0$ et $X_1 = X_2 = 0$



- Etat 1 : Charges extérieures = 0, $X_1 = 1$ et $X_2 = 0$



- Etat 2 : Charges extérieures = 0, $X_1 = 1$ et $X_2 = 0$



- Calculer des déplacements δ_{ij} .

$$\delta_{ij} = \frac{1}{EI} \int_0^l m_i m_j dx \text{ (Méthode de VERETCHAGUINE)}$$

$$\delta_{11} X_1 + \delta_{12} X_2 + \delta_{10} = 0$$

$$\delta_{21} X_1 + \delta_{22} X_2 + \delta_{20} = 0$$

- Les coefficients δ_{11} et δ_{21} sont obtenus en appliquant au système de base la sollicitation unitaire $X_1 = 1$.
- Les coefficients δ_{12} et δ_{22} sont obtenus en appliquant au système de base la sollicitation unitaire $X_2 = 1$.
- Les coefficients δ_{10} et δ_{20} se calculent sous l'effet des charges extérieures (ici la force $P=3\text{kN}$) appliquées au système de isostatique de base.
- Les diagrammes (m_1 ; m_2 et M_0) serviront au calcul de ces coefficients.

On trouve,

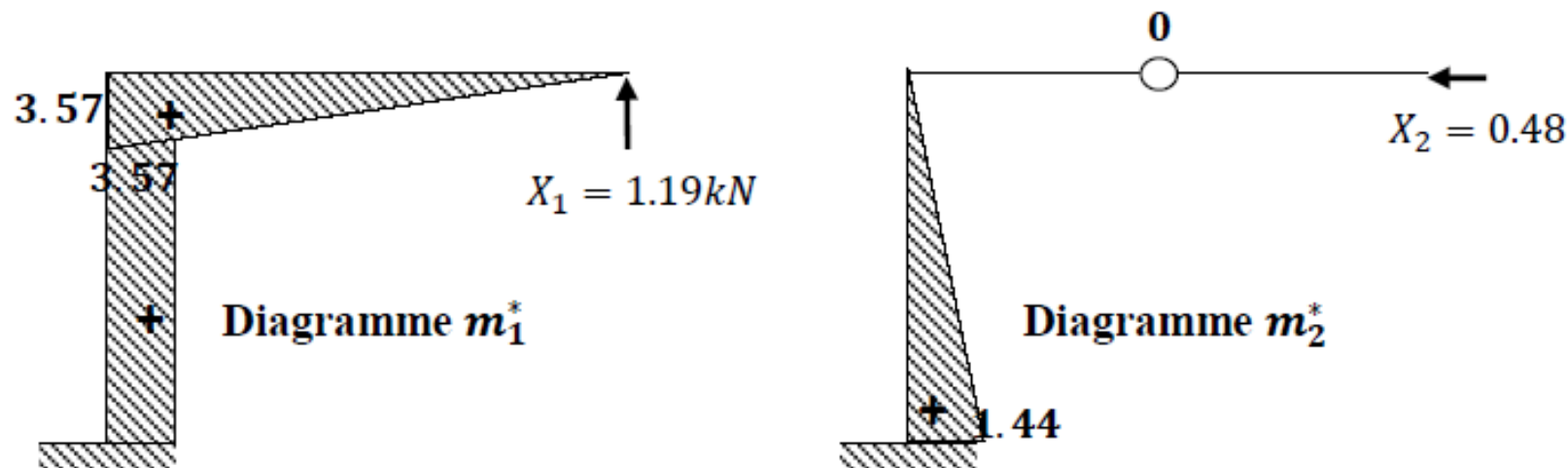
$$\begin{aligned}\delta_{11} &= \frac{36}{EI}, & \delta_{12} = \delta_{21} &= \frac{13.5}{EI}, & \delta_{22} &= \frac{9}{EI} \\ \delta_{10} &= -\frac{48.94}{EI} & \text{et} & & \delta_{20} &= -\frac{20.25}{EI}\end{aligned}$$

$$\begin{cases} \frac{36}{EI}X_1 + \frac{13.5}{EI}X_2 - \frac{48.94}{EI} = 0 \\ \frac{13.5}{EI}X_1 + \frac{9}{EI}X_2 - \frac{20.25}{EI} = 0 \end{cases}$$

A partir du système, on trouve :

$$\begin{cases} X_1 = 1.19kN \\ X_2 = 0.48kN \end{cases}$$

- Correction des épures unitaires
 - Le diagramme corrigé $m_1^* = m_1 X_1$
 - Le diagramme corrigé $m_2^* = m_2 X_2$



- Le diagramme final des moments fléchissants :

$$M_f = M_0 + m_1^* + m_2^*$$

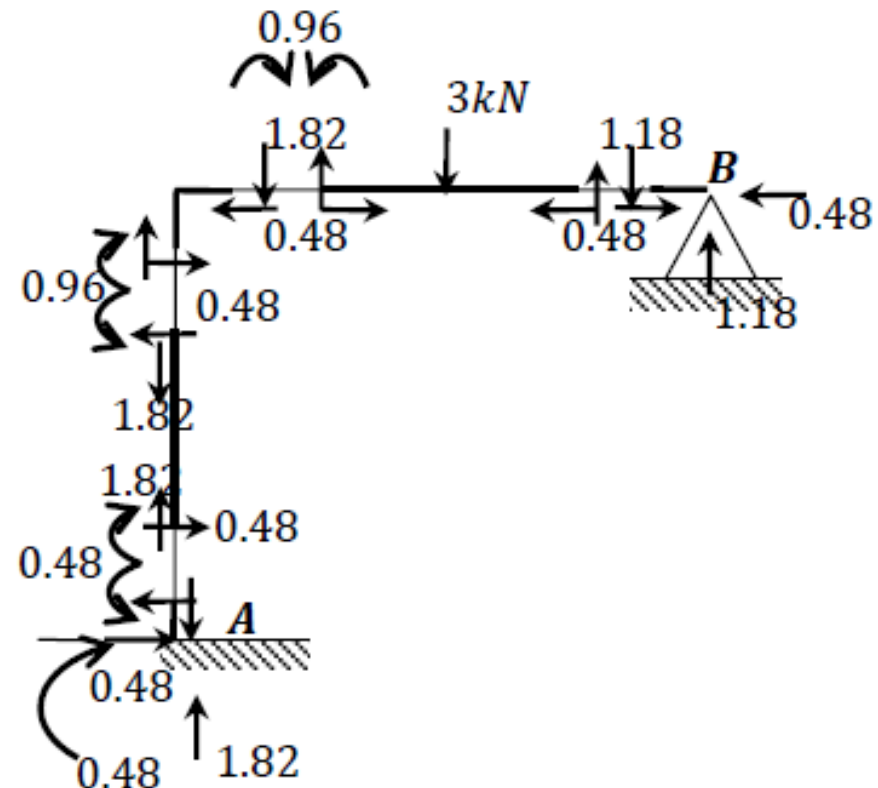
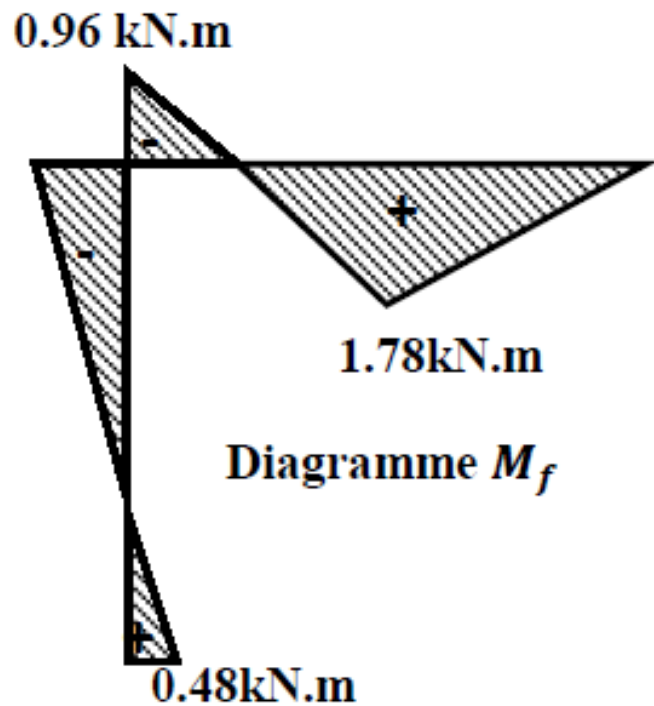


Diagramme de l'effort tranchant

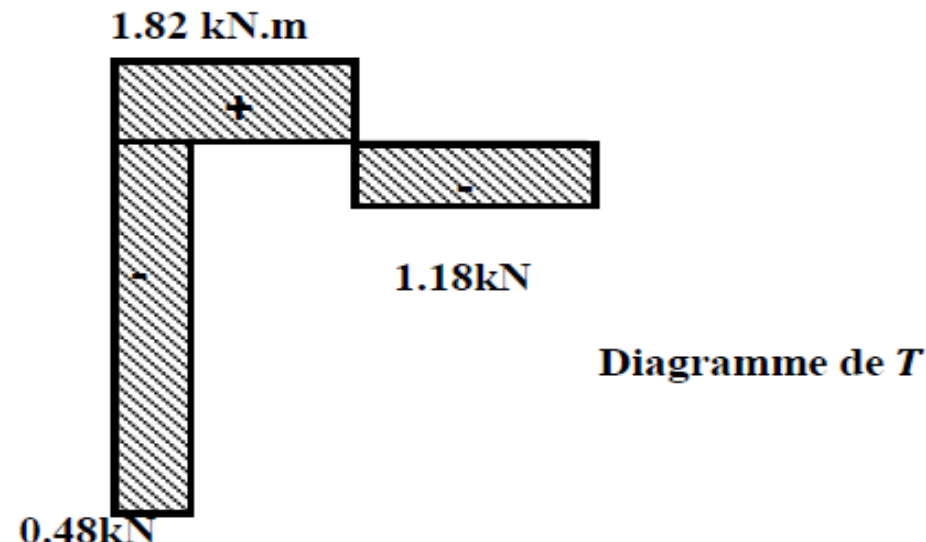


Diagramme de T

Diagramme de l'effort normal (N)

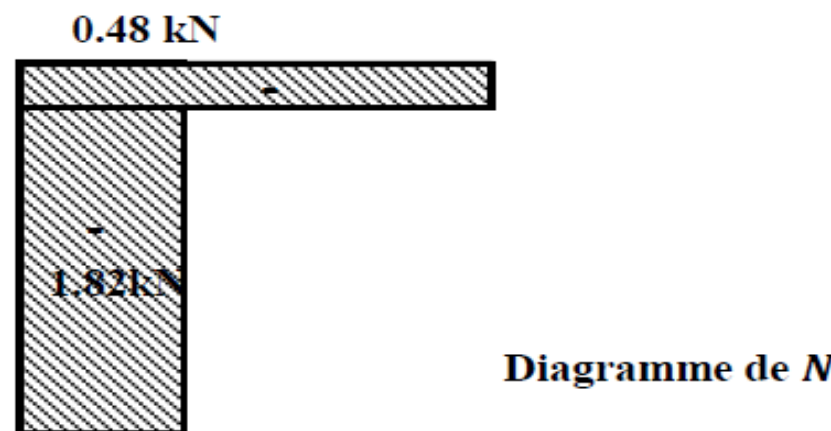
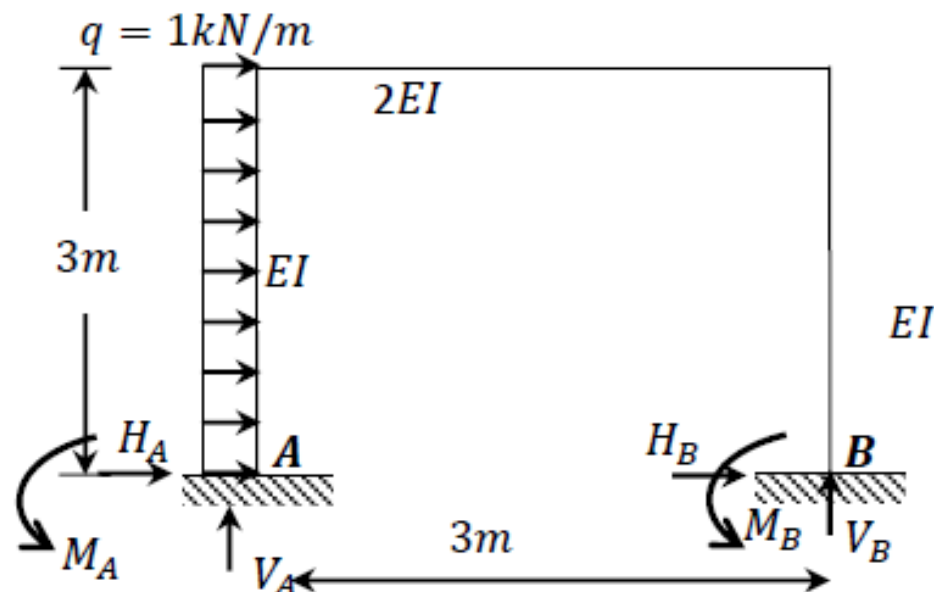


Diagramme de N

App7: méthode des forces

Un portique constitué de deux poteaux et une poutre. Tracer le diagramme des moments fléchissants.



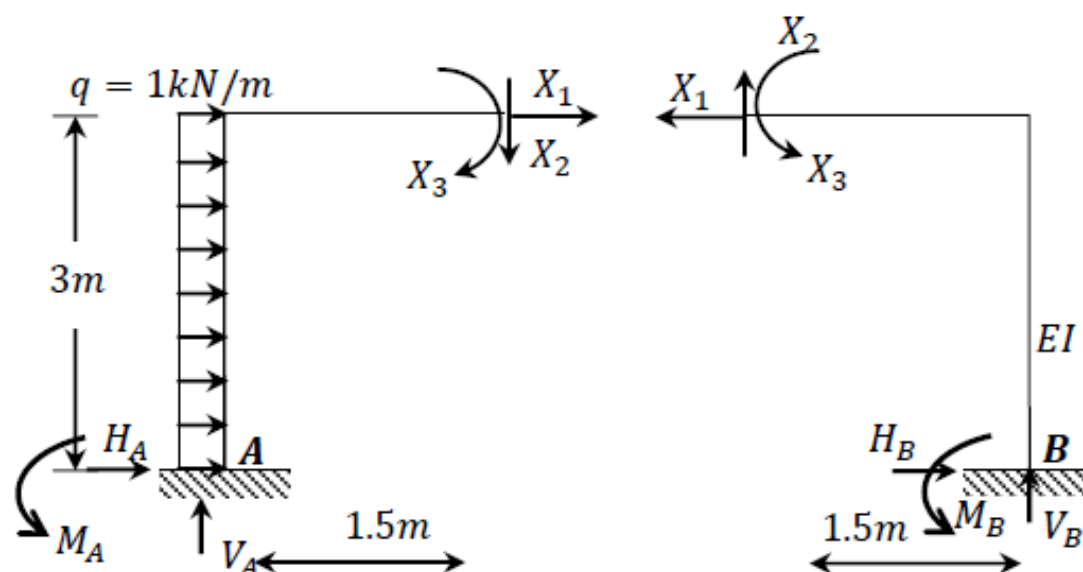
On détermine le degré d'hyperstatique (le nombre d'inconnus) : 3

- On écrit le système d'équations canoniques :

$$\begin{cases} \delta_{11}X_1 + \delta_{12}X_2 + \delta_{13}X_3 + \delta_{10} = 0 \\ \delta_{21}X_1 + \delta_{22}X_2 + \delta_{23}X_3 + \delta_{20} = 0 \\ \delta_{31}X_1 + \delta_{32}X_2 + \delta_{33}X_3 + \delta_{30} = 0 \end{cases}$$

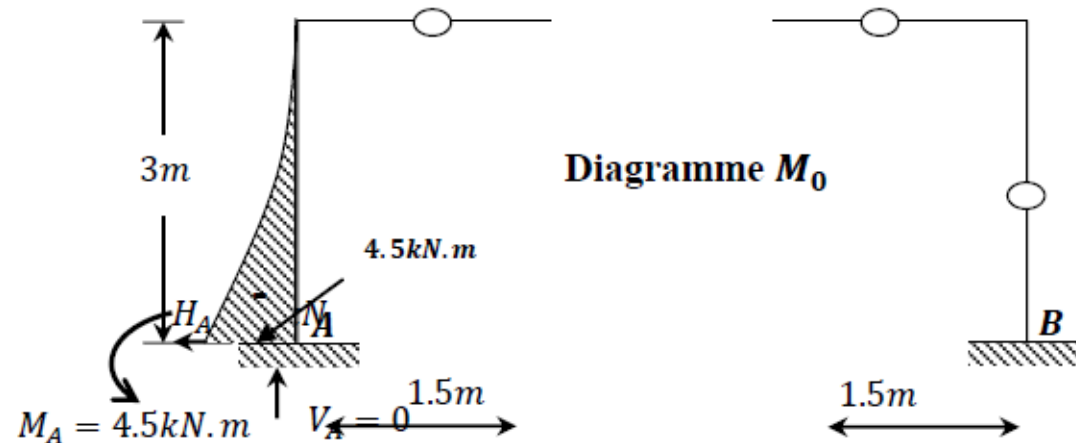
- Choix du système de base (fondamental)

Les inconnus X_1, X_2 et X_3 représentent les efforts internes au milieu de la poutre du cadre.

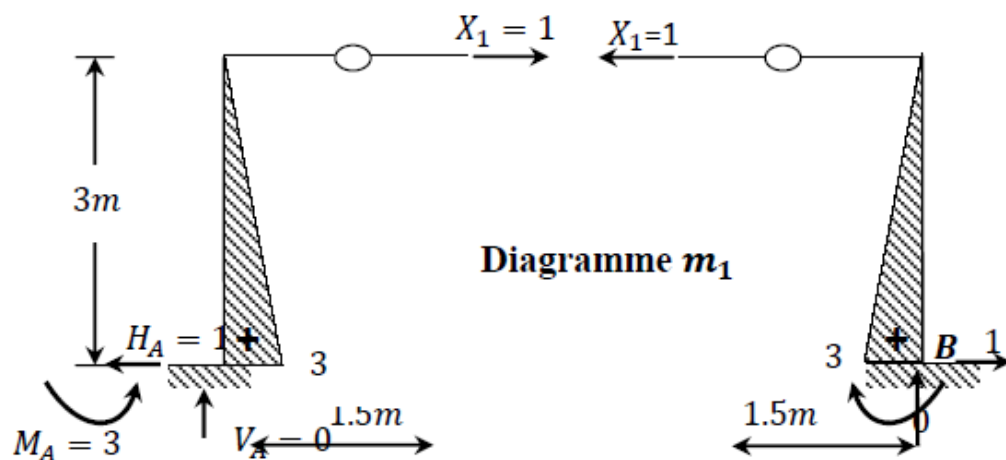


- On Trace les diagrammes unitaires (m_1 ; m_2 ; m_3) et celui des charges extérieures (M_0)

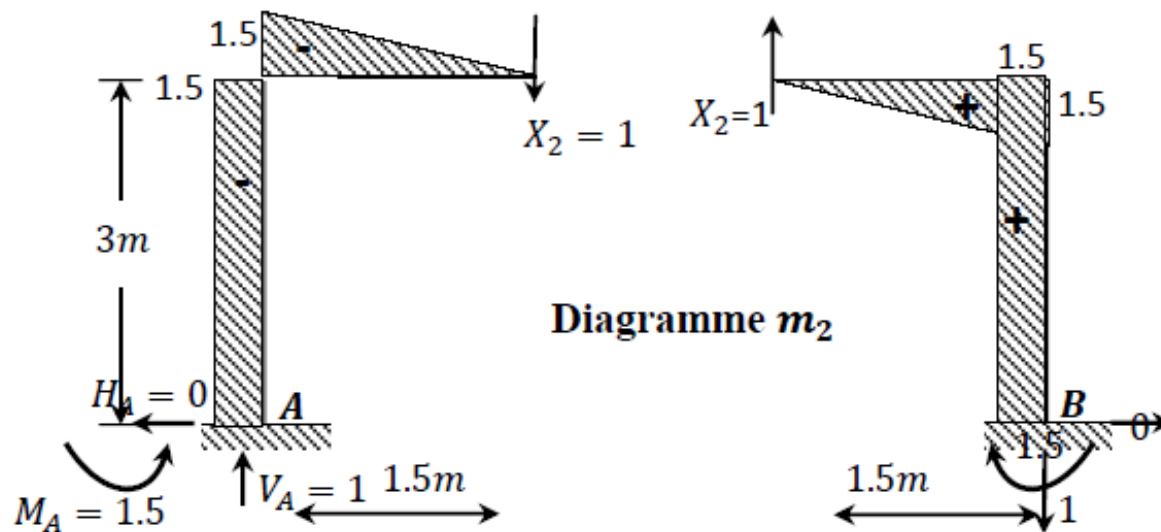
- Etat 0 : Charges extérieures $\neq 0$ et $X_1 = X_2 = X_3 = 0$



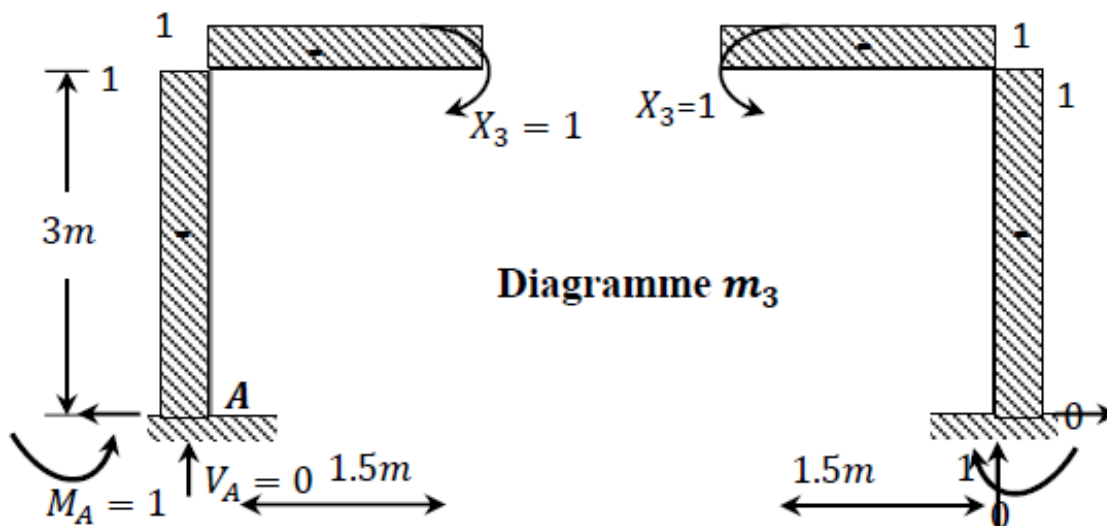
- Etat 1 : Charges extérieures = 0, $X_1 = 1$, $X_2 = 0$ et $X_3 = 0$



- Etat 2 : Charges extérieures = 0, $X_1 = 0$, $X_2 = 1$ et $X_3 = 0$



- Etat 3 : Charges extérieures = 0, $X_1 = 0$, $X_2 = 0$ et $X_3 = 1$



- Calculer les déplacements δ_{ij} .

$$\delta_{11} = \frac{18}{EI}, \quad \delta_{12} = \delta_{21} = \delta_{23} = \delta_{32} = 0, \quad \delta_{22} = \frac{14.63}{EI}$$

$$\delta_{13} = \delta_{31} = -\frac{9}{EI}, \quad \delta_{33} = \frac{7.5}{EI}$$

$$\delta_{10} = -\frac{10.13}{EI}, \quad \delta_{20} = \frac{6.75}{EI} \quad \text{et} \quad \delta_{30} = \frac{13.5}{EI}$$

- Le système d'équations canoniques :

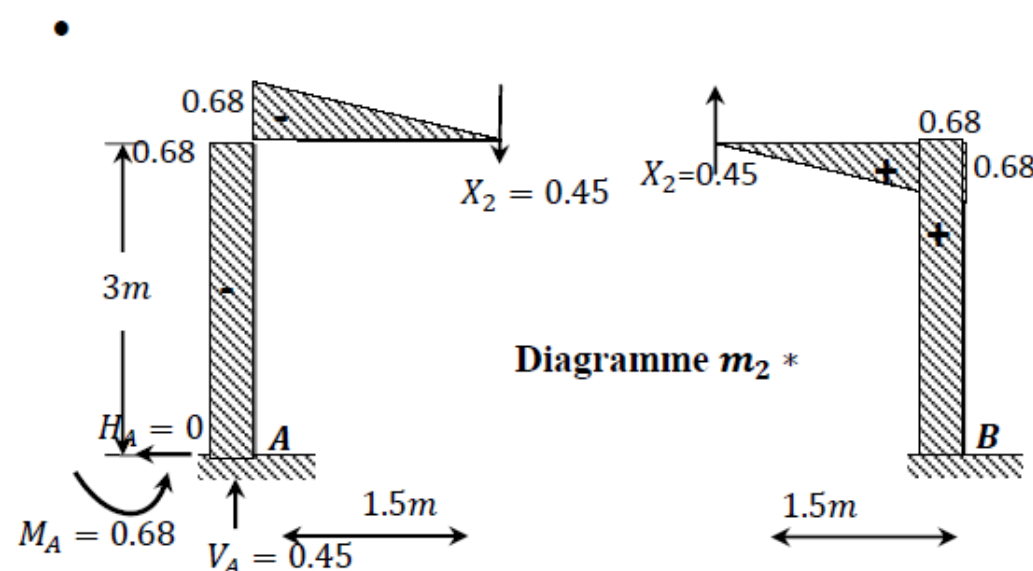
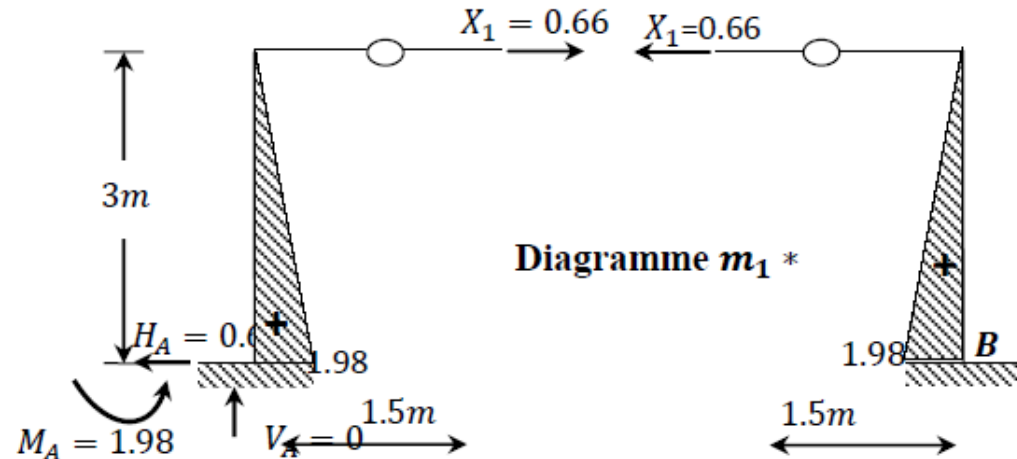
$$\begin{cases} \frac{18}{EI}X_1 + 0.X_2 + -\frac{9}{EI}X_3 - \frac{10.13}{EI} = 0 \\ 0.X_1 + \frac{14.63}{EI}X_2 + 0.X_3 + \frac{6.75}{EI} = 0 \\ -\frac{9}{EI}X_1 + 0.X_2 + \frac{7.5}{EI}X_3 + \frac{13.5}{EI} = 0 \end{cases}$$

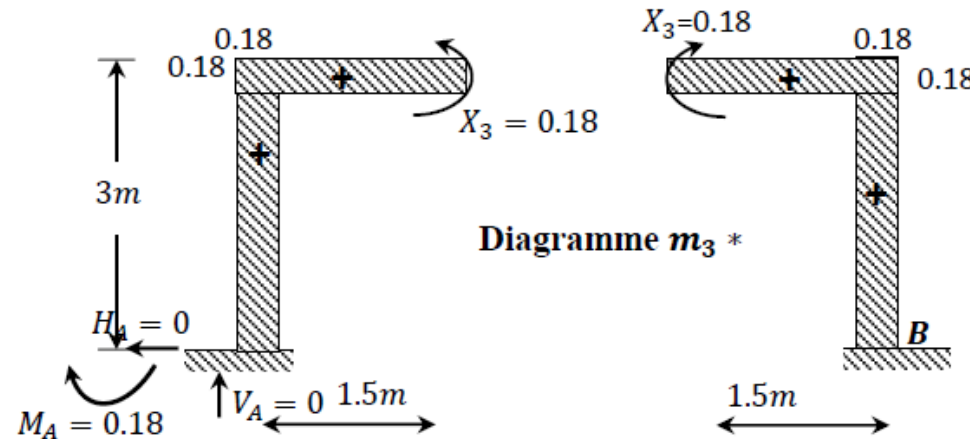
La résolution du système donne :

$$\begin{cases} X_1 = 0.66kN \\ X_2 = 0.45kN \\ X_3 = -0.18kN.m \end{cases}$$

- Correction des épures unitaires

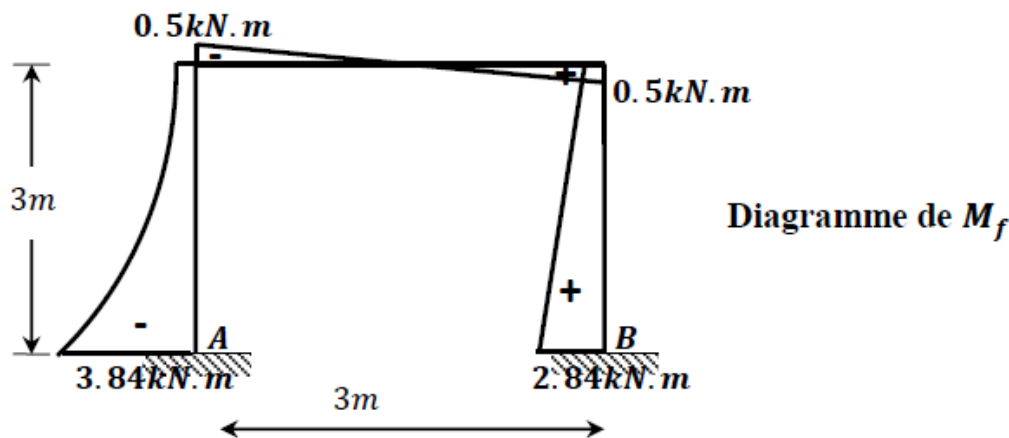
- Le diagramme corrigé $m_1^* = m_1 X_1$
- Le diagramme corrigé $m_2^* = m_2 X_2$
- Le diagramme corrigé $m_3^* = m_3 X_3$





- Donc le diagramme final du système réel :

$$M_f = M_0 + m_1^* + m_2^* + m_3^*$$



Chap. 4:

MÉTHODE DES TROIS MOMENTS

MÉTHODE DES TROIS MOMENTS

Démarche

Définition

La méthode des trois moments s'applique aux systèmes dits poutres continues. On suppose que l'effet de l'effort tranchant est négligé

Principe de la méthode des trois moments :

Cette méthode consiste à déterminer les moments fléchissant dans le cas des poutres continues. C'est-à-dire des poutres qui reposent sur plus de deux appuis.

Le degré d'hyperstatique

Le degré d'hyperstatique est égal:

- $D = r - 3$ avec r : le nombre de liaisons (réactions)

Ou bien :

- $D = a - 2$ avec a : le nombre d'appuis

Ou bien :

- Le degré d'hyperstatique est égal au nombre des appuis intermédiaires.

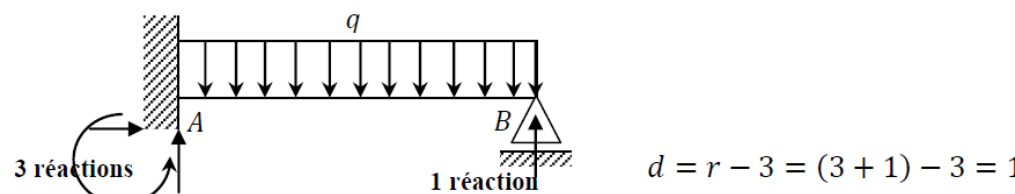
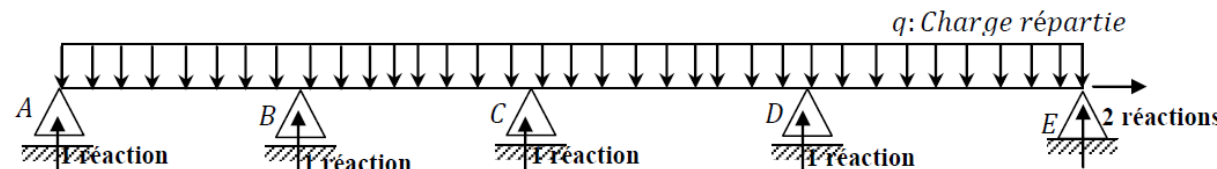


Figure 2.1. : Poutre sur 2 appuis (1 Encastrement et 1 simple)



$$d = r - 3 = 6 - 3 = 3$$

Figure 2.2. : Poutre sur 5 appuis (1 double et 4 simples)

Calcul des moments fléchissant dans les appuis :

- Considérons l'exemple de la figure 2.3. Le degré d'hyperstaicité de cette poutre est égal à $N-2$ où N représente le nombre d'appuis
- Prenons pour inconnues hyperstatiques les moments fléchissants agissant au droit de chaque appui intermédiaire. Pour ce faire, on procède à des coupures de manière à supprimer la liaison de moment au niveau de chaque appui.
- Dans chaque appui nous avons deux rotations (une à gauche et l'autre à droite).
- Pour une poutre de $N-1$ travées, on numérote les appuis de 1 à N . La travée l_i est comprise entre les appuis (i) et (i+1), avec une rigidité EI_i .

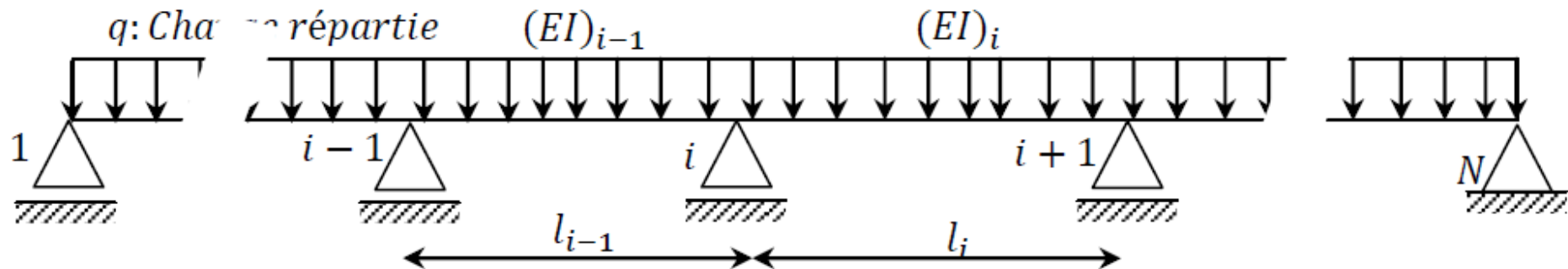


Figure 2.3. : Poutre continue sur N appuis

Une poutre continue comportant N-1 travées peut être décomposée en N-1 poutres isostatiques sur lesquelles s'appliquent les mêmes charges que sur la poutre continue avec en plus les moments aux appuis.

Nous obtenons alors pour la travée i-1 et i:

- M_{i-1} : désigne le moment sur l'appui A_{i-1}
- M_i : désigne le moment sur l'appui A_i
- M_{i+1} : désigne le moment sur l'appui A_{i+1}

$$\sum \text{des rotations au niveau du point } (i) = 0$$

On a deux types de rotations :

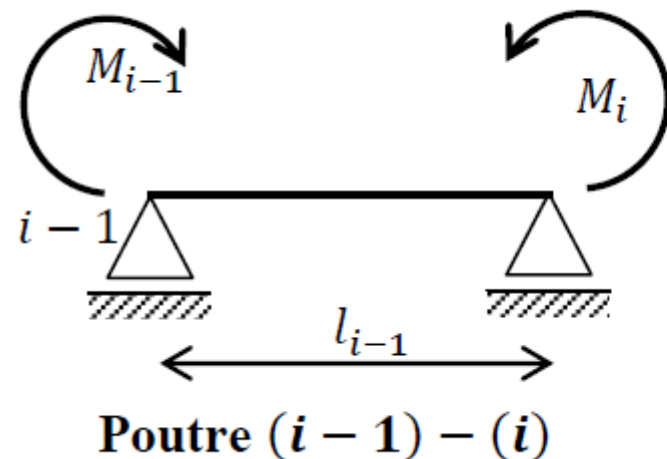
- Rotation due aux charges extérieures $(\varphi_{ig} + \varphi_{id})$
- Rotation due aux moments fléchissants $(\overline{\varphi_{ig}} + \overline{\varphi_{id}})$

$$\sum \text{des rotations au niveau du point } (i) = (\varphi_{ig} + \varphi_{id}) + (\overline{\varphi_{ig}} + \overline{\varphi_{id}}) = 0$$

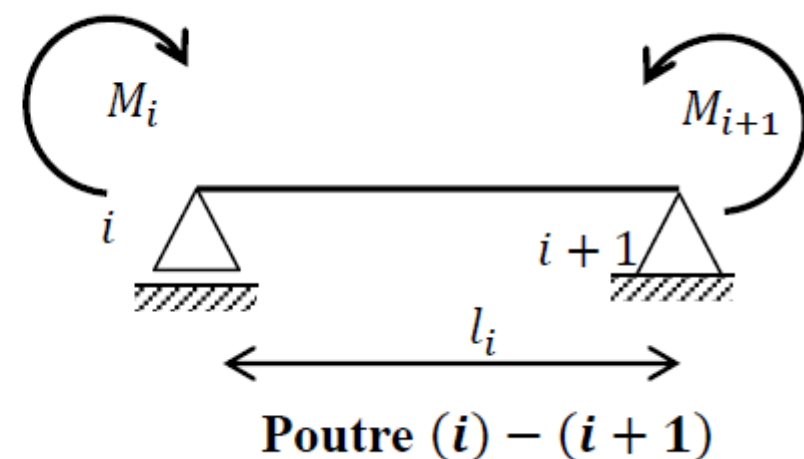
A- Rotations dues aux moments fléchissants ($\overline{\varphi_{ig}} + \overline{\varphi_{id}}$)

Les déformations en général et spécifiquement les rotations dues aux moments fléchissant peuvent être évaluée par l'une des méthodes analytiques connues comme par App : la méthode de CASTIGLIANO ou Maxwell-Mohr et aussi la méthode graphique de VERETCHAGUINE.

Ici le calcul des rotations est effectué par la méthode de Mohr.

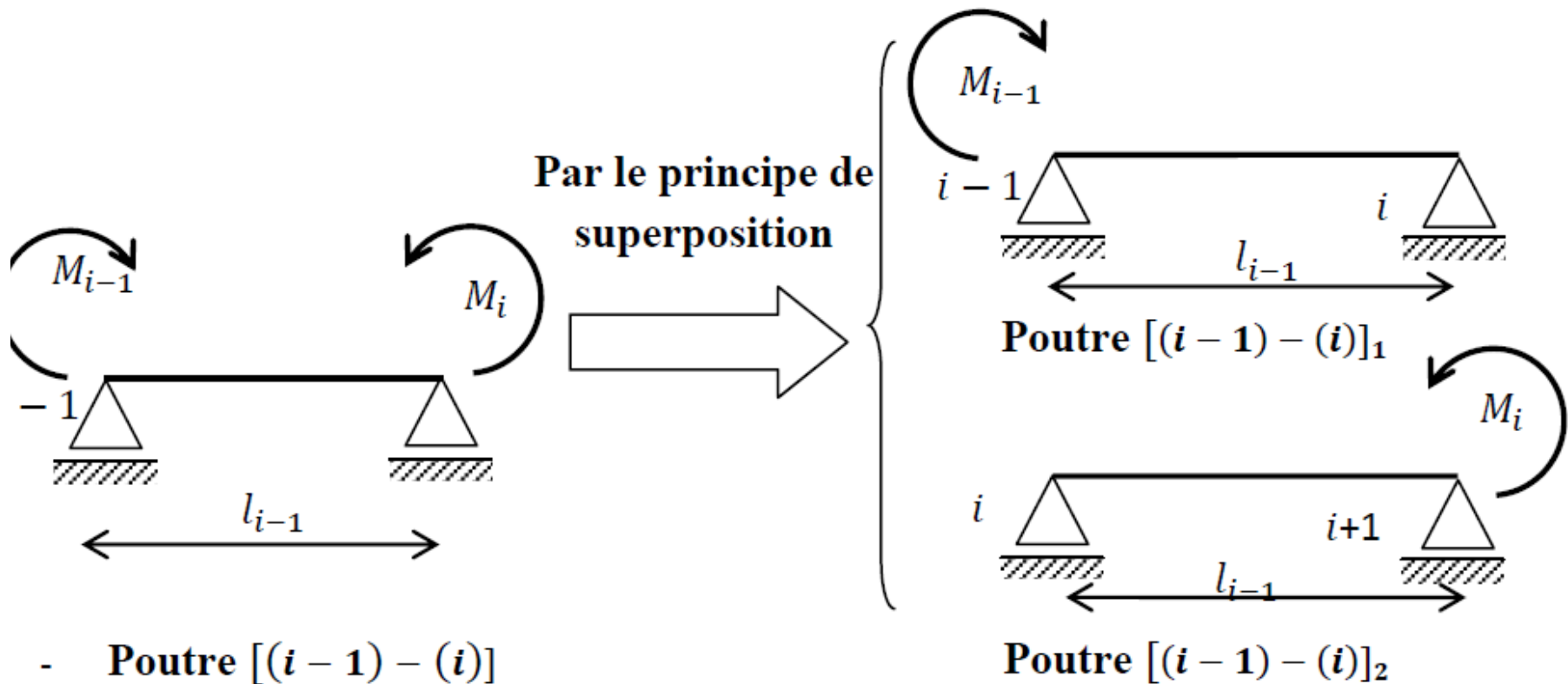


Poutre $(i-1) - (i)$



Poutre $(i) - (i+1)$

A1. Poutre $(i-1) - (i)$



$$\overline{\varphi_{ig}} = \frac{1}{6} \frac{M_{i-1}}{(EI)_{i-1}} l_{i-1} + \frac{1}{3} \frac{M_i}{(EI)_{i-1}} l_{i-1}$$

A1. Poutre (i) - ($i+1$)

De la même pour la poutre (i) - ($i + 1$)

$$\overline{\varphi_{id}} = \frac{1}{3} \frac{M_i}{(EI)_i} l_i + \frac{1}{6} \frac{M_{i+1}}{(EI)_i} l_i$$

$$\sum Rotations/point (i) = (\varphi_{ig} + \varphi_{id}) + (\overline{\varphi_{ig}} + \overline{\varphi_{id}}) = 0 \quad (2.3)$$

$$(\varphi_{ig} + \varphi_{id}) + \frac{1}{6} \frac{M_{i-1}}{(EI)_{i-1}} l_{i-1} + \frac{1}{3} \frac{M_i}{(EI)_{i-1}} l_{i-1} + \frac{1}{3} \frac{M_i}{(EI)_i} l_i + \frac{1}{6} \frac{M_{i+1}}{(EI)_i} l_i = 0$$

$$(\varphi_{ig} + \varphi_{id}) + \frac{1}{6} \frac{M_{i-1}}{(EI)_{i-1}} l_{i-1} + \frac{1}{3} \frac{M_i}{(EI)_{i-1}} l_{i-1} + \frac{1}{3} \frac{M_i}{(EI)_i} l_i + \frac{1}{6} \frac{M_{i+1}}{(EI)_i} l_i = 0$$

$$(\varphi_{ig} + \varphi_{id}) + \frac{1}{6} \frac{M_{i-1}}{(EI)_{i-1}} l_{i-1} + \frac{1}{3} M_i \left(\frac{l_{i-1}}{(EI)_{i-1}} + \frac{l_i}{(EI)_i} \right) + \frac{1}{6} \frac{M_{i+1}}{(EI)_i} l_i = 0$$

Cette équation est appelée méthode des trois moments (dite aussi méthode des rotations).

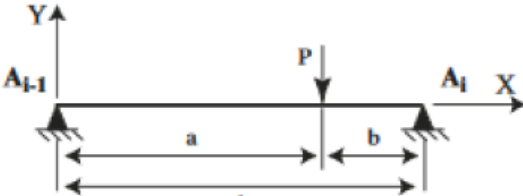
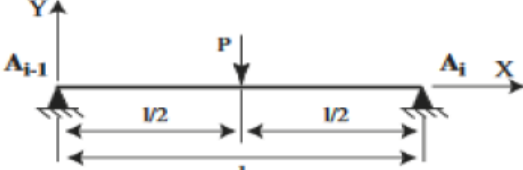
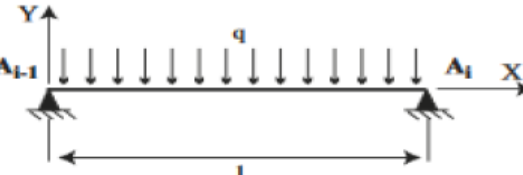
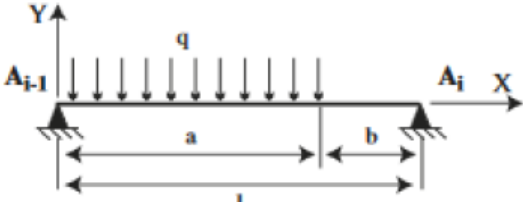
Elle permet de calculer les moments aux appuis intermédiaires des poutres continues.

Si toutes les travées de la poutre ont la même rigidité la relation devient

$$M_{i-1}l_{i-1} + 2(l_{i-1} + l_i)M_i + M_{i+1}l_i = -6EI(\varphi_{ig} + \varphi_{id}) \quad (2.4)$$

B- Rotations dues aux charges extérieures ($\varphi_{ig} + \varphi_{id}$)

Le tableau suivant résume les valeurs des rotations au niveau des appuis pour différentes charges extérieures :

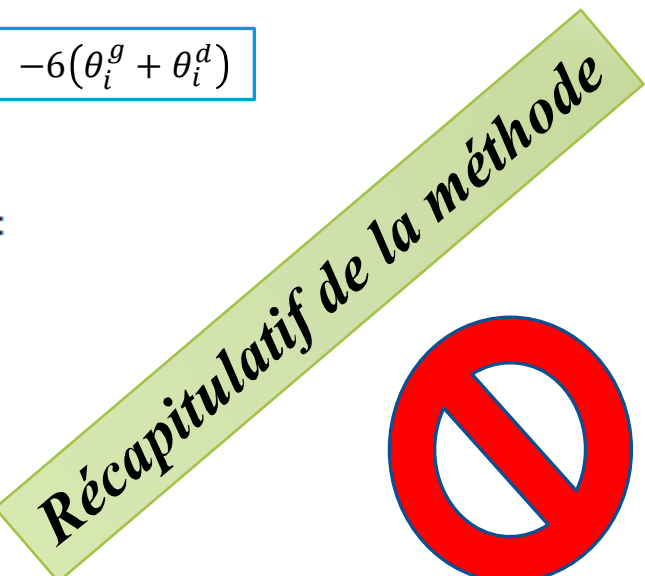
| Schéma statique (géométrie et chargement) | $-6EI\varphi_{i-1}$ | $-6EI\varphi_i$ |
|---|------------------------------|------------------------------|
|  | $-\frac{Pab(a+l)}{l}$ | $-\frac{Pab(a+l)}{l}$ |
|  | $-\frac{3}{8}Pl^2$ | $-\frac{3}{8}Pl^2$ |
|  | $-\frac{1}{4}ql^3$ | $-\frac{1}{4}ql^3$ |
|  | $-\frac{1}{24l}qa^2(2l-a)^2$ | $-\frac{1}{24l}qa^2(2l-a)^2$ |

1. Déterminer le degré d'hyperstaticité de la poutre k ;
2. Découper la poutre à (n) travées indépendantes (i) chacune de portée L_i et de rigidité flexionnelle EI_i ;
3. Pour chaque poutre isostatique de travée (i), déterminer :
 - les réactions des appuis : r_{i-1}^d et r_i^g
 - les expressions efforts internes : l'effort tranchant $v_i(x)$ et moment fléchissant $m_i(x)$;
 - les rotations des appuis : θ_{i-1}^d et θ_i^g
4. Ecrire les k équations de 3 moments pour chaque deux travées consécutives (i) et (i+1):

$$\frac{L_i}{EI_i} M_{i-1} + 2 \left(\frac{L_i}{EI_i} + \frac{L_{i+1}}{EI_{i+1}} \right) M_i + \frac{L_{i+1}}{EI_{i+1}} M_{i+1} = -6(\theta_i^g + \theta_i^d)$$

5. Résoudre ces équations pour déterminer les moments M_i sur appuis.
6. calculer les réactions et les efforts internes par les formules suivantes :

- Les réactions des appuis : $R_i = r_i^g + r_i^d + \frac{M_{i-1} - M_i}{L_i} + \frac{M_{i+1} - M_i}{L_{i+1}}$
- L'effort tranchant : $V_i(x) = v_i(x) + \frac{M_i - M_{i-1}}{L_i}$
- Le moment fléchissant : $M_i(x) = m_i(x) + M_{i-1} \left(1 - \frac{x}{L_i}\right) + M_i \frac{x}{L_i}$



MÉTHODE DES TROIS MOMENTS

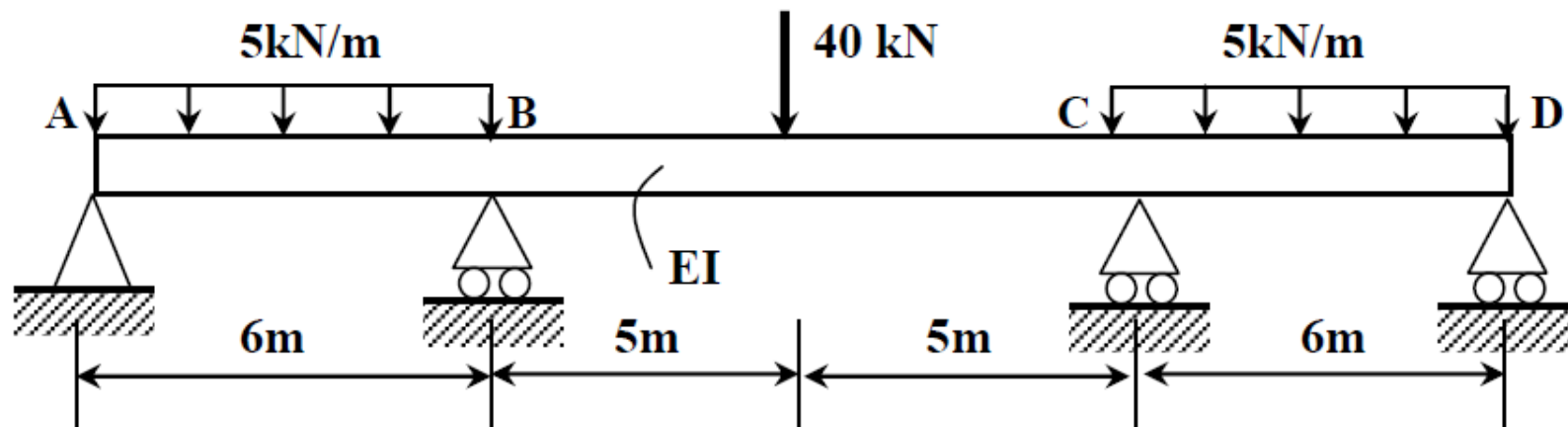
Applications

App1: Poutres à trois travées

On considère une poutre continue (ABCD) de trois travées, de rigidité EI constante. Elle supporte une charge répartie de 5kN/m sur la travée AB et CD et une charge concentrée de 40kN au milieu de la travée BC.

En utilisant la méthode des trois moments, déterminer :

- Les réactions aux appuis.
- Tracer le diagramme des moments fléchissants et des efforts tranchants.



Degré d'hyperstatique : 2 fois hyperstatique

Point B :

$$6M_A + 2(6 + 10)M_B + 10M_C = -6EI(\varphi_{Bg} + \varphi_{Bd})$$

-6EI(φ_{Bg} + φ_{Bd}) :

$$\left. \begin{aligned} -6EI\varphi_{Bg} &= -q \frac{l^3}{4} = -5 \frac{6^3}{4} = -270 \\ -6EI\varphi_{Bd} &= -\frac{3}{8}Pl^2 = -\frac{3}{8}40 \cdot 10^2 = -1500 \end{aligned} \right\} \Rightarrow -6EI(\varphi_{Bg} + \varphi_{Bd}) = -1770 \text{ kN.m}^2$$

Et $M_A = 0$

Donc :

$$32M_B + 10M_C = -1770 \text{ kN.m}^2$$

Point C :

$$10M_B + 2(10 + 6)M_C + 6M_D = -6EI(\varphi_{cg} + \varphi_{cd})$$

$-6EI(\varphi_{cg} + \varphi_{cd})$:

$$\left. \begin{array}{l} -6EI\varphi_{cg} = -\frac{3}{8}Pl^2 = -\frac{3}{8}40 \cdot 10^2 = -1500 \\ -6EI\varphi_{cd} = -q \frac{l^3}{4} = -5 \frac{6^3}{4} = -270 \end{array} \right\} \Rightarrow -6EI(\varphi_{cg} + \varphi_{cd}) = -1770 \text{ kN.m}^2$$

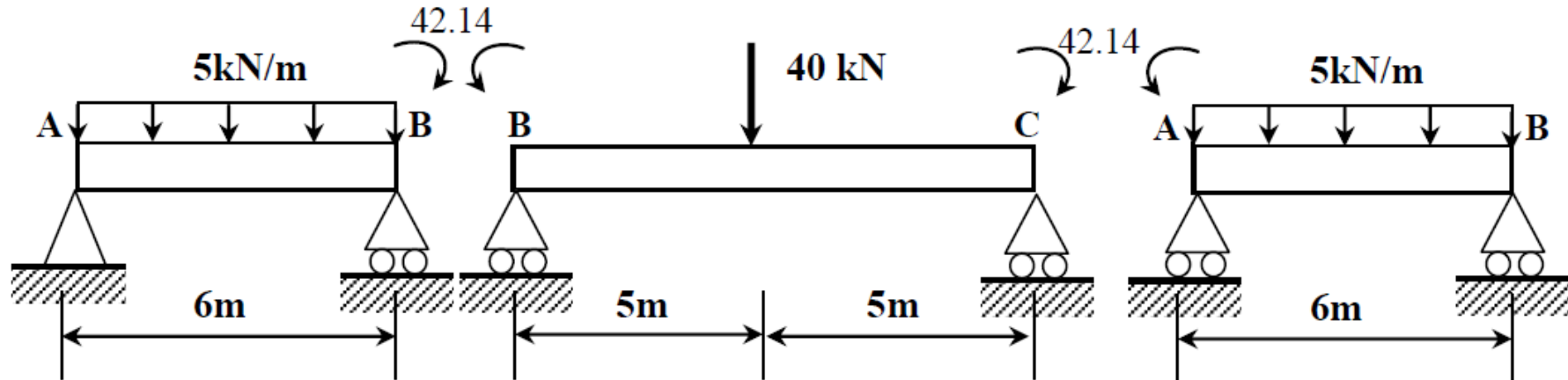
Et $M_D = 0$

Donc :

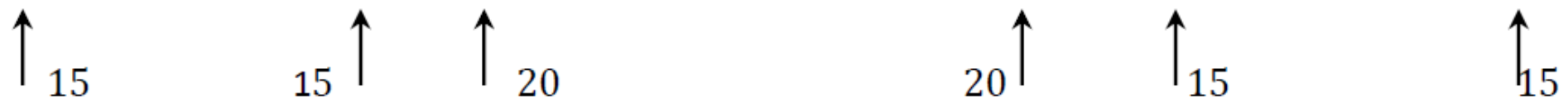
$$10M_B + 32M_C = -1770 \text{ kN.m}^2$$

$$\begin{bmatrix} 32 & 10 \\ 10 & 32 \end{bmatrix} \begin{Bmatrix} M_B \\ M_C \end{Bmatrix} = - \begin{Bmatrix} 1770 \\ 1770 \end{Bmatrix} \text{ kN.m}^2 \Rightarrow M_B = M_C = -42.14 \text{ kN.m}$$

Calcul des réactions : par le principe de la décomposition (superposition)



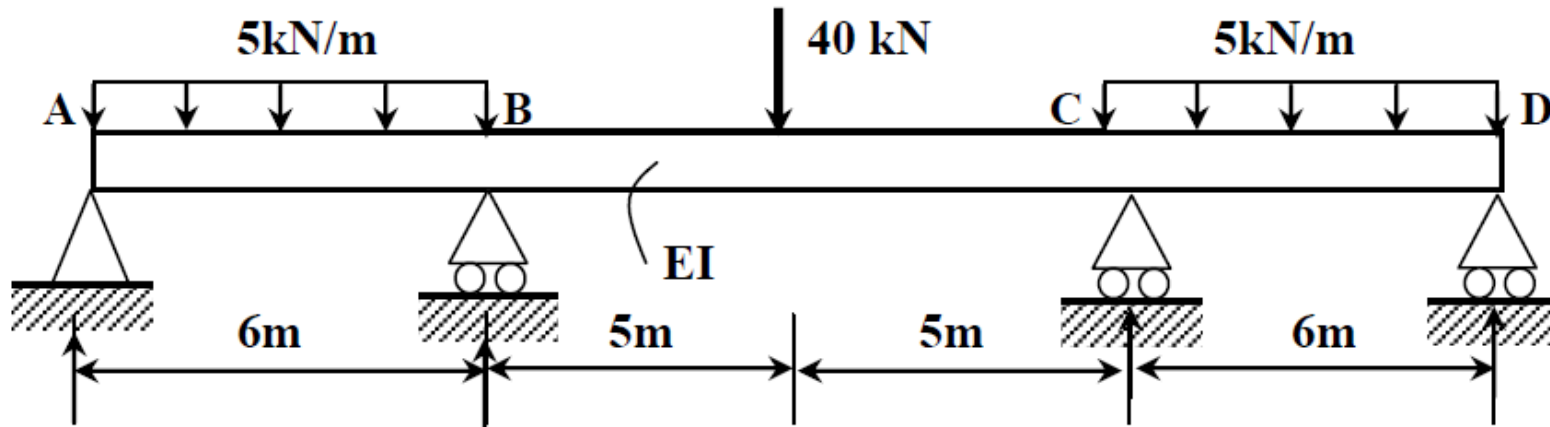
Les réactions dues aux charges extérieures :



Les réactions dues aux moments appliqués aux niveaux des appuis :



Les réactions totales :



$$R_A = 7.023 \text{ kN}$$

$$R_B = 42.023 \text{ kN}$$

$$R_C = 42.023 \text{ kN}$$

$$R_D = 7.977 \text{ kN}$$

Diagramme des efforts tranchants

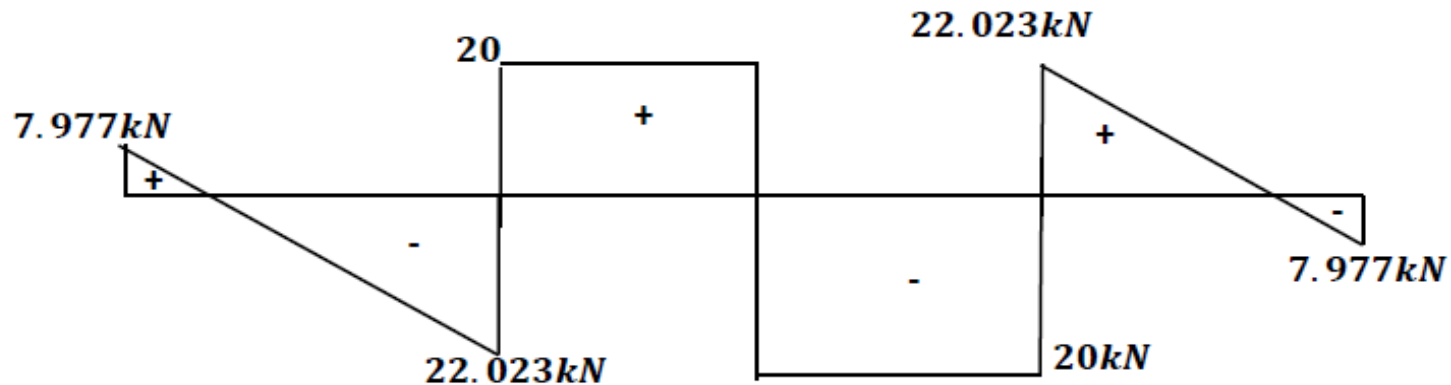
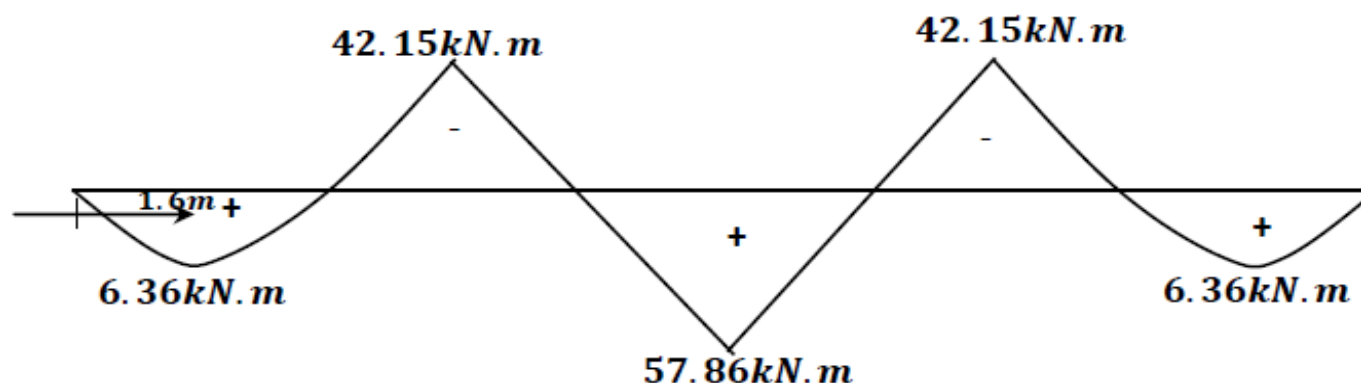
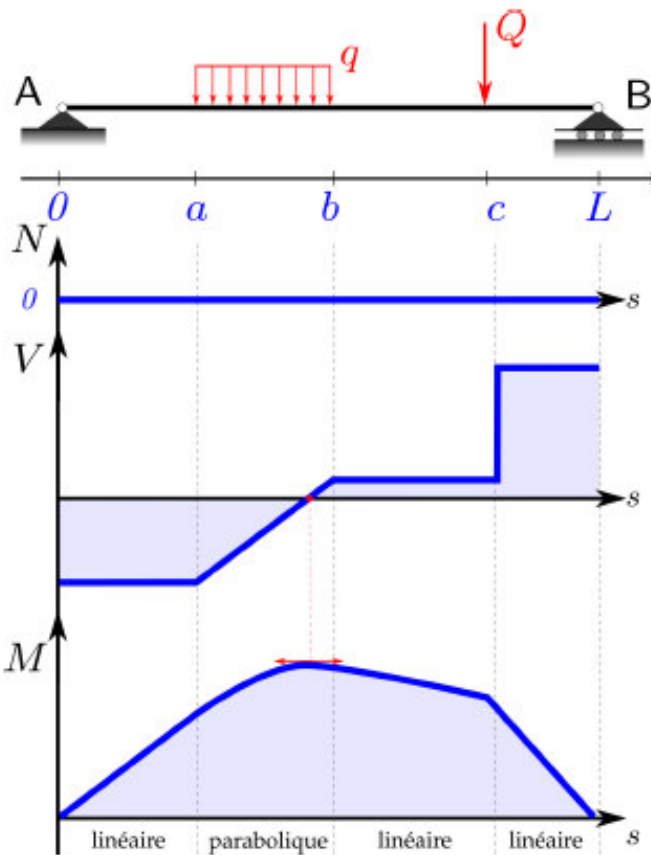


Diagramme des moments fléchissant :



Rappel traçage des diagramme DFT et DMF

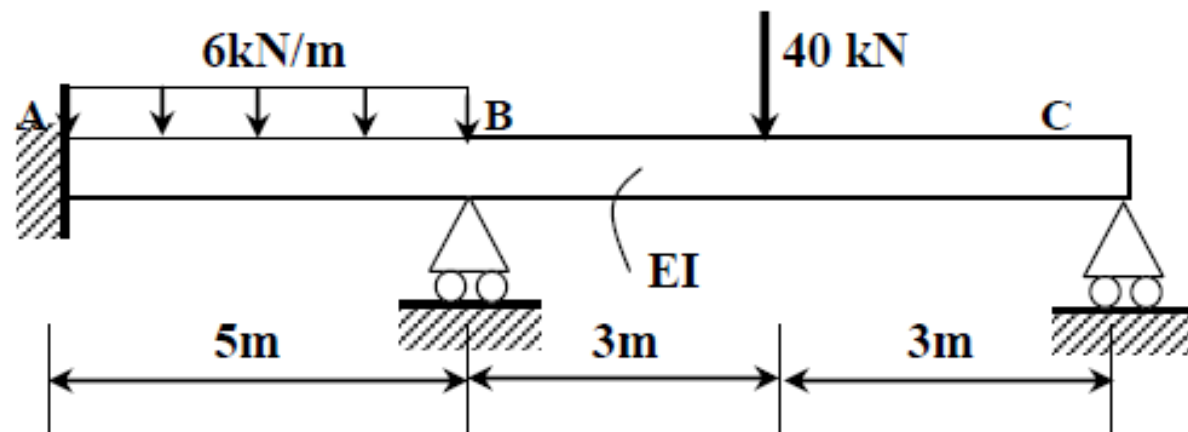


App2: Poutres encastrée à 1 travée

On considère une poutre continue (ABC) de deux travées, de rigidité EI constante. Celle-ci est encastrée en A, repose sur deux appuis simples en B et C. Elle supporte une charge répartie de 6kN/m sur la travée AB et une charge concentrée de 40kN au milieu de la travée BC.

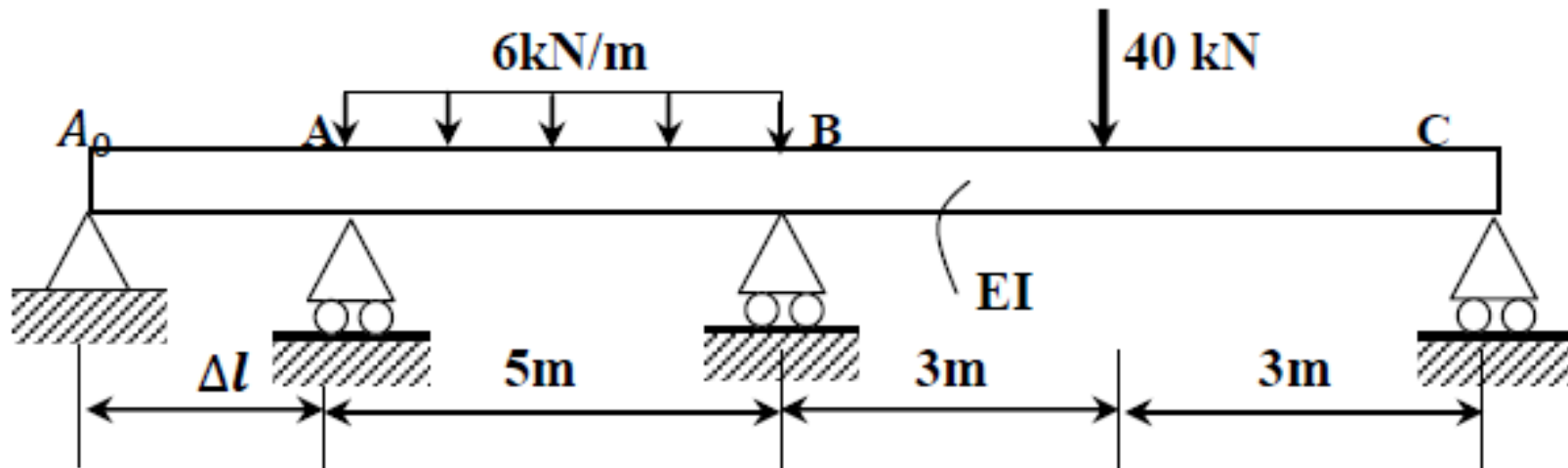
En utilisant la méthode des trois moments, déterminer :

- Les réactions d'appuis en A, B et C.
- Le diagramme des moments fléchissants et de l'effort tranchant.



Degré d'hyperstatique : 2

On remplace l'encastrement par une poutre bi articlée de longueur Δl



Point A :

$$\Delta l M_{A0} + 2(\Delta l + 5)M_A + 5M_B = -6EI(\varphi_{Ag} + \varphi_{Ad})$$

-6EI(φ_{Ag} + φ_{Ad}) :

$$\begin{aligned} -6EI\varphi_{Ag} &= 0 \quad (\text{Aucune charge n'agit sur la poutre } A_0 - A) \\ -6EI\varphi_{Bd} &= -q \frac{l^3}{4} = -6 \frac{5^3}{4} = -187.5 \\ &= -187.5 \text{ kN.m}^2 \end{aligned} \quad \left. \begin{array}{l} \\ \\ \end{array} \right\} \Rightarrow -6EI(\varphi_{Ag} + \varphi_{Ad})$$

Donc : $10M_A + 5M_B = -187.5 \text{ kN.m}^2$

Point B :

$$5M_A + 2(5 + 6)M_B + 6M_C = -6EI(\varphi_{Bg} + \varphi_{Bd})$$

-6EI(φ_{Bg} + φ_{Bd}) :

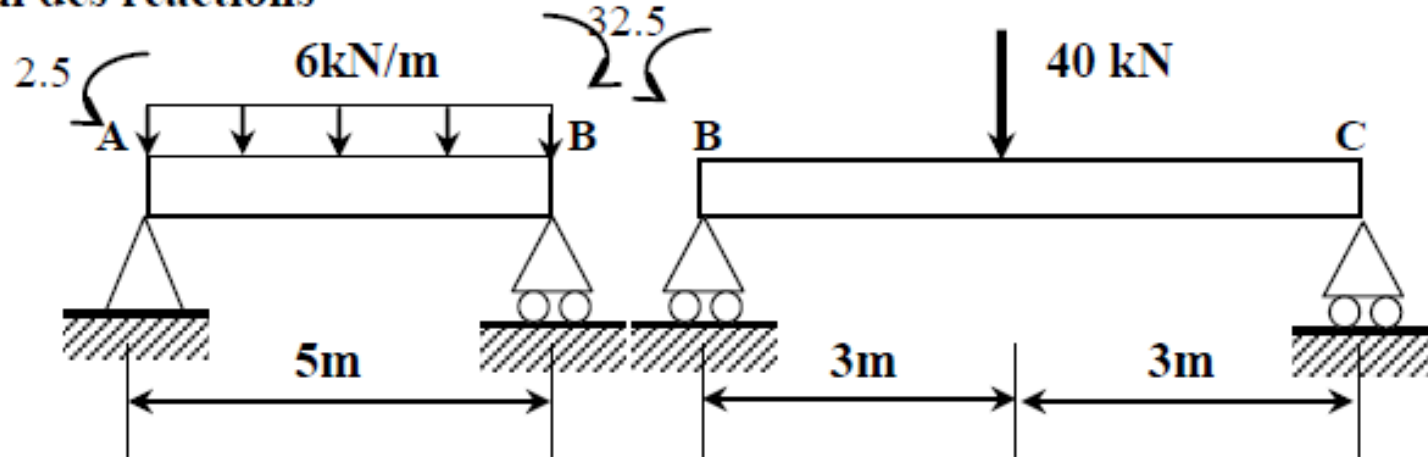
$$\left. \begin{array}{l} -6EI\varphi_{Bg} = -q \frac{l^3}{4} = -6 \frac{5^3}{4} = -187.5 \\ -6EI\varphi_{Bd} = -\frac{3}{8}Pl^2 = -\frac{3}{8}40.6^2 = -540 \end{array} \right\} \Rightarrow -6EI(\varphi_{Bg} + \varphi_{Bd}) = -727.5 \text{ kN.m}^2$$

Et $M_C = 0$

Donc : $5M_A + 22M_B = -727.5 \text{ kN.m}^2$

$$\begin{bmatrix} 10 & 5 \\ 5 & 22 \end{bmatrix} \begin{Bmatrix} M_A \\ M_B \end{Bmatrix} = - \begin{Bmatrix} 187.5 \\ 727.5 \end{Bmatrix} \text{ kN.m}^2 \Rightarrow M_A = -2.5 \text{ kN.m} \text{ et } M_B = -32.5 \text{ kN.m}$$

Calcul des réactions



Les réactions dues aux charges extérieures :

$$\frac{5.6}{2} = 15$$

$$15$$

$$\frac{40}{2} = 20$$

$$20$$

Les réactions dues aux moments appliqués aux niveaux des appuis :

$$6$$

$$6$$

$$5.42$$

$$5.42$$

Les réactions totales :

$$\text{Ou } R_A = 15 - 6 = 9 \text{ kN}, R_B = 21 + 25.42 = 46.42 \text{ kN} \text{ et } R_C = 20 - 5.42 = 14.58 \text{ kN}$$

Diagramme des efforts tranchants

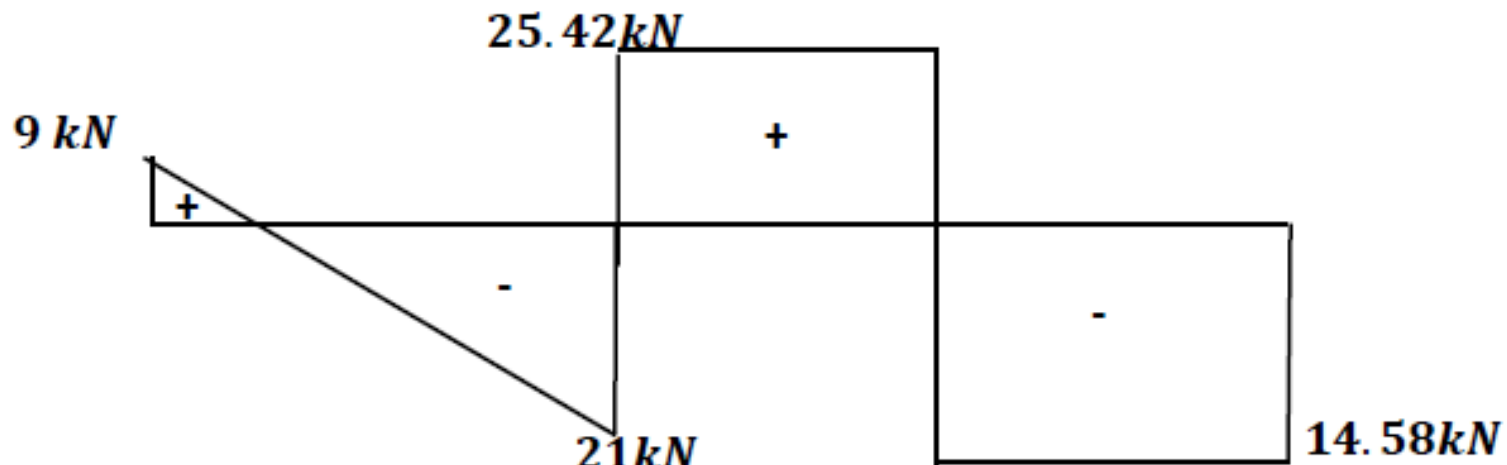
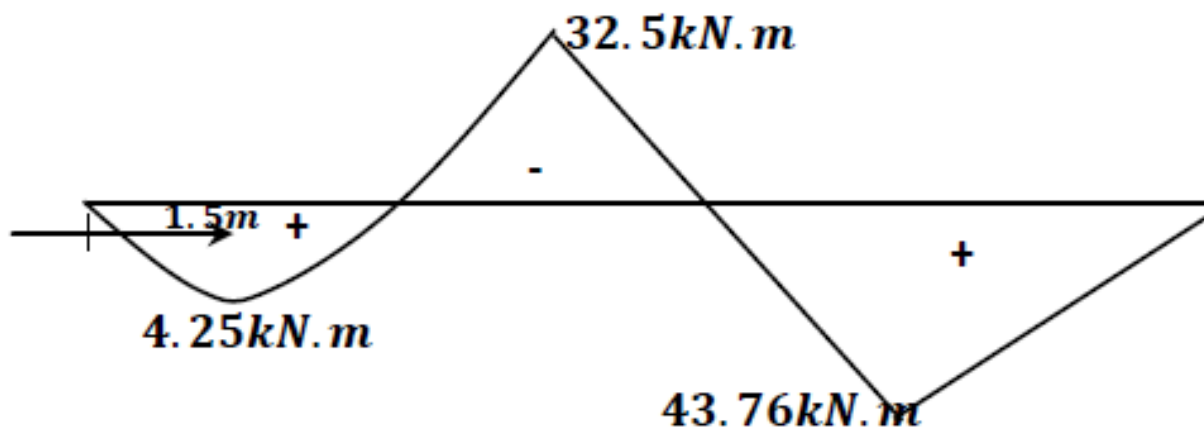


Diagramme des moments fléchissant :

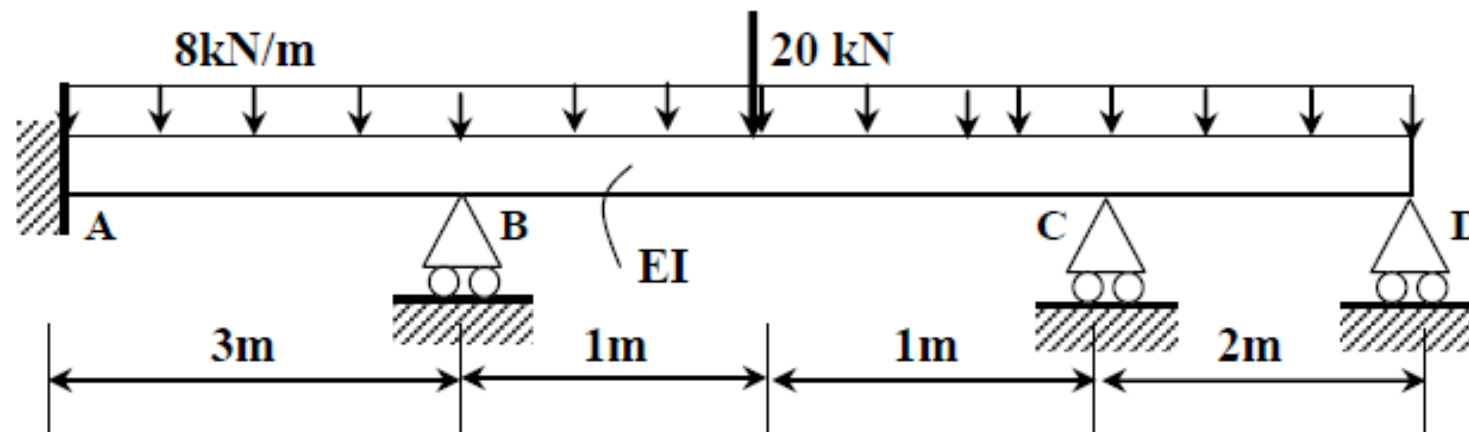


App3: Poutres encastrée à 2 travées

On considère une poutre continue (ABCD) de trois travées, de rigidité EI constante sur toutes les travées. Celle-ci est encastrée en A, repose sur deux appuis simples en B, C et D. Elle supporte une charge répartie de 8kN/m sur toute la longueur de la poutre continue ABCD et une charge concentrée de 20kN au milieu de la travée BC.

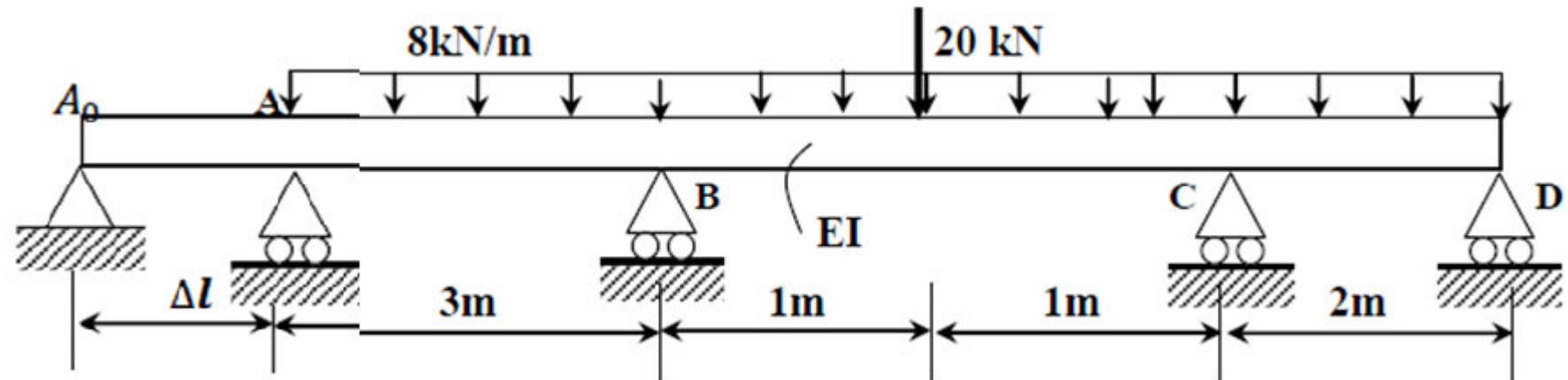
En utilisant la méthode des trois moments, déterminer :

- Les réactions d'appuis en A, B, C et D.
- Le diagramme des moments fléchissants et de l'effort tranchant.



Degré d'hyperstatique : 3

On remplace l'encastrement par une poutre bi articulée de longueur Δl



Point A :

$$\Delta l M_{A0} + 2(\Delta l + 3)M_A + 3M_B = -6EI(\varphi_{Ag} + \varphi_{Ad})$$

-6EI(φ_{Ag} + φ_{Ad}) :

$$\left. \begin{array}{l} -6EI\varphi_{Ag} = 0 \text{ (Aucune charge n'agit sur la poutre } A_0 - A) \\ -6EI\varphi_{Bd} = -q \frac{l^3}{4} = -8 \frac{3^3}{4} = -54 \\ = -54kN.m^2 \end{array} \right\} \Rightarrow -6EI(\varphi_{Ag} + \varphi_{Ad})$$

$$6M_A + 3M_B = -54$$

Point B :

$$3M_A + 2(3 + 2)M_B + 2M_C = -6EI(\varphi_{Bg} + \varphi_{Bd})$$

-6EI(φ_{Bg} + φ_{Bd}) :

$$\left. \begin{array}{l} -6EI\varphi_{Bg} = -q \frac{l^3}{4} \\ -6EI\varphi_{Bd} = -q \frac{l^3}{4} - \frac{3}{8}Pl^2 \end{array} \right\} \Rightarrow -6EI(\varphi_{Bg} + \varphi_{Bd}) = -100kN.m^2$$

Donc :

$$3M_A + 10M_B + 2M_C = -100$$

Point C :

$$2M_B + 2(2+2)M_C + 2M_D = -6EI(\varphi_{Cg} + \varphi_{Cd})$$

-6EI(φ_{Cg} + φ_{Cd}) :

$$\left. \begin{array}{l} -6EI\varphi_{Cg} = -q \frac{l^3}{4} - \frac{3}{8}Pl^2 \\ -6EI\varphi_{Cd} = -q \frac{l^3}{4} \end{array} \right\} \Rightarrow -6EI(\varphi_{Cg} + \varphi_{Cd}) = -62kN.m^2$$

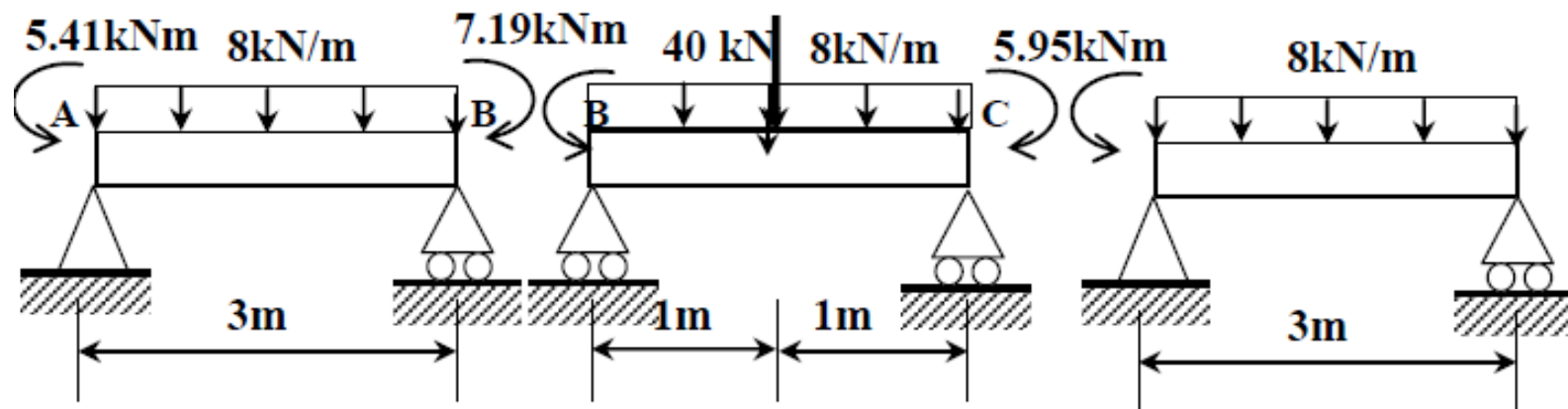
Et $M_D = 0$

Donc :

$$2M_B + 8M_C = -62kN.m^2$$

$$\begin{bmatrix} 6 & 3 & 0 \\ 3 & 10 & 2 \\ 0 & 2 & 8 \end{bmatrix} \begin{Bmatrix} M_A \\ M_B \\ M_C \end{Bmatrix} = - \begin{Bmatrix} 54 \\ 100 \\ 62 \end{Bmatrix} kN.m^2 \Rightarrow \begin{Bmatrix} M_A \\ M_B \\ M_C \end{Bmatrix} = \begin{Bmatrix} -5.4063 \\ -7.1875 \\ -5.9531 \end{Bmatrix} kN.$$

Calcul des réactions



Les réactions dues aux charges extérieures :

$$12 \uparrow \quad 12 \uparrow \quad 18 \uparrow \quad 18 \uparrow \quad 8 \uparrow \quad 8 \uparrow$$

Les réactions dues aux moments appliqués aux niveaux des appuis :

$$0.5933 \downarrow \quad 0.5933 \uparrow \quad \uparrow 0.62 \quad 0.62 \downarrow \quad \uparrow 2.98 \quad 2.98 \downarrow$$

Les réactions totales :

$$R_A = 11.41 \text{ kN}, R_B = 31.2 \text{ kN} \text{ et } R_c = 5.02 \text{ kN}$$

Diagramme des efforts tranchants

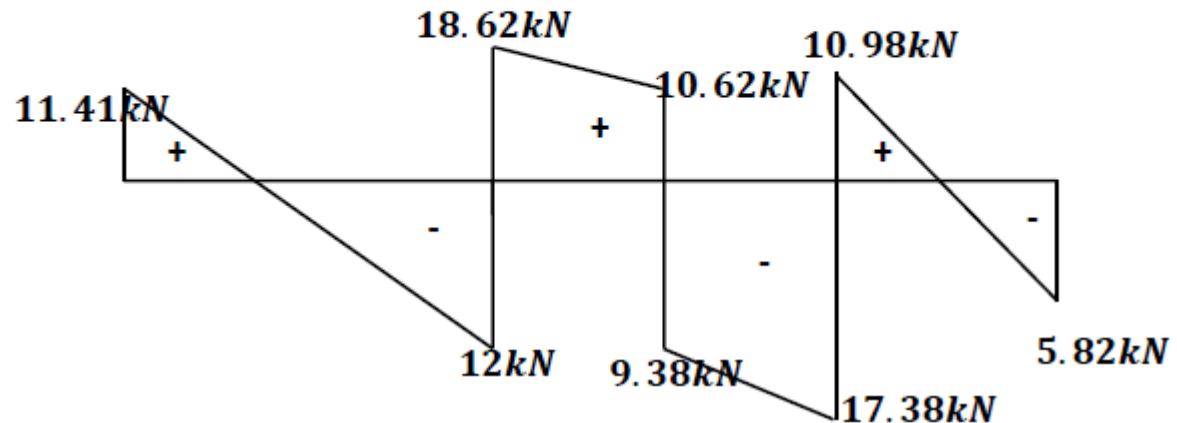
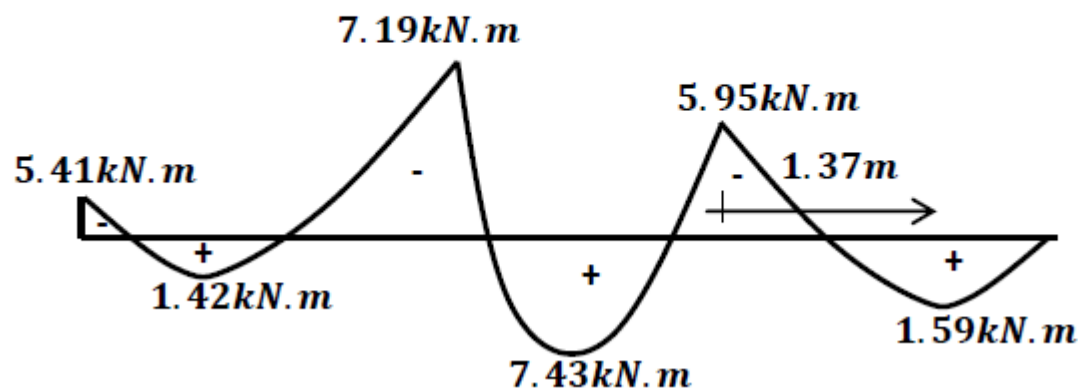
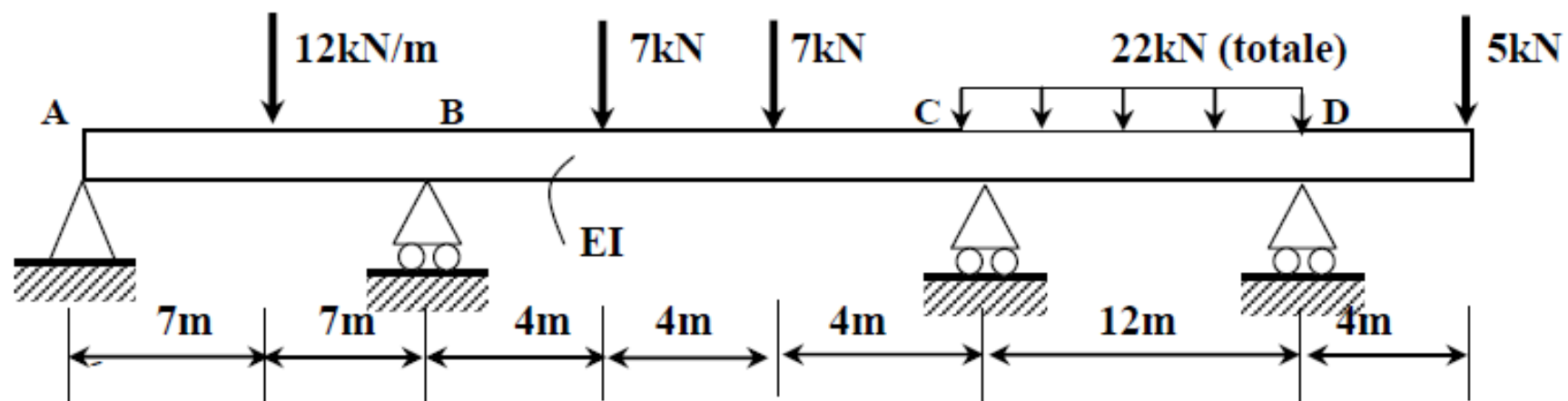


Diagramme des moments fléchissant :



App4: Poutres à 3 travées

Tracer le diagramme des moments fléchissants et de l'effort tranchant de la poutre suivante :



Point B :

$$14M_A + 2(14 + 12)M_B + 12M_C = -6EI(\varphi_{Bg} + \varphi_{Bd})$$

$-6EI(\varphi_{Bg} + \varphi_{Bd})$:

$$\left. \begin{array}{l} -6EI\varphi_{Bg} = -\frac{3}{8}Pl^2 = -\frac{3}{8}12 \cdot 14^2 \\ -6EI\varphi_{Bd} = -\frac{2}{3}Pl^2 = -\frac{2}{3}7 \cdot 12^2 \end{array} \right\} \Rightarrow -6EI(\varphi_{Bg} + \varphi_{Bd}) = -1554kN.m^2$$

Et $M_A = 0$

Donc :

$$52M_B + 12M_C = -1554kN.m^2$$

Point C :

$$12M_B + 2(12 + 12)M_C + 12M_D = -6EI(\varphi_{Cg} + \varphi_{Cd})$$

$-6EI(\varphi_{Cg} + \varphi_{Cd})$:

$$\begin{aligned} -6EI\varphi_{Cg} &= -\frac{2}{3}Pl^2 = -\frac{2}{3}7 \cdot 12^2 \\ -6EI\varphi_{Cd} &= -q \frac{l^3}{4} = -1.833 \frac{12^3}{4} \end{aligned} \Rightarrow -6EI(\varphi_{Cg} + \varphi_{Cd}) = -1464 \text{ kN.m}^2$$

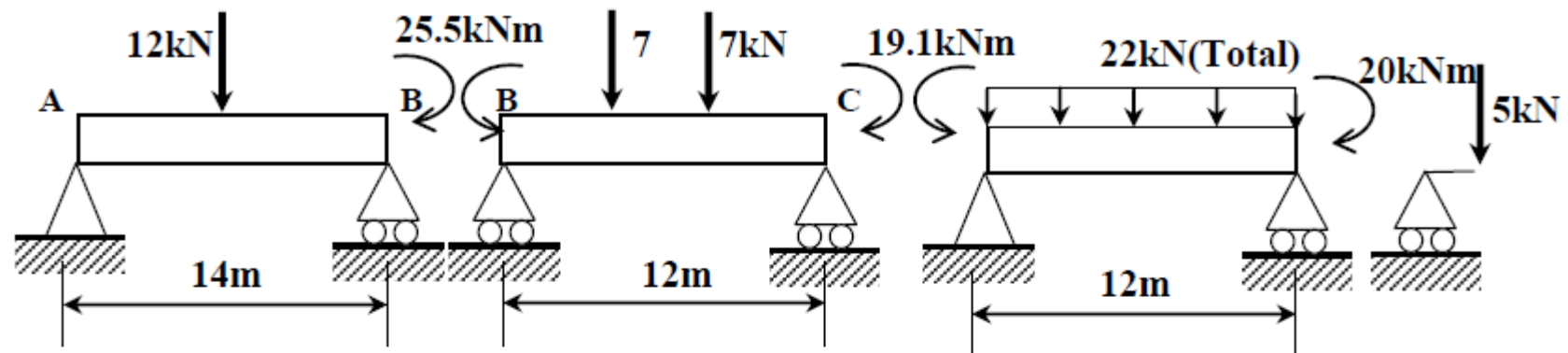
Et $M_D = -20 \text{ kN.m}$

Donc :

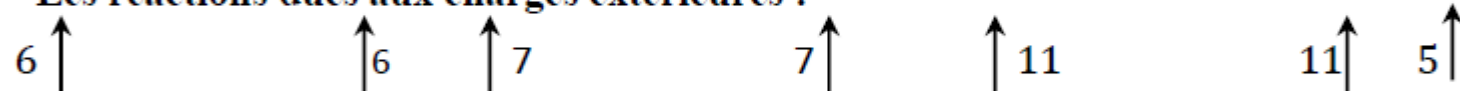
$$16M_B + 56M_C = -1464 - 12(-20)$$

$$\begin{bmatrix} 52 & 12 \\ 12 & 48 \end{bmatrix} \begin{Bmatrix} M_B \\ M_C \end{Bmatrix} = - \begin{Bmatrix} 1554 \\ 1224 \end{Bmatrix} \text{ kN.m}^2 \Rightarrow \begin{Bmatrix} M_B \\ M_C \end{Bmatrix} = - \begin{Bmatrix} 25.5 \\ 19.1 \end{Bmatrix} \text{ kN.m}$$

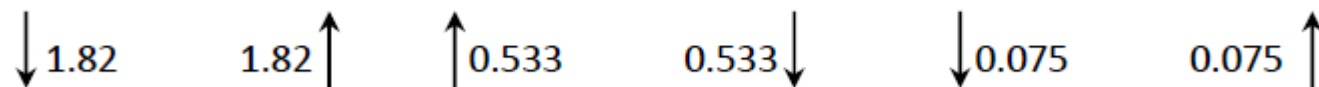
Calcul des réactions



Les réactions dues aux charges extérieures :



Les réactions dues aux moments appliqués aux niveaux des appuis :



Les réactions totales :

$$R_A = 4.18 \text{ kN}, \quad R_B = 15.1246 \text{ kN}, \quad R_c = 17.39 \text{ kN} \text{ et } R_D = 16.07 \text{ kN}$$

Diagramme des efforts tranchants

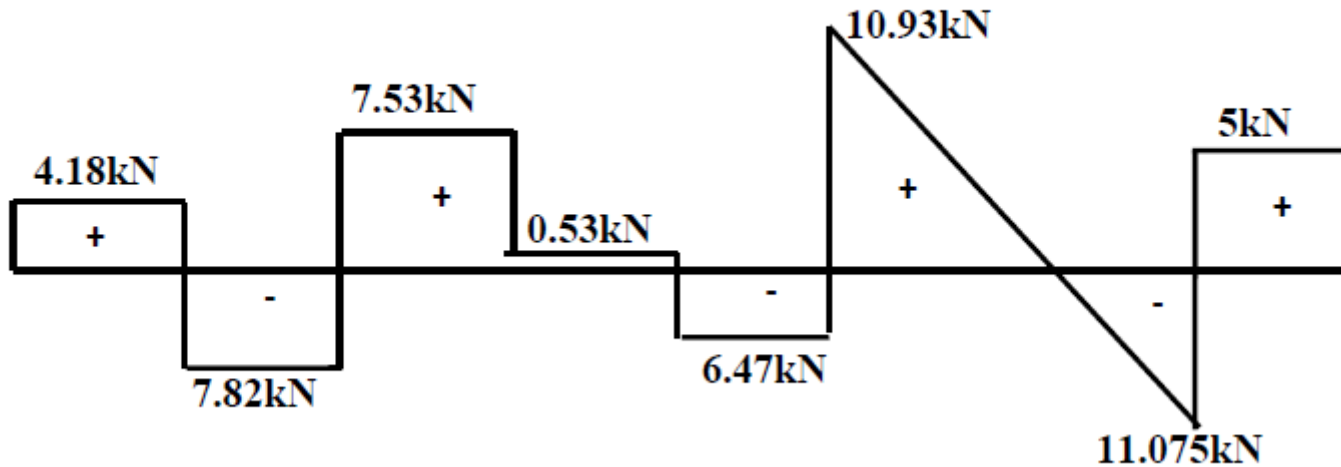
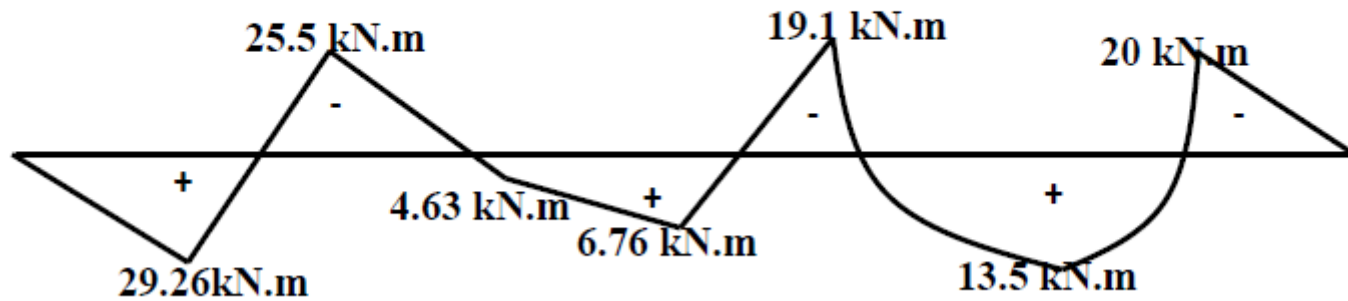


Diagramme des moments fléchissants :



Chap. 5:

Applications supplémentaires

AS1: Poutre SS et encastrée

Soit la structure (S) de la figure (5-4), simplement appuyée en A et encastrée en B, d'inertie flexionnelle EI constante et soumise à une charge uniformément répartie q .

1. Calculer le degré d'hyperstatique de la structure S.
2. Déterminer les expressions des moments aux appuis.
3. Déterminer les expressions des efforts internes le long de S.

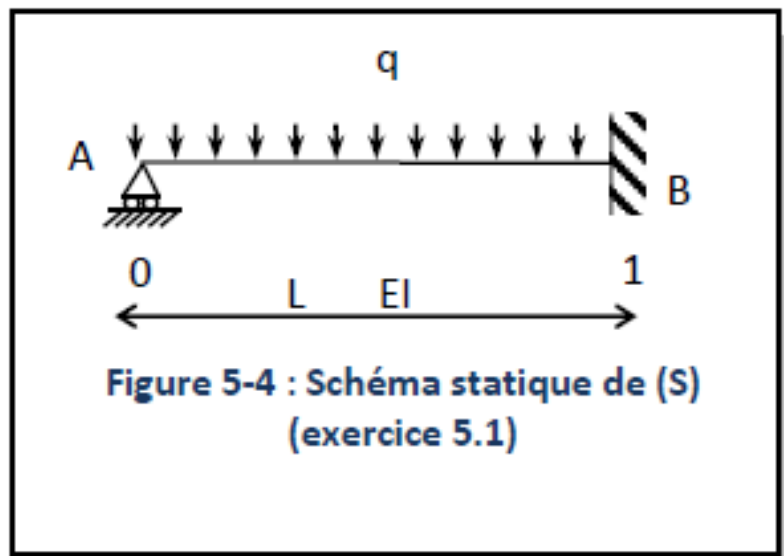
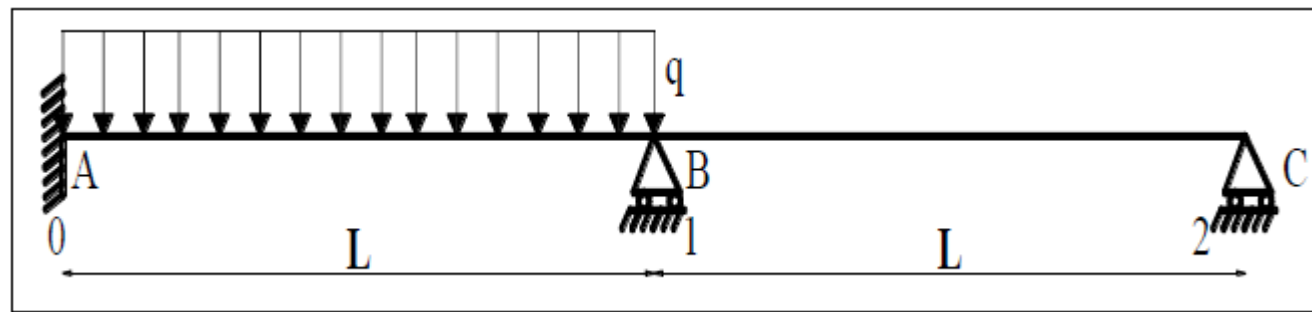


Figure 5-4 : Schéma statique de (S)
(exercice 5.1)

AS2: Poutre ABC

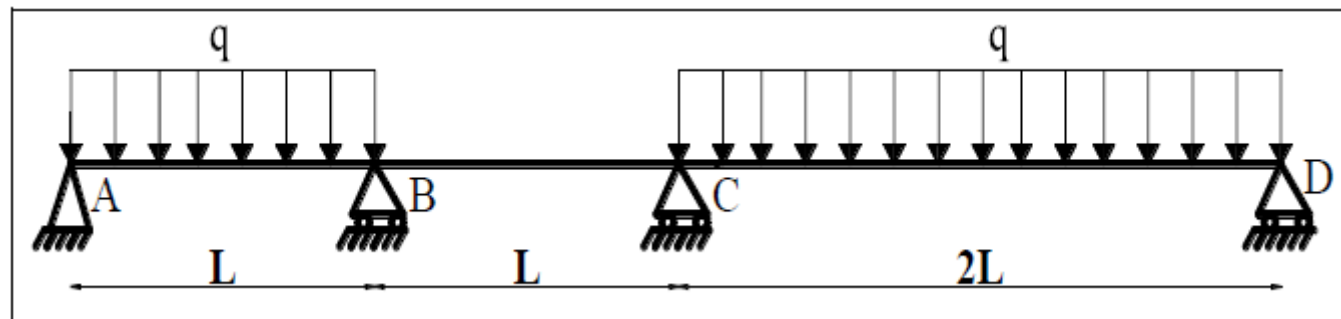
On considère la poutre continue ABC constituée de deux travées de mêmes longueurs L et de même inerties flexionnelles EI .



1. Calculer le degré d'hyperstatique de ABC.
2. Déterminer les moments aux appuis.
3. En déduire l'expression du moment fléchissant et l'effort tranchant le long de la poutre, ainsi que les réactions aux appuis.
4. Tracer les diagrammes des efforts internes.

AS3: Poutre ABCD

On considère la poutre hyperstatique ABCD, ci-dessous, constituée de trois travées de même inertie flexionnelle EI.



1. Calculer le degré d'hyperstatique de cette structure.
2. Déterminer les moments aux appuis.
3. En déduire l'expression du moment fléchissant et l'effort tranchant le long de la poutre, ainsi que les réactions aux appuis.
4. Tracer les diagrammes des efforts internes.

AS4: Poutres à 3 travées

Soit la poutre continue à quatre travées de la figure 5.23. Supposons les moments d'inertie suivants : $I_1 = 1$, $I_2 = I_3 = 2$ et $I_4 = 1,5$.

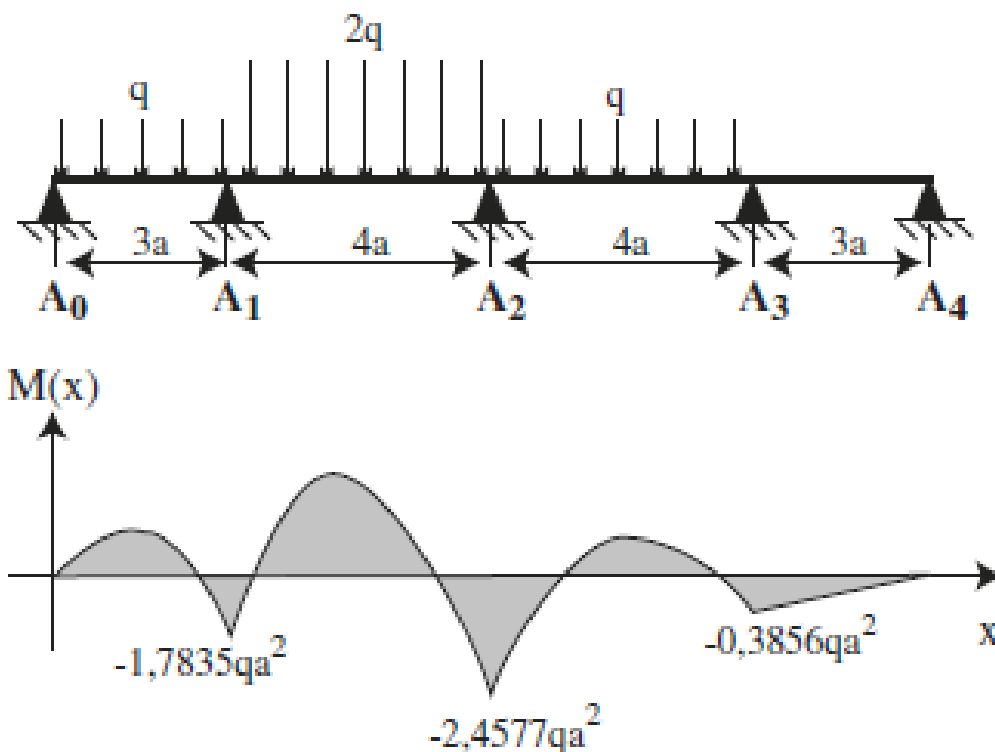
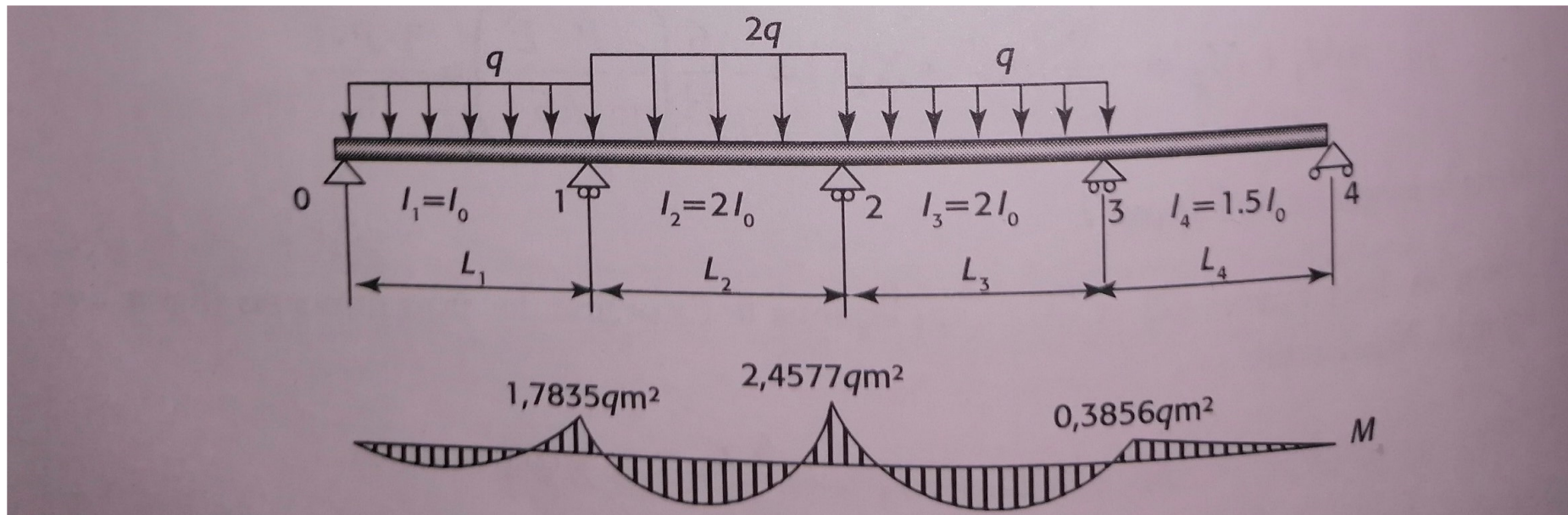


Figure 5.23 Exemple d'application de la formule des trois moments

AS5: Poutre à quatre travées

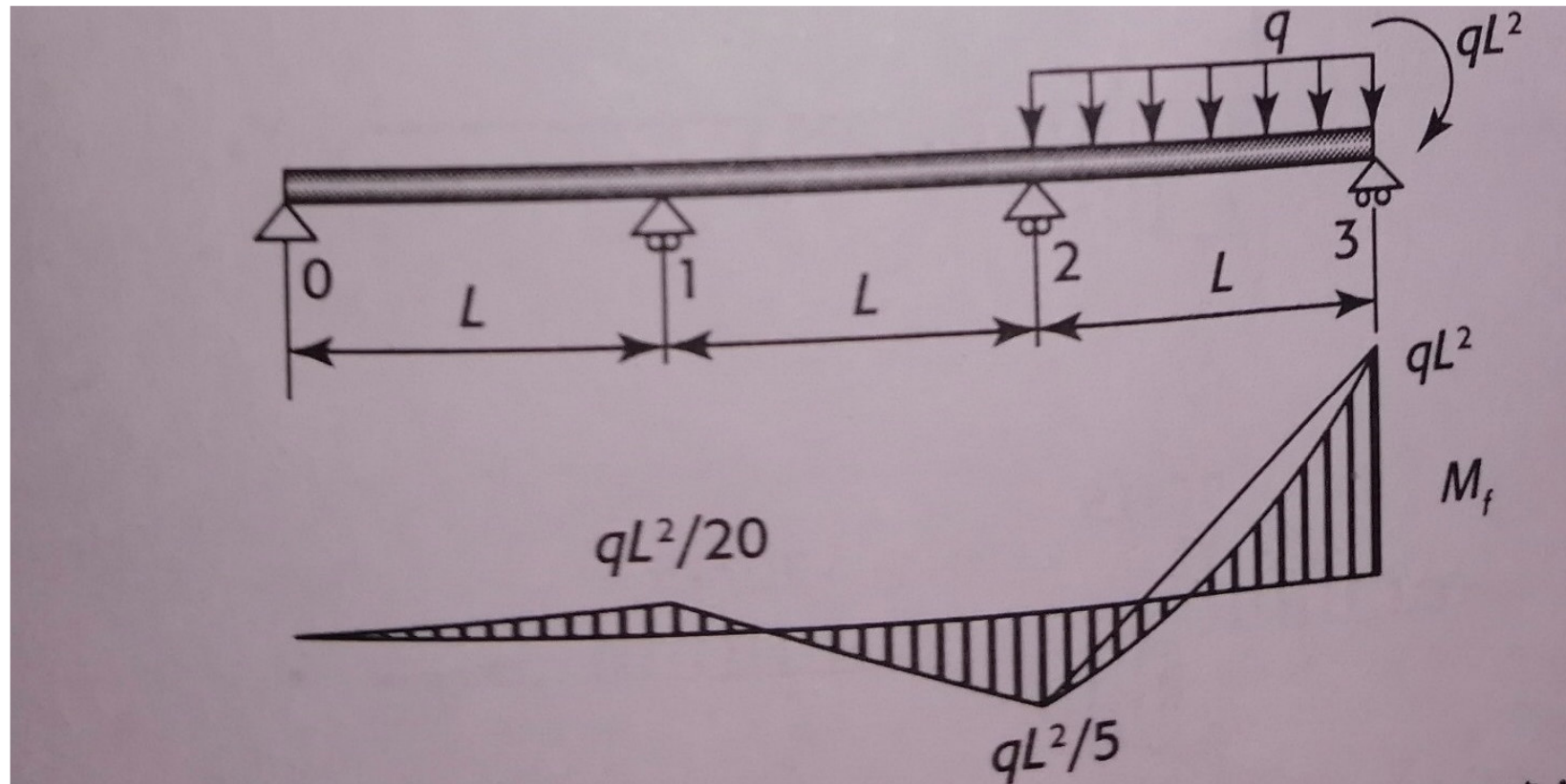
On considère la poutre à quatre travées égales. Les longueurs des travées sont $L_1 = L_4 = 3\text{m}$ et $L_2 = L_3 = 4\text{ m}$. **Déterminer les moments de flexion aux droits des appuis.**



AS6: Poutre à trois travées

On considère la poutre à trois travées égales, supporte une charge uniforme partielle.

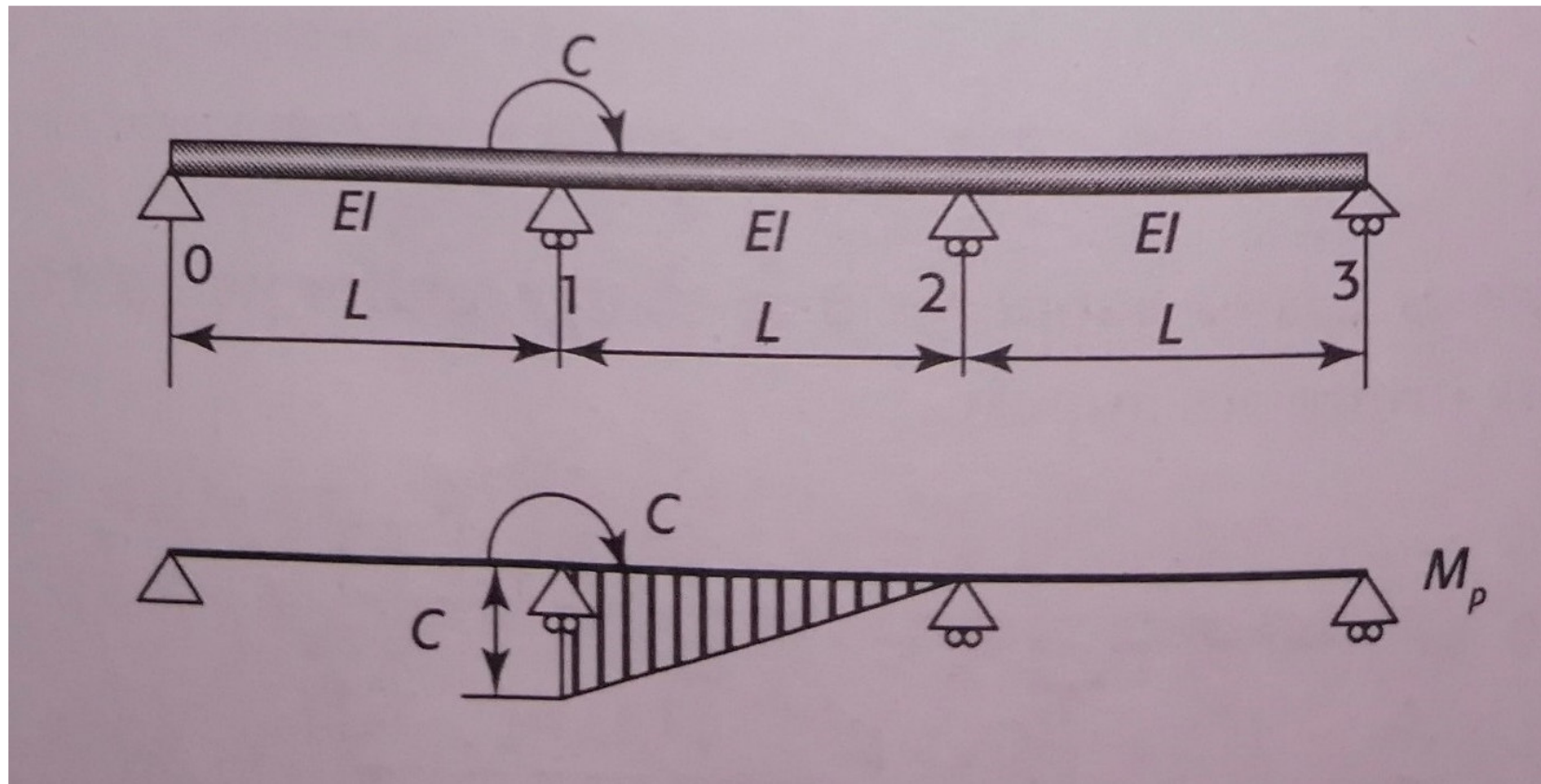
Déterminer les moments de flexion aux droits des appuis.



AS7: Poutre à quatre travées

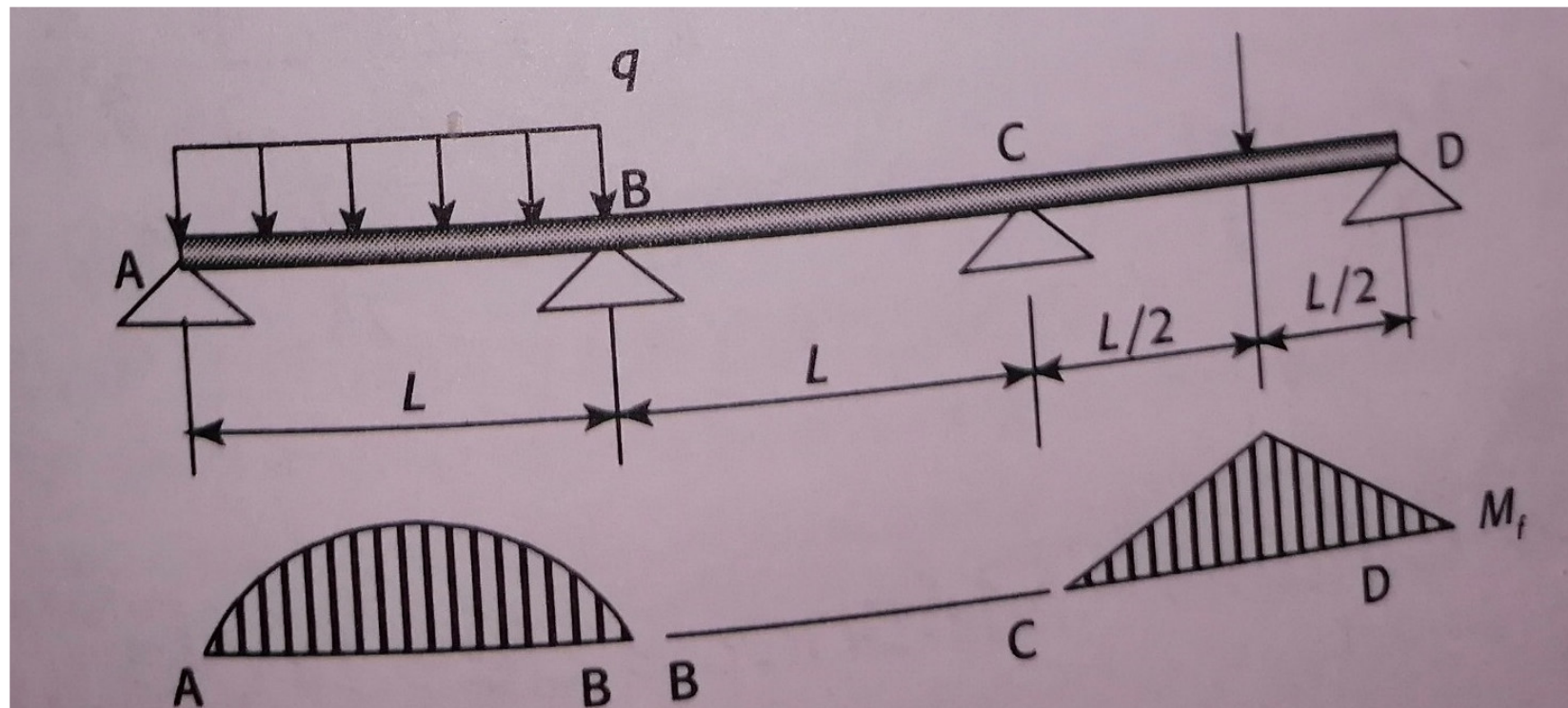
On considère la poutre droite continue à trois travées égales, supporte un couple C.

Déterminer les moments de flexion aux appuis 1 et 2.



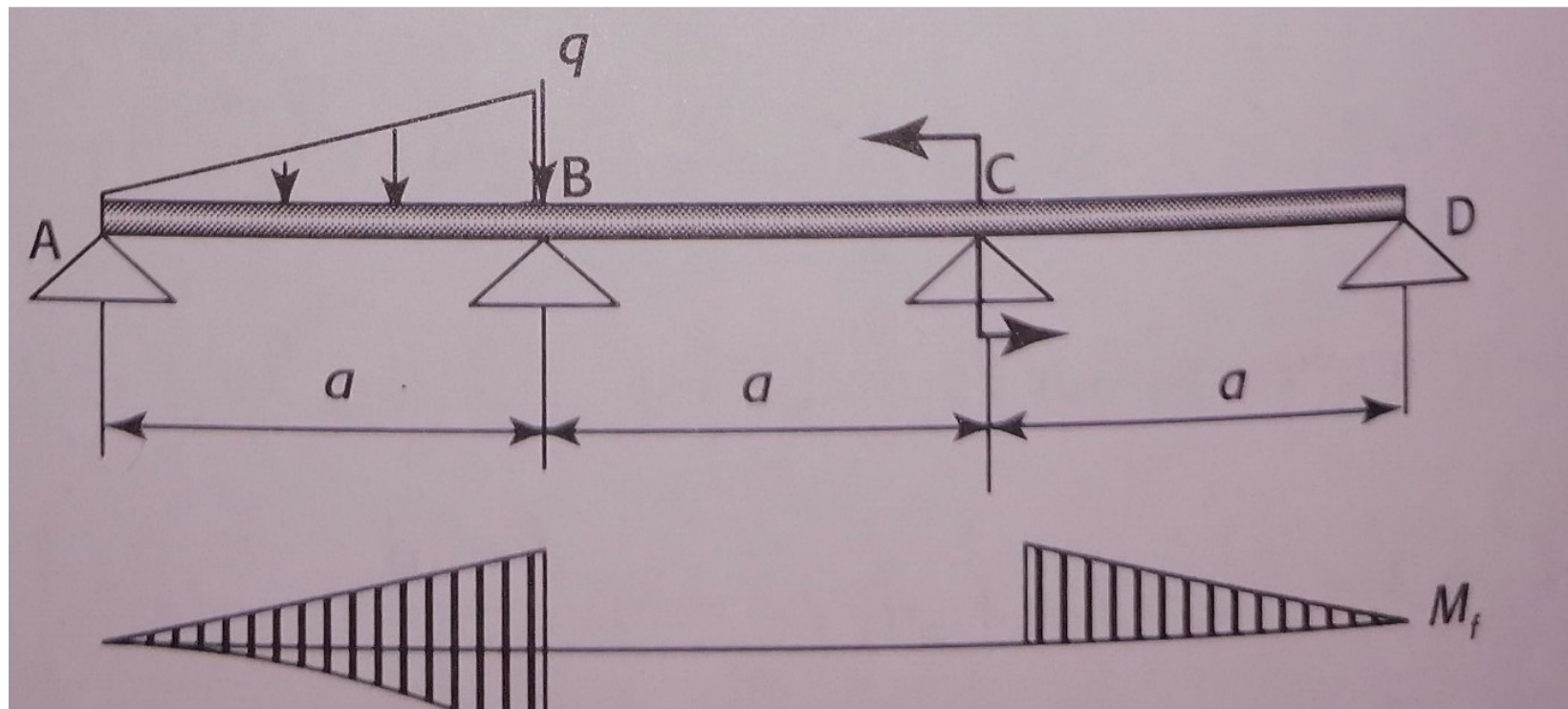
AS8: Poutre à quatre travées

La poutre droite continue à trois travées, sur quatre appuis équidistants, supporte une charge uniformément répartie et une charge concentrée. **Déterminer les réactions des appuis.**



AS9: Poutre à trois travées

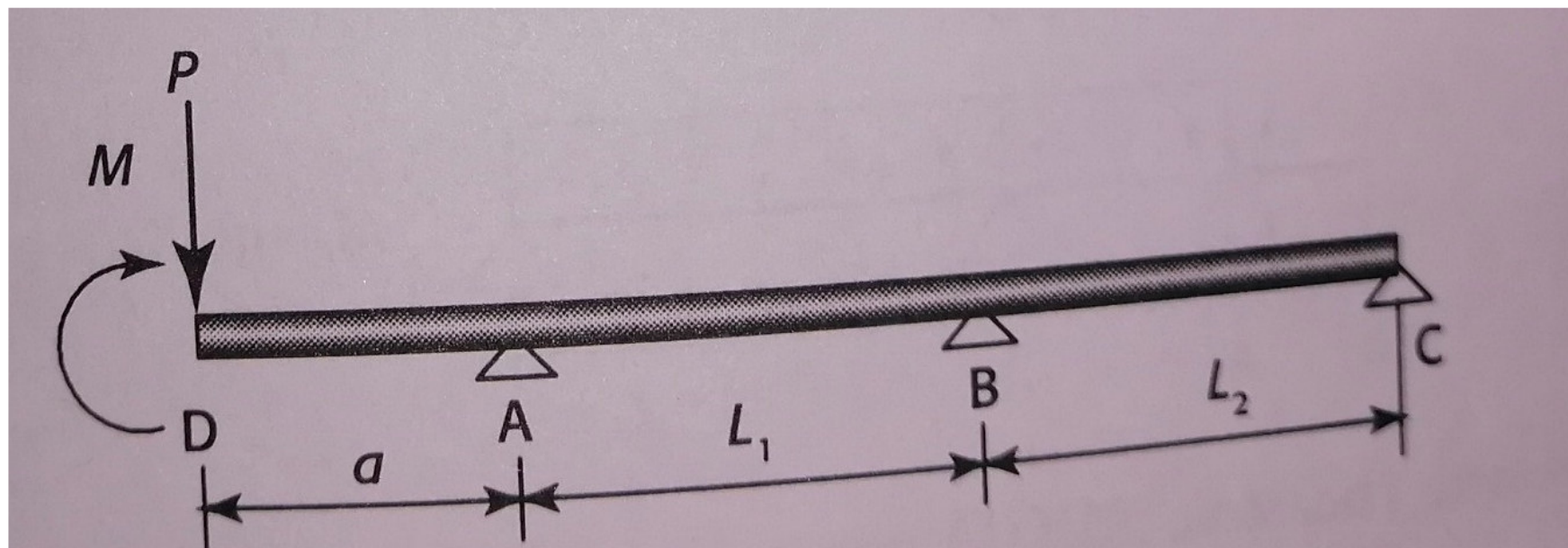
La poutre droite continue à trois travées, sur quatre appuis équidistants, supporte une charge triangulaire et un couple C. **Déterminer les moments de flexion des appuis B et C.**



AS10: Poutre en porte à faux

Une poutre droite continue, à une extrémité en porte à faux, repose des appuis simples.

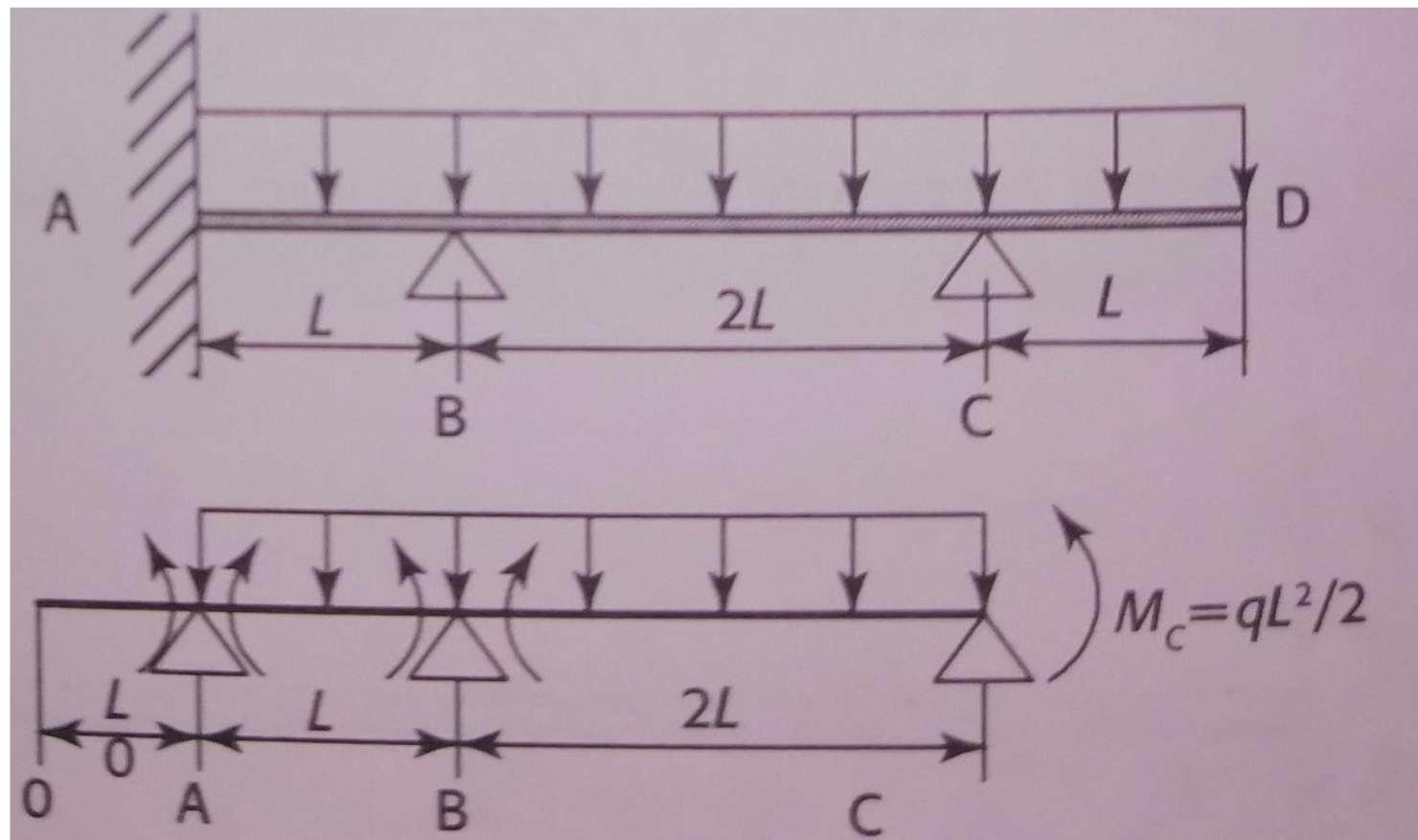
Déterminer les réactions des appuis.



AS11: Poutre avec extrémité encastrée

Une poutre droite continue, avec une extimité encastrée, supporte une charge uniformément répartie.

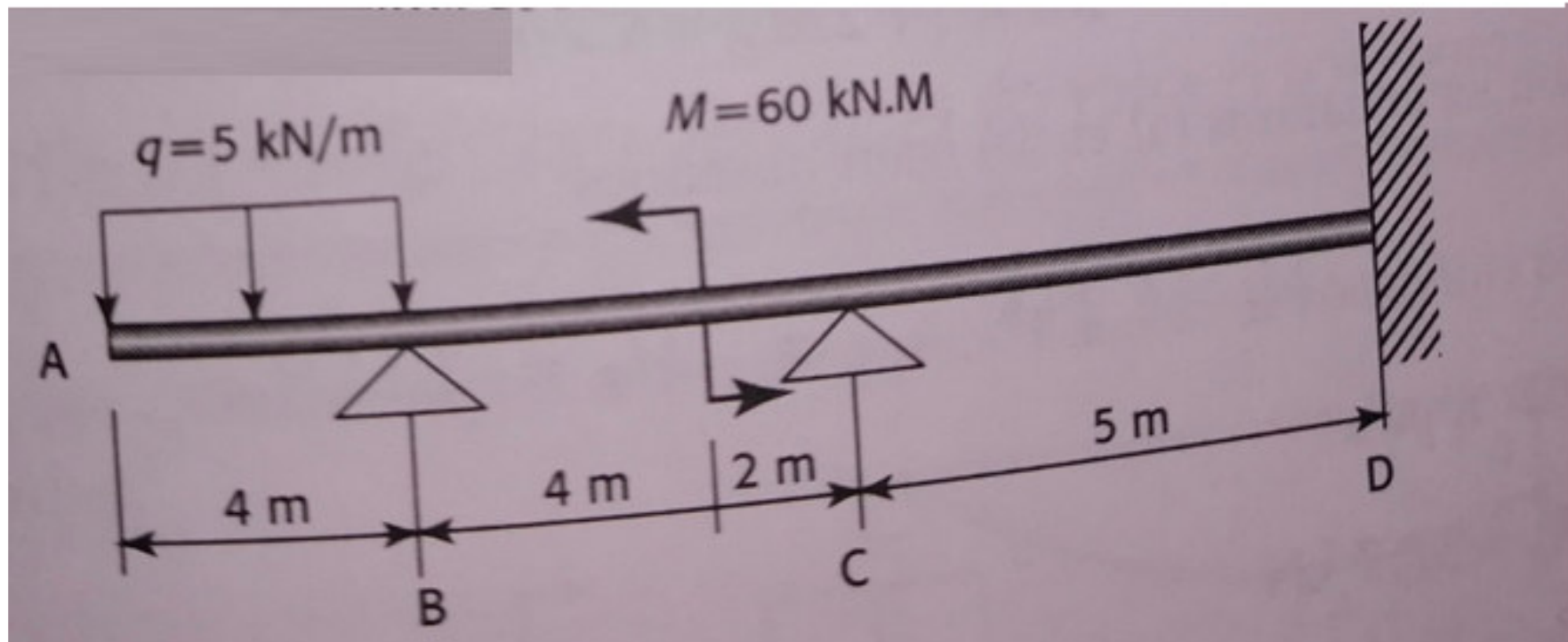
Déterminer les réactions des appuis.



AS12: Poutre avec extrémité en PF encastrée

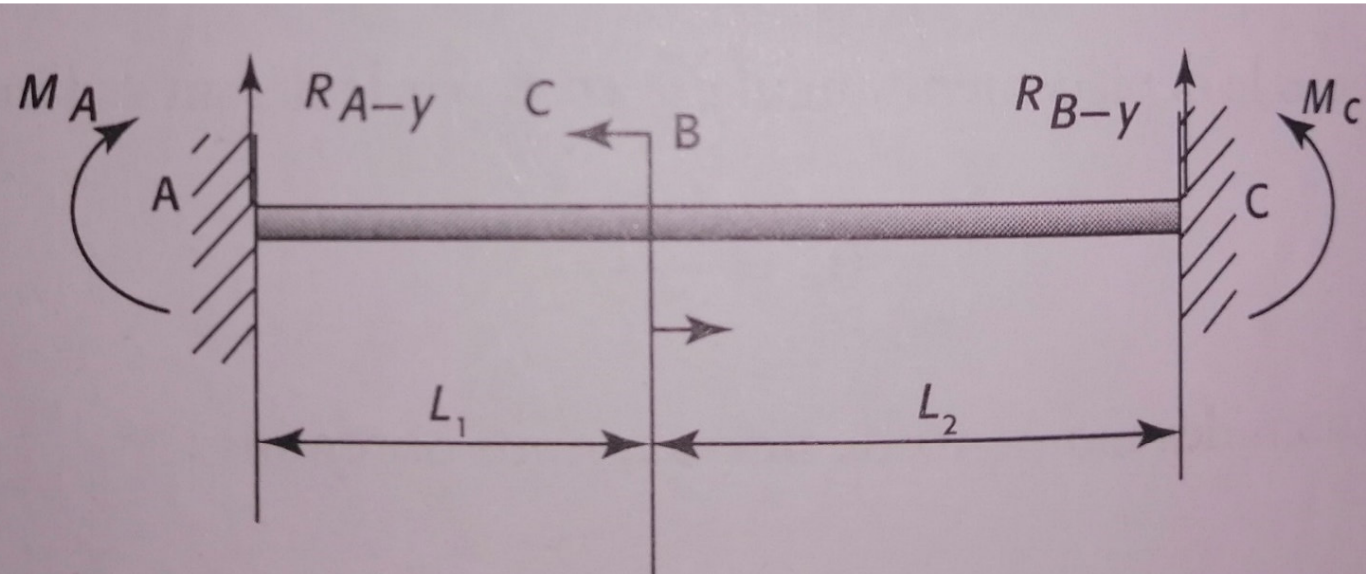
Une poutre droite continue à l'extimité en porte à faux et encastrée sur une extrémité.

Déterminer les réactions des appuis et les moments de flexion.



AS13: Poutre bi-encastree

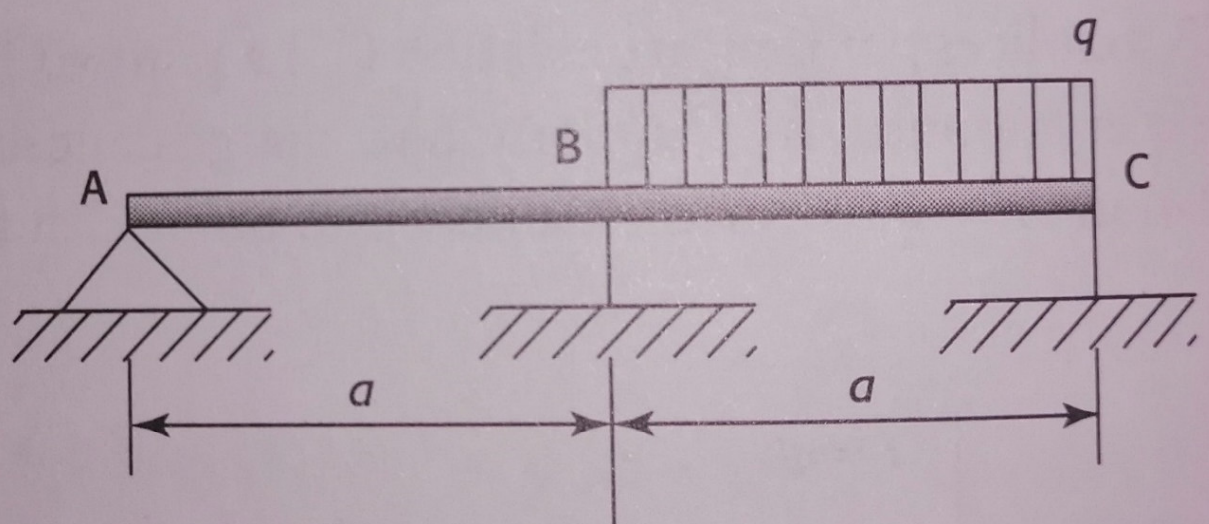
Une poutre avec EI constante supporte un couple C. Calculer les réactions des deux extimités.



Réponse : $R_{A-y} = R_{C-y} = \frac{3M_C}{2L}$; $M_A = M_C = \frac{M_C}{4}$

AS14: Poutres sur trois appuis

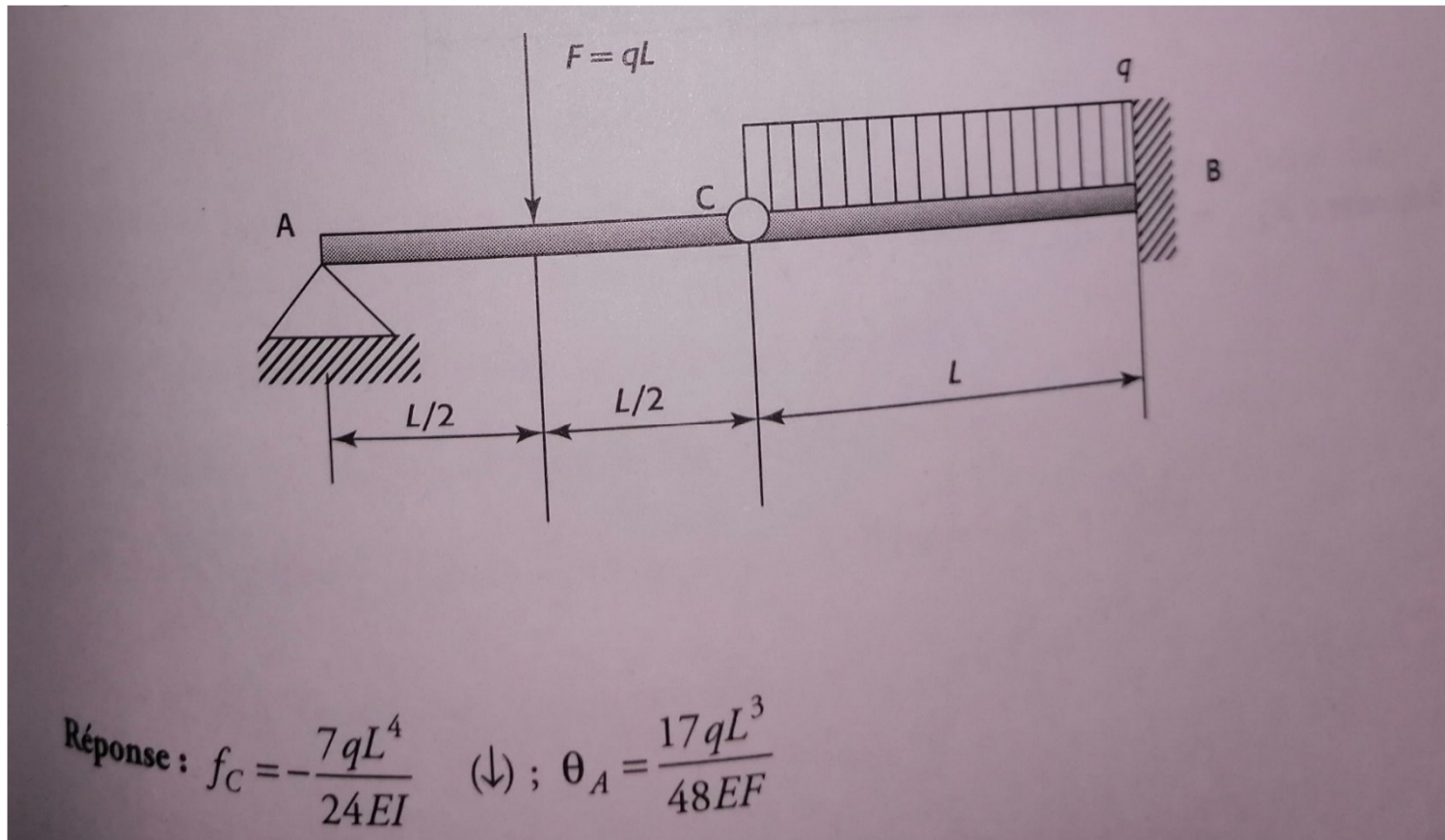
Une poutre continue ABC repose sur trois appuis. La partie BC de la poutre supporte une charge uniformément répartie **Calculer les réactions des trois appuis.**



Réponse : $R_{A-y} = \frac{qa}{16}$; $R_{B-y} = \frac{5qa}{8}$; $R_{C-y} = \frac{7qa}{16}$.

AS15: Deux poutres liées

Deux poutres AC et CB sont liées par une articulation C. La poutre CB supporte une charge uniformément répartie q et la poutre AC supporte une charge concentrée F. Entre les deux charges il existe une relation $F=qL$. Calculer la flèche au point C et l'angle de déformation au point A.

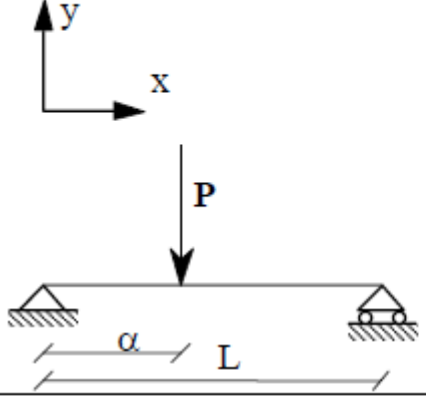
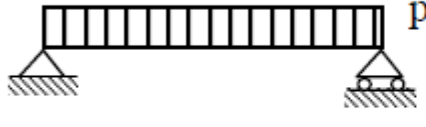
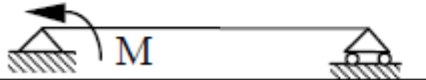
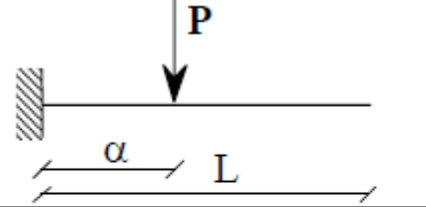
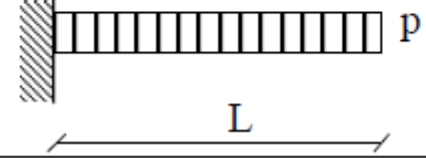


FORMULAIRES

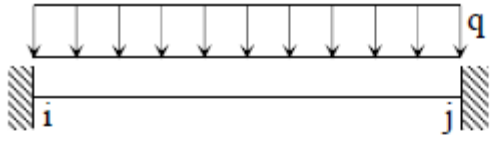
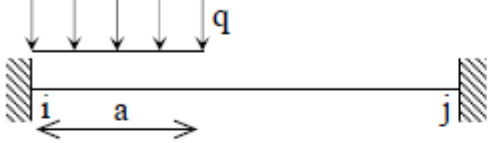
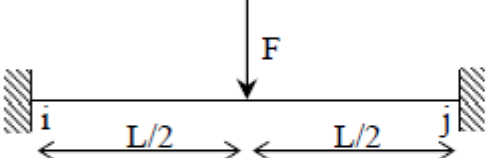
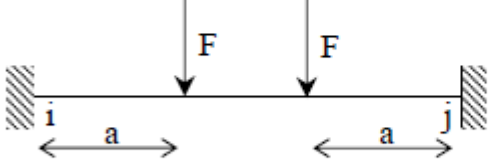
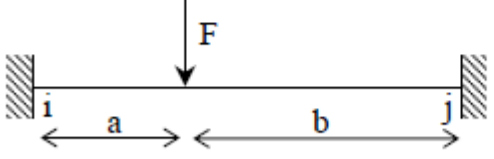
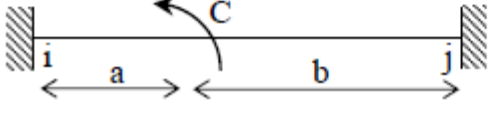
Liste des formulaires

1. Formulaire de flèches de poutres isostatiques.
2. Formulaire des réactions de liaison de la poutre bi-encastrée.
3. *Valeur de $6\theta_i^g$ et $6\theta_i^d$*
4. *Valeur de $\frac{L}{EI} \int_0^L M_i m_j dx$*
5. Formulaire de la poutre continue à 2 travées égales.
6. Formulaire de la poutre continue à 3 travées égales.
7. Formulaire de la poutre continue à 4 travées égales.
8. Formulaire de la poutre continue à 5 travées égales.

1. Formulaire de flèches de poutres isostatiques

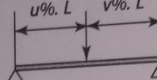
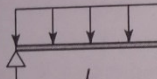
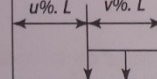
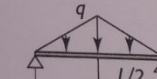
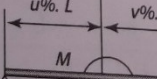
| | |
|---|--|
|  | $0 \leq x \leq \alpha : y(x) = \frac{P(L-\alpha)}{6EI} [x^3 - \alpha(2L-\alpha)x] \quad y'(x) = \frac{P(L-\alpha)}{6EI} [3x^2 - \alpha(2L-\alpha)]$ $\alpha \leq x \leq L : y(x) = \frac{P\alpha}{6EI} [(L-x)^3 - (L-\alpha)(L+\alpha)(L-x)]$ $y'(x) = \frac{P\alpha}{6EI} [-3(L-x)^2 + (L-\alpha)(L+\alpha)]$ $y(\alpha) = -\frac{P\alpha^2(L-\alpha)^2}{3EI} \quad \text{pour } x=\alpha$ $y\left(\frac{L}{2}\right) = -\frac{PL^3}{48EI} \quad \text{pour } x=\alpha=\frac{L}{2}$ |
|  | $y(x) = -\frac{p}{24EI} (x^4 - 2Lx^3 + L^3x)$ $y'\left(\frac{L}{2}\right) = -\frac{5pL^4}{384EI} \quad \text{pour } x=\frac{L}{2}$ $y'(x) = -\frac{p}{24EI} (4x^3 - 6Lx^2 + L^3)$ |
|  | $y(x) = \frac{M}{6EI} (x^3 - 3Lx^2 + 2L^2x)$ $y'(x) = \frac{M}{6EI} (3x^2 - 6Lx + 2L^2)$ |
|  | $0 \leq x \leq \alpha : y(x) = \frac{Px^2(x-3\alpha)}{6EI}$ $y'(x) = \frac{Px(x-2\alpha)}{2EI}$ $\alpha \leq x \leq L : y(x) = \frac{P\alpha^2(\alpha-3x)}{6EI}$ $y(L) = -\frac{PL^3}{3EI} \quad \text{pour } x=\alpha=L$ |
|  | $y(x) = -\frac{p}{24EI} (x^4 - 4Lx^3 + 6L^2x^2)$ $y(L) = -\frac{pL^4}{8EI} \quad \text{pour } x=L$ $y'(x) = -\frac{p}{6EI} (x^3 - 3Lx^2 + 3L^2x)$ |

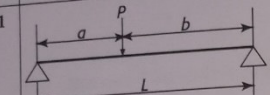
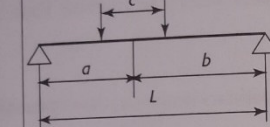
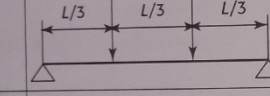
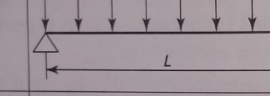
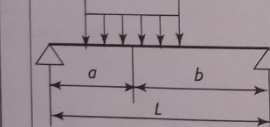
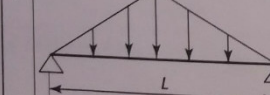
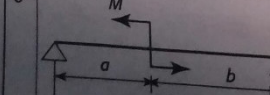
2. Formulaire des réactions de liaison de la poutre bi-encastree

| | |
|---|---|
|  | $T_{ij}^0 = \frac{qL}{2}$; $T_{ji}^0 = \frac{qL}{2}$; $M_{ij}^0 = \frac{qL^2}{12}$; $M_{ji}^0 = -\frac{qL^2}{12}$ |
|  | $T_{ij}^0 = \frac{qa^3}{L^2} \left(1 - \frac{a}{2L}\right)$; $T_{ji}^0 = qa \left(1 - \frac{a^2}{L^2} + \frac{a^3}{2L^3}\right)$ $M_{ij}^0 = \frac{qa^2}{12L^2} (6L^2 - 8aL + 3a^2)$; $M_{ji}^0 = \frac{-qa^3}{12L^2} (4L - 3a)$ |
|  | $T_{ij}^0 = \frac{F}{2}$; $T_{ji}^0 = \frac{F}{2}$; $M_{ij}^0 = \frac{FL}{8}$; $M_{ji}^0 = -\frac{FL}{8}$ |
|  | $T_{ij}^0 = F$; $T_{ji}^0 = F$; $M_{ij}^0 = \frac{Fa(L-a)}{L}$; $M_{ji}^0 = -\frac{Fa(L-a)}{L}$ |
|  | $T_{ij}^0 = \frac{Fb^2}{L^3} (b+3a)$; $T_{ji}^0 = \frac{Fa^2}{L^3} (3b+a)$; $M_{ij}^0 = \frac{Fab^2}{L^2}$; $M_{ji}^0 = -\frac{Fba^2}{L^2}$ |
|  | $T_{ij}^0 = \frac{6abC}{L^3}$; $T_{ji}^0 = \frac{-6abC}{L^3}$; $M_{ij}^0 = \frac{b(2a-b)}{L^2} C$; $M_{ji}^0 = \frac{a(2b-a)}{L^2} C$ |

3. Valeur de $6\theta_i^g$ et $6\theta_i^d$

Tableau 6.3 Valeur de $6A$ et $6B$

| Charge | 6A | 6B |
|--|---|--|
| a/ Charge concentrée  $(u+v)\% \cdot L = 100\% \cdot L$ | $6A = PL^2 \cdot u\% \cdot v\% \cdot (1 + v\%)$ | $6B = PL^2 \cdot u\% \cdot v\% \cdot (1 + u\%)$ |
| b/ Charge uniformément répartie  | $6A = \frac{qL^3}{4}$ | $6B = \frac{qL^3}{4}$ |
| c/ Charge uniforme  $(u+v)\% \cdot L = 100\% \cdot L$ | $6A = \frac{qL^3}{4} (v\%)^2 [2 - (v\%)^2]$ | $6B = \frac{qL^3}{4} (v\%)^2 [2 - (v\%)^2]$ |
| d/ Charge uniforme triangulaire  | $6A = \frac{5}{32} qL^3$ | $6B = \frac{5}{32} qL^3$ |
| e/ Couple  $(u+v)\% \cdot L = 100\% \cdot L$ | $6A = -ML (1 - 3v^2\%)$ $u = 0, v = 100\%$ $6A = 2ML$ $u = 100\%, v = 0$ $6A = -ML$ | $6B = ML (1 - 3u^2\%)$ $u = 0, v = 100\%$ $6B = ML$ $u = 100\%, v = 0$ $6B = -2ML$ |

| | Aire de moment fléchissant ω_n | Coefficient $C_1 = \frac{\omega_n \alpha_n}{L_n}$ | Coefficient $C_2 = \frac{\omega_{n+1} b_{n+1}}{L_{n+1}}$ |
|---|---|--|---|
| 1 |  | $\omega_n = \frac{1}{2} Pab$ | $C_1 = \frac{\omega_n \alpha_n}{L_n}$ $= \frac{Pab}{6L} (L + a)$ $C_2 = \frac{\omega_{n+1} b_{n+1}}{L_{n+1}}$ $= \frac{Pab}{6L} (L + b)$ |
| 2 |  | $\omega_n = P \left(ab - \frac{c^2}{4} \right)$ | $C_1 = \frac{\omega_n \alpha_n}{L_n}$ $= \frac{Pa}{6L} [2b \cdot (L + c) - \frac{3c^2}{2}]$ $C_2 = \frac{\omega_{n+1} b_{n+1}}{L_{n+1}}$ $= \frac{Pb}{6L} [2a \cdot (L + b) - \frac{3c^2}{2}]$ |
| 3 |  | $\omega_n = \frac{2}{9} PL^2$ | $C_1 = \frac{\omega_n \alpha_n}{L_n}$ $= \frac{1}{9} PL^2$ $C_2 = \frac{\omega_{n+1} b_{n+1}}{L_{n+1}}$ $= \frac{1}{9} PL^2$ |
| 4 |  | $\omega_n = \frac{1}{12} qL^3$ | $C_1 = \frac{\omega_n \alpha_n}{L_n}$ $= \frac{1}{24} qL^3$ $C_2 = \frac{\omega_{n+1} b_{n+1}}{L_{n+1}}$ $= \frac{1}{24L} qL^3$ |
| 5 |  | $\omega_n = \frac{qc}{3} (3ab - c^2)$ | $C_1 = \frac{\omega_n \alpha_n}{L_n}$ $= \frac{qac}{3L} (L^2 - a^2 - c^2)$ $C_2 = \frac{\omega_{n+1} b_{n+1}}{L_{n+1}}$ $= \frac{qbc}{3L} (L^2 - a^2 - c^2)$ |
| 6 |  | $\omega_n = \frac{5}{96} qL^3$ | $C_1 = \frac{\omega_n \alpha_n}{L_n}$ $= \frac{5}{192} qL^3$ $C_2 = \frac{\omega_{n+1} b_{n+1}}{L_{n+1}}$ $= \frac{5}{192} qL^3$ |
| 7 |  | $\omega_n = \frac{1}{24} qL^3$ | $C_1 = \frac{\omega_n \alpha_n}{L_n}$ $= \frac{8}{360} qL^3$ $C_2 = \frac{\omega_{n+1} b_{n+1}}{L_{n+1}}$ $= \frac{7}{360} qL^3$ |
| 8 |  | $\omega_n = \frac{1}{2} M(a - b)$ | $C_1 = \frac{\omega_n \alpha_n}{L_n}$ $= \frac{M}{6L} (3a^2 - L^2)$ $C_2 = \frac{\omega_{n+1} b_{n+1}}{L_{n+1}}$ $= \frac{M}{6L} (L^2 - 3b^2)$ |

4. Valeur de $\frac{L}{EI} \int_0^L M_i m_j dx$

| M_i | m_j | Δ_{ij} | Δ_{ij} | Δ_{ij} | Δ_{ij} | Δ_{ij} | Δ_{ij} | Δ_{ij} |
|-------|-------|--|---|---|--|--|---|---|
| | | $\Delta_{ij} = \frac{L}{EI} Mm$ | $\Delta_{ij} = \frac{L}{2EI} \cdot M(m_g + m_d)$ | $\Delta_{ij} = \frac{L}{2EI} \cdot M(m_g + m_d)$ | 0 | $\Delta_{ij} = \frac{L}{2EI} Mm_g$ | $\Delta_{ij} = \frac{L}{2EI} Mm_d$ | $\Delta_{ij} = \frac{L}{2EI} Mm$ |
| | | $\Delta_{ij} = \frac{L}{2EI} \cdot (M_g + M_d)m$ | $\Delta_{ij} = \frac{L}{6EI} (2M_g m_g + M_g m_d + M_d m_g + 2M_d m_d)$ | $\Delta_{ij} = \frac{L}{6EI} (2M_g m_g + M_g m_d + M_d m_g + 2M_d m_d)$ | $\Delta_{ij} = \frac{L}{6EI} (M_g - M_d)m$ | $\Delta_{ij} = \frac{L}{6EI} m_g (2M_g + M_d)$ | $\Delta_{ij} = \frac{L}{6EI} m_d (M_g + 2M_d)$ | $\Delta_{ij} = \frac{L}{4EI} m (M_g + m_d)$ |
| | | $\Delta_{ij} = \frac{L}{2EI} \cdot (M_g + M_d)m$ | $\Delta_{ij} = \frac{L}{6EI} (2M_g m_g + M_g m_d + M_d m_g + 2M_d m_d)$ | $\Delta_{ij} = \frac{L}{6EI} (M_g - M_d)m$ | $\Delta_{ij} = \frac{L}{6EI} m_g (2M_g + M_d)$ | $\Delta_{ij} = \frac{L}{6EI} m_d (M_g + 2M_d)$ | $\Delta_{ij} = \frac{L}{6EI} \cdot [(M_g(1+\beta) + M_d(1+\alpha))m]$ | $\Delta_{ij} = \frac{L}{4EI} m (M_g + m_d)$ |
| | | 0 | $\Delta_{ij} = \frac{L}{6EI} M_g$ | $\Delta_{ij} = \frac{L}{6EI} M_g$ | $\Delta_{ij} = \frac{L}{3EI} M_g m$ | $\Delta_{ij} = \frac{L}{6EI} M_g m$ | $\Delta_{ij} = \frac{-L}{6EI} M_g m_d$ | 0 |
| | | | | | | | $\Delta_{ij} = \frac{L}{6EI} M_g m \cdot (1-2\alpha)$ | |

4. Valeur de $\frac{L}{EI} \int_0^L M_i m_j dx$

suite

| M_i | m_j | Δ_{ij} | Δ_{ij} | Δ_{ij} | Δ_{ij} | Δ_{ij} | Δ_{ij} | Δ_{ij} |
|-------|-------|-------------------------------------|---|---|--------------------------------------|---------------------------------------|---|--|
| | | $\Delta_{ij} = \frac{L}{2EI} M_g m$ | $\Delta_{ij} = \frac{L}{6EI} M_g$ $(2m_g + m_d)$ | $\Delta_{ij} = \frac{L}{6EI} M_g$ $(2m_g + m_d)$ | $\Delta_{ij} = \frac{L}{6EI} M_g m$ | $\Delta_{ij} = \frac{L}{3EI} M_g m_g$ | $\Delta_{ij} = \frac{L}{6EI} M_g m_d$ | $\Delta_{ij} = \frac{L}{6EI} M_g m$ $\cdot(1+\beta)$ |
| | | $\Delta_{ij} = \frac{L}{2EI} M_d m$ | $\Delta_{ij} = \frac{L}{6EI} M_d$ $(m_g + 2m_d)$ | $\Delta_{ij} = \frac{L}{6EI} M_d$ $(m_g + 2m_d)$ | $\Delta_{ij} = \frac{-L}{6EI} M_d m$ | $\Delta_{ij} = \frac{L}{6EI} M_d m_g$ | $\Delta_{ij} = \frac{L}{3EI} M_d m_d$ | $\Delta_{ij} = \frac{L}{6EI} M_d m$ $\cdot(1+\alpha)$ |
| | | $\Delta_{ij} = \frac{L}{2EI} M_m$ | $\Delta_{ij} = \frac{L}{6EI} M$ $[m_g(1+\beta) + m_d(1+\alpha)]$ | $\Delta_{ij} = \frac{L}{6EI} M$ $[m_g(1+\beta) + m_d(1+\alpha)]$ | $\Delta_{ij} = \frac{L}{6EI} Mm$ | $\Delta_{ij} = \frac{L}{6EI} Mm_g$ | $\Delta_{ij} = \frac{L}{6EI} Mm_d$ | $\Delta_{ij} = \frac{L}{12EI} Mm$ $\frac{3-4\alpha^2}{\beta}$ |
| | | $\Delta_{ij} = \frac{L}{2EI} Mm$ | $\Delta_{ij} = \frac{L}{4EI} M$ $(m_g + m_d)$ | $\Delta_{ij} = \frac{L}{4EI} M$ $(m_g + m_d)$ | 0 | $\Delta_{ij} = \frac{L}{4EI} Mm_g$ | $\Delta_{ij} = \frac{L}{4EI} Mm_d$ | $\Delta_{ij} = \frac{L}{12EI} Mm$ $\frac{3-4\alpha^2}{\beta}$ |
| | | $\Delta_{ij} = \frac{L}{3EI} M_g m$ | $\Delta_{ij} = \frac{L}{12EI} M_g$ $(3m_g + m_d)$ | $\Delta_{ij} = \frac{L}{12EI} M_g$ $(3m_g + m_d)$ | $\Delta_{ij} = \frac{L}{6EI} M_g m$ | $\Delta_{ij} = \frac{L}{4EI} M_g m_g$ | $\Delta_{ij} = \frac{L}{12EI}$ $\cdot M_g m_d$ | $\Delta_{ij} = \frac{L}{12EI} M_g$ $\cdot m(1+\beta+\beta^2)$ |
| | | | | | | | | $\Delta_{ij} = \frac{7L}{48EI} M_g m$ |

4. Valeur de $\frac{L}{EI} \int_0^L M_i m_j dx$

suite

Tableau 6.2 (Suite)

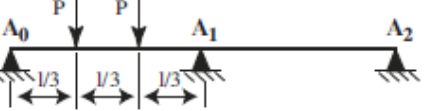
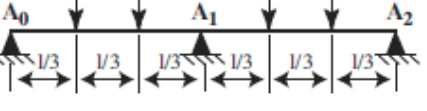
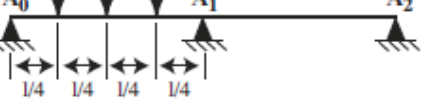
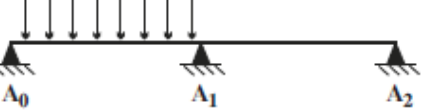
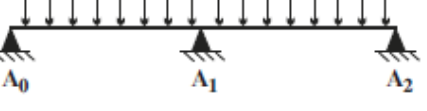
| M_i | m_j | | | | | | | |
|-------|--------------------------------------|---|---|--------------------------------------|--|---|--|---|
| | | | | | | | | |
| | $\Delta_{ij} = \frac{L}{3EI} M_d m$ | $\Delta_{ij} = \frac{L}{12EI} M_d$ $(m_g + 3m_d)$ | $\Delta_{ij} = \frac{L}{12EI} M_d$ $(m_g + 3m_d)$ | $\Delta_{ij} = -\frac{L}{6EI} M_d m$ | $\Delta_{ij} = \frac{L}{12EI}$ $\cdot M_d m_g$ | $\Delta_{ij} = \frac{L}{4EI} M_d m_d$ $\cdot m(1 + \alpha + \alpha^2)$ | $\Delta_{ij} = \frac{L}{12EI} M_d$ $\cdot m(1 + \alpha + \alpha^2)$ | $\Delta_{ij} = \frac{7L}{48EI}$ $\cdot M_d m$ |
| | $\Delta_{ij} = \frac{2L}{3EI} Mm$ | $\Delta_{ij} = \frac{L}{3EI} M$ $(m_g + m_d)$ | $\Delta_{ij} = \frac{L}{3EI} M$ $(m_g + m_d)$ | 0 | $\Delta_{ij} = \frac{L}{3EI} Mm_g$ | $\Delta_{ij} = \frac{L}{3EI} Mm_d$ | $\Delta_{ij} = \frac{L}{3EI} Mm$ $\cdot (1 + \alpha\beta)$ | $\Delta_{ij} = \frac{5L}{12EI} Mm$ |
| | $\Delta_{ij} = \frac{2L}{3EI} M_g m$ | $\Delta_{ij} = \frac{L}{12EI} M_g$ $(5m_g + 3m_d)$ | $\Delta_{ij} = \frac{L}{12EI} M_g$ $(5m_g + 3m_d)$ | $\Delta_{ij} = \frac{L}{6EI} M_g m$ | $\Delta_{ij} = \frac{5L}{12EI}$ $\cdot M_g m_g$ | $\Delta_{ij} = \frac{L}{4EI} M_g m_d$ $\cdot (5 - \alpha - \alpha^2)$ | $\Delta_{ij} = \frac{L}{12EI}$ $\cdot M_g m$ | $\Delta_{ij} = \frac{17L}{48EI}$ $\cdot M_g m$ |
| | $\Delta_{ij} = \frac{2L}{3EI} M_d m$ | $\Delta_{ij} = \frac{L}{12EI} M_d$ $(3m_g + 5m_d)$ | $\Delta_{ij} = \frac{L}{12EI} M_d$ $(3m_g + 5m_d)$ | $\Delta_{ij} = -\frac{L}{6EI} M_d m$ | $\Delta_{ij} = \frac{L}{4EI} M_d m$ | $\Delta_{ij} = \frac{5L}{12EI}$ $\cdot M_d m_d$ | $\Delta_{ij} = \frac{L}{12EI}$ $\cdot M_d m$ | $\Delta_{ij} = \frac{17L}{48EI}$ $\cdot M_d m$ |

5. Formulaire de la poutre continue à 2 travées égales

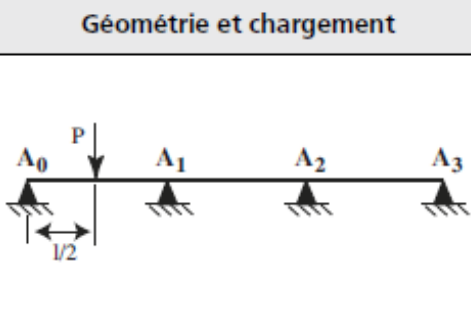
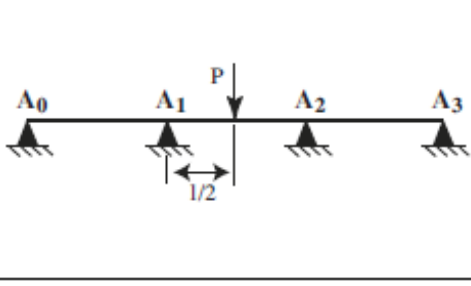
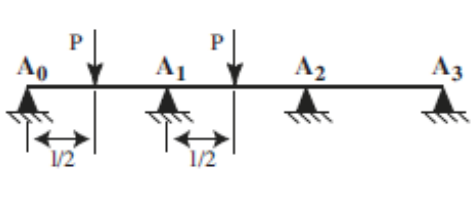
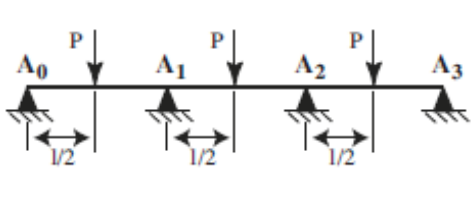
| Géométrie et chargement | Moment sur appui et réaction d'appui |
|-------------------------|--|
| | $M_1 = -\frac{3}{32}Pl$ $Y_{A_0} = \frac{13}{32}P \quad Y_{A_1} = \frac{11}{16}P \quad Y_{A_2} = -\frac{3}{32}P$ |
| | $M_1 = -\frac{3}{16}Pl$ $Y_{A_0} = \frac{5}{16}P \quad Y_{A_1} = \frac{11}{8}P \quad Y_{A_2} = \frac{5}{16}P$ |

5. Formulaire de la poutre continue à 2 travées égales

Suite

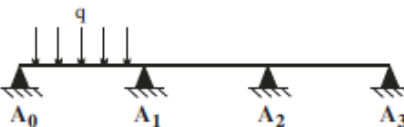
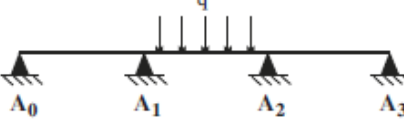
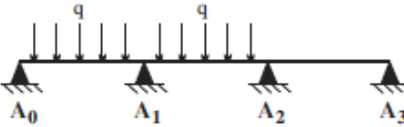
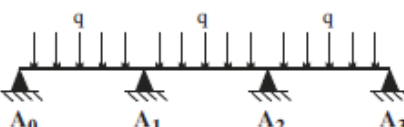
| Géométrie et chargement | Moment sur appui et réaction d'appui |
|--|---|
|  | $M_1 = -\frac{1}{6}Pl$ $Y_{A_0} = \frac{5}{6}P \quad Y_{A_1} = \frac{8}{6}P \quad Y_{A_2} = -\frac{1}{6}P$ |
|  | $M_1 = -\frac{1}{3}Pl$ $Y_{A_0} = \frac{2}{3}P \quad Y_{A_1} = \frac{8}{3}P \quad Y_{A_2} = \frac{2}{3}P$ |
|  | $M_1 = -\frac{15}{64}Pl$ $Y_{A_0} = \frac{81}{64}P \quad Y_{A_1} = \frac{126}{64}P \quad Y_{A_2} = -\frac{15}{64}P$ |
|  | $M_1 = -\frac{15}{32}Pl$ $Y_{A_0} = \frac{33}{32}P \quad Y_{A_1} = \frac{126}{32}P \quad Y_{A_2} = \frac{33}{32}P$ |
|  | $M_1 = -\frac{3}{48}q l^2$ $Y_{A_0} = \frac{7}{16}ql \quad Y_{A_1} = \frac{15}{24}ql \quad Y_{A_2} = -\frac{3}{48}ql$ |
|  | $M_1 = -\frac{q l^2}{8}$ $Y_{A_0} = \frac{3}{8}ql \quad Y_{A_1} = \frac{5}{4}ql \quad Y_{A_2} = \frac{3}{8}ql$ |

6. Formulaire de la poutre continue à 3 travées égales

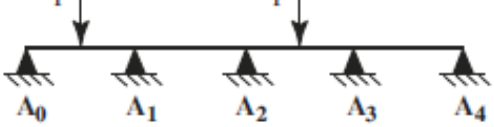
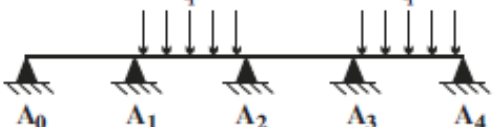
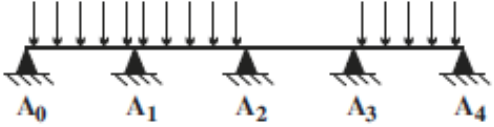
| Géométrie et chargement | Moment sur appui et réaction d'appui |
|--|---|
|  | $M_1 = -\frac{3}{10}Pl \quad M_2 = \frac{3}{40}Pl$ $Y_{A_0} = \frac{1}{5}P \quad Y_{A_1} = \frac{47}{40}P$ $Y_{A_2} = -\frac{9}{20}P \quad Y_{A_3} = \frac{3}{40}P$ |
|  | $M_1 = -\frac{3}{40}Pl \quad M_2 = -\frac{3}{40}Pl$ $Y_{A_0} = -\frac{3}{40}P \quad Y_{A_1} = \frac{23}{40}P$ $Y_{A_2} = \frac{23}{40}P \quad Y_{A_3} = -\frac{3}{40}P$ |
|  | $M_1 = -\frac{3}{10}Pl \quad M_2 = -\frac{1}{20}Pl$ $Y_{A_0} = \frac{1}{5}P \quad Y_{A_1} = \frac{31}{20}P$ $Y_{A_2} = \frac{3}{10}P \quad Y_{A_3} = -\frac{1}{20}P$ |
|  | $M_1 = -\frac{3}{20}Pl \quad M_2 = -\frac{3}{20}Pl$ $Y_{A_0} = \frac{7}{20}P \quad Y_{A_1} = \frac{23}{20}P$ $Y_{A_2} = \frac{23}{20}P \quad Y_{A_3} = \frac{7}{20}P$ |

6. Formulaire de la poutre continue à 3 travées égales

Suite

| Géométrie et chargement | Moment sur appui et réaction d'appui |
|--|---|
|  | $M_1 = -\frac{1}{15}qI^2 \quad M_2 = \frac{1}{60}qI^2$ $Y_{A_0} = \frac{13}{30}qI \quad Y_{A_1} = \frac{13}{20}qI$ $Y_{A_2} = -\frac{1}{10}qI \quad Y_{A_3} = \frac{1}{60}qI$ |
|  | $M_1 = -\frac{1}{20}qI^2 \quad M_2 = -\frac{1}{20}qI^2$ $Y_{A_0} = -\frac{1}{20}qI \quad Y_{A_1} = \frac{11}{20}qI$ $Y_{A_2} = \frac{11}{20}qI \quad Y_{A_3} = -\frac{1}{20}qI$ |
|  | $M_1 = -\frac{7}{60}qI^2 \quad M_2 = -\frac{1}{30}qI^2$ $Y_{A_0} = \frac{23}{60}qI \quad Y_{A_1} = \frac{18}{15}qI$ $Y_{A_2} = \frac{9}{20}qI \quad Y_{A_3} = -\frac{1}{30}qI$ |
|  | $M_1 = -\frac{1}{10}qI^2 \quad M_2 = -\frac{1}{10}qI^2$ $Y_{A_0} = \frac{2}{5}qI \quad Y_{A_1} = \frac{11}{10}qI$ $Y_{A_2} = \frac{11}{10}qI \quad Y_{A_3} = \frac{2}{5}qI$ |

7. Formulaire de la poutre continue à 4 travées égales

| Géométrie et chargement | Moment sur appui |
|--|--|
|  | $M_1 = -0,080Pl$ $M_2 = -0,054Pl$ |
|  | $M_1 = -0,090Pl$ $M_2 = 0,095Pl$ $M_3 = -0,090Pl$ |
|  | $M_1 = -0,071ql^2$ $M_2 = 0,036ql^2$ $M_3 = -0,071ql^2$ |
|  | $M_1 = -0,054ql^2$ $M_2 = -0,036ql^2$ |
|  | $M_1 = -0,121ql^2$ $M_2 = -0,018ql^2$ $M_3 = -0,058ql^2$ |

8. Formulaire de la poutre continue à 5 travées égales

| Géométrie et chargement | Moment sur appui |
|-------------------------|--|
| | $M_1 = -0,106Pl$ $M_2 = 0,048Pl$ $M_3 = -0,088Pl$ $M_4 = -0,072Pl$ |
| | $M_1 = -0,140Pl$ $M_2 = -0,105Pl$ $M_3 = -0,105Pl$ $M_4 = -0,140Pl$ |
| | $M_1 = -0,105ql^2$ $M_2 = -0,079ql^2$ $M_3 = -0,079ql^2$ $M_4 = -0,105ql^2$ |
| | $M_1 = -0,053ql^2$ $M_2 = -0,039ql^2$ $M_3 = -0,039ql^2$ $M_4 = -0,053ql^2$ |

Merci de votre attention!

